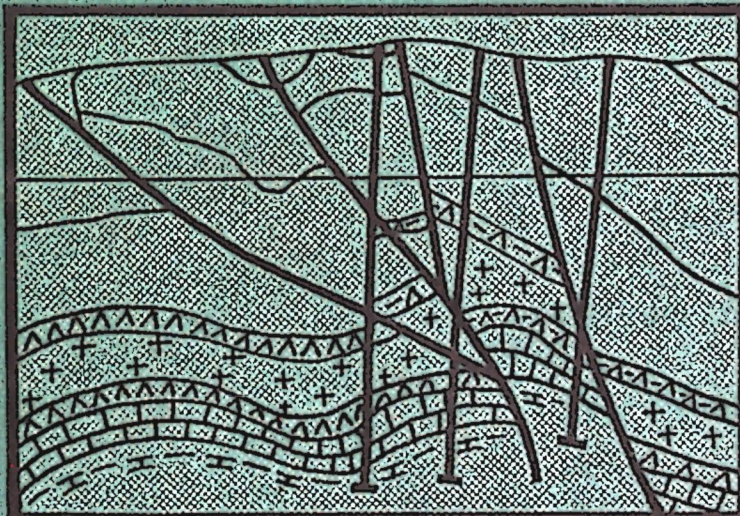


ОСОБЕННОСТИ СТРОЕНИЯ ОСАДОЧНЫХ ФОРМАЦИЙ



ИЗДАТЕЛЬСТВО
«НАУКА»
СИБИРСКОЕ
ОТДЕЛЕНИЕ



АКАДЕМИЯ НАУК СССР
СИБИРСКОЕ ОТДЕЛЕНИЕ
ТРУДЫ ИНСТИТУТА ГЕОЛОГИИ И ГЕОФИЗИКИ
Выпуск 535

ОСОБЕННОСТИ СТРОЕНИЯ ОСАДОЧНЫХ ФОРМАЦИЙ

Ответственный редактор
акад. А. Л. Яншин

П-59/3

П101065

Ин-т геологии и геофизики.
Тр. Вып. 535.
Новосибирск, 1982 2-60

П101065



ИЗДАТЕЛЬСТВО «НАУКА»
СИБИРСКОЕ ОТДЕЛЕНИЕ
Новосибирск. 1982

УДК 551.31.5.72.73.8+552.52.53.54.57.58+553.49.63

Особенности строения осадочных формаций.—
Новосибирск: Наука, 1982.

Приводится характеристика состава и строения соленосных, карбонатных, красноцветных и фосфоритоносных осадочных формаций различных районов Советского Союза. Описываются позднеюрские соленосные формации Средней Азии, Предкавказья и Прикаспийской впадины, верхнедокембрийская карбонатная рифогенная формация периферии Патомского нагорья и карбонатные толщи венда — нижнего кембра Западного Прианабарья, битуминозные карбонатно-сланцевые формации палеозоя Сибирской платформы, красноцветные бокситоносные формации мезокайнозоя восточного склона Урала и южного обрамления Западно-Сибирской низменности, терригенно-минералогические ассоциации и литологические комплексы верхнедокембрийских отложений Пачелмского прогиба Русской плиты, фосфоритоносные отложения Селетинского месторождения (Западная Сибирь).

Сборник представляет интерес для геологов, занимающихся исследованиями в области формационного анализа и изучающих эвaporитовые, карбонатные, терригенные красноцветные отложения.

М. А. Жарков, В. В. Благовидов, Т. М. Жаркова,
Г. А. Мерзляков

К ВОПРОСУ О СТРОЕНИИ ПОЗДНЕЮРСКИХ СОЛЕНОСНЫХ ОТЛОЖЕНИЙ СРЕДНЕЙ АЗИИ

ВВОДНЫЕ ЗАМЕЧАНИЯ

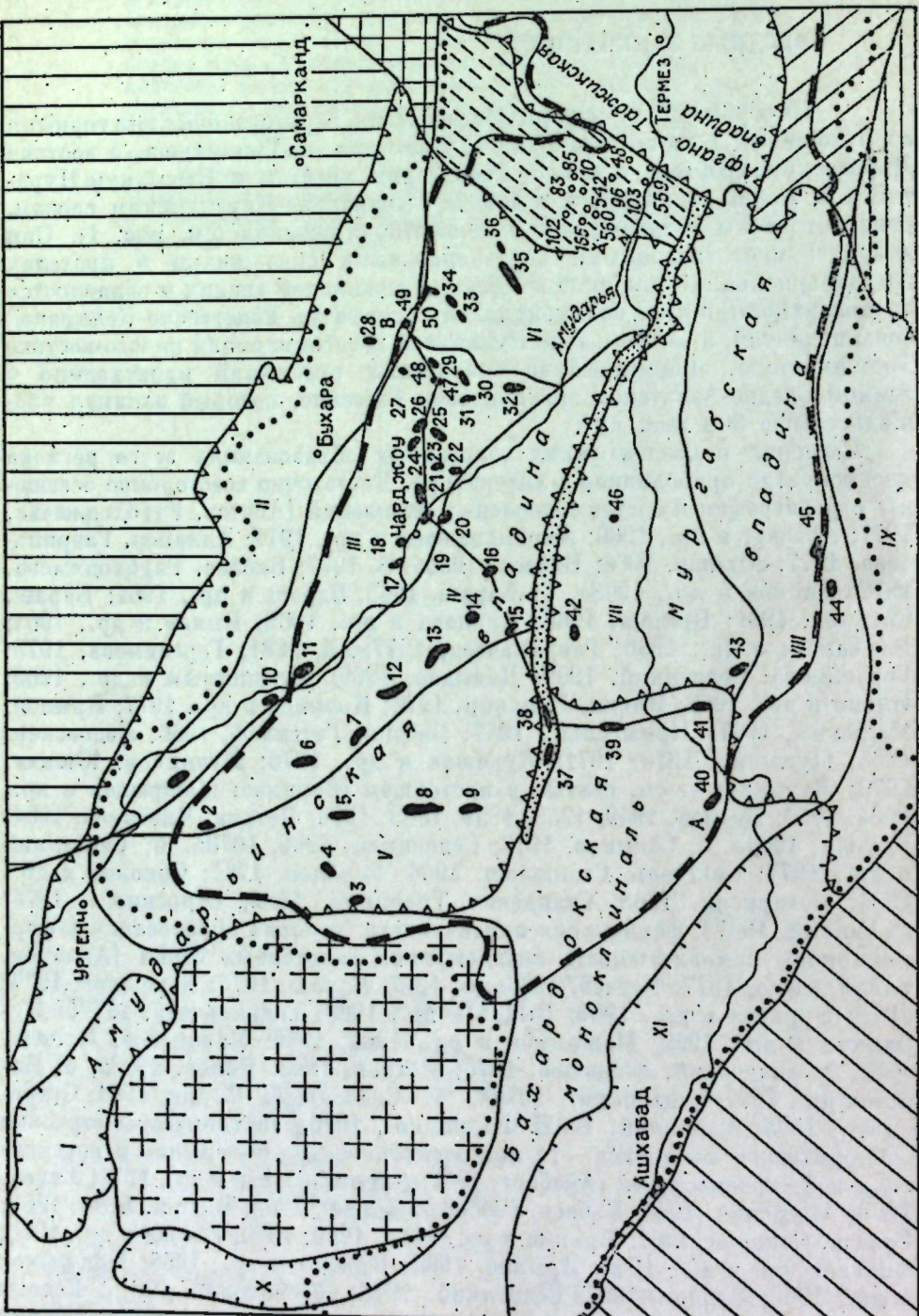
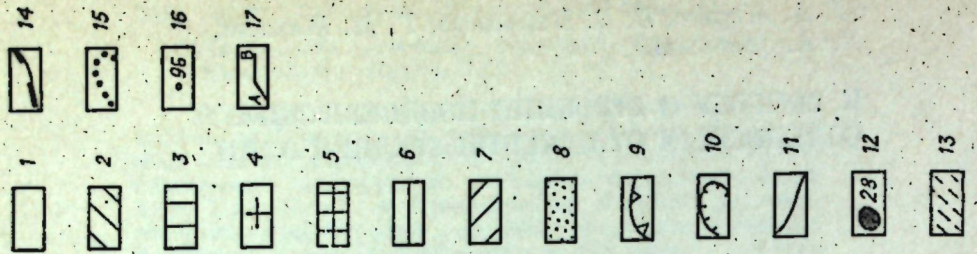
На огромной территории Средней Азии, ограниченной с юга горными сооружениями Копет-Дага, Банди-Туркестана и Гиндукуша, с востока Дарвазским хребтом, с севера Гиссарским хребтом и Кызылкум-Нуратинской зоной поднятий, а с запада Центрально-Каракумским сводом, распространены позднеюрские соленосные отложения (см. рис. 1). Они вскрыты многочисленными нефтепоисковыми скважинами в пределах Амударьинской, Мургабской и Афгано-Таджикской впадин и обнажаются на поверхности в ряде солянокупольных структур Репетекско-Келифской зоны поднятий, а также в зоне Кулябской мегасинклинали на юго-востоке Таджикистана. Формирование соленосных отложений происходило в едином Средне-Азиатском эвапоритовом бассейне, который занимал площадь свыше 300 тыс. км².

Сведения о позднеюрских галогенных образованиях этого региона неоднократно приводились в литературе. Достаточно всесторонне освещены стратиграфия и состав соленосных отложений [Абетов, Раубходжаева, 1977; Айзберг и др., 1966; Акрамходжаев и др., 1971; Алланов, Гаврильчева, 1977; Аманов, 1966; Бабаев, 1966а, б, 1977; Бабаев, Раубходжаева, 1972; Байков и др., 1968а, б; Бараш, 1963; Бараш и др., 1961; Бараш, Соколов, 1961; Браташ, 1966; Бурцева и др., 1969; Быков и др., 1963; Вахрамеев и др., 1936; Гаврильчева, 1977а, б, 1981; Герасимова, 1973; Герасимова, Седлецкий, 1969; Давыдов, 1969; Дикенштейн и др., 1969; Ильин и др., 1969; Ильин, Румакин, 1970; Конкина и др., 1977; Крылов, Мальцева, 1967; Крымгольц, 1957; Лебзин, Готтильф, 1966; Ледовская, 1965; Лувишик, 1970, 1971; Лувишик и др., 1970; Лучников, Юшина, 1973; Лучников — см. статью в настоящем сборнике; Машрыков и др., 1964, 1969; Петров, 1949, 1953, 1959, 1963, 1966; Петров, Чистяков, 1964; Релман, 1964а, б; Садыков, 1973; Седлецкий, 1969, 1970а, б; Седлецкий и др., 1977; Сикстель, Станкевич, 1964; Соколов, 1967; Соколов и др., 1966; Сотириади, 1968; Станкевич, Троицкий, 1962; Строение..., 1976; Троицкий, 1967], фациальная изменчивость, условия образования и формационная принадлежность позднеюрских галогенных серий [Алланов, Гаврильчева, 1977; Бабаев, 1966а, б; 1977; Бараш, 1975; Бережнов, 1977; 1978; Бурцева и др., 1969; Быков и др., 1963; Гаврильчева, 1977б; Кунинская и др., 1969; Машрыков и др., 1964, 1969; Машрыков, Кулиев, 1969; Могилевский, Юлдашев, 1973; Петров, 1963; Попов, 1968а, б; Попов и др., 1977; Седлецкий, 1970а, б; Седлецкий, Федин, 1981; Старобинец, 1964; Троицкий, 1962; Формации..., 1976], тектоническое строение эвапоритового комплекса, его палеотектоническое положение и перспективы нефтегазоносности [Айзберг, 1961; Акрамходжаев и др., 1971; Алиев, 1969; Амурский, 1966; Бабаев, 1966а, б; Бараш, 1963; Бараш, Вето, 1969; Бараш, Соколов, 1961; Браташ и др., 1966, 1969, 1970; Вальбе и др., 1970; Вольтовский и др., 1966; Крылов, 1966; Крылов и др., 1966; Машрыков и др., 1966; Петров, 1957; Седлецкий, 1970а, б; Соколов, 1967]. Весьма подробно рассматривались также вопросы калиевоносности позднеюрских



1904010000—870289—82, кн. 2
055(02)—82

© Издательство «Наука» 1982 г.



соленосных отложений [Байков и др., 1968а, 1974; Вахрамеев, 1932; Вахрамеев, Пейве, 1933; Герасимова, 1973; Герасимова, Седлецкий, 1969; Гиммельфарб, 1932, 1943; Ишниязов, Мирахмедов, 1975; Мирахмедов и др., 1975; Пейве, 1933, 1934; Петров, 1947, 1949, 1953, 1966; Попов, 1968б, 1969; Садыков, 1973; Седлецкий, 1969, 1970а, б, 1972; Седлецкий и др., 1977; Херасков, 1934]. Мы специально привели большой список исследователей (хотя и неполный), изучавших соленосные отложения поздней юры Средней Азии, чтобы показать высокую степень их изученности. Необходимо еще отметить, что огромный фактический материал, освещавший состав и строение соляных толщ на конкретных нефтепоисковых площадях и месторождениях калийных солей, остается до сих пор не опубликованным. Литературные материалы показывают, что в большинстве случаев выводы о закономерностях распространения, литолого-фацальных особенностях, палеогеографических и палеотектонических условиях образования делались в целом для позднеюрских соленосных отложений. Обычно анализ проводился для всего комплекса эвапоритовых образований, а не для отдельных его стратиграфических подразделений, что, естественно, не позволяло детализировать условия соленакопления в пределах Средне-Азиатского бассейна.

Особенности строения соленосных отложений рассматривались, как правило, либо по наиболее изученным районам, таким как Юго-Западный Гиссар, Бухарская и Чарджоуская ступени, Бешкентский прогиб, либо по отдельным нефтепоисковым площадям. Разработанные для этих районов схемы расчленения плохо увязываются между собой. Только в последнее время появились работы, в которых предложены для значительной территории Средне-Азиатского солеродного бассейна единые более дробные стратиграфические подразделения соленосной серии [Строение..., 1976; Гаврильчева, 1979].

Разногласия по поводу особенностей внутреннего строения позднеюрской галогенистой толщи, а также отсутствие общепринятой схемы ее расчленения, приводят к тому, что многие закономерности распространения различных по составу соленосных комплексов и условий их образования остаются пока еще не выясненными. До сих пор, например, неясна стратиграфическая приуроченность горизонтов калийных солей в разрезе соленосных отложений Средне-Азиатского бассейна; в настоящее время не оконтурена площадь их распространения. Остается также не понятным отсутствие калийных солей, если следовать существующим схемам стратиграфии, в центральных зонах бассейна с максимальными мощностями соленосной серии, т. е. там, где они должны присутствовать (согласно наблюдениям во всех хорошо изученных эвапоритовых бассейнах мира).

Рис. 1. Схема тектонического районирования западной части Средне-Азиатского эвапоритового бассейна.

1 — впадины и прогибы; 2 — главный антиклиниорий Копетдаг; 3 — Кызылкум-Нуратинская зона поднятий; 4 — Центрально-Караумский свод; 5 — Зарваншано-Гиссарская мегантиклинальная зона; 6 — поднятие Мирза-Валенг; 7 — Северо-Афганская ступень; 8 — Репетекско-Келифская зона поднятий; 9 — границы впадин; 10 — границы прогибов; 11 — границы тектонических элементов; 12 — нефтепоисковые площадки и их номера (1 — Кошабулакская, 2 — Кашуйская, 3 — Меситлийская, 4 — Кирчиличи, 5 — Гаргинская, 6 — Бабааралская, 7 — Южный Мерген, 8 — Южная Узгусская, 9 — Северная Чешминская, 10 — Северная Гугуртли, 11 — Кабакли, 12 — Дикилликум, 13 — Багадка, 14 — Байгушли, 15 — Малайская, 16 — Каравул-Кую, 17 — Галымская, 18 — Фарабская, 19 — Сакар, 20 — Южный Сакар, 21 — Киштуван, 22 — Наразым, 23 — Са-мантие, 24 — Денизкуль, 25 — Метедиан, 26 — Уртабулак, 27 — Испанлы, 28 — Шуртепе, 29 — Памук, 30 — Култак, 31 — Таңгикуль, 32 — Сундукуль, 33 — Камаши, 34 — Бешкентская, 35 — Аллуды, 36 — Куруксай, 37 — Келийская, 38 — Шарапли, 39 — Байрам-Али, 40 — Шатлы, 41 — Майская, 42 — Угадык, 43 — Южная Иолотань, 44 — Сандыкачи, 45 — Карапельская, 46 — Кулакская, 47 — Зеварда, 48 — Дарбаза, 49 — Маймантау, 50 — Кунгурттау); 13 — мегантиклиналь Юго-Западного Гиссара; 14 — граница распространения каменной соли; 15 — граница позднеюрского эвапоритового бассейна; 16 — калиево-солевые скважины и их номера (17 — линия профиля, изображенного на рис. 2. I—VI — тектонические элементы Амударинской впадины: I — Дарьялык-Дауданский прогиб, II — Бухарская ступень, III — Чарджоуская ступень, IV — Измайлов-Карабекнаульская зона прогибов, V — Заузгуская зона прогибов, VI — Бешкентский прогиб; VII—IX — тектонические элементы Мургабской впадины: VII — Захметская моноклиналь, VIII — Сандыкачинская зона прогибов, IX — Бадхма-Карабильская ступень; X — Верхнеузбекский прогиб; XI — Предкопетдагский краевой прогиб).

Для решения этих и некоторых других вопросов нами в 1975—1979 гг. изучались разрезы соленосных отложений в следующих районах Средне-Азиатского бассейна: Бухарской, Чарджоуской, Измайл-Карабекаульской и Заунгузской зонах, Бешкентском прогибе, Карлюкском, Гаурдакском, Кугитанском и Окузбулакском калийных месторождениях, Бахардокской моноклинали, Мургабской и Афгано-Таджикской впадинах. Основное внимание уделялось расчленению и корреляции разрезов, вскрытых скважинами нефтеискового бурения. Изученные площади показаны на рис. 1.

В настоящей статье излагаются результаты проведенных исследований по западной части Средне-Азиатского солеродного бассейна, охватывающей Амударьинскую и Мургабскую впадины.

СУЩЕСТВУЮЩИЕ ПРЕДСТАВЛЕНИЯ О РАСЧЛЕНЕНИИ И ОСОБЕННОСТИХ СТРОЕНИЯ СОЛЕНОСНЫХ ОТЛОЖЕНИЙ

Большинством исследователей все галогенные образования, распространенные в западной части Средне-Азиатского эвапоритового бассейна, выделяются в гаурдакскую свиту. Ее стратотип расположен в районе Юго-Западного Гиссара, в пределах Гаурдакского месторождения калийных солей. Свита была выделена В. П. Мирошниченко (1933). Эти отложения передко обособлялись под названием соляно-гипсовой свиты [Вахрамеев, 1932; Вахрамеев, Пейве, 1933; Вахрамеев и др., 1936; Гиммельфарб, 1932; Пейве, 1933, 1934; Херасков, 1934]. Одна из первых схем расчленения гаурдакской свиты была предложена Н. П. Петровым (1949), который подразделил ее в наиболее полных разрезах * на три части: нижнюю — ангидритовую, или ангидритово-гипсовую, среднюю — солевую и верхнюю — ангидритовую. В последующем эти части обособлялись в качестве самостоятельных толщ, причем солевая толща была расчленена на десять литологических горизонтов [Петров, Чистяков, 1964] снизу вверх: 1) переходный ангидрито-галитовый, 2) серый галитовый, 3) первый серовато-розовый галитовый, 4) второй серовато-розовый галитовый, 5) первый (нижний) калиеносный, 6) первый промежуточный галитовый, 7) средний калиеносный, 8) второй промежуточный галитовый, 9) верхний калиеносный, 10) покровный галитовый.

Дальнейшие детальные поисковые работы, проведенные на калийных месторождениях Юго-Западного Гиссара, показали, что количество калийных горизонтов в соляной толще гаурдакской свиты гораздо больше. В пределах Гаурдакского, Тюбегатанского и Кугитанского месторождений их число достигает 5, а на площади Карлюнского, Карабильского и Окузбулакского месторождений — 11, причем здесь они группируются в два или три хорошо прослеживаемых калиеносных горизонта [Байков и др., 1974; Герасимова, 1973; Герасимова, Седлецкий, 1969; Седлецкий, 1969, 1970а, б, 1972; Седлецкий и др., 1977]. Несмотря на эти уточнения, принципиальное строение гаурдакской свиты осталось неизменным. Она четко подразделялась на две примерно равные толщи: нижнюю — преимущественно ангидритовую, мощность которой колеблется в пределах от 150 до 400—420 м, и верхнюю — соляную, сложенную главным образом каменной солью с прослойками и горизонтами калийных солей мощностью от 180 до 400 м. Выделяющаяся в кровле гаурдакской свиты пачка ангидритов, которая обособлялась Н. П. Петровым в самостоятельную толщу, а другими исследователями называлась «покровными» ангидри-

* Нами рассматриваются только разрезы соленосной серии внутренних зон бассейна, а окраинные зоны, где разрезы сокращаются за счет выклинивания отдельных горизонтов, не анализируются.

тами, имеет по сравнению с нижележащими толщами малую мощность (всего 5—22 м). Эта пачка не меняет представления об общем двухчленном строении гаурдакской свиты, что и позволило В. И. Седлецкому с соавторами подразделить ее на две (а не на три) части, выделив каждую из них в ранг подсвиты: нижнегаурдакскую и верхнегаурдакскую.

Подобное строение гаурдакской свиты в стратотипической местности делает ее разрез весьма своеобразным и существенно отличающимся от других районов Средне-Азиатского солеродного бассейна. Важно подчеркнуть, что в Юго-Западном Гиссаре присутствует только одна соляная толща, которая к тому же содержит на разных стратиграфических уровнях калийные пласти, т. е. является калиеносной.

Второй хорошо изученный район, для которого были предложены самостоятельные схемы расчленения позднеюрских соленосных отложений, охватывает центральные и северо-восточные участки Амударьинской впадины в пределах главным образом Чарджоуской ступени, Измайл-Карабекаульской зоны и Бешкентского прогиба. Наиболее яркая особенность строения соленосной серии этого района, на что обращали внимание многие исследователи, — повсеместное распространение двух соляных и двух ангидритовых толщ [Абетов, Раубходжаева, 1977; Бабаев, 1977; Бабаев, Раубходжаева, 1972; Ильин и др., 1969]. Геологами-нефтяниками они выделяются под названиями нижнего ангидрита, нижней соли, среднего ангидрита и верхней соли. Несколько иные наименования этим толщам дали А. Г. Бабаев и Т. С. Раубходжаева (1972), которые обособили их в следующие самостоятельные четыре свиты: 1) карбонатно-ангидритовую, 2) ангидрит-галитовую, 3) галит-ангидритовую и 4) галитовую. Для последней характерно присутствие пластов калийных солей. Мощности свит достигают соответственно следующих максимальных значений: 150—170, 200, 50—90 и 300—480 м.

Некоторые авторы [Аманов, 1966; Бараш и др., 1961; Конкина и др., 1977; Машрыков и др., 1964] отмечали, что в разрезе соленосных отложений, вскрываемых в среднем течении Амудары и на востоке Туркмении, можно выделить, кроме двух соляных и двух ангидритовых пачек (или толщ), еще одну ангидритовую, залегающую в самых верхах галогенного комплекса выше толщи верхней каменной соли. Мощность этой пачки покровных ангидритов изменяется от 20 до 50 м.

Как видно, несмотря на существующие представления либо о четырех, либо о пятичленном расчленении соленосных отложений в пределах Амударьинской впадины, оба эти варианта принципиально мало отличаются друг от друга, поскольку общепризнанным остается существование здесь двух мощных соляных толщ. Литологический их состав существенно различается, во-первых, присутствием в толще нижней соли пластов ангидритов, а во-вторых, наличием в толще верхней соли калийных горизонтов, что позволяет считать ее калиеносной [Бабаев, 1977; Бабаев, Раубходжаева, 1972].

Детальная корреляция соленосных отложений внутренних участков Амударьинской впадины с районами Юго-Западного Гиссара до сих пор не проводилась. Многие исследователи считали очевидным, что комплекс галогенных образований Бухарской и Чарджоуской ступеней, Бешкентского прогиба и Измайл-Карабекаульской зоны в целом увязывается с гаурдакской свитой, и поэтому передко он выделялся под тем же названием [Аманов, 1966; Бараш и др., 1961; Машрыков и др., 1964; Конкина и др., 1977]. Варианты более дробного сопоставления предлагались лишь некоторыми авторами. Так, Б. И. Бараш и др. (1961) отмечали, что пачка нижней соли, развитая на Фарабской и Наразымской площадях, при прослеживании в сторону Юго-Западного Гиссара замещается на ангидриты нижней части гаурдакской свиты, а, следовательно, пачки верхней соли и верхних ангидритов могут быть аналогами верхнегаурдак-

ской подсвиты. Иной вариант корреляции предложили А. Г. Бабаев и Т. С. Раубходжаева (1972). Вся соленосная толща гаурдакской свиты района Юго-Западного Гиссара увязывается ими с тремя верхними свитами Бешкентского прогиба и Чарджоуской ступени: ангидрит-галитовой, галит-ангидритовой и верхней галитовой, или, другими словами, с разрезом в объеме толщ нижней соли, среднего ангидрита и верхней соли.

Разногласия эти существенны, поскольку приводят к принципиально различным выводам не только о характере фациальных замещений соленосных отложений по площади, но и об особенностях размещения зон максимального соленакопления и калийного осадкообразования.

Третий район, выделяемый некоторыми исследователями как весьма своеобразный по составу и строению соленосных отложений, охватывает юго-западные участки эвапоритового бассейна в пределах нефтеисковых площадей Шарапли, Байрам-Али, Майской, Учаджи, Южная Иолотань и прилегающих зон Мургабской впадины. Здесь выделяется байрамалийский тип разреза соленосной серии, сложенной каменистой солью с прослойями песчаников, алевролитов, глин и ангидритов, а также с несколькими сульфатными и сульфатно-карбонатными пачками [Формации..., 1976; Аманов, 1966; Машрыков и др., 1964]. Вся эта серия сопоставлялась с гаурдакской свитой.

Вариант более детального расчленения разреза соленосных отложений юго-западных участков солеродного бассейна в пределах Бахардокской моноклинали и Мургабской впадины был недавно предложен Л. Г. Гаврильчевой (1979). Она посчитала возможным перенести на эту территорию пятичленную схему подразделения соленосной серии, принятую геологами-нефтяниками для Амударьинской впадины, и в соответствии с этим выделила здесь снизу вверх пять свит: I — карбонатно-ангидритовую, II — нижнюю галитовую, III — ангидритовую, IV — верхнюю галитовую, V — «перекрывающую». Даже в районах развития байрамалийского типа разреза, где среди соленосных отложений наблюдается несколько сульфатно-карбонатных пачек, Л. Г. Гаврильчева обобщила, как и в Амударьинской впадине, лишь две соленосные толщи, разделенные ангидритовой свитой.

Принятая корреляция разрезов впервые позволила более детально рассмотреть этапность развития западной части Средне-Азиатского эвапоритового бассейна. В частности, было отмечено, что на всех этапах соленакопления конфигурация бассейна существенно не менялась, осевая его зона с наибольшими мощностями как нижней, так и верхней галитовой свит оставалась примерно на одном и том же месте, простираясь от района Байрам-Али до Сундукли и даже в пределы Бешкетского прогиба [Гаврильчева, 1979].

Предложенный Л. Г. Гаврильчевой вариант не является единственным. Можно выдвинуть, на наш взгляд, и иную корреляцию северных и южных разрезов соленосных отложений, которая позволит получить ответ на многие вопросы геологии и условий образования эвапоритовых серий.

ПРЕДЛАГАЕМАЯ СХЕМА КОРРЕЛЯЦИИ И РАСЧЛЕНЕНИЯ ПОЗДНЕЮРСКИХ СОЛЕНОСНЫХ ОТЛОЖЕНИЙ ЗАПАДНОЙ ЧАСТИ СРЕДНЕ-АЗИАТСКОГО БАССЕЙНА

На рис. 2 показана схема сопоставления разрезов соленосных отложений по профилю, пересекающему Средне-Азиатский солеродный бассейн на северо-восток через нефтеисковые площади Шатлык, Байрам-Али, Шарапли, Малай, Кауул-Кую, Сакар, Сев. Уртабулак, Зеварда, Майманактау. Этот профиль отчетливо подразделяется на две половины: северо-восточную, расположенную в пределах Амударьинской впади-

ны, и юго-западную, находящуюся на территории Бахардокской моноклинали.

В северо-восточной половине хорошо различаются все стратиграфические подразделения, выделяемые нефтяниками в Амударьинской впадине. В районах Бухарской и Чарджоуской ступеней и Измаил-Карабекаульской зоны вплоть до Малайской площади отчетливо прослеживаются нижние ангидриты, нижняя каменная соль, средние ангидриты, верхняя каменная соль и верхние (или покровные) ангидриты. Между Майманактау и Малайской площадями в составе толщи верхней каменной соли достаточно уверенно обособляется калиевосная зона. Она прослеживается во многих разрезах нефтеисковых скважин по данным гамма-каротажа на площадях Зеварда, Сев. Уртабулак, Сакар и Кауул-Кую. Маркирующими в пределах Амударьинской впадины являются средние ангидриты, которые позволяют однозначно увязать разрезы между собой и проследить как нижнюю, так и верхнюю соляные толщи.

В юго-западной половине профиля в районах Шарапли, Байрам-Али и Майской, т. е. на территории развития Бахардокской моноклинали, в составе соленосной серии отчетливо выделяется 7 толщ. Наиболее хорошо они устанавливаются по каротажным данным в разрезе Байрамалийской скв. 9 (снизу): 1) сульфатно-карбонатная (интервал глубин 4192—4098 м, мощность 94 м); 2) нижняя соляная (интервал глубин 4098—3960 м, мощность 138 м); 3) ангидритовая (интервал глубин 3960—3934 м, мощность 26 м); 4) средняя соляная (интервал глубин 3934—3481 м, мощность 453 м); 5) терригенно-карбонатно-сульфатная (интервал глубин 3481—3358 м, мощность 123 м); 6) верхняя соляная (интервал глубин 3358—3291 м, мощность 67 м); 7) верхняя терригенно-карбонатно-сульфатная (интервал глубин 3291—3225 м, мощность 66 м). Все эти толщи прослеживаются также по разрезам нефтеисковых скважин, пробуренных на структурах Шарапли, Кели, Майской, Учаджи, Южная Иолотань. Маркирующими являются ангидритовая и терригенно-карбонатно-сульфатная толщи.

В целом, разрез байрамалийского, или (как мы будем называть далее) мургабско-бахардокского, типа состоит из трех циклов эвапоритовой седиментации, каждый из которых начинается карбонатно-сульфатной (или сульфатной) толщей, а завершается соляной. Нижний эвапоритовый цикл образован сульфатно-карбонатной и нижней соляной толщами, второй цикл — ангидритовой и средней соляной толщами, третий — терригенно-карбонатно-сульфатной и верхней соляной толщами.

Таким образом, на территории юго-западной части Средне-Азиатского солеродного бассейна распространены три соляные толщи, а не две, как в Амударьинской впадине. Здесь присутствуют также две маркирующие «несоляные» толщи: ангидритовая и терригенно-карбонатно-сульфатная, тогда как на северо-востоке в Амударьинской впадине развита лишь одна маркирующая толща — средние ангидриты. Граница между юго-западным (мургабско-бахардокским) и северо-восточным (амударьинским) типами разрезов проходит приблизительно по Репетекско-Келифской зоне поднятий; на представлении профиле (см. рис. 2) она находится между нефтеисковыми площадями Шарапли и Малай.

Существующие различия в строении соленосных отложений в мургабско-бахардокской и амударьинской частях эвапоритового бассейна создают определенные трудности при их корреляции. Во-первых, возникают сложности при прослеживании маркирующих средних ангидритов Амударьинской впадины на юго-запад, поскольку их можно увязать либо с ангидритовой, либо с терригенно-карбонатно-сульфатной толщей мургабско-бахардокского типа разреза. Во-вторых, неясным становится, как сопоставить между собой соленосные толщи, развитые на северо-востоке и юго-западе.

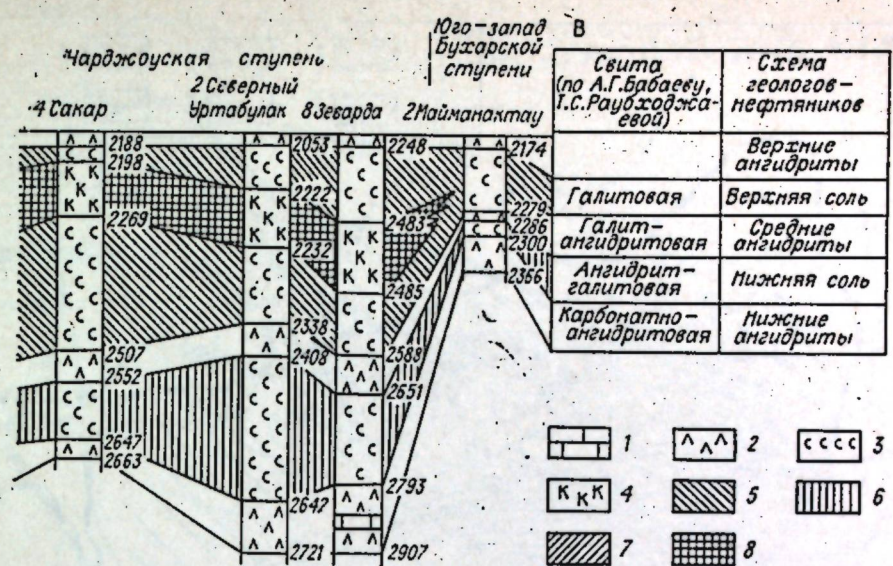
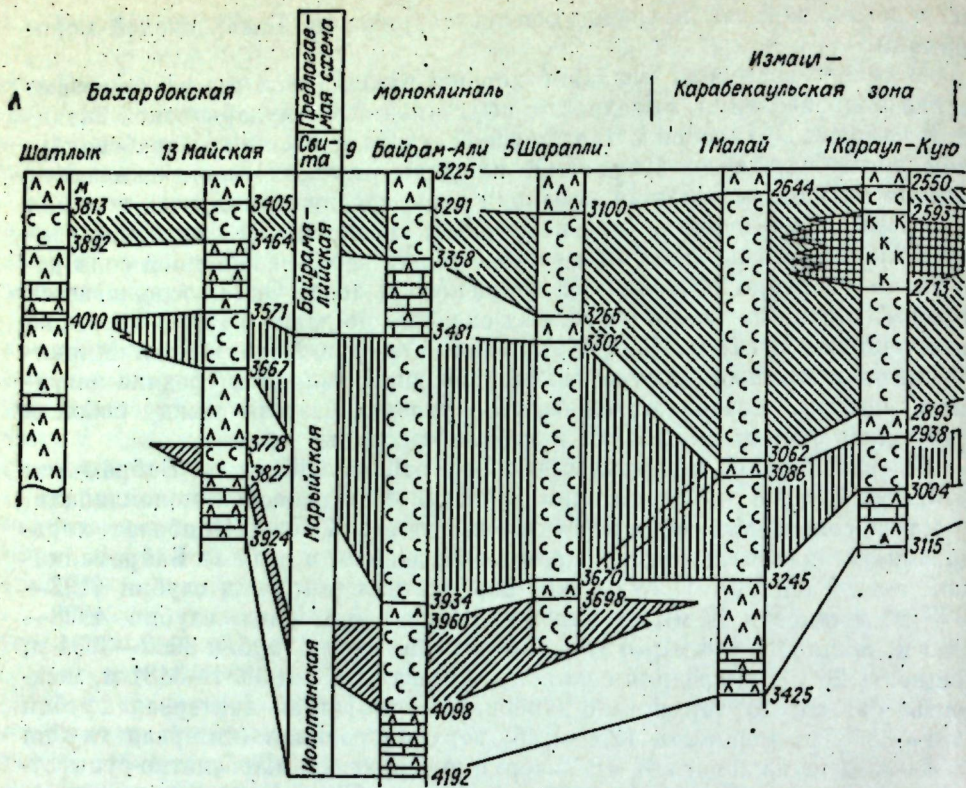


Рис. 2. Схема корреляции разрезов позднесюрских отложений по профилю.

А-В.

свity, а верхняя соль — с соляными толщами марыйской и байрамалийской свит. Наибольшие мощности в этом случае, как и отмечает Л. Г. Гаврильчева, будут фиксироваться в районе Байрам-Али.

Рассматриваемый вариант оставляет нерешенным целый ряд вопросов. Во-первых, неясно, как проследить сравнительно мощную (123 м) маркирующую терригенно-карбонатно-сульфатную толщу байрамалийской свиты на северо-восток. Если ее выклинивать, то непонятно, почему она получила развитие в центральной, наиболее погруженной, зоне и выклинилась в северо-восточных окраинных участках бассейна. Во-вторых, трудно понять отсутствие в центральной зоне бассейна с максимальными мощностями и наибольшим количеством циклов эвапоритовой седиментации горизонтов калийных солей.

Второй вариант корреляции соленосных отложений амударыинского и мургабско-бахардокского типов разреза изображен на рис. 2. В соответствии с этим вариантом, который нам представляется наиболее обоснованным, средние ангидриты Амударыинской впадины сопоставляются с терригенно-карбонатно-сульфатной толщой, а верхняя соль с соленосной частью разреза байрамалийской свиты. В этом случае нижняя соль Амударыинской впадины будет увязываться с соляной толщей марыйской свиты. Соленосные отложения иолотанской свиты присутствуют только на юго-западе, а в северо-восточном направлении они выклиниваются. Тем самым выясняется возможность присутствия в разных зонах Средне-Азиатского эвaporитового бассейна различного количества соляных толщ, как это и наблюдается в действительности.

Предлагаемый вариант позволяет считать, что иолотанская соляная толща, по-видимому, распространена только в пределах Мургабско-Бахардской зоны бассейна. Вышележащая соляная толща, охватывающая отложения верхней части марыйской свиты и ее возможный аналог — нижнюю соль Амударьинской впадины, развита почти на всей территории запада Средне-Азиатского бассейна. Она отсутствует, вероятно, лишь в районах Юго-Западного Гиссара. Третья, самая верхняя, соляная толща имеет наиболее широкое распространение. В ее состав можно включить

Учитывая эти трудности, мы считаем более правильным не выделять единые стратиграфические подразделения для всего эвапоритового бассейна, а для каждого района со своим типом разреза сохранить местное расчленение с собственными стратиграфическими единицами. На территории Амударьинской впадины обоснованнее всего принять пятичленную схему расчленения геологов-нефтяников. В пределах Мургабско-Бахардокской зоны для выделения местных стратиграфических подразделений можно использовать циклы эвапоритовой седиментации и каждый из них обособить в ранге самостоятельной свиты. Отложения нижнего цикла предлагаются объединить в иолотансскую свиту, среднего — марыйскую, а верхнего — в байрамалийскую. Стратотипическими для этих свит следует считать разрезы Байрамалийской площади, в частности разрезы 9

В соответствии с таким решением можно рекомендовать название гаурдацкой свиты сохранить только за районами Юго-Западного Гиссара, где, как уже отмечалось, развил своеобразный тип разреза позднеюрских галогенных отложений, состоящий из одной мощной калиевосной соляной толщи вверху и соизмеримой по мощности одной ангидритовой толщи внизу.

Проанализируем теперь различные варианты корреляции выделенных в западной части Средне-Азиатского бассейна трех типов разреза соленосных отложений: мургабско-бахардокского, амударьинского и гаурдакского.

Одни из вариантов увязки был упомянут. Он предложен Л. Г. Гаврильчевой (1979). Средние ангидриты Амударьинской впадины сопоставляются с ангидритовой толщей марыйской свиты Мургабско-Бахардокской зоны. На профиле (см. рис. 2) подобная корреляция показана пунктирными линиями между разрезами скважин 5 Шарашли и 1 Малай. Вполне естественно, что при такой корреляции толща нижней соли Амударьинской впадины будет увязываться с соляной толщей подотанской

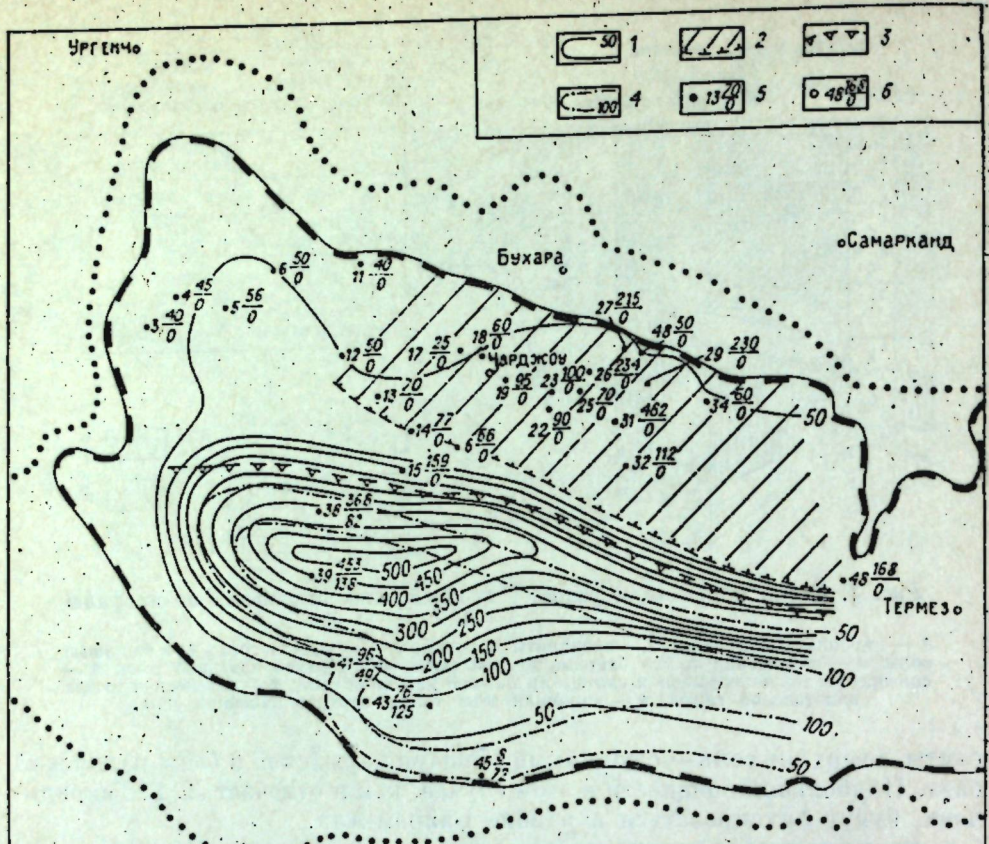


Рис. 3. Схема мощностей толщи нижней каменной соли и соленосной части разреза марыйской свиты, а также соляной толщи иолотанской свиты.

1 — линии равных мощностей толщи нижней каменной соли и соленосной части разреза марыйской свиты; 2 — площадь, в пределах которой резко меняется мощность толщи нижней каменной соли; 3 — северная граница распространения каменной соли иолотанской свиты; 4 — линии равных мощностей соленосной части разреза иолотанской свиты; 5 — нефтепоисковые площади и их номер (в числителе мощность толщи нижней каменной соли и соленосной части разреза марыйской свиты, в знаменателе мощность соляной толщи иолотанской свиты); 6 — гидропониксовые скважины и их номер. Ост. усл. обозн. см. на рис. 1.

верхнюю соль Амударьинской впадины, верхнеаурдакскую подсвиту Юго-Западного Гиссара и соленосную часть разреза байрамалийской свиты. Калиеносной будет являться только верхняя соляная толща. Наибольшие мощности калийной зоны будут приурочены к области максимальных мощностей и максимальной соленасыщенности этой соляной толщи.

Имеющиеся материалы позволяют выяснить особенности размещения выделяемых трех соляных толщ. Иолотанская толща устанавливается лишь в южной части бассейна в районах Бахардокской моноклини и Мургабской впадины (рис. 3). Северная граница распространения каменной соли этой свиты приблизительно намечается вдоль Репетекско-Келифской зоны поднятий, за которой солеродная область иолотанского времени, видимо, не простиралась. Территория Амударьинской впадины представляла собой эвaporитово-карбонатное плато, на котором при чередовании морских и эвапоритовых обстановок, а также в условиях прибрежной сабхи накапливались карбонатные (как органогенные, так и хемогенные) и гипсоносные осадки. Центральная зона иолотанского солеродного водоема, по всей вероятности, располагалась в осевой части Мургабской впадины и простиралась почти в меридиональном направлении.

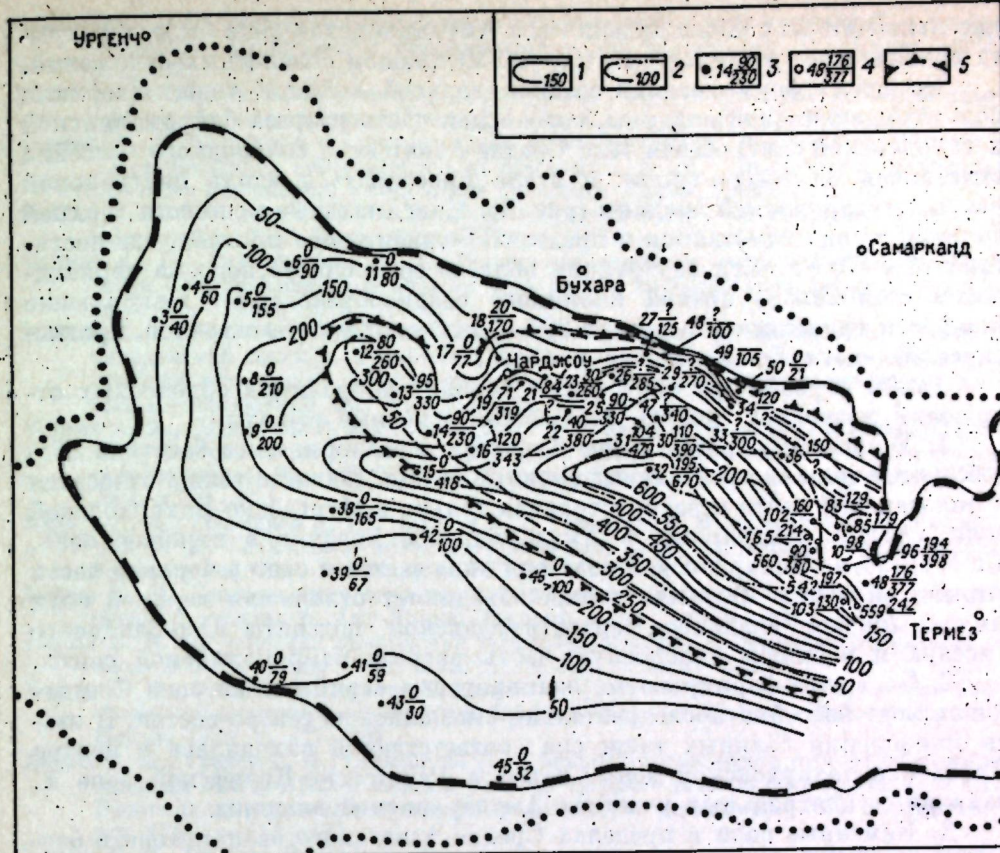


Рис. 4. Схема мощностей толщи верхней каменной соли и соленосной части разреза байрамалийской свиты, а также мощностей калиеносной зоны гаурдакской свиты.
1 — линии равных мощностей толщи верхней каменной соли и соленосной части разреза байрамалийской свиты; 2 — линии равных мощностей калиеносной зоны; 3 — нефтепоисковые площади и их номер (в числителе мощность калиеносной зоны, в знаменателе мощность толщи верхней каменной соли и соленосной части разреза байрамалийской свиты); 4 — гидропониксовые скважины и их номер; 5 — граница распространения калийных солей. Ост. усл. обозн. см. на рис. 1.

К этой зоне приурочены максимальные мощности каменной соли иолотанской свиты, достигающие более 140 м.

Можно отметить следующие особенности размещения второй соляной толщи. Область наибольших мощностей смешена к северу и северо-востоку и находится в пределах Репетекско-Келифской зоны поднятий. Можно предположить, что соляные купола этой зоны образованы именно соляной толщей марыйской свиты. Солеродный водоем во время формирования верхней части марыйской свиты и ее возможного аналога — толщи нижней соли — разделялся на две зоны: южную — Мургабско-Бахардокскую и северную — Амударьинскую. Южная зона представляла собой единый прогиб, в центральной части которого мощность соляной толщи достигает более 500 м. Амударьинская зона характеризовалась очень своеобразными условиями седиментации. В целом она оставалась шельфовой платообразной областью. Во время накопления нижних ангидритов и в начальные этапы соленакопления здесь продолжало существовать эвапоритово-карбонатное плато, на котором нередко формировались разнообразные органогенные постройки, в том числе и рифогенные, а между ними накапливались пачки сульфатных пород и каменной соли. Такие сложные палеогеографические и палеотектонические условия привели к резкому колебанию мощности нижней каменной соли от 40—70 м на карбонатных платообразных участках до 230 и даже 460 м между рифами. Только в заклю-

чительные этапы соленакопления вся Амударьинская зона была перекрыта сравнительно маломощным (40–60 м) плащом соленосных отложений.

Во время формирования осадков верхней соляной толщи (верхняя соль Амударьинской впадины, соленосная часть разреза байрамалийской и гаурдакской свит) осевая зона Средне-Азиатского солеродного бассейна сместилась на северо-восток и стала простираться вдоль центральной части Амударьинской впадины (рис. 4). Максимальные мощности верхней соляной толщи отмечаются в пределах Бешкентского прогиба, где достигают 600–700 м. Вся внутренняя область солеродного водоема периодически становилась ареной калийного осадкообразования. Наибольшие мощности калинепосной зоны (до 200 м) тяготеют к юго-восточной, пригисарской, части Бешкентского прогиба.

Таким образом, рассмотренный вариант корреляции соленосных отложений позволяет сделать следующие основные выводы.

1. В западной части Средне-Азиатского эвапоритового бассейна обособляются три самостоятельные соляные толщи. Нижняя толща относится к идолотанской свите и распространена только в Мургабско-Бахардокской зоне. Средняя выделяется в Амударьинской впадине в нижнюю соль, а в Мургабско-Бахардокской зоне она включается в состав верхней части марыйской свиты. Верхняя толща объединяет отложения верхней соли Амударьинской впадины, верхнегаурдакской подсвиты Юго-Западного Гиссара и верхнюю соленосную часть разреза байрамалийской свиты.

2. Во время формирования эвапоритовых серий осевая зона Средне-Азиатского бассейна последовательно смешалась на северо-восток. В этапы накопления соляных толщ она соответственно находилась в центре Мургабско-Бахардокской зоны, затем в Речетекско-Келифской зоне и, наконец, в центральных участках Амударьинской впадины.

3. Каменные соли в пределах Средне-Азиатского эвапоритового бассейна накапливались лишь во время формирования верхней соляной толщи. Они распространены в центральной части Амударьинской впадины и наибольшей мощности достигают в пределах Бешкентского прогиба и районов Юго-Западного Гиссара.

В заключение нужно отметить, что предложенный вариант расчленения и увязки соленосных отложений западной части Средне-Азиатского эвапоритового бассейна нуждается еще в серьезном обосновании. Выдвинутая его, авторы в основном хотят обратить внимание на необходимость более детального изучения особенностей внутреннего строения позднеюрской галогениной серии и условий ее образования.

ЛИТЕРАТУРА

- Абетов Е. М., Раубходжаева Т. С. Состав, строение и типы разрезов юрских отложений Западного Узбекистана.— В кн.: Геология и перспективы нефтегазоносности Западного Узбекистана. Ташкент: изд. ТПИ, 1977, с. 3–15.
Айзберг Р. Е. Основные черты строения Приамударьинской части Юго-Восточной Туркмении.— Геология нефти и газа, 1961, № 2, с. 9–12.
Айзберг Р. Е., Давыдов А. И., Соколов В. Я. Юрская система. Верхний отдел.— В кн.: Геология и нефтегазоносность Восточной Туркмении. М.: Недра, 1968, с. 12–16.
Акрамходжаев А. М., Эгамбердыев М. Э., Миркамалов Х. Х., Паржаджиев М. Н. Особенности литологического состава, стратиграфия и перспективы нефтегазоносности мезозойских и палеогеновых отложений Южного и Юго-Западного Узбекистана. Ташкент: Наука, 1971. 200 с.
Алиев И. М. Мургабская нефтегазоносная область.— В кн.: Геология нефтегазоносных областей Средней Азии и Южного Казахстана. М.: Недра, 1969, с. 192–196.
Алланов А. А., Гаврильчева Л. Г. Литолого-фаунистические комплексы эвапоритовой формации верхней юры юго-запада Средней Азии.— В кн.: Проблемы соленакопления. Т. 1. Новосибирск: Наука, 1977, с. 289–291.
Аманов С. Разрезы юрских отложений разведочных площадей Восточной Туркмении.— Изв. АН ТуркмССР. Серия физ.-техн., хим. и геол. наук, 1966, № 1, с. 73–80.

Амурский Г. И. Тектоника Туркмении и сопредельных с ней территорий.— В кн.: Тектоника Туркмении и сопредельных с ней территорий. М.: Наука, 1966, с. 6–32.

Бабаев А. Г. Геотектоническая история Западного Узбекистана и региональные закономерности размещения скоплений нефти и газа. Л.: Недра, 1966а. 372 с.

Бабаев А. Г. Формации осадочного чехла юго-восточной и северо-восточной частей Амударьинского нефтегазоносного бассейна.— В кн.: Литология и осадочные полезные ископаемые Узбекистана. Ташкент: Наука, 1966б, с. 5–34.

Бабаев А. Г. Послепалеозойские эвапориты Средней Азии.— В кн.: Проблемы соленакопления. Т. 1. Новосибирск: Наука, 1977, с. 285–289.

Бабаев А. Г., Раубходжаева Т. С. Соляно-ангидритовая формация юго-восточной части Бухаро-Хивинской области и ее роль в формировании залежей нефти и газа. М.: Недра, 1972. 176 с.

Байков А. А., Седлецкий В. И., Худайкулиев Х. К вопросу о геологическом строении гаурдакской свиты и перекрывающих ее красноцветных отложений мезозоя на крайнем юго-востоке Туркмении.— В кн.: Закономерности размещения газовых месторождений. М.: Недра, 1968а, с. 213–220.

Байков А. А., Седлецкий В. И., Худайкулиев Х. О взаимоотношении гаурдакской свиты с подстилающими и перекрывающими отложениями мезозоя в Юго-Западном Гиссаре.— Изв. АН ТуркмССР. Серия физ.-техн., хим. и геол. наук, 1968б, № 4, с. 87–92.

Байков А. А., Берклиев К. П., Жданов Б. П., Казаков В. Ф., Лазарев И. С., Седлецкий В. И. Геология и полезные ископаемые Гаурдак-Кугитангского района Туркменской ССР. Ростов: изд. РГУ, 1974. 261 с.

Бараш Б. И. Геологическое строение и перспективы нефтегазоносности территории среднего течения р. Аму-Дары. Автореф. канд. дис. М., 1963. 28 с.

Бараш Б. И. Об условиях накопления гаурдакской свиты Каракумского бассейна.— Бюл. МОИП. Отдел геол., 1975, т. 50, вып. 6, с. 90–95.

Бараш Б. И., Вето В. И. Бухаро-Хивинская нефтегазоносная область.— В кн.: Геология нефтегазоносных областей Средней Азии и Южного Казахстана. М.: Недра, 1969, с. 177–191.

Бараш Б. И., Грачев Г. И., Соколов В. Я. К вопросу о положении стратиграфической границы между юрой и мелом в районах среднего течения Аму-Дары.— В кн.: Новые данные по геологии и нефтегазоносности Средней Азии. М.: Гостоптехиздат, 1961, с. 114–120.

Бараш Б. И., Соколов В. Я. Геологическое строение и перспективы нефтегазоносности Фарабской структуры.— В кн.: Новые данные по геологии и нефтегазоносности Средней Азии. М.: Гостоптехиздат, 1961, с. 105–113.

Бережкин В. Т. Титон: чередование трангрессий и регрессий моря.— В кн.: Геология и перспективы нефтегазоносности Западного Узбекистана. Ташкент: изд. ТПИ, 1977, с. 91–98.

Бережкин В. Т. Об условиях и времени появления отложений галита в разрезах верхнеюрских осадков на территории Западного Узбекистана.— Узб. геол. журнал, 1978, № 4, с. 30–36.

Браташ В. И. О границе между юрской и меловой системами в южных районах Средней Азии.— В кн.: Тектоника Туркмении и сопредельных территорий. М.: Наука, 1966, с. 224–236.

Браташ В. И., Вонгиз Л. Б., Егупов С. В., Иванов С. Д., Печников В. В. Верхнеамударинская нефтегазоносная область.— В кн.: Геология нефтегазоносных областей Средней Азии и Южного Казахстана. М.: Недра, 1969, с. 197–212.

Браташ В. И., Егупов С. В., Печников В. В., Шеломенцев А. И. Новые данные по геологии и нефтегазоносности юго-восточного обрамления Туранской плиты.— В кн.: Тектоника Туркмении и сопредельных территорий. М.: Наука, 1966, с. 68–76.

Браташ В. И., Егупов С. В., Печников В. В., Шеломенцев А. И. Геология и нефтегазоносность Севера Афганистана. М.: Недра, 1970. 288 с.

Бурцева Т. И., Левенко А. И., Теодорович Г. И. Литология и фауна юрских и нижнемеловых отложений Бухаро-Хивинской нефтегазоносной области. М.: Наука, 1969. 132 с.

Быков В. И., Мальцева А. К., Туранов В. А. Литолого-стратиграфическая характеристика мезозойских отложений платформенного покрова Туранской плиты и палеогеографические и палеотектонические условия их формирования. Отложения юрского периода.— В кн.: Геологические условия и основные закономерности размещения скоплений нефти и газа в пределах эпигерцинской платформы юга СССР. Т. 1. Средняя Азия. М.: Гостоптехиздат, 1963, с. 182–207.

Вальбе С. П., Смирнов Л. И., Птушкин Э. И., Алланов А. И. Основные черты тектоники Туркменского сегмента Алтынайской складчатой области.— Геотектоника, 1970, № 6, с. 105–115.

Вахрамеев В. А. Краткий геологический очерк калийных месторождений Карлюкского района.— Калий, 1932, № 7, с. 8–10.

- Вахрамеев В. А., Пейве А. В. Гаурдакско-Лялимканские месторождения калийных солей.— Калий, 1933, № 4, с. 18—26.
- Вахрамеев В. А., Пейве А. В., Херасков И. П. Мезозой Таджикистана (юрские, нижнемеловые отложения Гиссарского хребта и Таджикской депрессии). М.—Л.: Изд-во АН СССР, 1936. 195 с.
- Вольвовский И. С., Гарецкий Р. Г., Шлезингер А. Е., Шрайбман В. И. Тектоника Туркменской плиты. М.: Наука, 1966. 287 с.
- Гаврильчева Л. Г. Основные особенности строения и распределения мощностей эвапоритовой формации верхней юры Восточного Туркменистана.— Изв. АН ТуркмССР. Серия физ.-техн., хим. и геол. наук, 1977а, № 3, с. 103—109.
- Гаврильчева Л. Г. О закономерностях распределения мощностей и фаунистической зональности кимеридж-титоинских отложений Восточного Туркменистана и Западного Узбекистана.— Узб. геол. журнал, 1977б, № 6, с. 24—30.
- Гаврильчева Л. Г. Фациальная зональность и условия осадконакопления соленосной формации верхней юры на территории Восточного Туркменистана.— В кн.: Соленосные формации и практическое значение их изучения. Т. II. Новосибирск, ИГИГ СО АН СССР, 1979, с. 26—27.
- Гаврильчева Л. Г. Фациальная зональность и условия осадконакопления соленосной формации верхней юры на территории Восточного Туркменистана.— В кн.: Строение и условия образования соленосных формаций. Новосибирск: Наука, 1981, с. 120—127.
- Герасимова В. В. Верхнеюрский калийный бассейн.— В кн.: Месторождения калийных солей СССР, методика их поисков и разведки. Л.: Недра, 1973, с. 152—183.
- Герасимова В. В., Седлецкий В. И. Калийные соли юга Средней Азии. Ростов: изд. РГУ, 1969. 79 с.
- Гиммелльфарб Б. М. Геологоразведочные работы на калий в Средней Азии в 1931 г.— Калий, 1932, № 5—6, с. 7—11.
- Гиммелльфарб Б. М. Среднеазиатские калийные залежи. Геологоразведочные работы в 1931 г. в Туркменской ССР на Окузбулакском месторождении.— В кн.: Гаурдакский хим. комбинат. Т. II. Ч. 1. Ашхабад — Баку: Туркменгосиздат, 1934, с. 28—35.
- Давыдов А. И. Стратиграфическое расчленение мезозойского разреза крайнего юга ТССР.— В кн.: Геология и полезные ископаемые Туркмении. Ашхабад: Ылым, 1969, с. 127—149.
- Дикенштейн Г. Х., Клещев К. А., Радюшкина Т. Т., Шебуева И. И. Корреляция разрезов юрских и неокомских отложений платформенной части Средней Азии.— В кн.: Геология нефтегазоносных областей Средней Азии и Южного Казахстана. М.: Недра, 1969, с. 18—35.
- Ильин В. Д., Беликова Г. М., Кутузова В. В., Мирзоев Г. Г. Унифицированная региональная схема стратиграфии юрских и меловых отложений центральных областей Средней Азии.— В кн.: Геология нефтегазоносных областей Средней Азии и Южного Казахстана. М.: Недра, 1969, с. 5—6.
- Ильин В. Д., Румакин В. И. Использование метода гамма-термолюминесценции для корреляции карбонатных пород верхней юры Западного Узбекистана.— В кн.: Геология и перспективы нефтегазоносности Средней Азии. М.: изд. ВНИГНИ, 1970, с. 22—30.
- Ишниязов Д. П., Мирахмедов М. Калийные соли Узбекистана и пути их освоения.— В кн.: Геология месторождений горно-химического сырья Средней Азии. Ташкент: изд. САИГИМСа, 1975, с. 56—65.
- Конкина Л. И., Мусаев С. И., Бекаев М. М. О стратиграфическом положении пограничных слоев кугитанской и гаурдакской свит в районе Денгизкульского вала.— В кн.: Геология и разработка нефтяных месторождений Средней Азии. Грозный: изд. Среднеазиатской НИПИНефть, 1977, с. 17—25.
- Крылов И. А. Основные черты региональной тектоники платформенного чехла запада Средней Азии.— В кн.: Геологическое строение и нефтегазоносность эпигерцинской платформы юга СССР. М.: Наука, 1966, с. 75—104.
- Крылов И. А., Мальцева А. К. Юрские отложения запада Средней Азии и их нефтегазоносность. М.: Наука, 1976. 171 с.
- Крылов И. А., Мячин М. И., Тимохина И. И., Филиппа И. Ф. История тектонического развития запада Средней Азии в мезокайнозое.— В кн.: Геологическое строение и нефтегазоносность эпигерцинской платформы юга СССР. М.: Наука, 1966, с. 105—139.
- Крымгольц Г. Я. Юрская система. Верхняя юра. Гаурдак-Кугитанский район.— В кн.: Геология СССР. Т. 22. Туркменская ССР. Ч. 1. Геологическое описание. М.: Госгеолтехиздат, 1957, с. 123—130.
- Куницкая Т. И., Пожарская Г. Ф., Соловьева И. С., Шитова А. И., Шуцкая Е. К., Бояринова Л. А., Загоруйко В. А., Исаева А. Г., Коровина Г. М., Моксяко-ва А. М., Самодуров В. И., Сиропкина Л. Ф. Фации и палеогеографическая обстановка накопления мезозойских и кайнозойских отложений Средней Азии и южных районов Казахстана.— В кн.: Геология нефтегазоносных областей Средней Азии и Казахстана. М.: Недра, 1969, с. 58—102.
- Лебзин Е. В., Готтильф А. В. Соляно-гипсово-ангибитовая толща верхней юры и ее влияние на размещение залежей нефти и газа в мезозойских отложениях Узбекистана и Таджикистана.— В кн.: Геология нефтяных и газовых месторождений Урало-Поволжья, Кавказа, Средней Азии. М.: Недра, 1966, с. 283—297.
- Ледовская Г. И. Геологическое строение и нефтегазоносность мезозойских отложений Юго-Западного Прикаспия (Бешкент-Кашкадарьяńska впадина и Байсун-Кугитанскская мегантиклиналь). Автореф. канд. дис. М., 1965. 24 с.
- Лувинис М. Г. Особенности строения верхнеюрских отложений Западного Узбекистана в связи с нефтегазоносностью.— В кн.: Геология и перспективы нефтегазоносности Средней Азии. М.: изд. ВНИГНИ, 1970, с. 178—188.
- Лувинис М. Г. Строение верхнеюрских отложений Бухаро-Хивинской области в связи с их газонефтегеносностью. Автореф. канд. дис. М., 1971. 24 с.
- Лувинис М. Г., Терехов В. И., Лупин И. М. Строение соляно-ангибитовой толщи северо-западной части Бухаро-Хивинской нефтегазоносной области.— В кн.: Геология и разведка газовых и газоконденсатных месторождений. Информационный сборник. Вып. 11. М.: изд. ВНИГНИ, 1970, с. 45—51.
- Лучников В. С., Юшина И. Д. О возрасте галогенной формации юго-востока Средней Азии.— Докл. АН ТаджССР, 1973, № 9, с. 39—41.
- Машрыков К. К., Аманназов К., Худошин И. М., Юферев Р. Ф. Стратиграфия и условия образования кимеридж-титоинских отложений Туркмении.— Изв. АН ТуркмССР. Серия физ.-техн., хим. и геол. наук, 1964, № 2, с. 80—87.
- Машрыков К. К., Крымгольц Г. Я., Мирзаханов М. К., Юферев Р. Ф., Кривошеев В. Т. Региональная схема стратиграфии юрских отложений территории Туркмении.— В кн.: Геология и полезные ископаемые Туркмении. Ашхабад: изд. ИГ ТуркмССР, 1969, с. 5—39.
- Машрыков К. К., Кулиев Л. К. Литофациальная характеристика юрских отложений Туркмении.— В кн.: Геология и полезные ископаемые Туркмении. Ашхабад: Ылым, 1969, с. 40—63.
- Машрыков К. К., Юферев Р. Ф., Аманназов К. К. Палеотектоника верхней юры территории Туркмении.— Изв. АН ТуркмССР. Серия физ.-техн., хим. и геол. наук, 1966, № 2, с. 78—82.
- Мирахмедов М., Ишниязов Д. П., Юлдашев Э. Л. Перспективы калиевоносности гаурдакской свиты юго-западных отрогов Гиссарского хребта.— Узб. геол. журнал, 1975, № 1, с. 34—37.
- Миропличенко В. П. Краткий геологический очерк западных склонов Кугитанга-Тая и Гаурдак-Тюбагатанской антиклинали.— В кн.: Гаурдакский хим. комб., Т. 1. Ашхабад—Баку: Туркменгосиздат, 1933, с. 40—52.
- Могилевский Г. И., Юлдашев Ш. И. О глубинах формирования верхнеюрских галогенных отложений (гаурдакская свита) Амударьянской впадины.— Докл. АН УзбССР, 1973, № 9, с. 35—36.
- Пейве А. В. Тектоника Окузбулакского месторождения спльвинита.— Калий, 1933, № 4, с. 29—35.
- Пейве А. В. Гаурдакское месторождение.— Калий, 1934, № 5, с. 9—15.
- Петров Н. П. Новые данные о калийных солях в месторождениях юго-западных отрогов Гиссарского хребта.— Изв. АН УзбССР, 1947, № 2, с. 23—34.
- Петров Н. П. Строение гаурдакской свиты в юго-западных отрогах Гиссарского хребта.— Докл. АН УзбССР, 1949, № 3, с. 45—49.
- Петров Н. П. Литология верхнеюрской соляной формации Юго-Западного Гиссара.— В кн.: Труды Ити-гаол. АН УзбССР, вып. IX. Ташкент: изд-во АН УзбССР, 1953, с. 196—205.
- Петров Н. П. Некоторые особенности тектоники Гаурдак-Кугитанского района, связанные с наличием соляной толщи.— В кн.: Геология СССР. Т. 22. Туркменская ССР. Ч. 1. Геологическое описание. М.: Госгеолтехиздат, 1957, с. 492—499.
- Петров Н. П. К геологии солевых отложений юга Средней Азии.— Узб. геол. журнал, 1959, № 6, с. 43—54.
- Петров Н. П. К вопросу об образовании солевых отложений мезокайнозоя на юге Средней Азии.— Узб. геол. журнал, 1963, № 5, с. 9—16.
- Петров Н. П. Месторождения каменной соли Ходжа-Мумыи.— В кн.: Литология и осадочные полезные ископаемые Узбекистана. Ташкент: ФАН, 1966, с. 104—135.
- Петров Н. П., Чистяков П. А. Литология солевых и красноцветных отложений юго-западных отрогов Гиссара. Ташкент: Наука, 1964. 222 с.
- Попов В. С. Верхнеюрская галогенная формация внутриконтинентальных солеродных морских водоемов Средней Азии.— Литология и полезные ископаемые, 1968а, № 1, с. 56—69.
- Попов В. С. Условия образования калиевоносных фаций (на примере верхнеюрской галогенной формации Средней Азии).— В кн.: Физико-химические процессы и фации. М.: Недра, 1968б, с. 146—153.
- Попов В. С. Калиевоносность верхнеюрской галогенной формации юга Средней Азии.— В кн.: Закономерности размещения и вопросы прогнозирования полезных ископаемых Средней Азии. Вып. 8. Ташкент: УзАИ, 1969, с. 99—103.

- Попов В. С., Осичкина Р. Г., Касымходжаева У. С., Джураева Л. Х., Джумаклычев Д. Д., Тилляходжаев Х. Н. Геохимические особенности верхнеюрской галогенной формации юга Средней Азии. — В кн.: Проблемы соленакопления. Т. 1. Новосибирск: Наука, 1977, с. 291—294.
- Репман Е. А. О возрасте гаурдакской свиты юго-западных отрогов Гиссарского хребта. — В кн.: Сборник научных трудов ИГИГ АН УзбССР и Главгеологии УзбССР. Вып. 3. Ташкент: Наука, 1964а, с. 114—120.
- Репман Е. А. Стратиграфия верхнеюрских отложений юго-западных отрогов и южного склона Гиссарского хребта. — В кн.: Сборник научных трудов. Ташкент: изд. ТПИ, 1964б, с. 216—226.
- Садыков Т. С. Геолого-литологическая характеристика и условия образования соляных месторождений Таджикской депрессии. Автореф. канд. дис. Ташкент, 1973. 23 с.
- Седлецкий В. И. Калийные соли Средней Азии. — Литология и полезные ископаемые, 1969, № 5, с. 129—139.
- Седлецкий В. И. Литолого-фацальные особенности и условия калиевоносности мезозойских отложений юга Средней Азии. — В кн.: Состояние и задачи советской литологии. Т. 3. М.: Наука, 1970а, с. 49—57.
- Седлецкий В. И. Новые данные о соленоносных отложениях Хива-Мургабской впадины и мегантиклинали Юго-Западного Гиссара. — Геология нефти и газа, 1970б, № 9, с. 29—34.
- Седлецкий В. И. Прогноз калиевоносности верхнеюрской и нижнемеловой галогенной формации юга Средней Азии. — В кн.: Геология и условия образования месторождений калийных солей. Л.: изд. ВНИИГ, 1972, с. 162—167.
- Седлецкий В. И., Федин О. В. Литолого-фацальные особенности и калиевоносность верхнеюрских галогенных отложений Средней Азии. — Литология и полезные ископаемые, 1981, № 1, с. 108—120.
- Седлецкий В. И., Попов В. С., Деревягин В. С., Пилипчук А. И. Геологическое строение, калиевоносность и условия образования верхнеюрских и нижнемеловых соленоносных отложений юга СССР. — В кн.: Проблемы соленакопления. Т. 1. Новосибирск: Наука, 1977, с. 270—285.
- Синкель Т. А., Станкевич Ю. В. Об изменчивости возраста юрских свит в юго-западных отрогах Гиссара. — В кн.: Сборник научных трудов ИГИГ АН УзбССР и Главгеологии УзбССР. Вып. 3. Ташкент: Наука, 1964, с. 74—80.
- Соколов В. Я. Геологическое строение и нефтегазоносность Восточной Туркмении. Автореф. канд. дис. Ашхабад, 1967. 25 с.
- Соколов В. Я., Пилин Я. А., Коидзирский И. В., Ольховский А. И. Майское — новое крупное месторождение газа Примургабского района. — В кн.: Геология нефтяных и газовых месторождений Урало-Пополжья, Кавказа и Средней Азии. М.: Наука, 1966, с. 279—283.
- Сотириади К. А. Юрские и меловые отложения Западного Узбекистана и их нефтегазоносность. Ташкент: ФАН, 1968. 169 с.
- Станкевич Ю. В., Троицкий В. И. Типы разрезов юры юго-западных отрогов Гиссарского хребта. — В кн.: Ученые записки САИГиМС. Вып. 7. Ташкент: Наука, 1962, с. 18—27.
- Старобинец А. Е. О распространении верхнеюрских соляно-гипсово-ангидритовых образований на территории Северной, Центральной и Юго-Восточной Туркмении. — Нефтегазовая геология и геофизика. 1964, № 12, с. 27—32.
- Строение верхнеюрской карбонатной формации центральных областей Средней Азии/Ильин В. Д., Безносов Н. В., Беляков Г. М. и др. М.: Недра, 1976. 128 с.
- Троицкий В. И. К вопросу об изменении фацального состава отложений гиссарской и гаурдакской свит в Таджикской депрессии. — Докл. АН УзбССР, 1962, № 10, с. 45—47.
- Троицкий В. И. Верхнетриасовые и юрские отложения Южного Узбекистана. Л.: Недра, 1967. 311 с.
- Формации, палеотектоника и нефтегазоносность палеозоя и мезозоя Туркменистана/Алланов А. А., Жмуд М. С., Панасенко О. М., Ташлиев М. С., Ташлиев М. Ж. М.: Недра, 1976. 131 с.
- Херасков И. П. Поисковые работы на калий в Средней Азии, геолого-поисковые исследования юго-западного окончания Гиссарского хребта. — В кн.: Гаурдакский химкомбинат. Т. 2. Ч. 1. Ашхабад — Баку: Туркменгосиздат, 1934, с. 20—31.

В. С. Лучников

ВЕРХНЕЮРСКАЯ ГАЛОГЕННАЯ ФОРМАЦИЯ ЮГО-ВОСТОКА СРЕДНЕЙ АЗИИ

На рассматриваемой территории верхнеюрская галогенная формация распространена широко (рис. 1). В последние 10—15 лет она вскрыта многочисленными скважинами в Бухаро-Хивинской нефтегазоносной области, в юго-западных отрогах Гиссара и в Афгано-Таджикской впадине. Территория Юго-Западного Таджикистана и Восточной Туркмении представляет собой солянокупольные области, где на поверхности выделяются многочисленные соляные тела. В первичном залегании в верхнеюрском разрезе галогенно-сульфатные образования известны в западной половине региона, в Северном Афганистане и в горном обрамлении Афгано-Таджикской впадины. Здесь кимеридж-титонский возраст рассматриваемых отложений не вызывает сомнений [Репман, 1964; Лучников, Юшина, 1973].

Относительно возраста солей Юго-Западного Таджикистана существуют разногласия. Многие исследователи признают верхнеюрский их возраст. Б. А. Борнеман [1934; Б. А. Борнеман и др., 1935], А. Р. Бурачек (1934), Н. П. Петров (1966) относили соли к неоген-четвертичным образованиям. Б. М. Гиммельфарб (1934) полагал, что соляные толщи развиваются лишь локально и в виде линз залегают среди красноцветов нижнего мела. В. И. Браташ [1966; Браташ и др., 1970] высказал точку зрения о берриас-валанжинском возрасте соляно-гипсовой толщи. Иной вариант предложил В. И. Седлецкий [1970; Седлецкий, Байков, 1970; Седлецкий и др., 1977], отнеся соли Афгано-Таджикской впадины к альмурадскому горизонту (валанжин-готерив). Этого же мнения придерживается Т. С. Садыков (1977). Г. Е. Котепяткина (1974) по материалам бурения на площади Танапчи и Кызылсу (Юго-Западный Таджикистан) установила сантонский возраст солей. Последняя точка зрения об акджарском (палеоценовом) возрасте солей Кулябской зоны высказана нефтяниками в последние годы [Ильин и др., 1979]. Нами приводятся результаты многолетних исследований по верхнеюрским галогенным отложениям юго-востока Средней Азии.

Особенности строения и вещественного состава пород галогенной формации позволяют выделить на рассматриваемой территории ряд структурно-фацальных зон с характерными типами разрезов (рис. 2). Наиболее полные разрезы с максимальными мощностями галогенных образований известны в длительно прогибавшихся унаследованных еще с пермтриаса Мургабской впадине, Приамударьинском и Кулябском прогибах. Соленоносные отложения приурочены к центральной части солеродного бассейна. В окраинных его зонах развиты сокращенные разрезы, представленные преимущественно сульфатными отложениями, замещающими в прибрежных зонах сульфатно-карбонатно-глинистым комплексом.

В северной полосе Бухарской и Душанбинской ступеней, в южной части Северо-Афганской ступени, в восточной подзоне южного склона Гиссара и в Юго-Западном Карагане разрез юрских образований представлен толщей переслаивания глинистых, редко кристаллических известняков, доломитов, мергелей и глин оксфорд-кимериджского возраста. В низах обычно присутствуют горизонты терригенных пород, а в верхах появляются линзовидные прослои сульфатных пород (рис. 3, см. вкладку). Все породы обогащены доломитовым материалом (от 5—7 до 60% и выше). Ангидриты и гипсы составляют здесь не более 15—20%. По мере удаления от областей сноса (от прибрежной зоны солеродного бассейна) на выше-

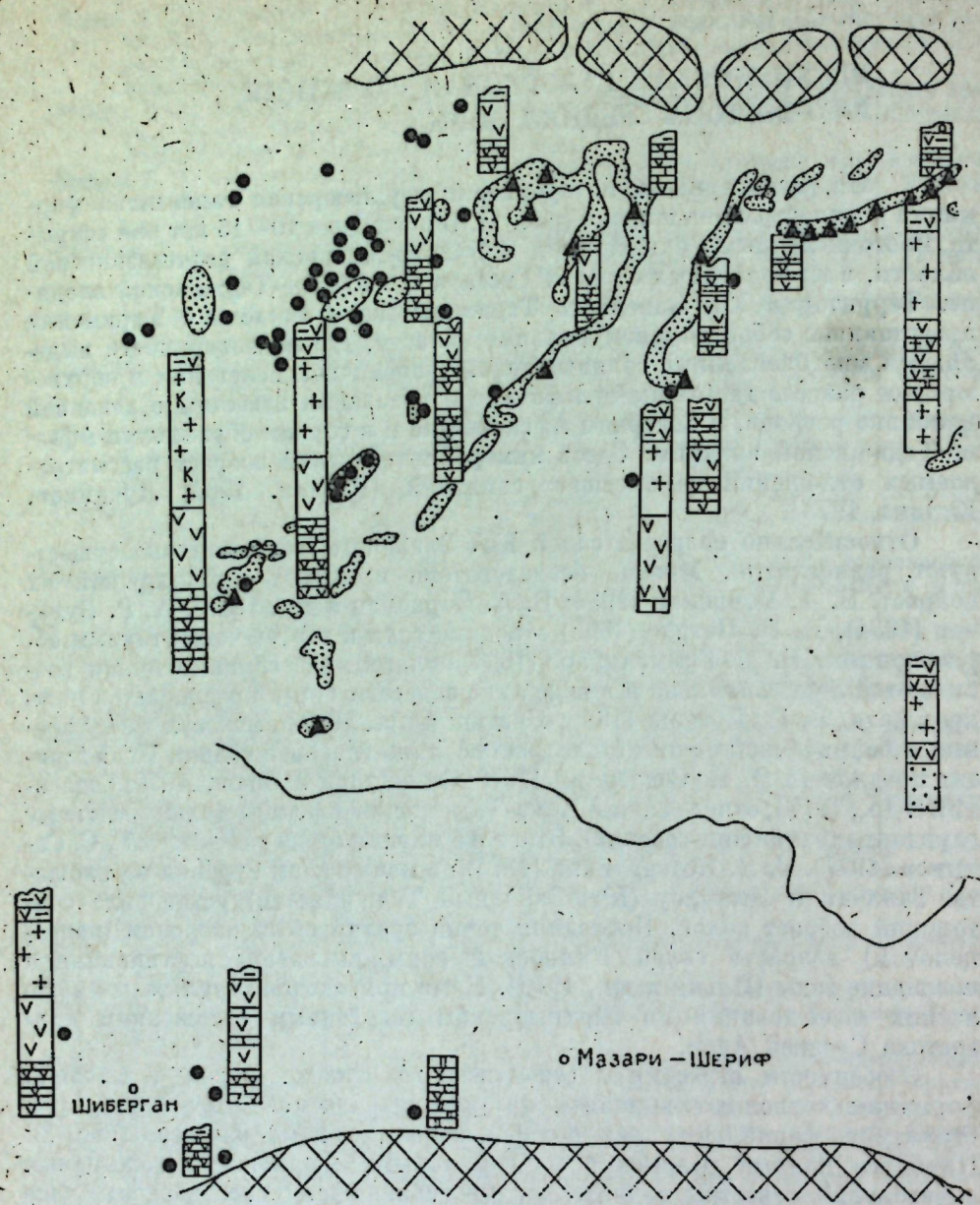
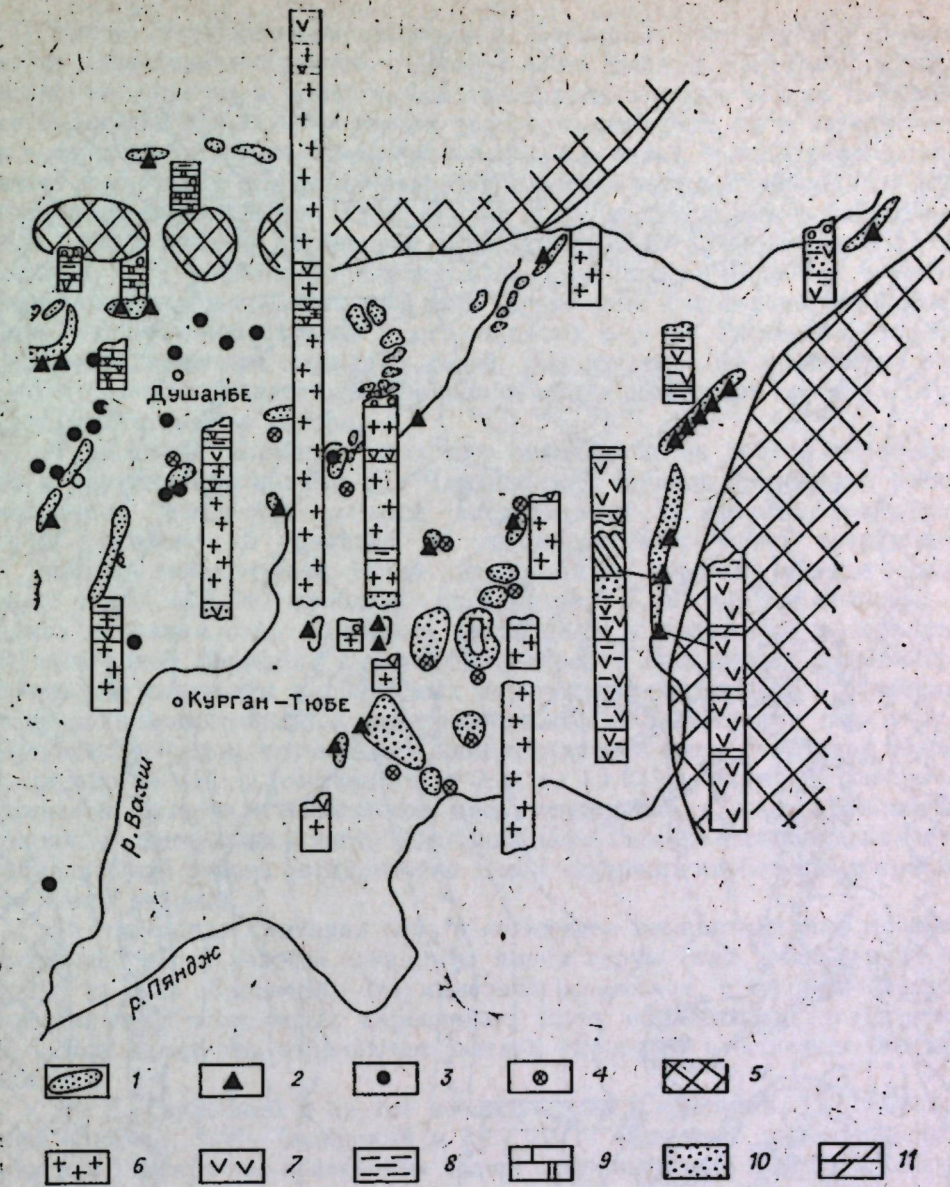


Рис. 1. Карта изученности и типов разрезов верхнеюрской галогениной формации юго-востока Средней Азии.

1 — выходы верхнеюрской галогениной формации на поверхности; 2 — изученные разрезы; 3 — изученные скважины; 4 — изученные соляные тела (серии скважин); 5 — палеозойские отложения; 6 — каменная соль; 7 — ангидрит (гипс); 8 — глина; 9 — известняк и доломит; 10 — терригенные породы; 11 — глинисто-карбонатные породы.

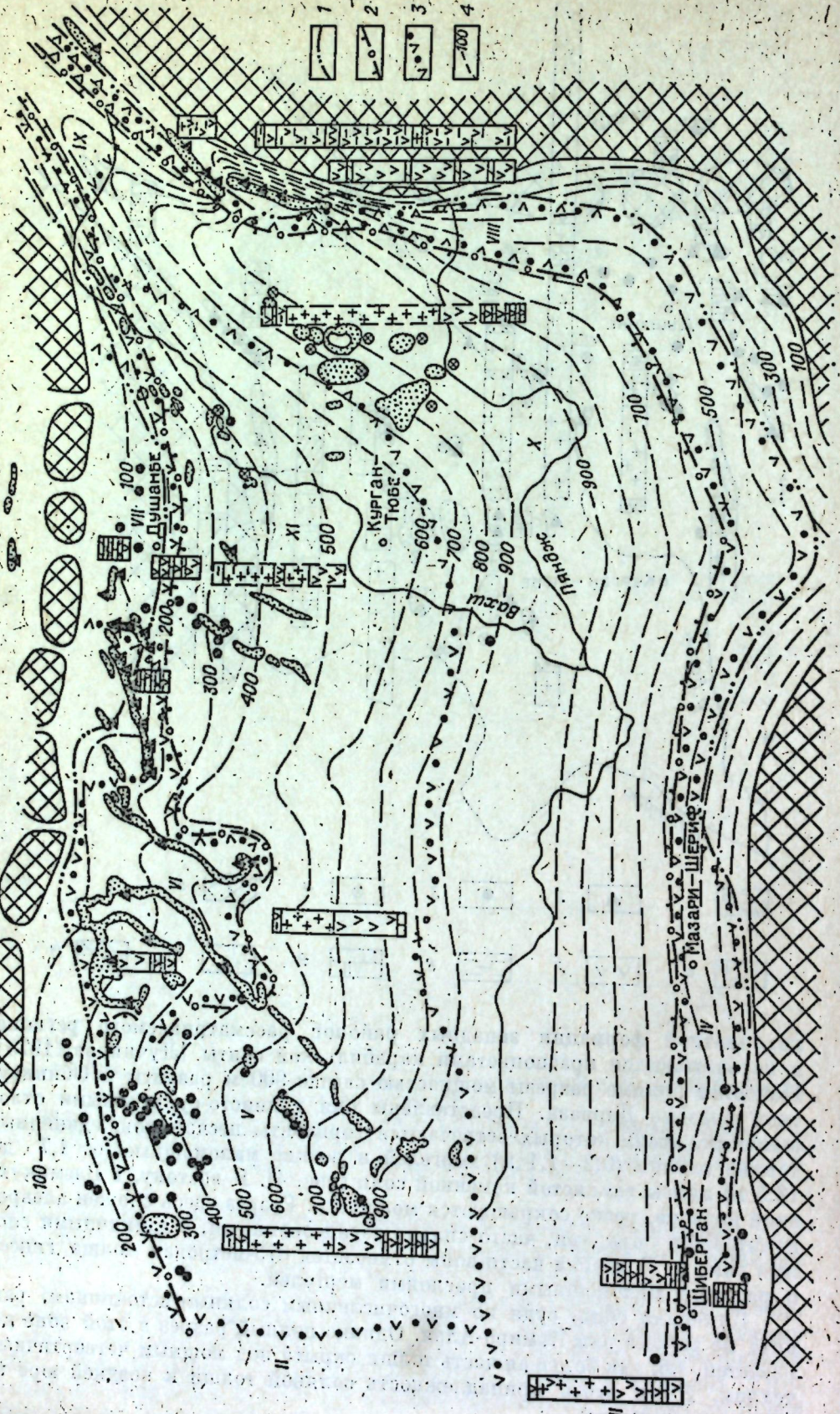
указанных ступенях карбонатно-глинистые образования замещаются карбонатными и сульфатными, в разрезе появляются дифференцированные ангидритовая и карбонатная толщи, возрастают их мощности.

Вдоль южного склона Гиссарского хребта и в горной части юго-западных отрогов обнажается толща гипсов, переслаиваемых тонкими слоями доломитов и мергелей, мощностью от 75 до 400 м. Своевобразный разрез верхнеюрской галогениной формации развит в пределах Юго-Западного Дарваза. Здесь соляно-гипсовые отложения залегают на толще известковых песчаников, возрастных аналогов келловей-оксфордской



карбонатной формации западных районов рассматриваемого региона, и перекрываются красноцветами карабильской свиты [Лучников, 1973]. Наиболее полные разрезы мощностью свыше 900 м развиты в Обиниуской подзоне Дарваза. Представлены они глинисто-сульфатными отложениями, среди которых встречаются горизонты песчаников, единичные тонкие слои (0,2—1,1 м) мергелей и редкие маломощные (от 1,7 до 12,5 м) линзы глинистой каменной соли (рис. 4). К востоку, в Васмикухской подзоне, резко сокращаются мощности. Разрез здесь сложен алевропелитовыми породами, часто сильно загипсованными, с единичными слоями гипсов. В южной части зоны отмечается 675-метровая толща гипсов с редкими маломощными прослойками мергелей.

Каменная соль, судя по многочисленным соляным источникам, развита на территории Памиро-Алая. Однако полный разрез в этой зоне неизвестен, так как большая часть толщи скрыта под мощным четвертичным чехлом. Но и здесь принадлежность соляной толщи к поздней юре не вызывает сомнений.



Разрез верхнеюрской галогенистой формации Чарджоуской ступени имеет пятичленное строение, где выделяются нижняя, средняя и верхняя толщи ангидритов, а также нижняя и верхняя соляные толщи. В нижней ангидритовой толще встречаются редкие маломощные слои известняков, а в верхах ее изредка отмечаются линзы каменой соли. Иное строение имеет галогенная формация равнинной южной части юго-западных отрогов Гиссарского хребта. Н. П. Петров (1949) подразделил ее на три толщи: 1) чередования ангидритов и известняков, 2) ангидритовую и соленосную и 3) карбонатно-глинисто-гипсовую пачку. Подобное строение выдерживается в пределах всей этой территории. Галогенная формация в зоне Чарджоуской ступени и юго-западных отрогов Гиссарского хребта содержит горизонты калийных солей. Значительное их количество наблюдается в южной части юго-западных отрогов Гиссарского хребта (в Гаурдак-Тюбекатанском районе).

Галогенные формации этих зон отличаются не только строением, но и другими признаками. На Чарджоуской ступени происходят резкие колебания мощностей нижней ангидритовой и нижней соленосной толщ (иногда до полного их выклинивания); редко встречаются в нижней ангидритовой толще карбонатные породы; внутри соляных толщ обилье прослоев ангидритов, а в верхах разреза и глии; каменная соль обогащена сульфатным и пелитовым материалом. В галогенной формации юго-западных отрогов Гиссарского хребта присутствуют горизонты карбонатных пород среди ангидритов в основании разреза (нижняя толща), с которыми связаны месторождения газа и серы, редко встречаются маломощные слои ангидритов среди галитовой толщи; соли чистые (Н. О. составляет от 0,84 до 5,12%), примесь алевро-пелитового материала отмечается преимущественно в верхах галитовой толщи. В центральной части Юго-Западного Гиссара (Адамташский нефтегазоносный район) ангидритовая толща содержит карбонатные прослои по всему разрезу.

В этих зонах каменная соль и ангидриты неслоистые. Как правило, в нижней части разреза ангидриты имеют серую (или темно-серую) окраску за счет обогащения битуминозным веществом, с многочисленными прожилками темно-серых карбонатов, часто образующих густую сеть. Верхние ангидриты отличаются светлой окраской, в основном без прожилков.

В. И. Седлецкий и другие исследователи [Седлецкий, 1970; Седлецкий, Байков, 1970; Седлецкий и др., 1977] выделяют в юго-западных отрогах Гиссара две соленосные толщи: верхнеюрскую и нижнемеловую. Анализ фактического материала свидетельствует о том, что в разрезе осадочного чехла здесь присутствует лишь верхнеюрская галогенная толща. Это подтверждается исследованиями А. Г. Бабаева, Т. С. Раубходжаевой (1972) и др. Иногда (на месторождениях Карлюк, Адамташ, Гумбулак, Пачкамар) в результате интенсивных надвиговых дислокаций отдельными скважинами вскрывались пласти каменной соли в чешуе, во вторичном залегании среди нижнемеловых отложений (рис. 5, а, б); они и принимались ошибочно за альмурадские.

Предположение о развитии этих же двух разновозрастных соляных толщ в Афгано-Таджикской впадине также не подтверждается. Глубоким

Рис. 2. Карта зональности и мощностей верхнеюрской галогенистой формации.

1 — граница замещения верхнеюрских сульфатных отложений глинисто-сульфатно-карбонатным комплексом пород; 2 — граница выклинивания солей; 3 — граница структурно-фаунистических зон; 4 — изопахиты; I—XI — наименования структурно-фаунистических зон: I — Бухарская ступень, II — Чарджоуская ступень (с Бешинентским прогибом), III — Мургабская впадина, IV — Северо-Афганская ступень, V — юго-западные отроги, VI — юго-западные отроги (горная область) и южный склон Гиссара (зап. часть), VII — Душанбинская ступень и восточная часть южного склона, VIII — Дарваз, IX — Памиро-Алай, X — Куллябская зона и Приамударынская впадина, XI — Вахш-Кафирниганская зона. Ост. усл. обозн. см. на рис. 1.

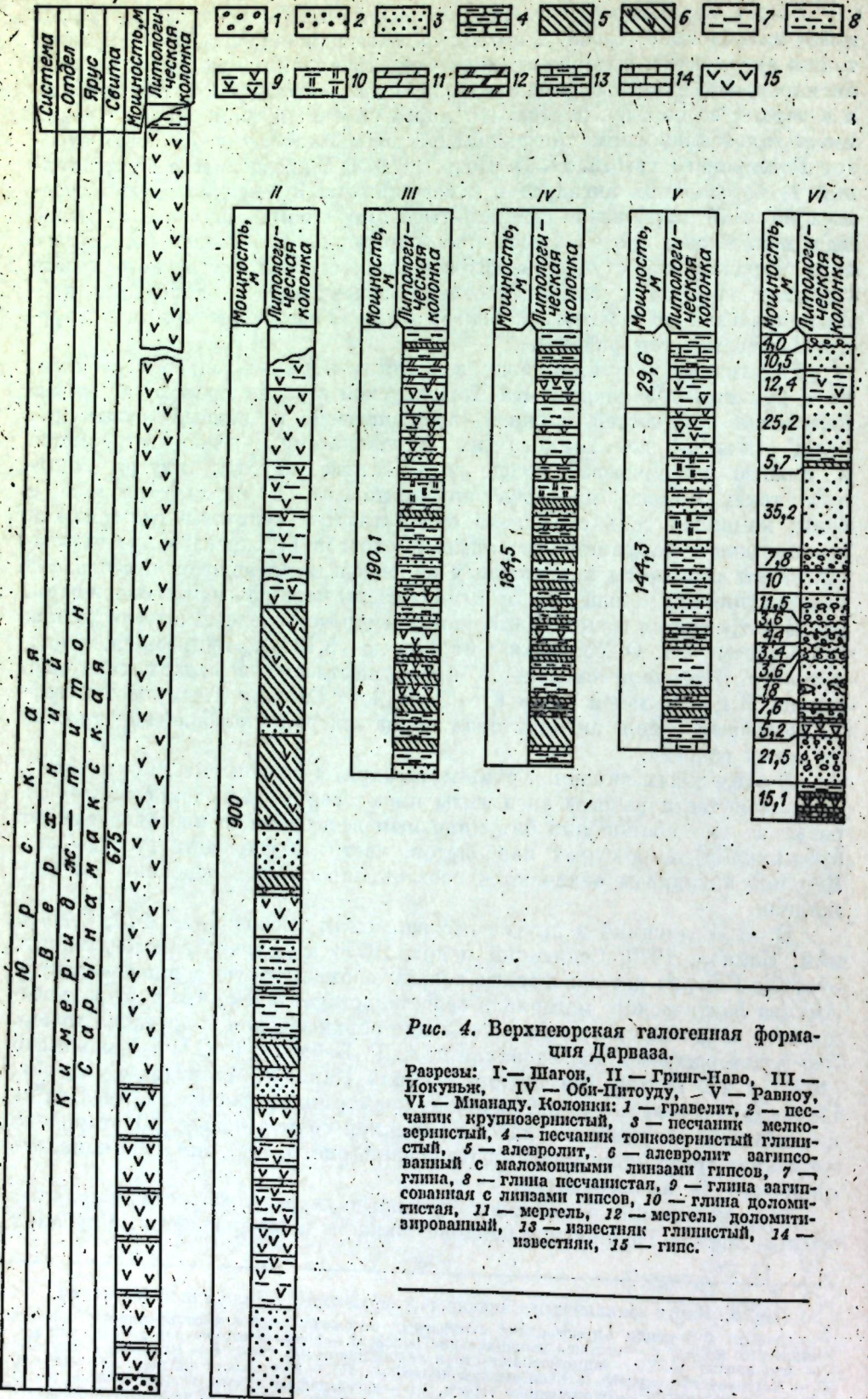


Рис. 4. Верхнеюрская галогенная формация Дарваза.

Разрезы: I — Шагон, II — Гринг-Наво, III — Иокунъж, IV — Оби-Питоуду, V — Равноу, VI — Мианду. Колонки: 1 — гравелит, 2 — песчаник крупнозернистый, 3 — песчаник мелкозернистый, 4 — песчаник тонкозернистый глинистый, 5 — алевролит, 6 — алевролит загипсованный с маломощными линзами гипсовых, 7 — глина, 8 — глина песчанистая, 9 — глина загипсованная с линзами гипса, 10 — глина доломитистая, 11 — мергель, 12 — мергель доломитизированный, 13 — известник глинистый, 14 — известники, 15 — гипс.

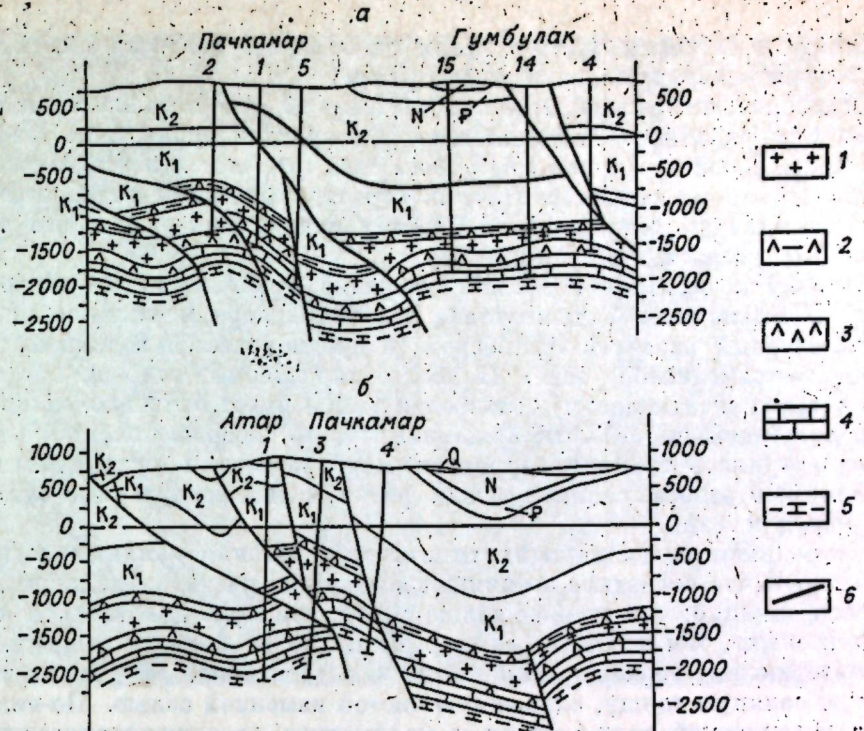


Рис. 5. Геологические профили верхнеюрских галогенных и карбонатных формаций юго-западных отрогов Гиссара (составил Деревянко).

а — через площади Пачкамар и Гумбулак; б — через Атар и Пачкамар. 1—5 — толщи: 1 — соленосная, 2 — глинисто-карбонатно-гипсовая, 3 — ангидритовая, 4 — карбонатная, 5 — карбонатно-глинистая; 6 — тектонические нарушения.

бурением на этой территории вскрыт весь разрез мела до верхнеюрской соленосной толщи на площадях Ляйлякан, Дастанага, Боянгара, Сангардак, Сев. Бабатаг, Курганча, Рейган, Кызыымчек, Ялгызак, Актау, но ни в одной скважине не обнаружены прослои или пласти каменной соли в альмурадской свите. В хребтах Ходжаказиан и Арук-Тау каменная соль выполняет прожилки в известняках маастрихта и генетически совершенно не связана с вмещающими породами.

Выявленная в последнее время палеоценовая (акджарская) каменная соль в Кулябской зоне [Ильин и др., 1979] пока изучена очень слабо, но, по предположению геологов-нефтяников, она широко развита. Залегает каменная соль среди сульфатных отложений палеоцена. И если на площадях Бештентик (скв. 19) и Сюльдузы (скв. 3) пласти каменной соли маломощны, сильно обогащены глинистым материалом и вполне могут рассматриваться как первичные, то в структурах Ходжа-Сартис и Северный Пушон их акджарский возраст весьма проблематичен. Те же фактические материалы позволяют дать иную интерпретацию возрастного положения этих пластов каменной соли (см. рис. 7). В пределах нефтепоисковых площадей Бештентик и Сюльдузы прослои каменной соли также обнаруживаются неповсеместно. Здесь соленосные пачки (мощностью 1—2 м) в основном представлены сульфатно-глинисто-галитовой породой, местами перемятой, в которой на долю галита приходится не более 50%. Чистый полупрозрачный галит с мелкими включениями глини имеет мощность до 26 см. Чаще каменная соль наблюдается в виде прослоев до 3—7 см. Эта соленосная пачка имеет сложное строение, максимальную мощность 7—10 м и сопоставляется с мощной (до 1000—2000 м) толщей каменной соли, развитой в пределах Северного Пушона и Ходжа-Сартиса.

са. Вопрос о соленосных отложениях акджарского возраста требует особых изучения и специального рассмотрения.

Наиболее интересный объект исследований — соляно-гипсовые отложения Юго-Западного Таджикистана (Таджикской депрессии). На этой солянокупольной территории каменная соль отмечается лишь во вторичном залегании на самых различных стратиграфических горизонтах: от верхнего мела до современных. Поэтому существуют различные точки зрения на возраст этой соли.

Анализ материалов позволяет уверенно выделить в депрессионной части Юго-Западного Таджикистана два типа разрезов галогенной формации. Первый развит в Кулябской (и предполагается в южной части Вахш-Кафирнганской) зоне. Наиболее характерные особенности этого типа разреза следующие: 1) соленосная толща имеет большую мощность, часто превышающую 1000 м; 2) каменная соль содержит очень незначительную примесь глинисто-терригенного и карбонатного и сульфатного материала; 3) в разрезе соляной толщи редки и маломощны слои сульфатных пород и глин.

Сторонники существующих гипотез образования соляных куполов доказывают, что последние возникают в областях развития мощных галогенных формаций: чем мощнее толща солей, тем ярче проявляется соляная тектоника, тем крупнее соляные тела. Это позволяет предполагать, что материальная верхнеюрская кулябская галогенная формация имеет мощную соляную толщу, сложенную чистой каменной солью. По-видимому, в материальной толще редки и маломощны прослои терригенных и сульфатных пород, ибо они непременно были бы отражены в разрезе соляных тел и во вторичном залегании. Подобные соляные толщи известны в Мургабской и Приамударыинской впадинах.

Второй тип разреза галогенной формации развит в Вахш-Кафирнганской зоне. Соляная толща этой территории имеет следующие характерные особенности: 1) мощность соляной толщи не превышает 250—350 м; 2) в соленосном разрезе отмечается пачка ангидритов мощностью 20—35 м, разделяющая соляную толщу на две части, а также ряд менее мощных пластов сульфатных и глинистых пород; 3) каменная соль обогащена сульфатной и цеолитовой примесью.

Верхнеюрская соленосная серия согласно перекрывается глинисто-карбонатно-сульфатной толщей мощностью от 37 до 54 м, которую сменяют титонские (?) красноцветные отложения карабильской свиты, а еще выше красноцветы нижнего мела. Таким образом, верхнеюрский возраст соляной толщи не вызывает сомнения. Все перечисленные образования перемещены по падению. Роль «смазки», по-видимому, играла нижняя часть юрской галогенной формации.

В напряженных участках, в узлах, где пересекаются несколько тектонических нарушений, обнажаются соляные тела: Нурекский, Тутбулакский, Гирдобский, Сангалакский и (переходного типа) Дараниамакский. Они заметно отличаются от кулябских соляных куполов, которые в основном четко выделяются в рельефе в виде крупных куполовидных поднятой округлой формы. В разрезе они имеют грибовидную форму, с узкой «ножкой» (штоком), приуроченной, как правило, к присводовой части антиклинальных складок и уходящей корнями в верхнеюрскую соленосную толщу. «Шляпка гриба» — широкая, во много раз превышающая диаметр штока. Залегает каменная соль на различных горизонтах — от древнечетвертичных (кулябский комплекс) до верхнемеловых отложений. Выше солей наблюдается пачка сульфатных пород мощностью от 15 до 50 м, которые местами перекрываются древнечетвертичным пляжским комплексом.

Для пластов каменной соли, обнажающихся в соляных куполах кулябской зоны, характерно следующее: 1) четкая горизонтальная (или по-

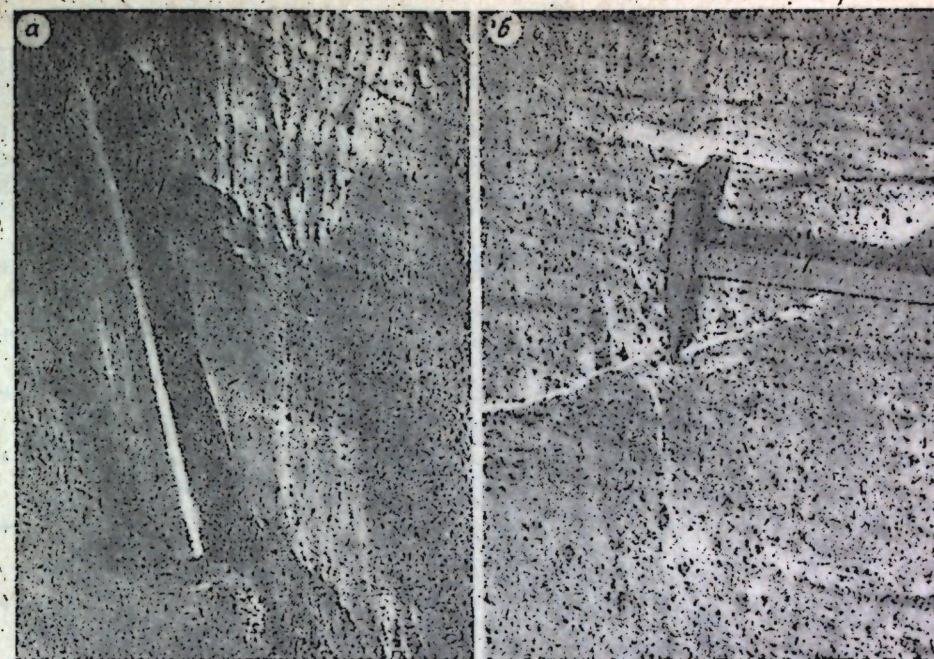


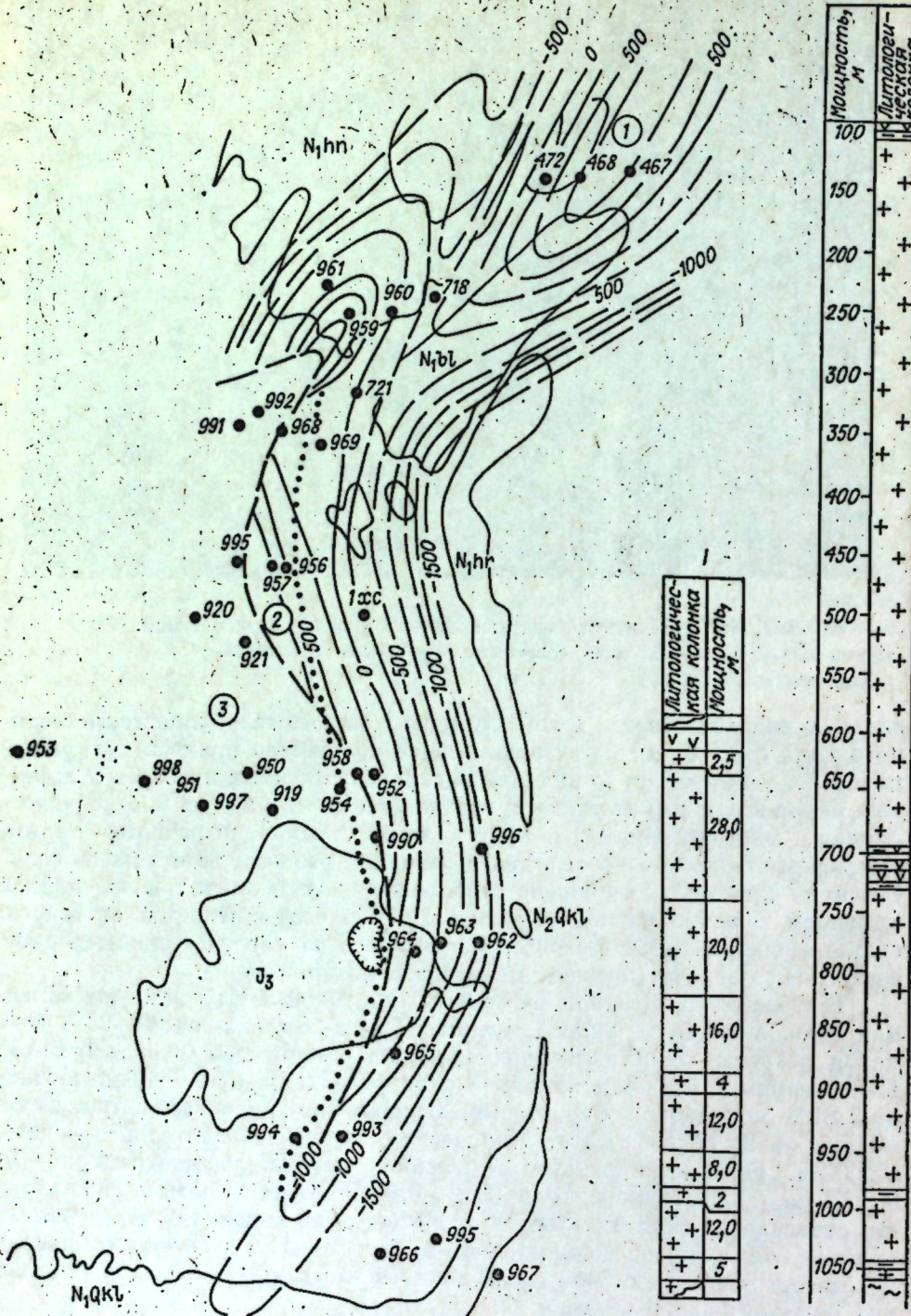
Рис. 6. Особенности строения каменной соли Ходжа-Мумин. а — сезонная слоистость; б — глазковая текстура.

логая, с падением всегда в сторону ядра соляного тела) слоистость сезонного типа (рис. 6, а); 2) незначительное количество примеси сульфатно-глинистого материала; 3) наличие редких маломощных прослоев сульфатных пород и глин; 4) отчетливая глазковая структура (рис. 6, б), обусловленная многочисленными кристаллами водянопрозрачного галита (размером от 0,5 до 4—5 см), среди основной разнозернистой массы соли. Сезонная слоистость выражена ритмичным чередованием тонких слойков каменной соли различной окраски. Цвет пород изменяется от белого, светло-зеленого, светло-розово-фиолетового до серого, темно-серовато-фиолетового за счет примеси пелитового материала.

В строении галогенной формации Кулябской зоны участвуют каменная соль, ангидриты (гипсы), глины. Первые составляют 90—93% всех пород разреза. Калийные минералы пока обнаружены в виде примеси. Нерастворимый осадок в каменной соли колеблется от 0,08 (белые соли) до 7,81% (коричневато-фиолетовые). Содержание хлористого натрия изменяется от 91,77 до 99,9%. Количество иода незначительное — чаще 0,0002%. Бром присутствует в весьма низких концентрациях — от 0,0001 до 0,0027% (в среднем 0,0012—0,0018%). Ангидриты и гипсы имеют отчетливую горизонтальную слоистость, выраженную чередованием слойков белых гипсов мощностью 3—4, реже 5—6 см и темных глинистых доломитов мощностью 3—4 мм. В нижней части карбонатные слойки более мощные — до 6—8 мм.

Междудолинами каменной соли и вышележащей пачкой ангидритов залегают линзы брекчий, слагаемые разной величины обломками (от 3—5 см до валунов) доломитовых известняков черного цвета. Мощность линз от 0,5 до 3—4 м.

Наиболее крупные соляные массивы, выраженные в виде отдельных куполов в рельефе, — это Ходжа-Мумин, Танапчи, Ходжа-Сартис (рис. 7). Размеры их изменяются от 8×8 до 10×11 км. Мощность соляной толщи в «шляпке гриба» достигает 900—1200 м и более. Штоки приурочены к



присводовой части антиклинальных складок. Соляные тела смещены в сторону синклинальных перегибов. У большинства взброслены восточные крылья. В западной части Кулябской зоны расположено крупное соляное тело Алимтай (рис. 8) в виде обширного вытянутого в северо-западном направлении плато, представляющего собой низкогорье с обрывистыми бортами, в которых обнажаются гипсы, реже каменная соль. Почти

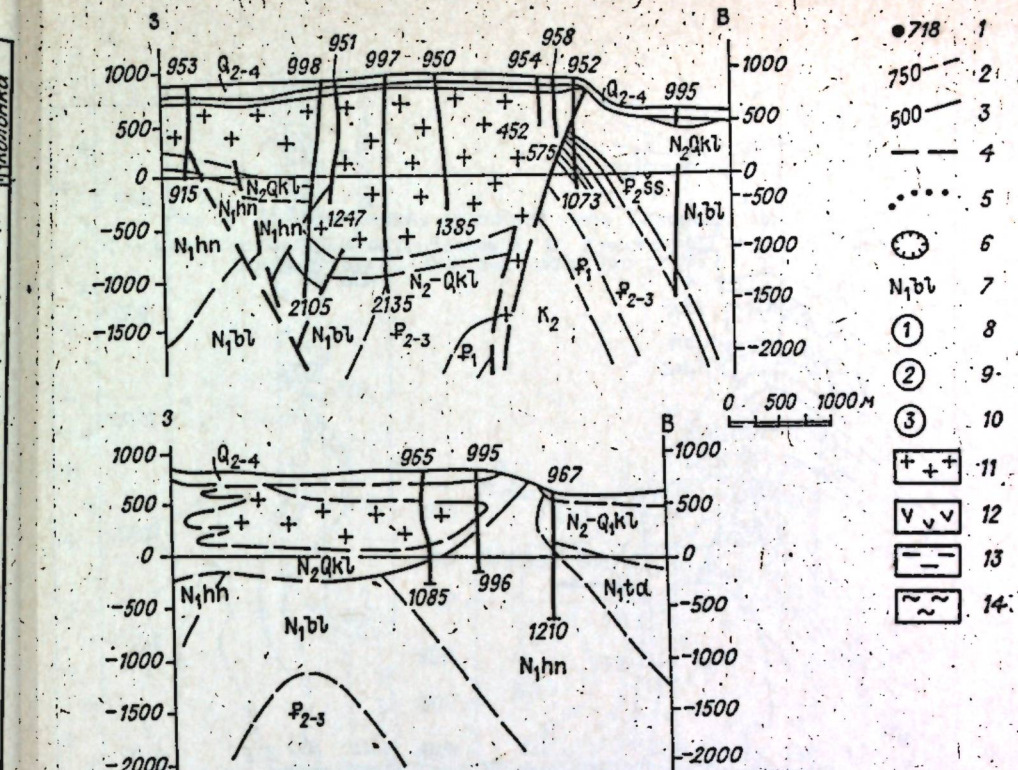


Рис. 7. Месторождение каменной соли Ходка-Сартис (карта и профили составлены А. В. Молчановым, Б. С. Шакаровым, Я. Ш. Коган).

1 — номера скважин; 2, 3 — изогипсы кровли палеогена (2 — достоверные, 3 — предполагаемые); 4 — тектонические нарушения; 5 — предполагаемая линия тектонического контакта солей с кровлей бухарских слоев палеогена; 6 — главная карстовая воронка; 7 — контуры обнажения; 8 — Южно-Пушионская антиклиналь; 9 — Ходка-Сартисская антиклиналь, восточный блок; 10 — то же, западный блок; 11 — соли; 12 — гипсы, ангидриты; 13 — глины; 14 — красноцветы кулябского комплекса. I — разрез соляной толщи по карстовой воронке; II — разрез соляной толщи по скв. 998.

вся его поверхность перекрыта гипсами или четвертичными отложениями. Размеры соляного массива 30—35×10—12 км. Он разбурен несколькими субширотными профилями. Вскрытая мощность соляной толщи изменяется от 185 до 1106 м. По данным С. М. Чихачева, на соляном куполе Алимтай при бурении наблюдаются три горизонта каменной соли, обогащенной сильвином (от 3,5 до 10,4%).

В последние годы детально изучался соляной купол Северный Пушион (рис. 9), который ранее выделялся только по соляным источникам [Осичкина, Бергман, 1958]. Бурением установлено, что каменная соль этого купола не имеет признаков слоистости. По разрезу встречаются прослои ангидритов, которые часто содержат комочки красной глины. Соляное тело купола Северный Пушион относится к криптоциапировым структурам и имеет первичную (непереотложенную) каменную соль.

Ю. Н. Пильгуй (1976), анализируя аэрофотоснимки, высказывает мнение о наличии на территории Кулябской зоны значительного количества погребенных под четвертичными отложениями соляных тел. В частности, он считает, что на массиве Алимтай присутствует, по крайней мере, три отдельных соляных тела.

Для каменной соли Вахш-Кафирниганского типа разреза характерны также следующие особенности: 1) частая встречаемость доломито-сульфатных пород; 2) отсутствие слоистости и 3) отсутствие глазковых структур. В строении галогенной формации участвуют каменная соль (до 55—

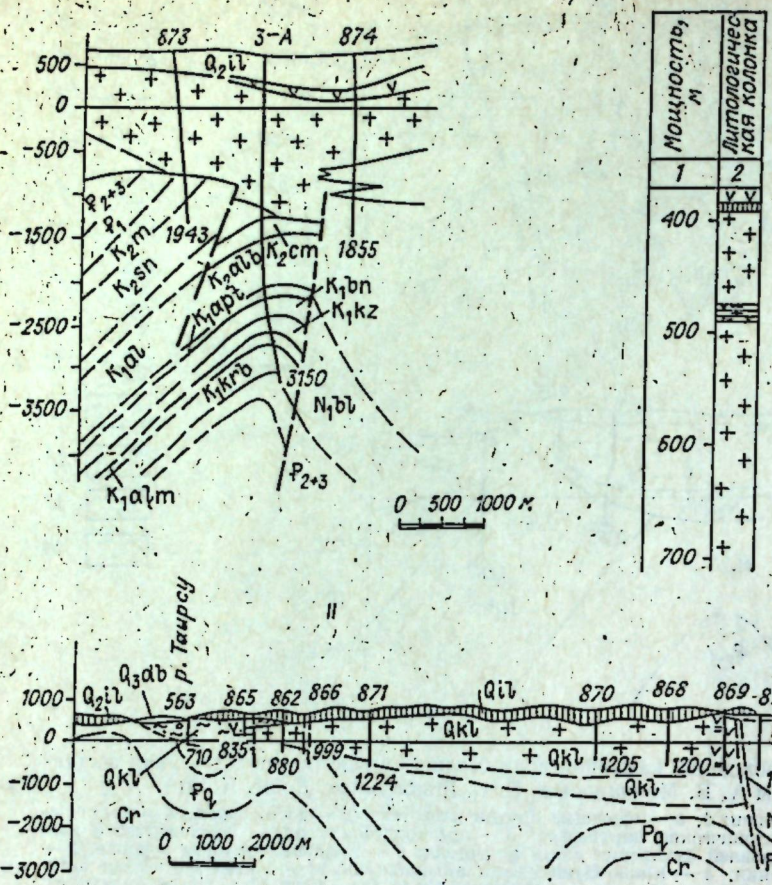


Рис. 8. Месторождение каменной соли Алтай

I, II — геологические профили (составлены: I — Ю. К. Ковальчук; II — А. В. Молчанов); III — разрез солиной толщи по скв. 860. Ост. усл. обозн. см. на рис. 7.

70%), ангидриты (15—25%), карбонатные породы (5—7%), глины (5—8%). Нередко отмечаются смешанные карбонатно-сульфатные породы, состоящие на 30—40% из карбонатов и 60—65% из сульфатов. Ангидритовые пласты слоистые. Каменная соль содержит заметную примесь пелитового материала. Содержание нерастворимого осадка изменяется в широких пределах — от 1,16 до 42,62%. Количество хлористого натрия колеблется от 62,37 до 97,3%. Содержания брома в каменной соли Кафирниганской группы месторождений от 0,0018 до 0,0096%, а в Вахской (Тут-Булак, Рагун) — иногда до 0,238%. Особенно высоки они в Нуреке — от 0,11 до 0,91%.

Соляные тела Вахш-Кафирниганской зоны (Нурек, Тут-Булак) имеют небольшие размеры ($1 \times 1,5$ км) и малую мощность (от 123 до 497 м) (рис. 10). В соленосной толще отмечается слоистость, по-видимому, сезонного типа. Выражена она неравномерным чередованием слоев каменной соли, ангидритов, глин и галопелитов. Наборы пород в годовой пачке не выдерживаются, часто выпадают ангидритовые или пелитовые слойки. Мощности слойков обычно варьируют в пределах 2—5 см. Слой светло-серой каменной соли часто достигают 10—12 см. Отчетливая ритмичность, какая наблюдается в каменной соли Кулябской зоны, здесь не устанавливается. В каменной соли отмечается глазковая текстура. Мощность покровных ангидритов от 17 до 90 м. В них обнаруживается горизонталь-

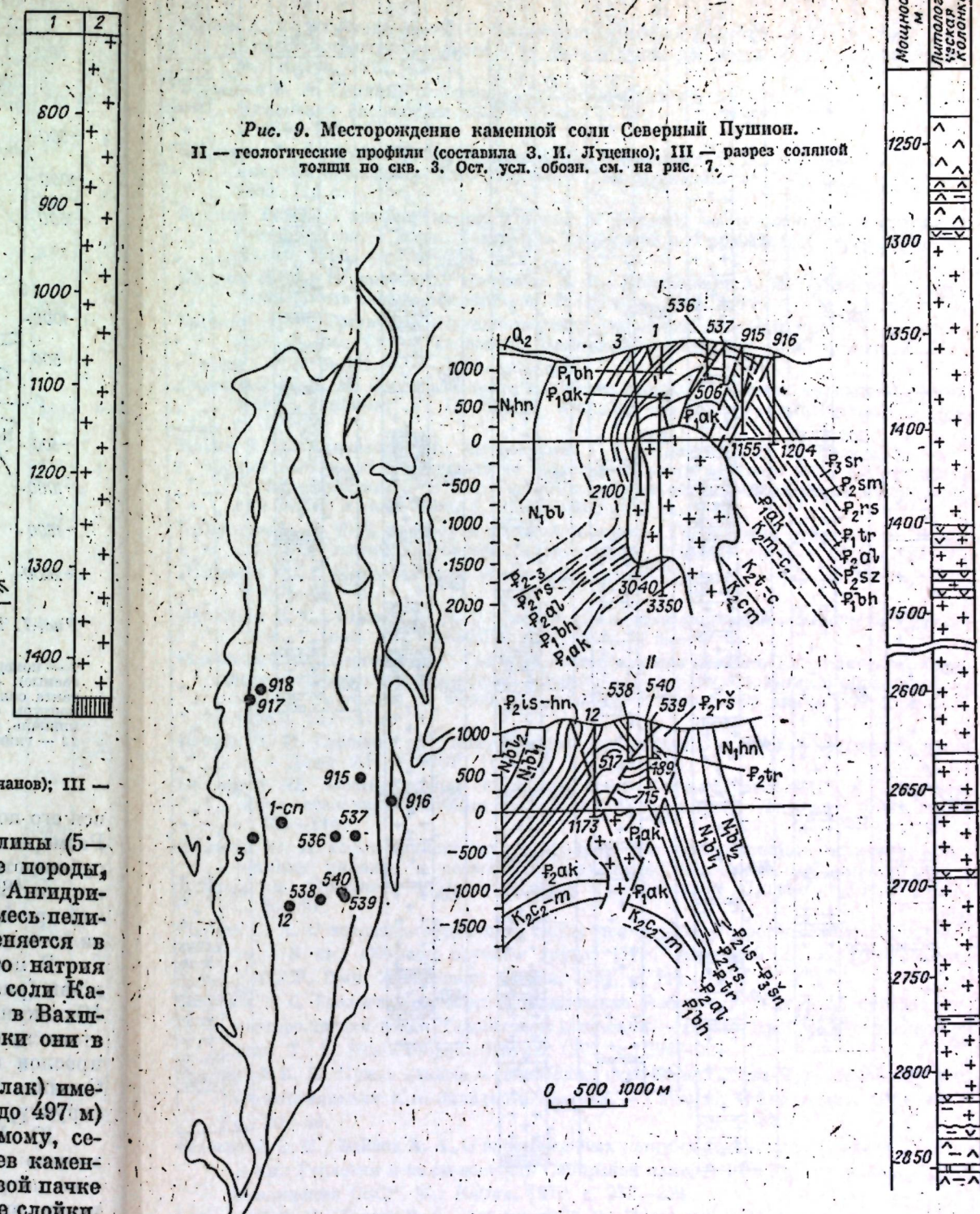


Рис. 9. Месторождение каменной соли Северный Пушион.

II — геологические профили (составила З. И. Луценко); III — разрез соляной толщи по скв. 3. Ост. усл. обозн. см. на рис. 7.

ная слоистость, выраженная чередованием сульфатных (8—15 мм) и доломитовых (1—6 мм) слойков. Между соляной толщей и покровными ангидритами на Тут-Булакской площади спорадически появляются линзы брекчий, аналогичные описанным в Кулябской зоне.

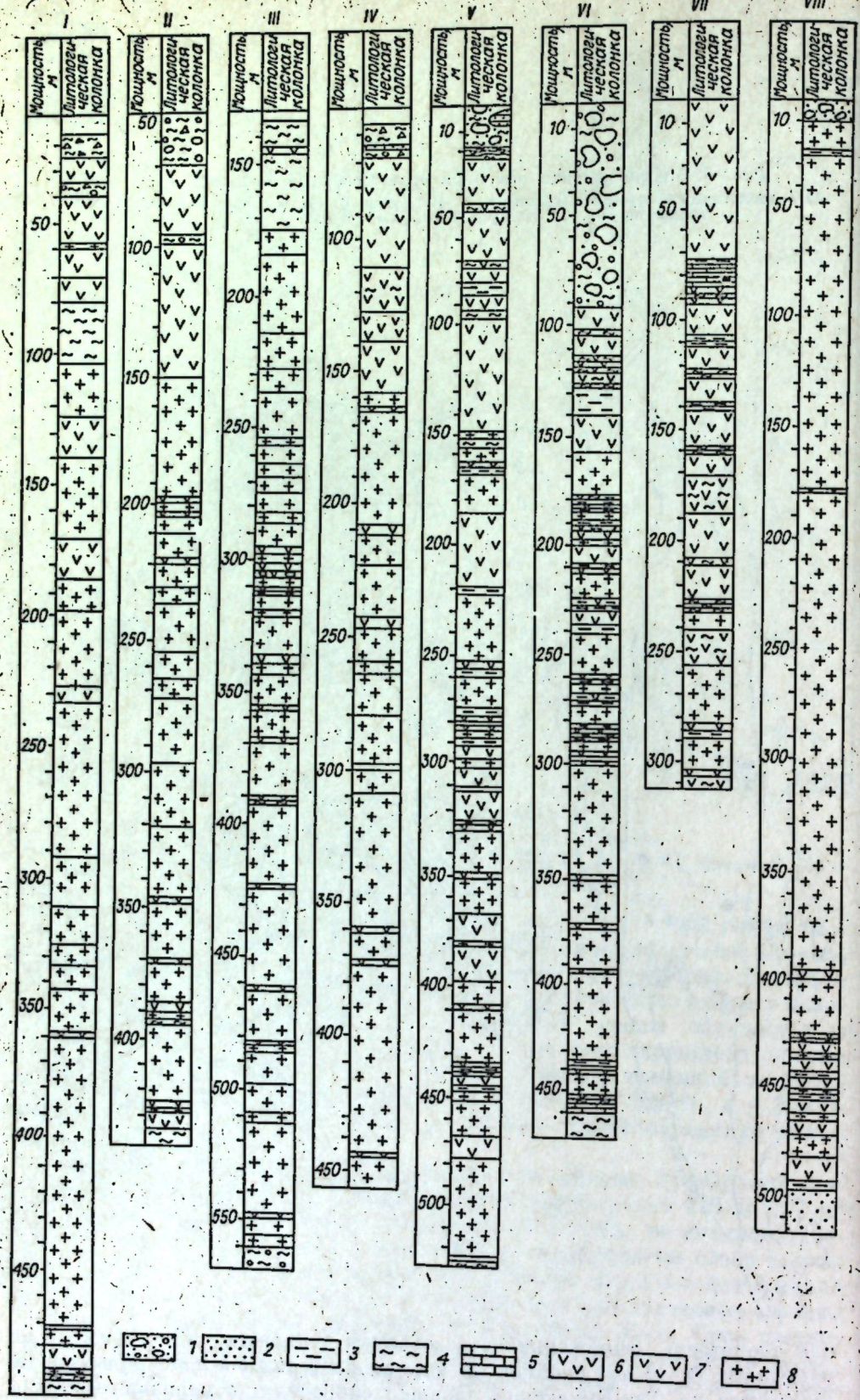


Рис. 10. Разрезы галогенной формации соляных тел Вахш — Кафирниганской зоны.
I—IV — месторождение Тут-Булак: I — скв. 3, II — скв. 7, III — скв. 8, IV — скв. 10; V—VIII —
месторождение Нурик: V — скв. 2, VI — скв. 5, VII — скв. 13, VIII — скв. 18, I — галечник;
2 — песчаник; 3 — глина серая; 4 — глина красноцветная; 5 — известняк; 6 — доломит; 7 —
доломит с доломитовыми прослойками; 8 — доломитический доломит.

ЛИТЕРАТУРА

- Бабаев А. Г., Раубходжаева Т. С. Соляно-ангибитовая формация юго-восточной части Бухаро-Хивинской области и ее роль в формировании залежей нефти и газа. М.: Недра, 1972. 176 с.
- Бориесман Б. А. Соляные отложения Кулябского района.— В кн.: Труды Таджикско-Памирской экспедиции 1932 г. Вып. 2. М.—Л.: Изд-во АН СССР, 1934, с. 134—143.
- Бориесман Б. А., Губин И. Е., Луппов И. П., Овчинников С. К., Чихачев И. К. Соляные месторождения Юго-Западного Таджикистана. Л.: ОНТИ, Химтегорет, 1935. 114 с.
- Браташ В. И. О границе между юрской и меловой системами в южных районах Средней Азии.— В кн.: Тектоника Туркмении и сопредельных территорий. М.: Наука, 1966, с. 224—238.
- Браташ В. И., Егупов С. В., Печников В. В., Шеломенцев А. И. Геология и нефтегазоносность севера Афганистана. М.: Недра, 1970. 288 с.
- Бурачек А. Р. Третичные континентальные отложения Юго-Западного Таджикистана.— В кн.: Труды Таджикско-Памирской экспедиции 1932 г. Вып. 2. М.—Л.: Изд-во АН СССР, 1934, с. 49—58.
- Гиммельфарб Б. М. Среднеазиатские калийные залежи.— В кн.: Гаурдакский химический комбинат. Т. II. Ч. 1. Ашхабад — Баку: Туркменгосиздат, 1934, с. 28—35.
- Ильин В. Д., Широков В. Я., Котенятина Г. Е., Ковальчук Ю. К. Возраст соленосных отложений и перспективы нефтегазоносности верхнего мела Юго-Западного Таджикистана.— В кн.: Геология, методы поисков и разведки месторождений нефти и газа. Вып. 6. ЭИВИЭМС, 1979, с. 1—9.
- Котенятина Г. Е. К вопросу о соляной тектонике Таджикской депрессии.— В кн.: Проблемы нефтегазоносности Таджикистана. Душанбе: Дониш, 1974, с. 82—85.
- Лучников В. С. Стратиграфия юрских отложений Дарваза.— Сов. геология, 1973, № 6, с. 38—49.
- Лучников В. С., Юшина И. Д. О возрасте галогенной формации юго-востока Средней Азии.— Докл. АН ТаджССР, 1973, № 9, с. 39—41.
- Осичкина Р. Г., Бергман А. Г. Соляные месторождения Южного Таджикистана. Соляные месторождения Кулябской груши.— В кн.: Исследования в области химии редких металлов и солей. Сталинабад: Изд-во Ин-та химии АН ТаджССР, 1958, с. 153—170.
- Петров И. П. Строение гаурдакской свиты юго-западных отрогов Гиссарского хребта.— Докл. АН УзбССР, 1949, № 3, с. 45—49.
- Петров И. П. Месторождение каменной соли Ходжа-Мумин.— В кн.: Литология и осадочные полезные ископаемые Узбекистана. Ташкент: ФАН, 1966, с. 104—116.
- Пильгуй Ю. И. Опыт применения дешифрирования аэрофотоснимков при выявлении соляных куполов и разрывных нарушений (Кулябская мегантиклиналь).— В кн.: Проблемы нефтегазоносности Таджикистана. Душанбе: Дониш, 1976, с. 86—91.
- Рейман Е. А. О возрасте гаурдакской свиты юго-западных отрогов Гиссарского хребта.— В кн.: Сборник научных трудов ИГиГ АН УзбССР и Главгеологии УзбССР. Вып. 3. Ташкент: Наука, 1964, с. 114—120.
- Садыков Т. С. Геология, литолого-geoхимические особенности и условия образования месторождений солей Таджикской депрессии.— В кн.: Проблемы соленакопления. Т. 1. Новосибирск: Наука, 1977, с. 294—297.
- Седлецкий В. И. Новые данные о соленосных отложениях Хива-Мургабской впадины мегантиклинали Юго-Западного Гиссара.— Геология нефти и газа, 1970, № 9, с. 29—34.
- Седлецкий В. И., Байков А. А. О никремеловых соляных отложениях Средней Азии.— В кн.: Геология и калийность Сибирской платформы и других районов соленакопления СССР. М.: Наука, 1970, с. 252—254.
- Седлецкий В. И., Попов В. С., Деревянкин В. С., Пилищук А. П. Геологическое строение, калийность и условия образования верхнеюрских и меловых соленосных отложений юга СССР.— В кн.: Проблемы соленакопления, Т. 1. Новосибирск: Наука, 1977, с. 270—285.

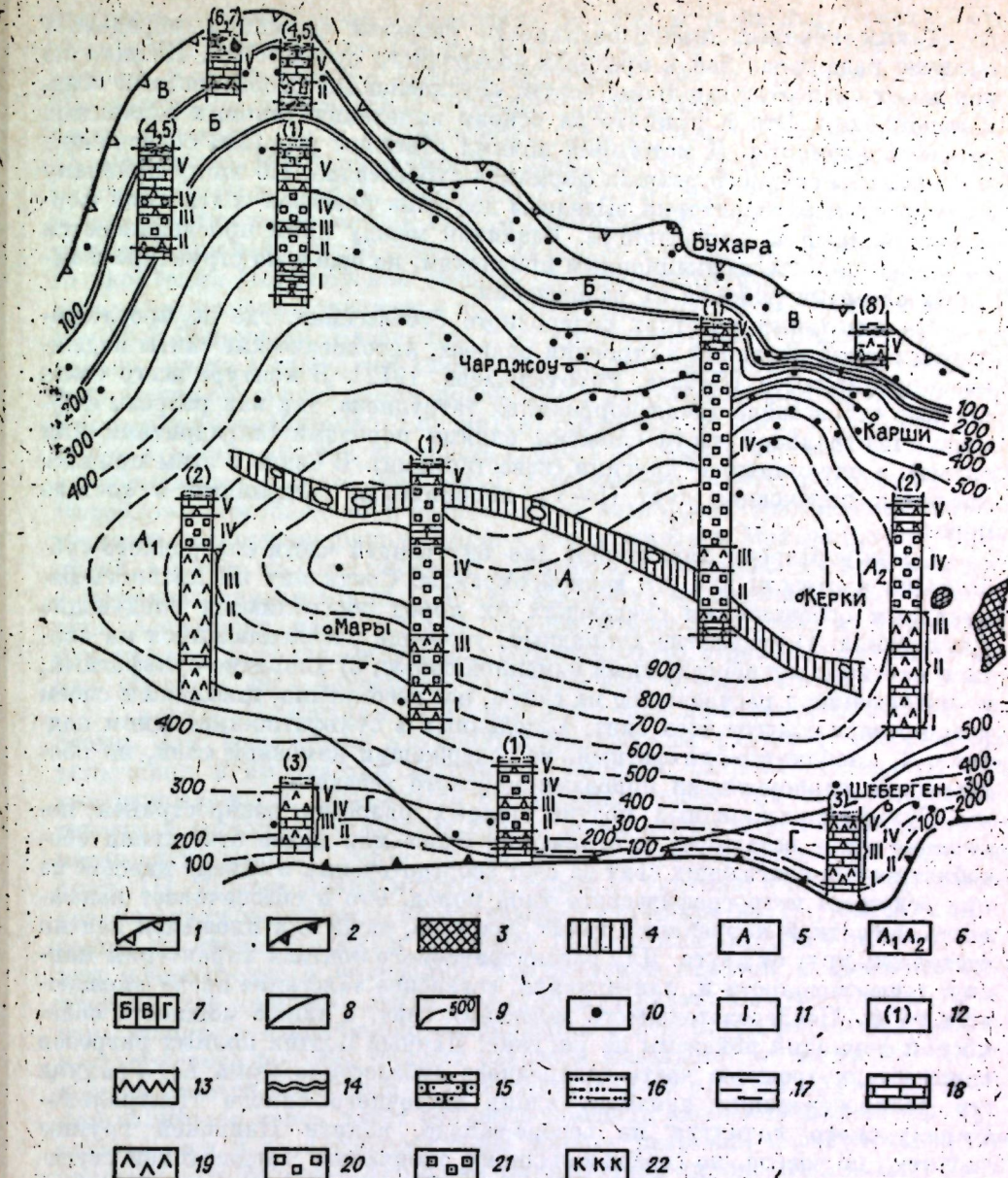
Л. Г. Гаврильчева

ОСОБЕННОСТИ СТРОЕНИЯ ПОЗДНЕЮРСКОЙ СОЛЕНОСНОЙ ФОРМАЦИИ ВОСТОЧНОГО ТУРКМЕНИСТАНА

Соленосную формацию верхней юры отличают хорошо выраженная специализация типов пород и чрезвычайно четкая позиция в вертикальном ряду формаций осадочного чехла. В Восточном Туркменистане и прилегающих районах Западного Узбекистана и Северного Афганистана соленосная формация распространена на площади около 250 тыс. км². Она обнажается на поверхности в юго-западных отрогах Гиссарского хребта и вдоль Донгусырт-Чешминской тектонической линии (структуры Донгусыртская, Келифская, Шальгеригбабинская), на всей остальной территории кровля формации погружена на глубину от 1700 до 3750 м. Однако эта территория является лишь западной частью солеродного бассейна, разобщенного складчато-глыбовым сооружением Юго-Западного Гиссара с его восточной частью, которая охватывает всю Афгано-Таджикскую депрессию. В западной части солеродного бассейна, которую в дальнейшем удобно выделять под названием Туркменского солеродного суббассейна, достаточно отчетливо прослеживается макрозональность, намеченная на основании следующих признаков: а) мощность формации, б) набор пород, составляющих разрез формации, в) соотношение с подстилающими и перекрывающими породами, г) глубина залегания (см. рисунок).

Наибольшую площадь занимает внутренняя часть суббассейна (зона А) — около 180 тыс. км². Здесь развиты разрезы соленосной формации, состоящие из ангидритов и каменной соли. В основании формации внутренней части суббассейна имеется переходная пачка, состоящая из ангидритов, переслаивающихся с известняками. Наличие такой переходной пачки надежно свидетельствует о постепенной, непрерывной смене карбонатного пордообразования сульфатно-галогенным [Алланов, Гаврильчева, 1977; Гаврильчева, 1980]. Вместе с тем во внутренней зоне известны примеры залегания соленосной формации на карбонатной с глубоким размывом. Наиболее ярко такой тип соотношений между соленосной и карбонатной формациями выражен в Гаурдакском районе, где его можно визуально и инструментально закартировать [Кутузов, 1976]. Внутренняя зона с севера и юга окаймляется внешними зонами, которые выделены под индексами Б, В, Г. В западной части суббассейна мы пока не располагаем материалом для трассирования внутренней зоны, а восточная граница располагается далеко за пределами исследуемой территории.

Внешние зоны занимают по сравнению с внутренней гораздо меньшую площадь. В северной части суббассейна выделены две такие зоны (Б, В). Их площадь составляет в сумме более 30 тыс. км². Здесь развиты сокращенные разрезы формации. Общим для этих зон является залегание соленосной формации на подстилающих карбонатных отложениях со стратиграфическим перерывом [Гаврильчева, 1978]. Точно так же со стратиграфическим перерывом их перекрывают нижнемеловые отложения. Разрез соленосной формации в зонах Б и В сложен главным образом ангидритами и известняками, соль встречается только в зоне Б. Отличительная черта этих зон — различная полнота разрезов формации. Так, в зоне Б, окаймляющей внутреннюю часть суббассейна, каменная соль встречена лишь в виде одного или двух маломощных пластов. В зоне В, за пределами которой соленосная формация вообще не накапливалаась, в разрезах каменной соли нет. Внешняя зона Г площадью до 30 тыс. км² окаймляет внутреннюю часть суббассейна с юга. В ее пределах анализи-



Амударынская синеклиза. Схема строения и распространения соленосной формации верхней юры (составила Л. Г. Гаврильчева).

Границы распространения формации: 1 — обусловленная постепенным выклиниванием формации, 2 — обусловленная разломом, 3 — отсутствие формации; 4 — зона солевых дислокаций; фациальная зональность солеродного бассейна: 5 — внутренняя часть солеродного бассейна, 6 — подзоны, переходные и смежные структурно-формационными областями, 7 — окраинные зоны солеродного бассейна, 8 — граница между выделенными фациальными зонами; 9 — изолинии мощностей; 10 — скважины, вскрывшие формацию на полную мощность; 11 — свиты в разрезе формации; 12 — типы разреза формации (литолого-фациальные комплексы): (1) — (3) — полные, (4) — (8) — сокращенные; 13 — внутриформационные размывы, 14 — межформационные размывы; 15 — песчаники, 16 — алевролиты, 17 — глины, 18 — известняки, 19 — ангидриты, 20 — соли, 21 — соли с терригенным материалом, 22 — каляйные соли.

руемая формация сложена преимущественно сульфатными породами, но соотношение ее с вмещающими толщами точно такое же, как и во внутренней зоне. Здесь затруднено расчленение разрезов на литологические свиты из-за монотонного облика слагающих их пород. Осадконакопление в данной зоне контролировалось разломом с юга, о чем свидетельствует резкий перепад мощности формации вблизи Бадхыз-Майманийской группы поднятий.

Таким образом, макрозональность разрезов формации определяет наличие различных зон в пределах солеродного суббассейна. Каждая из зон имеет свои отличительные черты, обусловленные особенностями осадкоакопления. Это и принято за основу выделения типовых эталонных разрезов формации. К категории полных отнесены разрезы, содержащие все элементы сводного разреза формации суббассейна. По этому признаку на исследуемой территории выделены два типа разрезов соленосной формации: полный и сокращенный. Различия между ними прослеживаются не только по классификационным признакам, но еще и по структуре и истории развития районов их размещения.

На отдельных участках солеродного суббассейна, где не прослеживается резких различий в строении разреза, литологические свиты надежно коррелируются [Бабаев, Раубходжаева, 1972]. В контуре всего солеродного суббассейна такая корреляция затруднена, так как разрезы формации центральной части сложены одними породами (ангидритами или солью), а окраинных — другими (известняками). В связи с этим принята цифровая индексация свит (I—V), дополняемая сведениями о составе пород.

Полные разрезы характерны для внутренней части солеродного суббассейна и отчасти для его южной окраины. Среди них по литолого-фаунистическим особенностям слагающих их пород обособляются следующие три подтипа: 1) сульфатно-хлоридный, уверенно расчленяющийся на свиты и максимально обогащенный камениной солью; 2) хлоридно-сульфатный, не поддающийся расчленению на свиты, но, несомненно, имеющий в своем разрезе эквиваленты всех свит, выделенных в сульфатно-хлоридном подтипе; 3) карбонатно-сульфатный, не содержащий камениной соли, но обогащенный карбонатными породами морского генезиса.

Сульфатно-хлоридный подтип полных разрезов распространен несколько шире остальных и отличается более или менее отчетливой обособленностью слагающих свит за счет сосредоточения в объеме каждой из них ведущего петрографического типа пород. Это и обеспечивает надежность посвятной корреляции таких разрезов, даже для площадей далеко отстоящих друг от друга. Для рассматриваемого подтипа характерны максимальные мощности и, как правило, согласное залегание среди вмещающих толщ. Последовательность залегания свит, а также мощности соленосной формации показаны на рисунке. Данный подтип полных разрезов занимает внутреннюю часть солеродного суббассейна (зона А). Граница его распространения проходит вдоль восточного склона Центрально-Каракумского поднятия на северо-западе, вблизи Наипской группы структур на севере, по северо-западному окончанию Чарджоуской ступени (вблизи структур Гугуртли, Даихатын, Кульбешкак, Аккум, Каидым) и вдоль зоны Бухарского разлома на северо-востоке. На юге сульфатно-хлоридный подтип развит только вблизи Карабильского поднятия, около Бадхызского и Майманинского поднятий замещается карбонатно-сульфатным подтипов, а в Шатлыкском и Гаурдакском районах — хлоридно-сульфатным. Снизу вверх в сульфатно-хлоридном подтипе полных разрезов выделяются I—V литологические свиты. Однако их состав от центра суббассейна к периферии несколько изменяется, причем наиболее резко по верхней V свите.

Свита I (карбонатно-ангидритовая) в сульфатно-хлоридном подтипе полных разрезов залегает чаще согласно, но местами с размытием на карбонатной формации и согласно перекрывается камениной солью свиты II (нижняя галитовая). Слагают свиту I главным образом ангидриты, содержащие в нижней части разреза пласти известняков. Хорошая коррелируемость свиты на большой площади позволяет выделить в пределах суббассейна зону распространения опорных разрезов данной свиты, представленной в наиболее типичном составе (зона А). Максимальная

мощность в осевой зоне суббассейна 80—100 м (площади Байрам-Али, Сундукли), а также на близрасположенных структурах Чарджоуской ступени и Бешкентского прогиба (Култак — 140 м, Шуртак — 100 м). На площадях Чарджоуской ступени, расположенных в юго-восточной части, в разрезе свиты увеличивается доля карбонатных пород (Самантепе, Метеджан). К северу мощность свиты I постепенно уменьшается и изменяется от 50 м (Фараб, Бабаарап) и 90 м (Багаджа) вплоть до полного выклинивания на восточном склоне Центрально-Каракумского поднятия, вблизи Наипской группы структур на севере и в пределах северо-западного окончания Чарджоуской ступени. В северо-западной части суббассейна в разрезе свиты появляются прослои и линзы каменистой соли мощностью 10—20 м (Кирчили, Бабаарап). У юго-восточного окончания Бухарского разлома свита I также выклинивается, за его пределами вообще отсутствует. Свита сохраняет четкое положение в разрезе формации к югу от осевой зоны до Карабильского поднятия, где контур ее распространения совпадает с зоной разлома. Мощность свиты I на данном участке суббассейна не испытывает резкого изменения и составляет 80—85 м (Байрам-Али, Каракель). Преобладают в разрезе свиты ангидриты, обогащенные карбонатными разностями пород. Вблизи Бадхызского и Майманинского поднятий, а также на Шатлыкском и Гаурдакском участках свита I сливается с вышележащими свитами II и III. Мощность ее не может быть определена достоверно из-за плохой коррелируемости разрезов формации. Эти участки выделены как зоны распространения разрезов, тождественных опорным, но с неуверенно определяемым объемом свиты I.

Свита II (нижняя галитовая) представлена в основании серовато-белым или бесцветным крупнокристаллическим галитом, содержащим включения и пропластки ангидрита. Опорные разрезы ее слагают всю внутреннюю часть солеродного суббассейна; здесь они имеют наиболее типичный состав, залегают без следов перерыва на подстилающей карбонатно-ангидритовой свите и согласно перекрываются ангидритами свиты III. Максимальные мощности свиты II тяготеют к двум депрессионным участкам осевой зоны, простирающейся субширотно. Первый оконтуривается по изоахите 200 м восточнее Байрам-Али, второй — по структурам юго-восточного окончания Чарджоуской ступени и Бешкентского прогиба, где мощность свиты 200—250 м (Култак, Памук). Отсюда к северу мощность закономерно сокращается и в контуре развития сульфатно-хлоридного подтипа полных разрезов изменяется от 30 до 140 м (Северный Балкуй, Северный Чешме, Наразым). В отличие от свиты I нижняя галитовая свита имеет большую площадь распространения, она прослеживается и за пределами зоны полных разрезов, образуя основание сокращенных разрезов формации на восточном склоне Центрально-Каракумского поднятия, на площадях Наипской группы структур и северо-западном окончании Чарджоуской ступени, а также на единичных структурах юго-восточного погружения Бухарской ступени. Отложения свиты II на этих участках залегают непосредственно на размытой поверхности карбонатной формации. На карте, где свита II залегает с перерывом на подстилающих слоях карбонатной формации, выделена зона Б. Мощность свиты здесь составляет 10—50 м, камениная соль мелкозернистая и загрязнена терригенным материалом. На площадях, расположенных вблизи Бухарского разлома, мощность свиты II колеблется от 80 до 160 м (Западный Майнамак, Северный Камаш). На Бухарской ступени свита II развита только в пределах площади Каракум. К югу от осевой зоны свиты II сохраняет четкое положение в разрезе до Карабильского поднятия, где контур ее распространения совпадает с зоной разлома. Мощность свиты на данном участке суббассейна изменяется от 65 до 140 м (Каракель, Байрам-Али). Камениная соль в основной массе бесцветная, вблизи разлома содержит точечные включения бурого терригенного материала. Около

Бадхызского и Майманинского поднятий, а также на Шатлыкском и Гаурдакском участках свита II замещается сульфатными породами, контур ее распространения здесь намечается условно. Разрезы этих районов определены как тождественные опорным, но с неуверенно выделяемым объемом свиты II.

Свита III (средняя ангидритовая) в сульфатно-хлоридном подтипе полных разрезов сложена главным образом или исключительно серовато-белыми плотными ангидритами, обогащенными местами включениями и прожилками карбонатного вещества. Прослои и кристаллики галита тяготеют к литологическим границам в разрезе. Зона распространения опорных разрезов занимает наибольшую площадь, в ее пределах свита III залегает между двумя галитовыми свитами и отличается хорошей коррелируемостью. Максимальная мощность свиты III отмечается в осевой зоне суббассейна; по изопахите 200 м, в районе Сундукли. На юго-восточном погружении Чарджоуской ступени мощность свиты изменяется от 30 до 100 м (Фараб, Култак, Айзуват), уменьшаясь к северо-западу и к зоне Бухарского разлома до 10–20 м (Кирчили, Кабаклы, Северный Камаш). Площадь распространения свиты III больше, чем свиты I, но несколько меньше площади, занятой нижней галитовой свитой. Она прослеживается в сокращенных разрезах формации по восточному склону Центрально-Каракумского поднятия, в районе Наипской группы структур на севере, на площадях северо-западной части Чарджоуской ступени. Распространена она и в зоне развития сокращенных разрезов на площади Каракум (Бухарская ступень). К югу от осевой зоны свита имеет четкое положение в сульфатно-хлоридной разновидности полных разрезов до Карабильского поднятия, где контур ее распространения совпадает с зоной разлома. Мощность свиты на данном участке суббассейна составляет 30–50 м (Байрам-Али, Каракель). Вблизи Бадхызского и Майманинского поднятий, а также на Шатлыкском и Гаурдакском участках коррелируемость свиты III снижается из-за преимущественно сульфатного состава формации. В их пределах свита III залегает среди ангидритов, тогда как в центральной части суббассейна — среди каменной соли.

Свита IV (верхняя галитовая) в сульфатно-хлоридном подтипе разрезов занимает наибольший объем в общей мощности формации (от 650 до 670 м). Внутренняя часть солеродного суббассейна, где данная свита залегает согласно на юго-западе ее ангидритах и представлена наиболее типичными разрезами, выделена как зона распространения опорных разрезов свиты IV. Сложена свита серовато-белой или розоватой крупно-кристаллической каменной солью, содержащей достаточно часто лизо-видные прослои ангидрита. В западной части суббассейна в верхах свиты количество таких прослоев возрастает, здесь же появляются прослои доломитизированного известняка и примесь терригенного материала. Мощность свиты IV максимальна в осевой зоне суббассейна. К северу от осевой зоны она сокращается, а на юго-восточном окончании Чарджоуской ступени ее мощность составляет 200–400 м (Фараб, Култак, Айзуват), уменьшаясь к зоне Бухарского разлома до 110–40 м (Зекры, Северный Камаш). К северо-западу от осевой зоны суббассейна мощность свиты IV изменяется от 30 до 370 м (Северный Балкуи, Наразым). Свита IV прослеживается, как и свита III, в сокращенных разрезах формации на восточном склоне Центрально-Каракумского поднятия, в районе Наипской группы структур на севере, на площадях северо-западной части Чарджоуской и на нескольких площадях юго-восточного окончания Бухарской ступени. К югу от осевой зоны мощность свиты IV составляет 230–330 м (Андрой, Майская), уменьшаясь по мере приближения к Карабильскому поднятию до 40 м (Каракель); контур ее распространения здесь совпадает с зоной разлома. Галит в разрезе свиты вблизи разлома содержит точечные включения бурого терригенного материала или обильные

включения светло-серой карбонатной глины. Около Бадхызского и Майманинского поднятий свита IV замещается сульфатными породами, но в отличие от предыдущих свит коррелируется на отдельных площадях Шатлыкского и Гаурдакского участков, мощность ее колеблется от 80 до 250 м (Шатлык, Гаурдак). Разрезы этих участков выделены как тождественные опорным, но с неуверенно определяемым объемом свиты IV.

Свита V перекрывает соленосный разрез и представлена изменчивым комплексом пород по площади бассейна. В зоне развития сульфатно-хлоридного подтипа она имеет отчетливо выраженный контакт с верхней галитовой свитой. В изменениях мощности свиты V четкой закономерности не наблюдается, отчасти это обусловлено ее сильной фациальной изменчивостью. Учитывая, что в осевой зоне суббассейна мощности всех свит максимальны, можно допустить, что здесь она развита достаточно полно. Для нее характерна малая мощность (10–20 м, Сундукли). В пределах юго-восточного погружения Чарджоуской ступени мощность также не превышает 10–20 м (Айзуват), но несколько возрастает в зоне Бухарского разлома и по мере приближения к окраинным зонам суббассейна к северу и северо-западу. В контуре развития полных разрезов сульфатно-хлоридного подтипа мощность свиты составляет 30–90 м (Фараб, Северный Балкуи). На восточном склоне Центрально-Каракумского поднятия, в пределах Наипской группы структур на севере, на площадях северо-западной части Чарджоуской ступени и на юго-восточном окончании Бухарской свиты V выделяется как над галитовыми пластами, так и в сокращенных разрезах, не содержащих каменной соли. На карте выделены зона Б, где свита V залегает с размывом на слоях нижней каменной соли, и зона В, где она залегает на размытой поверхности карбонатной формации келловей-оксфорда (см. рисунок). Мощность свиты V здесь резко изменяется в результате последующего размыва и колеблется от первых десятков метров до 70–80 м. На площадях, расположенных в южной половине внутренней зоны суббассейна, мощность в сульфатно-хлоридном подтипе полных разрезов составляет 45–60 м (Каракель, Байрам-Али). Контур ее распространения здесь совпадает с зоной разлома вблизи Карабильского поднятия. Около Бадхызского и Майманинского поднятий коррелируемость свиты V снижается из-за однообразного литологического состава формации, но четко прослеживается на отдельных площадях Шатлыкского и Гаурдакского участков, где присутствует верхняя галитовая свита мощностью 10–75 м (Гаурдак, Шатлык). Значит, свита V, перекрывающая соленосный разрез формации, отличается от ранее рассмотренных не только наибольшей площадью распространения и литологической неоднородностью, но и своеобразным распределением мощностей.

Для зоны, протягивающейся от Байрам-Али до Сундукли и являющейся осевой, а также для близлежащих площадей Чарджоуской ступени (Самантепе, Матеджан, Култак, Памук, Аляуды) характерна наибольшая общая мощность формации. Здесь отмечается также максимальная насыщенность разреза галитом (до 80%), ангидрит составляет 20%, а количество карбонатных пород редко доходит до 10%. Основная часть галита сосредоточена в верхней галитовой свите, в которой в Приамударыцком районе встречаются пласти и линзы калийных солей [Седлецкий, 1970; Бабаев, Раубходжаева, 1972]. В результате проведенных исследований калиеносность установлена также на площадях Самантепе, Метеджан, Сакар, где имеются два четко выраженных калиеносных горизонта, причем на Метеджане они прослеживаются по всем скважинам (мощность 6–14 м). Специфика разрезов Байрамалийского района состоит в том, что в верхней галитовой свите калийных солей нет, но зато развиты мало-мощные прослойки песчано-глинистых пород. Следует отметить, что терригенный материал проявляется и в виде рассеянных вкраплений в соля-

ных породах. Мощность каменной соли, содержащей примесь песчано-глинистых частиц, составляет 30% от общей мощности формации.

Севернее полосы развития этих разрезов мощность формации закономерно сокращается и изменяется соотношение пород в разрезе. Так, на площадях Багаджа, Фараб и других доля галитовых пород снижается до 60–65%, а содержание ангидрита возрастает до 30%, карбонатов до 10%. Северо-западнее, на структурах Кирпичли, Гагарина, Северный Балкуй и других, количество галита еще более снижается и становится почти равным содержанию ангидрита, а доля карбонатов увеличивается до 15%. Терригенный материал представлен не только вкраплениями в солях и ангидритах, но и в виде маломощных слоев. В свите V доля песчаных пород доходит до 10% от общей мощности формации. На юге Восточного Туркменистана, на площади Каракель, также отмечается почти равное насыщение разреза формации галитом и ангидритом (45–50%). Карбонаты присутствуют как в виде самостоятельных пропластков, на долю которых приходится до 5%, так и в виде включений. Галит в верхней части разреза сильно насыщен серым карбонатно-глинистым веществом; ангидрит содержит его по трещинам, т. е. в целом возрастают карбонатность соленосной формации и обогащенность разреза терригенным материалом.

Рассмотренная внутренняя зона суббассейна на востоке и западе ограничена подзонами A₁ и A₂, где формация выражена хлоридно-сульфатным подтипов разрезов (см. рисунок). Разрезы этого подтипа не удается, как правило, расчленить на описанные выше пять свит. Лишь верхние IV и V свиты выделяются достаточно уверенно, а нижним (I–III) соответствует мощная толща ангидритов. Насыщенность разрезов галитом составляет на площади Шатлык 20%, в Гаурдаче – 40%, доля ангидритов возрастает до 60–70%, остальную часть слагают известняки. Терригенный материал имеет подчиненное значение в разрезе и содержитться в виде механической примеси и маломощных прослоев в основном в верхней ее части.

Несмотря на сходство в строении разрезов формации Шатлыка и Гаурдача [Гаврильчева, 1977], между ними есть отличия. Главная особенность Гаурдакского комплекса — его калиевость. Шатлыкский разрез менее насыщен галитом и совсем не содержит калийных горизонтов. Мощность формации на Гаурдаче 580 м, на Шатлыке — 550 м.

В Северном Афганистане и к югу от Шатлыка, на площади Донmez, развита третья, карбонатно-сульфатная, разновидность полных разрезов, представленная ангидритами с горизонтами известняков, доломитов, реже глин и песчаников. Эту разновидность разреза также не удается расчленить на свиты. Мощность таких разрезов составляет 250–300 м, они являются суммарным аналогом разрезов первой и второй разновидности.

С севера территории, на которой развиты описанные разновидности полных разрезов соленосной формации, окаймляется зонами Б и В с сокращенными типами формаций (см. рисунок). Особенностью этих разрезов является их гетерогенность, малая мощность, невысокая насыщенность галитом или полное его отсутствие, наличие внутриформационных разрывов, залегание на подстилающих отложениях карбонатной толщи келловей-оксфорда с размывом и срезание кровельной части нижнемеловыми отложениями [Бабаев, Раубходжаева, 1972; Гаврильчева, 1978]. В контуре зоны даже в пределах одной площади (Беурдешик, Гугуртли) можно наблюдать значительное уменьшение мощности формации и выклинивание отдельных свит из разреза. Каменная соль выклинивается, частично замещается сульфатно-карбонатными породами, в различной степени обогащенными терригенным материалом. Такой характер смены галотемных отложений породами иного состава прослеживается от восточного склона Центрально-Каракумского поднятия до северо-западной

части Чарджоуской ступени и далее на юго-восточном погружении Бухарской.

Для северной окраинной зоны, находящейся одновременно под влиянием внутренней части солеродного суббассейна и распространяющим влиянием континентального стока, характерны разрезы с ангидритом, каменной солью, карбонатными породами морского и терригенных континентального генезисов. В этой зоне целесообразно выделить соленосно-сульфатно-карбонатный (4) и соленосно-карбонатно-сульфатный (5) подтипы сокращенных разрезов.

Соленосно-сульфатно-карбонатный подтип развит в северо-западной части зоны на площадях Беурдешик, Измаил, Наип, а соленосно-карбонатно-сульфатный — в северо-западной части Чарджоуской ступени и на единичных площадях юго-восточного погружения Бухарской (Гугуртли, Кульбешкак, Каракум и др.). В обоих подтипах выходит из разреза свита I (карбонатно-ангидритовая), оба залегают на размытой поверхности карбонатов и имеют неравномерное развитие галитовых свит. В контуре одной площади может наблюдаться разрез, состоящий из четырех (II–V) или из двух (II, V) свит. В первом случае нижняя галитовая свита прослеживается между карбонатами оксфорда и средней ангидритовой, над которой залегает верхняя галитовая свита, а выше — свита V. Во втором случае нижняя галитовая свита прослеживается между карбонатами оксфорда и свитой V, т. е. на участках выклинивания или срезания верхней галитовой и средней ангидритовой свит. Свита V на таких площадях залегает непосредственно на свите нижних солей, которые несут следы частичного размыка и переотложения. Выклинивание свиты II из разреза формации обычно наблюдается за сводом структур, а свит III и IV — в районе свода (Беурдешик). Мощность средней ангидритовой свиты не превышает 10–15 м (Беурдешик, Каракум), а верхней галитовой составляет 10–30 м. Свита V сложена трещиноватыми ангидритами, чередующимися с известняками, вблизи кровли отмечаются песчаники с прослоями алевролитов. Кровля свиты V повсеместно размыта, и мощность ее изменяется в зависимости от степени размыва от 20 до 80 м (Кайдым, Измаил). Общая мощность формации в пределах развития данных подтипов сокращенных разрезов колеблется от 50 до 130 м.

В соленосно-сульфатно-карбонатном подтипе (4) соленасыщенность разреза снижается до 15%, содержание ангидрита — до 20%, а обогащенность карбонатными породами возрастает на отдельных площадях до 65%. Песчано-глинистые породы составляют 10–20% от общей мощности формации. Соленасыщенность соленосно-карбонатно-сульфатного подтипа (5) сокращенных разрезов колеблется в тех же пределах, что и для подтипа 4. Отличительная черта — увеличение в разрезе доли ангидритовых пород, уменьшение карбонатности. На площади Гугуртли доля ангидритовых пород составляет 35%, количество терригенного материала различное в зависимости от степени размыва кровельной части формации, к которой приурочена толща песчано-глинистых пород. Максимум терригенных пород наблюдается на площади Гугуртли (25%), возрастая в бессоленосных разрезах до 40%.

Севернее рассмотренных подтипов в полосе, ограниченной зоной выклинивания формации, развиты другие подтипы сокращенных разрезов, состоящих из ангидритов, морских известняков и континентальных терригенных пород. Здесь можно выделить сульфатно-карбонатный (6), карбонатно-сульфатный (7) и сульфатный (8) подтипы сокращенных разрезов (см. рисунок).

Все три подтипа в различной степени обогащены терригенным материалом, но все выражены только свитой V, идентичной по составу вышеописанной и залегающей на размытой поверхности карбонатов келловей-оксфорда [Гаврильчева, 1978]. Первые два подтипа характерны для се-

веро-западной и северо-восточной частей рассматриваемой зоны (8), последний (сульфатный) для юго-восточного погружения Бухарской ступени, где он представлен трещиноватыми ангидритами с примазками глин и прослоями известняков (структуры Мубарекского и Каганского поднятий). Мощности свиты V в данных подтипах сокращенных разрезов изменяются от 5 до 70 м в зависимости от степени размыва.

Необходимо отметить, что в пределах северной окраинной зоны солеродного суббассейна различные подтипы сокращенных разрезов можно наблюдать в контуре одной складки. Это позволяет проследить выклинивание отдельных свит разреза и обеспечивает надежную корреляцию перекрывающей свиты V.

Таким образом, по площади распространения соленосной формации по соотношению в ее разрезе основных типов пород (галитов, сульфатов и карбонатов) отчетливо обособляются зоны. Мощные свиты галитов сосредоточены в разрезах, удаленных как от полосы частичного или полного выклинивания формации, трассирующих границу солеродного суббассейна, так и от участков поступления в суббассейн морских и пресных вод.

ЛИТЕРАТУРА

- Алланов А., Гаврильчева Л. Г. Литолого-фацальные комплексы эвaporитовой формации верхней юры юго-запада Средней Азии. — В кн.: Проблемы соленакопления. Т. 1. Новосибирск: Наука, 1977, с. 289—291.
- Бабаев А. Г., Раубходжаева Т. С. Соляно-ангидритовая формация юго-восточной части Бухаро-Хивинской области и ее роль в формировании залежей нефти и газа. М.: Недра, 1972. 176 с.
- Гаврильчева Л. Г. Строение, состав и условия осадконакопления кимеридж-титонских отложений южной части солеродного бассейна Восточного Туркменистана. — В кн.: Тезисы докладов 2-й научной конференции молодых ученых АН ТССР. Ашхабад, 1977, с. 176—179.
- Гаврильчева Л. Г. Условия осадконакопления эвапоритовых отложений в пределах северной окраины верхнеюрского солеродного бассейна Восточного Туркменистана. — Изв. АН СССР. Серия физ.-техн., хим. и геол. наук, 1978, № 2, с. 120—124.
- Гаврильчева Л. Г. Характер контактов соленосной формации верхней юры с подстилающими и перекрывающими отложениями в Восточном Туркменистане и перспективы поисков ловушек неантклинальных типов. — В кн.: Геология и нефтегазоносность Туркменистана. Ашхабад, 1980, с. 77—86.
- Кутузов А. П. Условия формирования Гаурдакского месторождения серы. — Сов. геология, 1976, № 1, с. 135—141.
- Седлецкий В. И. Литолого-фацальные особенности и условия калийности мезозойских отложений юга Средней Азии. — В кн.: Состояние и задачи советской литологии. Т. 3. М.: Наука, 1970, с. 49—57.

В. Л. Сапунова, А. М. Черненко

ОСОБЕННОСТИ СТРОЕНИЯ ЮРСКОЙ ГАЛОГЕННОЙ ТОЛЩИ ВОСТОЧНО-КУБАНСКОЙ ВЛАДИНЫ

В Краснодарском крае перспективность открытия залежей нефти и газа связывается с подсолевыми верхне-среднеюрскими отложениями Восточно-Кубанской впадины (ВКВ). Глубокое поисково-разведочное бурение на этот комплекс отложений связано с определенными трудностями из-за присутствия горизонтов с аномально-высокими пластовыми давлениями (АВПД) и интенсивными рапопроявлениями в процессе бурения. Пласти каменной соли, составляющие значительную часть толщи, практически непроницаемы, что способствует накоплению и сохранению

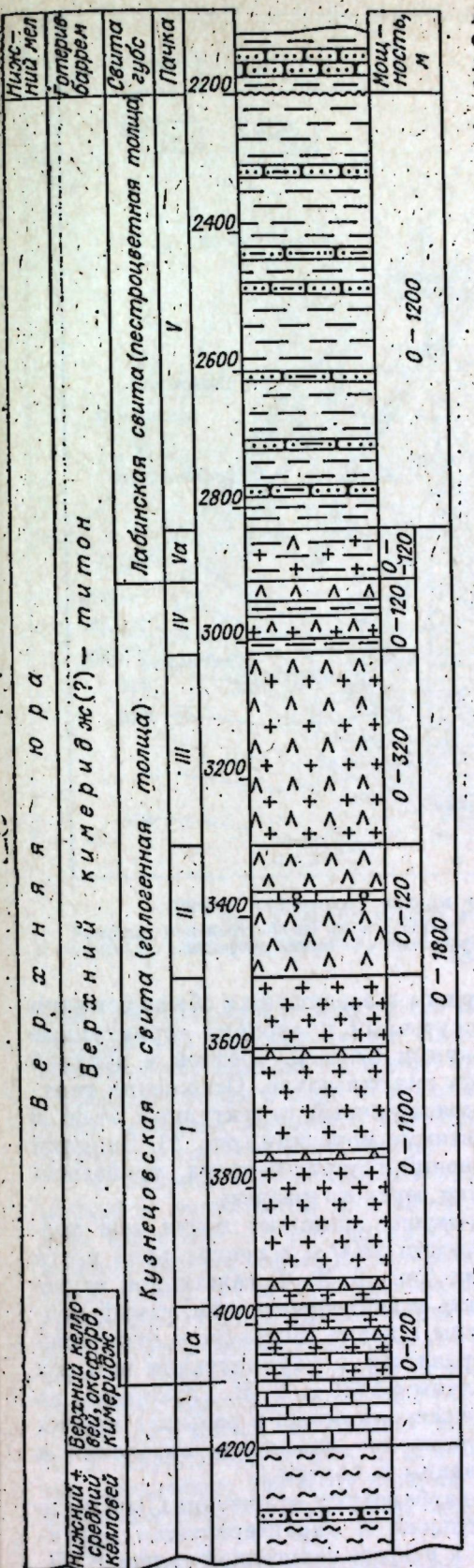


Рис. 1. Стратиграфический разрез юрских отложений Восточно-Кубанской впадины. 1 — песчаники; 2 — глины; 3 — известники; 4 — аргиллиты; 5 — ангидриты; 6 — каменная соль.

углеводородов в пределах впадины. Отмечаются четкие закономерности в характере размещения залежей нефти и газа. Так, в зоне распространения галогенной толщи практически отсутствуют промышленные скопления углеводородов в надсолевых отложениях. В подсолевом комплексе бурением выявлено Кошхабльское и Западно-Вознесенское (газоконденсатные) и Кузнецковское (нефтегазовое) месторождения. В обрамлении впадины за пределами галогенной толщи установлено значительное количество месторождений (преимущественно газовых и газоконденсатных) в отложениях нижнего и верхнего мела, палеоцен-эоцене и миоцене. Все это обусловило необходимость изучения особенностей распространения и строения галогенной толщи. Авторы, базируясь на материалах бурения и геофизических исследований, детально проследили изменения литологии и мощности галогенной толщи и отдельных ее пачек от скважины к скважине по всей территории ВКВ.

Восточно-Кубанская впадина внутриплатформенная, расположенная в раннеальпийский этап на положительную структуру байкальско-каledonского фундамента. Она располагается в пределах южного края Скифской платформы и ограничена с юга Адыгейско-Карачаевским краевым массивом, с востока и севера — Армавиро-Невинномысским валом и Расшеватско-Кропоткинской зоной поднятий. На западе границей служит Березанский вал и Адыгейский выступ. В указанных границах размеры впадины 250×75 км. Фундамент в осевой части погружен на глубину более 8 км.

Платформенный чехол ВКВ начинается с отложений нижней юры,

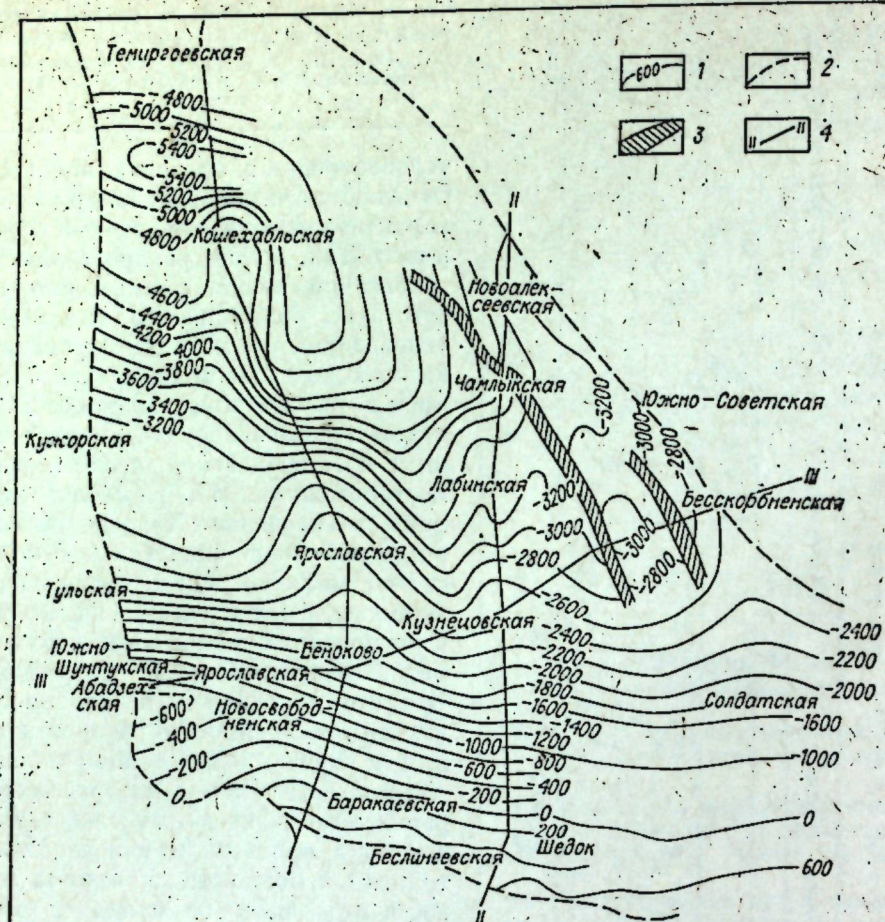


Рис. 2. Структурная карта по кровле галогенистой толщи.

1 — изоглизы кровли галогенистой толщи; 2 — границы зоны распространения галогенистой толщи; 3 — зоны разрывных нарушений; 4 — линии профилей.

а на отдельных участках, возможно, триаса и завершается образованием неогена. Выделяются нижний, промежуточный и верхний структурные этажи. Нижний этаж сложен отложениями нижней, средней и верхней юры до оксфорда и нижнего кимериджа включительно. Отложения верхнего кимеридж-титона составляют промежуточный структурный этаж и представлены галогенистыми и пестроцветными породами (рис. 1). Верхний этаж начинается с базальных образований готерив-баррема, трансгрессивно залегающих на различных частях юрского разреза.

Галогенистые отложения кимеридж-титона занимают почти всю территорию впадины. Они достигают мощности 1800 м в центральной части впадины и выклиниваются на ее бортах (рис. 2, 3). В галогенистой толще довольно четко наблюдается ритмичность осадкообразования, самый мелкий ритм — годовые слои — установлены в керне Шедокского месторождения соли. Более крупные ритмы выражались в формировании четырех пачек галогенистой толщи, которые выделены в 1980 г. В. В. Григоренко на Шедокском месторождении. Они прослежены авторами в разрезах многих скважин. При этом установлено закономерное изменение литологии и мощности каждой пачки от центра впадины к бортам.

Пачка I (нижняя) залегает на карбонатных отложениях верхнего келловея — оксфорда — нижнего кимериджа и характеризуется максимальной концентрацией каменной соли в разрезе галогенистой толщи ВКВ. В центральной части впадины в подошве пачки отмечается переходная

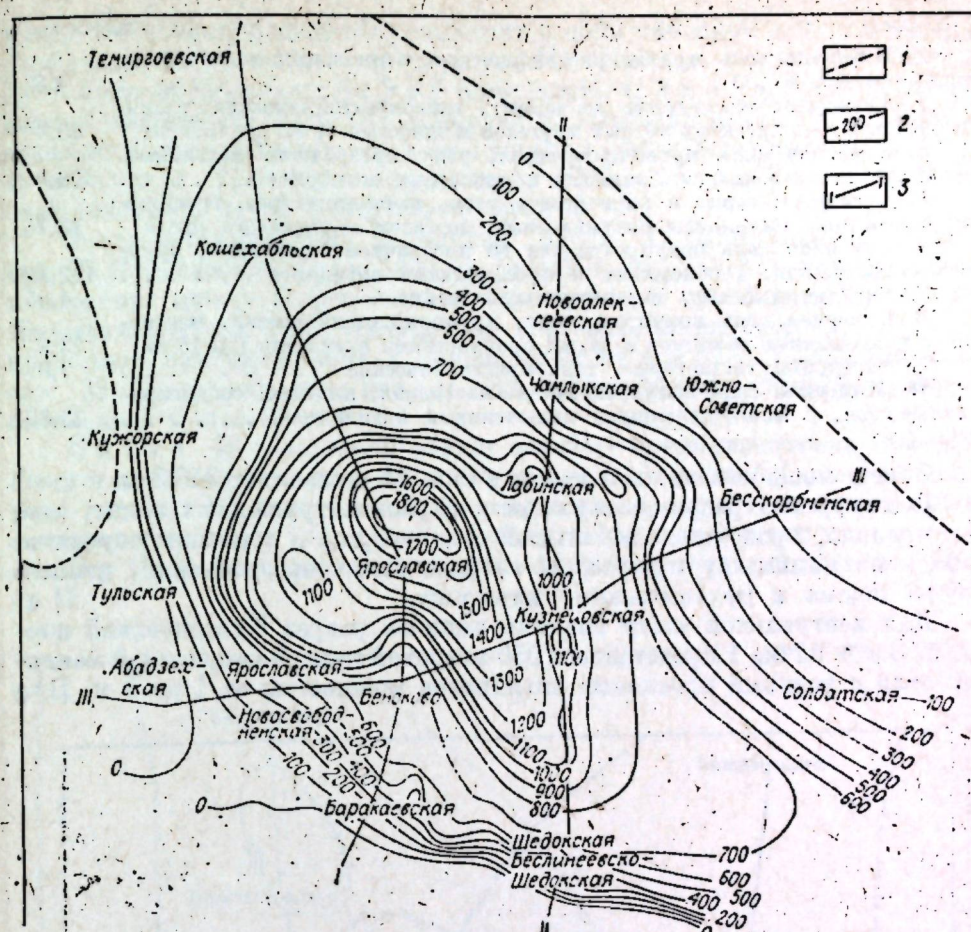


Рис. 3. Карта равных мощностей галогенистой толщи.

1 — границы распространения галогенистой толщи; 2 — изопахиты галогенистой толщи; 3 — линии профилей.

зона, достигающая мощности 120 м и представленная переслаивающимся ангидритами и известняками. Каменная соль в нижней части переходной зоны сначала появляется в виде кристаллов или примазок по плоскостям насыщения, затем в виде пропластков. По мере удаления от центральной части впадины мощность переходной зоны уменьшается до 40—60 м, на бортах эта зона отсутствует.

В направлении от бортов к внутренним частям впадины четко прослеживается фациальный ряд пород, характерный для солеродных бассейнов: известняк — гипс (ангидрит) — каменная соль. В качестве примера можно привести разрез по профилю скважин 2-бис — 11 Шедокской площади. В скв. 2-бис, пробуренной в непосредственной близости от выходов галогенистой толщи на поверхность в пределах южного борта впадины, пачка I представлена ангидритами с прослоями гипсов, известняков, доломитов и брекчий, состоящих из обломков гипсов и ангидритов, сцепленных силикатами. В скважине 14 в низах пачки среди ангидритов появляется пласт каменной соли мощностью около 42 м. Еще дальше, в скв. 1, отмечаются уже два соляных пласта суммарной мощностью 146 м. И в самой северной скважине 11 вскрыто пять пластов каменной соли. Пачка имеет здесь следующее строение (снизу вверх):

Мощность, м
1. Ангидриты голубовато-серые, плотные, тонкокристаллические, с прослоями битуминозных мергелей 13,5

	Мощность, м
2. Каменная соль крупнокристаллическая, с пропластком ангидрита мощностью 0,5 м	4,6
3. Ангидриты темно-серые до черных, тонкокристаллические, тонкоплитчатые, с пропластками черных мергелей мощностью от 0,1 до 15,0 см	25,8
4. Каменная соль мутно-прозрачная, реже прозрачная, массивная, крупнокристаллическая, с обломками и прослойками ангидрита	106,0
5. Ангидриты серые и коричневато-серые, тонкоплитчатые, трещиноватые, трещины выполнены битуминозным мергелем коричневого цвета	18,75
6. Каменная соль полуупрозрачная до прозрачной, массивная, крупнокристаллическая, с обломками и пропластками ангидрита	112,65
7. Ангидриты белые, скрытокристаллические	4,95
8. Каменная соль полупрозрачная, крупнокристаллическая, массивная, с включениями обломков и двумя пропластками ангидрита (до 15 см)	23,8
9. Ангидриты темно-серые, тонкокристаллические	7,6
10. Каменная соль полуупрозрачная, массивная, плотная, среднекристаллическая, с многочисленными включениями ангидрита	25,65

Общая мощность нижней пачки в скв. 11 составляет 343,3 м.

Расшифровка разрезов скважин в глубокопогруженных зонах, где, как правило, проводился небольшой отбор керна, в основном осуществлялась по комплексу промыслового-геофизических исследований, данным отбора шлама и механическому каротажу.

Для центральной части впадины типичен разрез Кузнецкой площади. Здесь пачка I представлена 550-метровой толщиной монолитной каменной соли с редкими прослойками ангидритов мощностью от 1 до 5 м. При

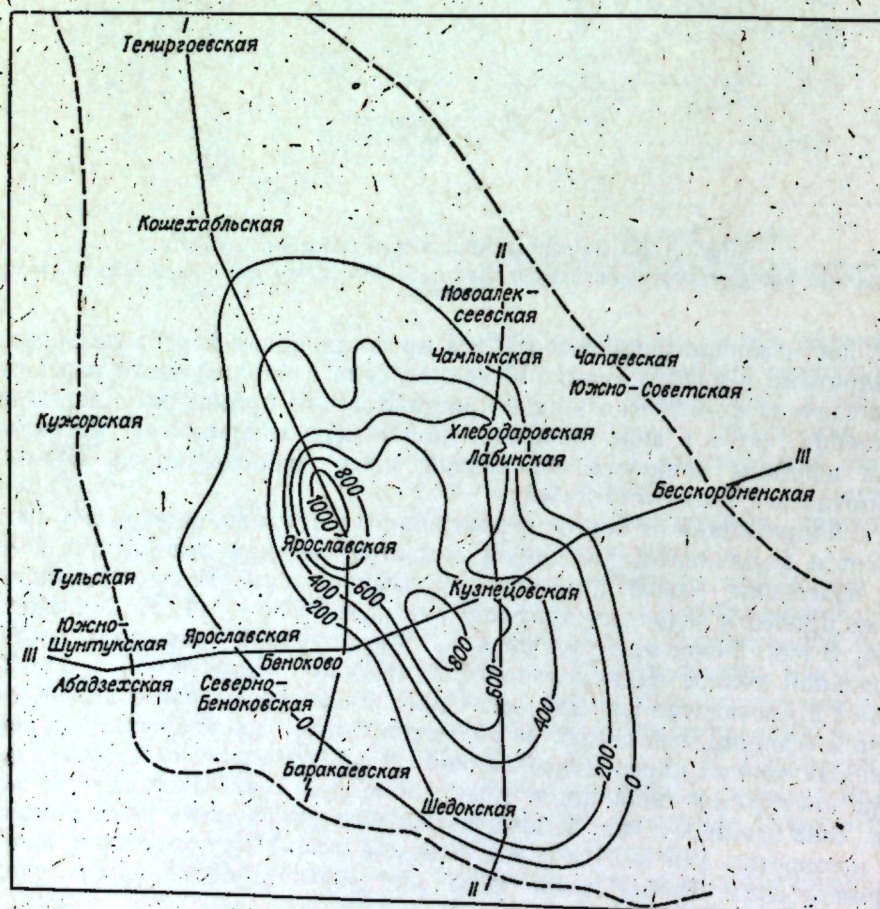


Рис. 4. Карта равных мощностей I пачки галогенистой толщи.
Усл. обозн. см. на рис. 3.

удалении от центра впадины уменьшается доля каменной соли в разрезе и увеличивается количество ангидритов. На западном и восточном бортах ВКВ (скв. 40 Ярославская, 3 и 6 Кужорские, 1, 2 и 3 Чамлыкские, 3 Новоалексеевская, 10, 15 и 16 Лабинские, 1 Хлебодаровская) пачка I представлена лишь ангидритами, а ее мощность резко сокращается до 50 м. В скважинах Тульской, Абадзехской, Южно-Советской, Бесскоробинской площадей пачка I отсутствует (рис. 4).

Зона максимальных мощностей пачки I располагалась вблизи скв. 25 Ярославской (более 1100 м), западнее скв. 2 Лабинской (> 700 м) и в районе между Беноковской и Кузнецовой площадями (> 800 м). По-видимому, она была приурочена к осевой линии бассейна, которая проходила приблизительно в направлении от скв. 25 Ярославская до скв. 33 Шедокская (см. рис. 4), где располагались участки наибольшего интенсивного прогибания.

Пачка II галогенистой толщи сложена преимущественно сульфатными и карбонатными породами. По сравнению с пачкой I она более широко развита. На бортах впадины разрез представлен в основном ангидритами с прослойками известняков, доломитов, мергелей и гипсов.

На Шедокской площади в скв. 11 вскрыт следующий разрез пачки II.

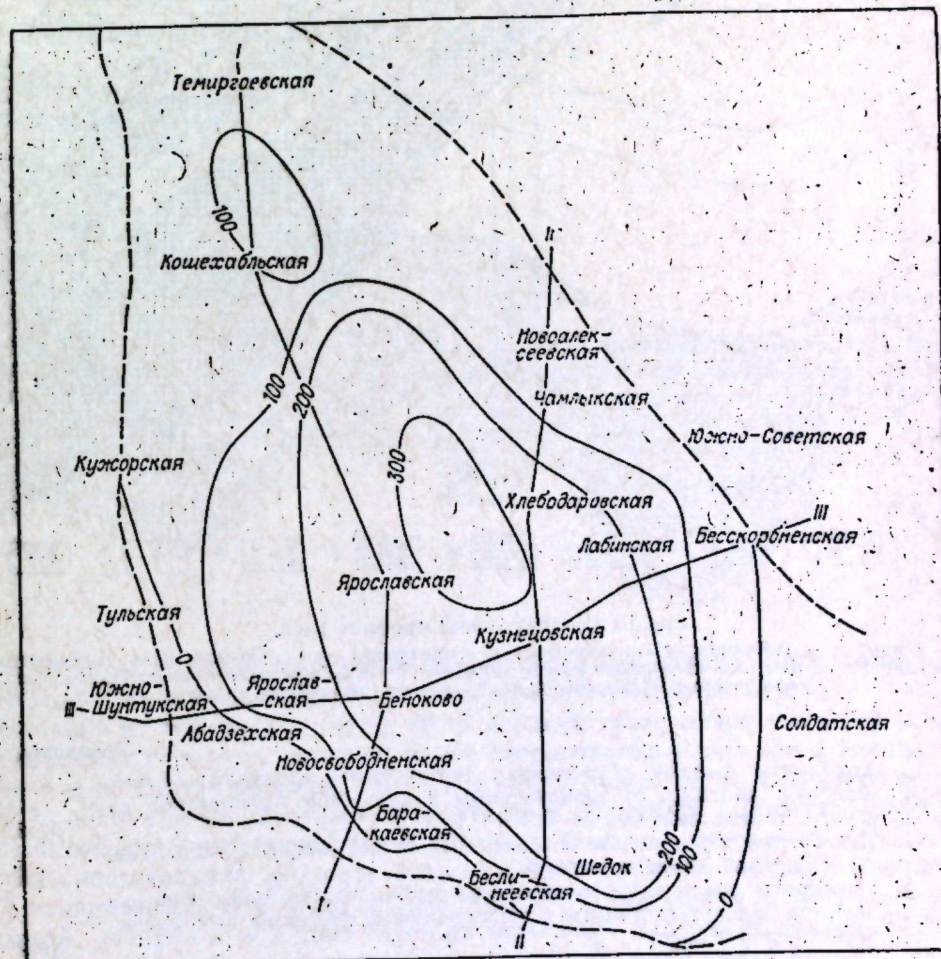


Рис. 5. Карта равных мощностей III пачки галогенистой толщи.
Усл. обозн. см. на рис. 3.

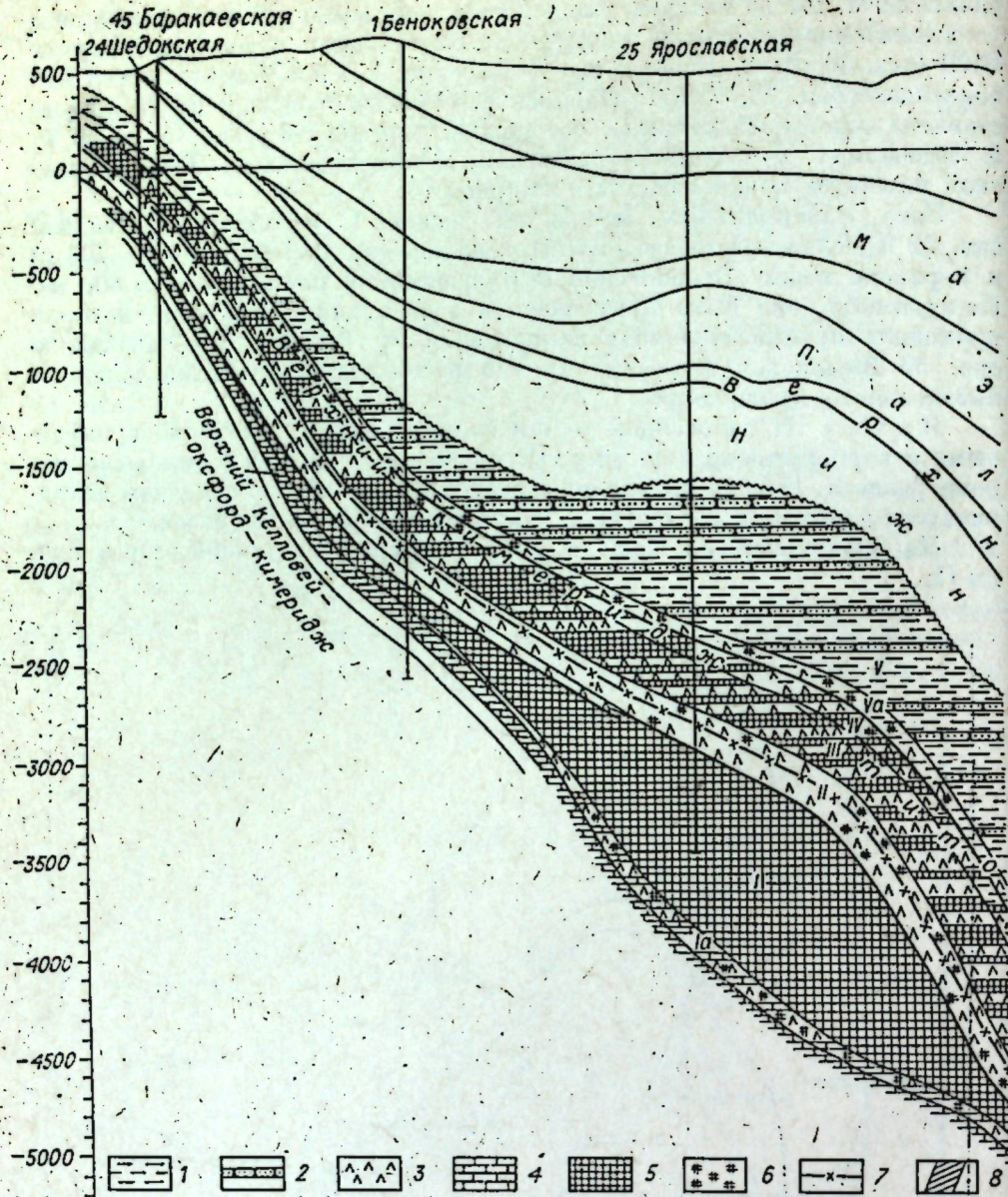


Рис. 6. Геологический профиль I—I.

1 — глины; 2 — песчаники; 3 — ангидриты; 4 — известники; 5 — каменная соль монолитная; 6 — каменная соль в виде кристаллов, гнезд, примазок; 7 — «рапопосный» горизонт II пачки; 8 — зоны разрывных нарушений. I—V — пачки, выделенные на рис. 1.

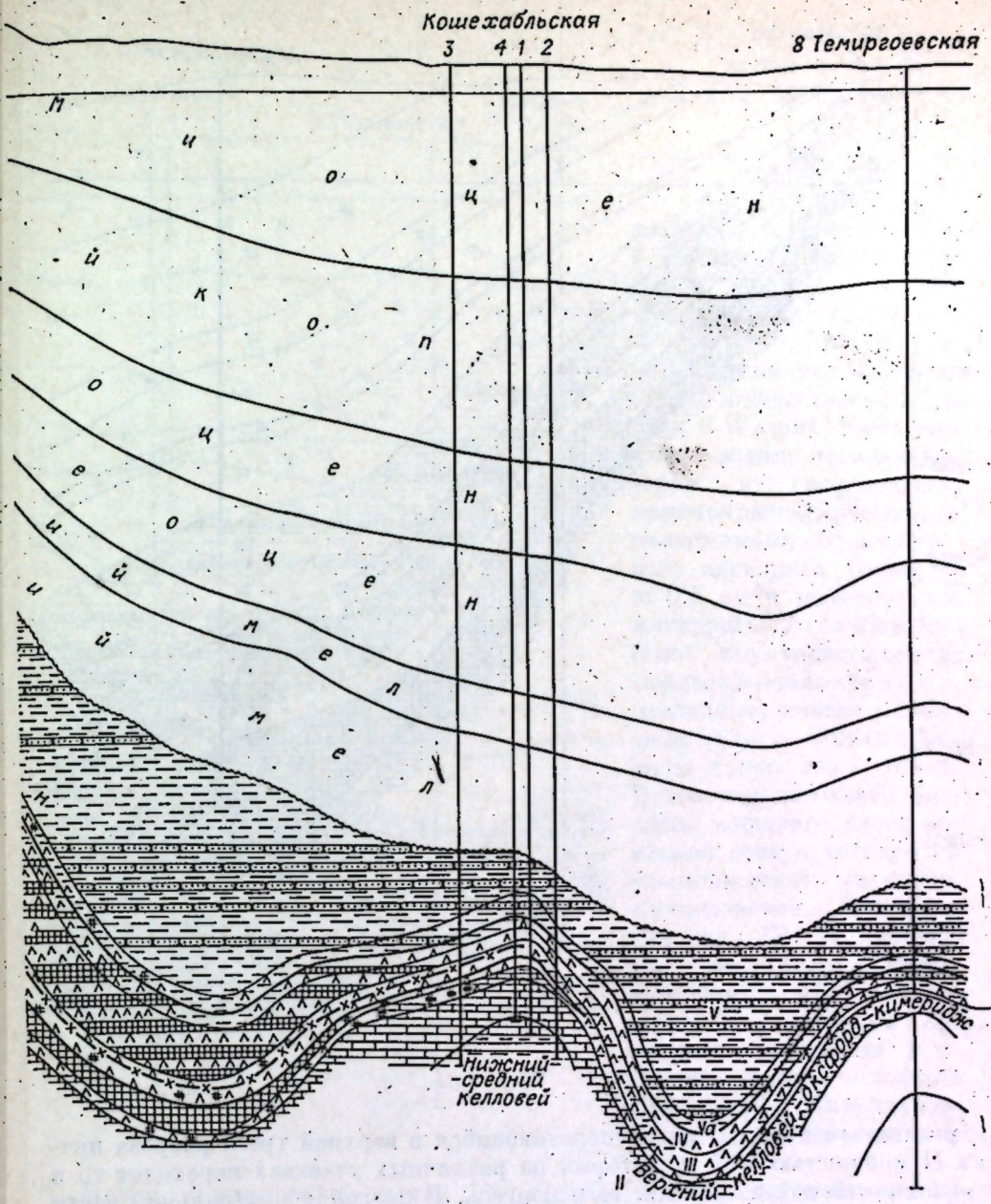
Мощности, м
1. Ангидриты светло-, голубовато-, темно-серые, массивные, тонкокристаллические, плотные, со значительным количеством пропластков известняков и мергелей мощностью 0,01—0,7 м 92,3

2. Известники серые до темно-серых, массивные, тонкозернистые, переходящие в верхней части в мергель 4,6

3. Ангидриты голубовато-, реже темно-серые, массивные, тонкокристаллические, на отдельных участках трещиноватые, трещины выполнены черной карбонатной глиной 49,2

Общая мощность пачки II в скв. 11 составляет 146,1 м.

В центральной части бассейна (Кузнецовская площадь, скв. 25 Ярославская) в разрезе пачки встречаются редкие прослои алевролитов.



Разрез пачки II выдержан по составу и исключительно хорошо прослеживается по площади. Мощность пачки меняется от бортов к центру бассейна от 110 до 220 м (рис. 5). В верхней трети пачки выделяется «рапопосный» горизонт, который имеет сравнительно постоянную мощность: 4—8 м на бортах впадины и 8—11 м в центральной части. Он довольно хорошо выражен на каротажных диаграммах (глубокий минимум на кривой кажущегося сопротивления) и является четким маркирующим репером при сопоставлении разрезов скважин. Этот горизонт на ряде площадей (Кузнецовская, Ярославская, Лабинская, Чамлыкская и др.) пасыщен рапой, которая в условиях аномально-высоких пластовых давлений иногда интенсивно изливается при вскрытии горизонта скважинами.

Наиболее детально состав «рапопосного» горизонта изучен на Шедокском месторождении каменной соли. По В. В. Григоренко, это пласт

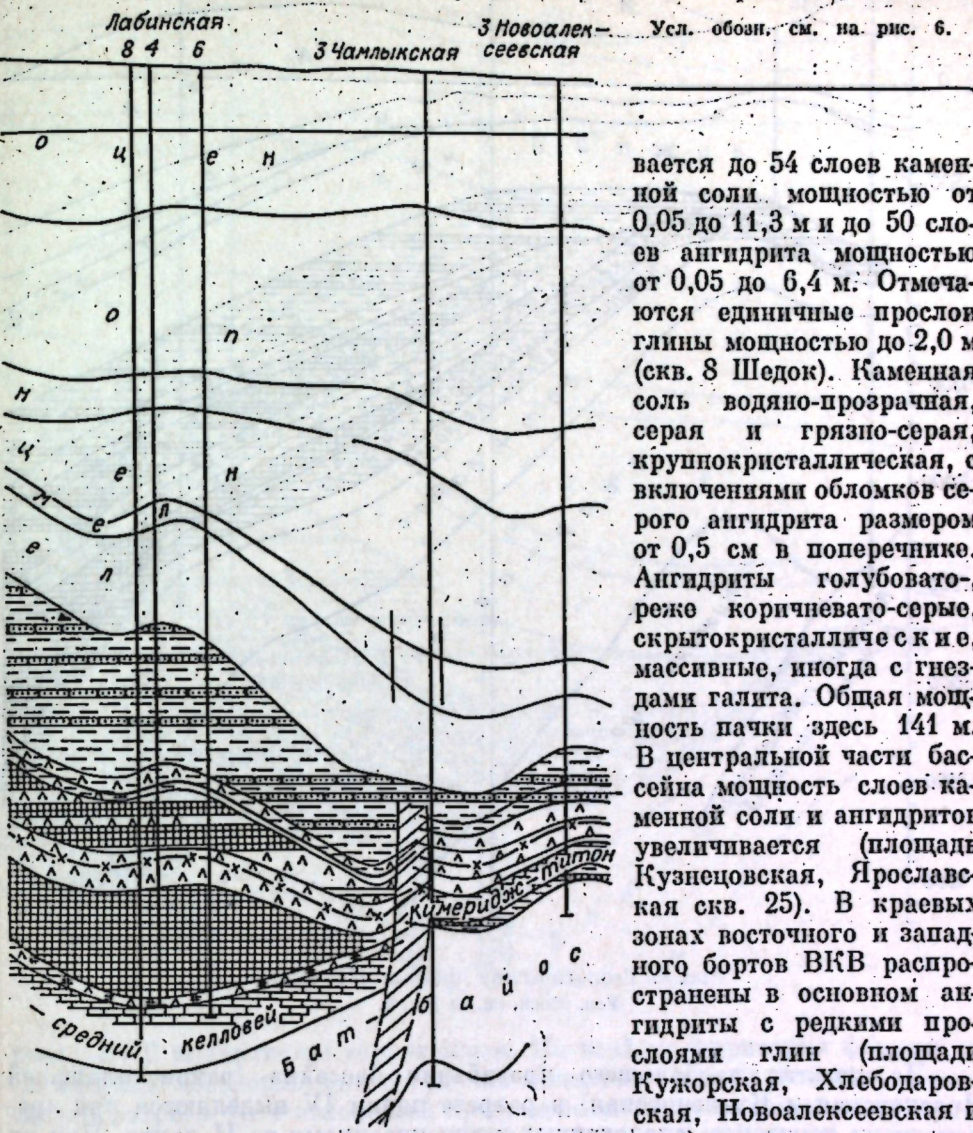
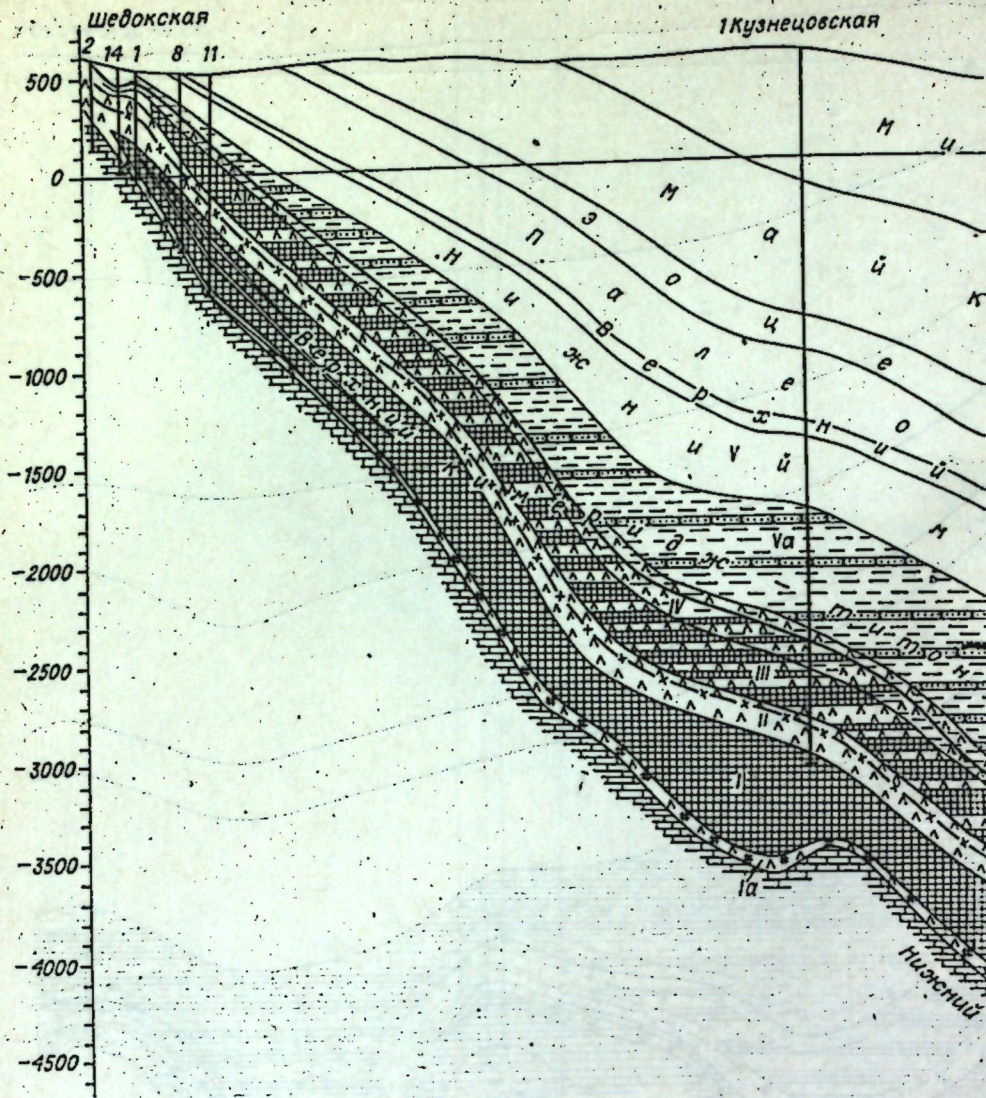


Рис. 7. Геологический профиль II-II.

мергелистого известняка, расположенный в верхней трети разреза пачки II мощностью 4,65 м, который на различных участках переходит то в довольно чистый известняк, то в мергель. В пределах центральной части ВКВ «рапопосный» горизонт имеет двухчленное строение. Верхнюю его часть слагают известняки, а нижнюю — разуплотненные в условиях АВПД глины и глинистые мергели, насыщенные рапой. В наиболее тектонически напряженных участках в известняках развивалась трещиноватость и в образовавшийся коллектор отжималась рапа из разуплотненных глин, вследствие чего создавались локальные зоны активного рапонасыщения.

«Рапоносный» горизонт хорошо прослеживается от южного борта ВКВ (площади Баракаевская и Шедок) на север, в сторону глубокопогруженных зон (площади Кузнецковская, Ярославская, Беноковская, Солдатская, Лабинская, Кужорская, Хлебодаровская, Чамлыкская, Новоалексеевская). На Кошехабльской площади горизонт выделяется условно, а севернее, на Темиргоевской, он отсутствует (рис. 6-8).

Пачка III представлена чередующимися ангидритами и каменной солью. В южной прибрежной части бассейна в разрезе пачки насчиты-

Время формирования пачки III характеризуется неустойчивостью режима седиментации и даже наличием перерывов в осадкопончении. Наблюдаются исполнные разрезы пачки, отсутствие подошвенной (Кужорская площадь) или кровельной (Баракаевская площадь) частей, а иногда и всей пачки (Беслипьевская площадь).

Общая мощность пачки III колеблется от 90 до 320 м (см. рис. 5). Пачка IV отличается тем, что в ней наряду с хемогенными породами существенную роль играют терригенные. Наибольшая мощность пачки зафиксирована на Ярославской и Кузнецкой площадях, где она достигает 100—120 м. Представлена пачка здесь переслаивающимися ангидритами, глинами и каменистой солью. На Баракасской и Кошечабльской площадях преобладают ангидриты и увеличивается количество прослоев терригенных пород. На Кужорской, Лабинской и Чамлыкской площадях разрез резко сокращается из-за отсутствия кровельной части пачки. Ее мощность здесь составляет всего лишь 15—60 м, а представлена она в основном глинами и ангидритами.

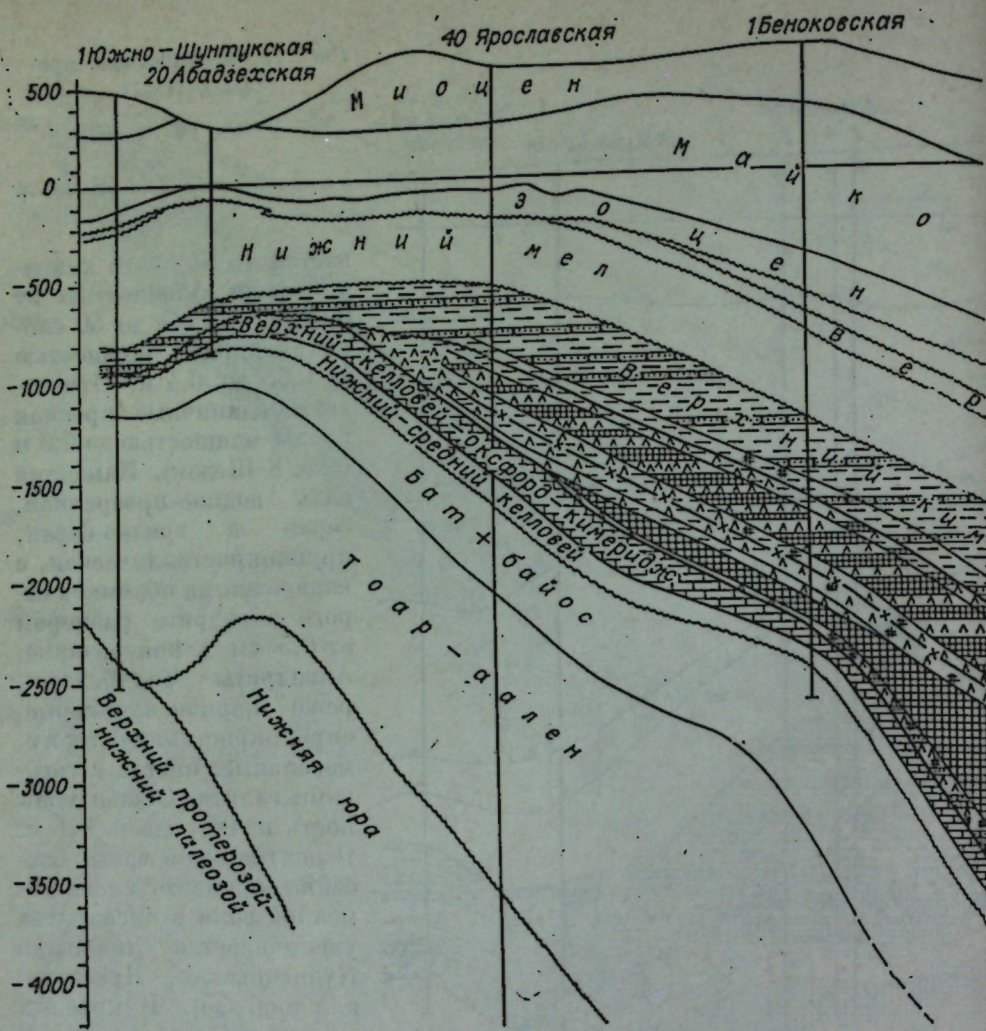
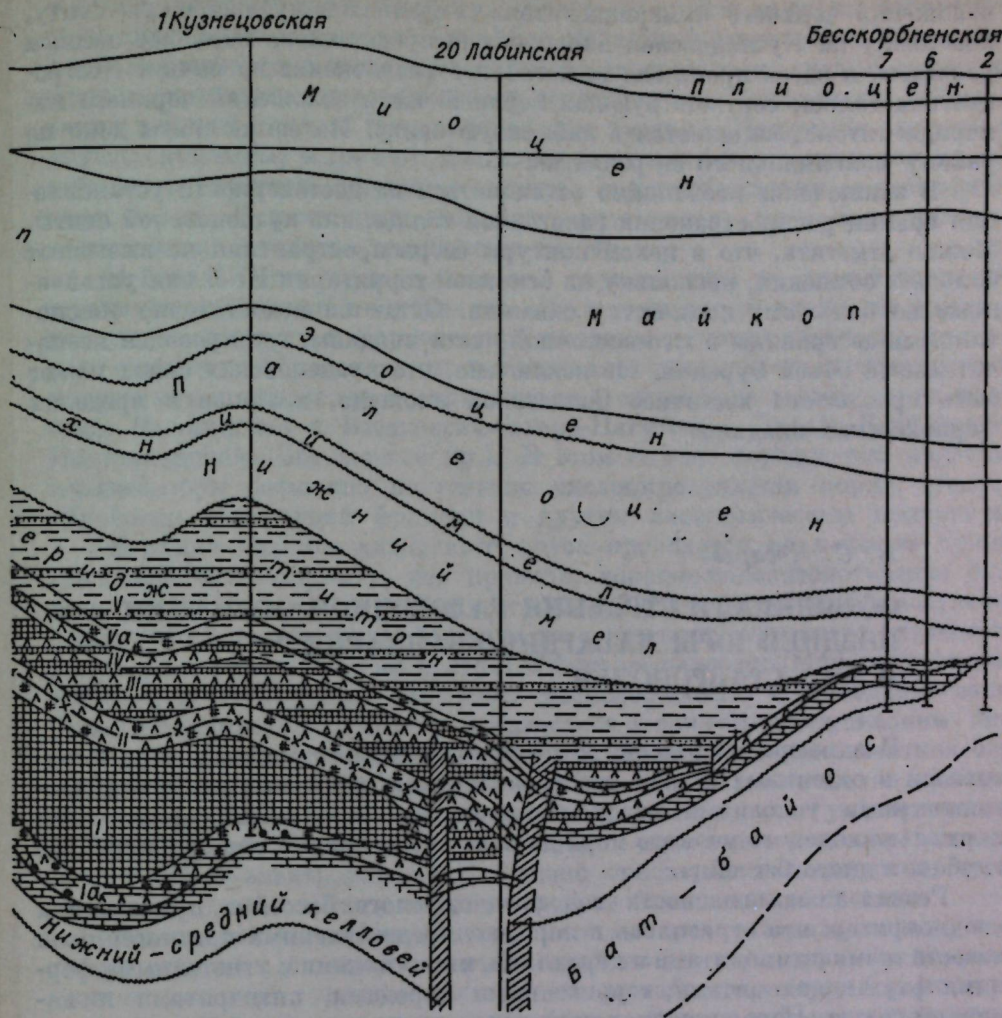


Рис. 8. Геологический профиль III-III.
Усл. обозн. см. на рис. 6.

На участке наибольшего прогибания бассейна (район площадей Ярославская и Кузнецовская) в разрезе пачки IV выделяются три «рапопносных» горизонта, аналогичных вышеописанному во II пачке. При их вскрытии скважинами на Ярославской площади отмечались рапопроявления дебитом 200–350 м³/сут. Плотность рапы 1,255 г/см³, минерализация 349,47 г/л.

Максимальная мощность юрской галогенной толщи в пределах ВКБ, достигающая более 1800 м, приурочена к району, охватывающему Кузнецковскую и Ярославскую площади, который стабильно прогибался на всем протяжении осадконакопления. В разрезе галогенной толщи на каменную соль приходится 65–70%, ангидриты составляют 20–25%, карбонаты и терригенные породы (глины, брекчии, алевролиты) — 5–10%.

Галогенную толщу на большей части впадины перекрывает переходная пачка мощностью 15–120 м. Для нее характерно широкое развитие пестроцветных пород, преимущественно глин, реже песчаников, содержащих пропластки ангидритов, включения в виде линз, гнезд и кристаллов галита. Отсутствует переходная зона лишь на южном борту впадины, а также на Кужорской и Новоалексеевской площадях. Начиная со времени накопления переходной пачки хемогенное осадконакопление в пре-



делах ВКБ подавляется терригенным. На всей ее территории формируется мощная пестроцветная толща аллювиально-озерных осадков. Повсеместно разрезы этих отложений представлены глинами кирпично-красными с гнездами, линзами и тонкими пропластками зеленоватых, синеватых и пепельно-серых глин с крайне невыдержаными по площади прослоями рыхлых красноцветных песчаников. Область аккумуляции осадков пестроцветной толщи заняла несколько большую площадь, чем галогенной, однако зона максимального прогибания по-прежнему находилась в центральной части впадины. Максимальная мощность толщи достигает 1200 м. На бортах впадины толща выклинивается.

В послеюрское время территория ВКБ была высоко поднята, и впадина прекратила существование.

Анализ приведенных материалов показывает, что особенности тектонического развития в течение верхнего киммериджа и титона обусловили формирование на территории ВКБ двух осадочных толщ большой мощности. Эти толщи резко отличаются друг от друга по составу и условиям осадконакопления. Они распространены главным образом в пределах Восточно-Кубанской впадины и являются характерными местными стратиграфическими единицами. В связи с этим, основываясь на литологических признаках, авторы выделили каждую из указанных толщ в самостоятельную свиту. Галогенная толща, соответствующая нижней части

отложений верхнего кимеридж-титона, выделена в кузнецовскую свиту, поскольку на Кузнецовой площади она представлена наиболее полным разрезом, и здесь проведено ее детальное расчленение на пачки. Пестроцветная толща, соответствующая верхней части отложений верхнего кимеридж-титона, выделяется в лабинскую свиту. Название свиты дано по району максимального ее развития.

В заключение необходимо остановиться на достоверности установления границ распространения галогенной толщи, или кузнецовской свиты. Можно отметить, что в целом контуры ее распространения не вызывают больших сомнений, поскольку на основной территории ВКБ они установлены по большому количеству скважин. Остаются недостаточно обоснованными ее границы в юго-восточной части впадины, где проведен недостаточный объем бурения. Не исключено, что кузнецовская свита может быть прослежена восточнее Солдатской площади, а также в пределах Чернолесской впадины.

В. С. Косарев

ОСОБЕННОСТИ СТРОЕНИЯ ГАЛОГЕННОЙ ФОРМАЦИИ ПОЗДНЕЙ ЮРЫ КАБАРДИНО-БАЛКАРИИ И ЮГА СТАВРОПОЛЬЯ

Позднеюрский бассейн в пределах Северного Кавказа характеризовался в отдельных этапах резко различными гидрологическими и тектоническими условиями осадконакопления — от условий практически нормально соленого мелкого моря до сильно засоленных вод сравнительно глубоководного бассейна.

Резкая смена солености вод позднеюрского бассейна происходила неоднократно, что отразилось в породах, представленных органогенными известняками с аммонитами и кораллами, известняками с угнетенными формами фауны, доломитами, терригенными породами, ангидритами и каменной солью. Неравномерная соленость различных частей бассейна также обусловила быструю изменчивость состава пород и их палеонтологической характеристики. Эти литологические и палеонтологические особенности верхнеюрских отложений наряду с выклиниванием отдельных толщ и наличием нескольких перерывов существенно затрудняют их расчленение на ярусы международной системы, а также корреляцию местных свит.

Естественные выходы отложений верхней юры, которые изучаются многими исследователями уже со второй половины XIX в., располагаются на Северном Кавказе в виде узкой полосы в пределах Скалистого хребта. Здесь распространены преимущественно осадки открытого моря, отличающиеся значительным содержанием органогенных известняков. Севернее, в Терско-Каспийском и Восточно-Кубанском прогибах, располагался солеродный бассейн. Осадочные толщи верхней юры залегают тут на значительной глубине, разрезы мало изучены. Несмотря на это, каротажный и керновый материал, полученный при бурении глубоких скважин, позволяет провести корреляцию этих разрезов как между собой, так и с естественными разрезами. Таким образом, появляется возможность проследить фациальные изменения отдельных частей верхнеюрской толщи по площади в пределах различных тектонических элементов и в разных зонах седиментационного бассейна.

В тектоническом отношении территория Кабардино-Балкарии и Южного Ставрополья охватывает западную часть Терско-Каспийского

прогиба, Чернолесскую впадину, Минераловодский выступ, Беломечетскую синклиналь и частично Армавиро-Невинномысскую антиклинальную зону. Верхнеюрские отложения залегают несогласно на средне- и нижнеюрских, триасовых, палеозойских и докембрийских отложениях. В основании верхней юры на Минераловодском выступе (Нагутская опорная и другие скважины) встречены конгломераты, сложенные гальками палеозойских горизонтов, глинистых сланцев и докембрийских метаморфических пород. В некоторых скважинах установлена кора выветривания палеозойских гранитов мощностью 10—15 м.

В большинстве случаев подошва верхней юры на рассматриваемой территории проводится однозначно. Но на некоторых площадях Минераловодского выступа и Чернолесской впадины палеонтологически не охарактеризованные красноцветы верхней юры ложатся на красноцветные породы пермо-триаса, не содержащие палеонтологических остатков (площади Малкинская и Веселовско-Нагутская, Дубово-Балковская, Подгориенская, Бортовая и др.). В этом случае определение подошвы верхней юры возможно по степени дислоцированности пород, степени обработки обломочной фракции и другим литологическим признакам.

Верхняя граница титонского яруса проводится по подошве трансгрессивно залегающих и, как правило, хорошо палеонтологически охарактеризованных нижнемеловых отложений. Трансгрессивное несогласие фиксируется по залеганию берриаса на различных горизонтах титонского яруса (Терско-Каспийский прогиб) и даже на палеозое (Минераловодский выступ). В естественных разрезах, расположенных в западной части Терско-Каспийского прогиба, берриаские отложения представлены мергелями и известняками, содержащими большое количество остатков берриасел [Друшц, 1960]. В этой зоне по находкам аммонитов подошва берриасских отложений установлена в скважинах Гунделеновской, 5 Лысогорской, Советских, что позволило привязать подошву меловых отложений к электрокаротажу. Однако некоторые исследователи здесь проводят границу между мелом и юрой на более низком уровне.

В западной части Минераловодского выступа, к западу от него и на северо-западных площадях Чернолесской впадины в валанжин-берриасских отложениях существенное значение приобретают терригенные породы: пестроцветные гравелиты и песчаники. В этих районах определение подошвы меловых отложений более сложно в связи с литологическим сходством валанжин-берриасских и титонских отложений и редкой встречаемостью остатков фауны. Еще западнее на красноцветах, относимых условно к титону, залегают аптские отложения.

Верхнеюрские осадочные толщи наиболее изучены на территории Кабарды и Осетии. Келловейские отложения представлены песчаниками и органогенно-обломочными известняками. В Баксанском районе в них содержатся многочисленные остатки ископаемых, позволяющие твердо датировать вмещающие отложения. В верхней части разреза прослеживается характерный горизонт железистых оолитов. Мощность келловейских отложений в этом районе 8—10 м. В скважинах Баксанской, Гунделеновской и Чегемской площадей мощность и литологические особенности отложений келловея не изменяются. Восточнее мощность возрастает до 100 м [Сахаров, 1965].

На Минераловодском выступе келловейские отложения не установлены, хотя здесь пробурено довольно большое количество скважин со значительным отбором керна. Южнее, по р. Малка и ее правым притокам, к келловею относятся разнозернистые песчаники с прослоями гравелитов, песчанистых и глинистых известняков мощностью 30—40 м, возраст которых определяется на основании единичных находок позднекелловейских аммонитов в пизах толщи. В полосе естественных выходов на междуречье Малка—Зеленчук эти отложения, по-видимому, отсутствуют и появляют-

ся в долине р. Бол. Зеленчук. Их мощность в западном направлении возрастает [Логинова, 1970]. Западнее Минераловодского выступа также развиты песчано-глинистые отложения с редкими прослойями мергелей мощностью до нескольких десятков метров. Севернее келловейские отложения установлены на Дубово-Балковской и Янкульской площадях, где они становятся трубобломочными. Терригенная толща, возможно, продолжается в западную часть Чернолесской впадины.

Выше лежащий комплекс пород верхней юры в естественных обнажениях на территории Кабарды представлен известняками и доломитами. Эта карбонатная толща выделяется как адайхокская [Логинова, 1974] или иронская свита [Объяснительная записка..., 1973]. Возраст толщи еще достаточно твердо не определен. Нижние ее слои мощностью несколько метров относятся по находкам аммонитов к верхнему келловею. Возрастной интервал верхней части толщи колеблется от оксфорда до раннего титона. Имеющийся палеонтологический материал позволяет полагать, что она имеет преимущественно титонский возраст [Сахаров, 1973]. Наличие в разрезе кимериджских отложений не ясно, возможная мощность их невелика.

Нижняя часть карбонатной толщи в обнажениях на территории Кабарды сложена преимущественно губко-водорослевыми известняками мощностью 30—60 м и относится к оксфорду [Объяснительная записка..., 1973; Сахаров, 1965]. Наличие верхнего оксфорда в разрезе остается неясным. Севернее, в скважинах Баксанской, Гунделеновской и Чегемской площадей, мощность органогенных известняков увеличивается до 100 м. В верхней их части (10—30 м) преобладают целиноморфные породы.

В связи с отсутствием данных трудно отредактировать, как далеко к северу от Кабардинской моноклинали распространяются органогенные фации оксфорда. Однако карбонатная толща оксфорда, установленная в скважинах Нефтекумского района [Мацкевич, 1965], свидетельствует о их сравнительно широком распространении. В западной части Терско-Каспийского прогиба северная граница органогенных фаций возможно проходит по Советско-Моздокской зоне поднятий. До предтитонского размыва отложения оксфорда, вероятно, были более широко распространены, но сохранились после предтитонского размыва лишь на погруженных участках.

На восточном погружении Минераловодского выступа (Марьинская площадь) мощность оксфордских отложений, выделяемых условно, составляет 40 м. К югу от Минераловодского выступа в узкой полосе вдоль выходов под красноцветами кимеридж-титона прослеживается известняковая пачка, часть которой, возможно, имеет оксфордский возраст. Сложена пачка целиноморфными плитчатыми известняками с немногочисленными остатками фауны, не позволяющей твердо датировать отложения. Эти известняки присутствуют в южных точках выходов, севернее они срезаются, и на подстилающие породы ложатся непосредственно песчаники и гравелиты титона. На юге верхнеюрские отложения залегают на глинах байоса, севернее — на тоарских породах, в районе Кисловодска — на палеозойских и протерозойских. Таким образом, в очень узкой зоне южного обрамления четко устанавливается воздымание Минераловодского выступа на протяжении поздней юры. Амплитуда воздымания была велика, о чем свидетельствует объем срезанных отложений.

Западнее Минераловодского выступа в полосе выходов оксфордские отложения представлены целиноморфными, органогенными и песчанистыми известняками, иногда переслаивающимися с мергелями. Залегают они на песчанистых известняках верхнего келловея. По характеру фауны уверенно расчленить эти отложения не удается. Мощность их изменяется от 50 м на Кубани до 100 м в разрезе Урупа [Геология ССР, 1968]. К се-

веру мощность оксфордских отложений уменьшается, они становятся более глинистыми, песчанистыми.

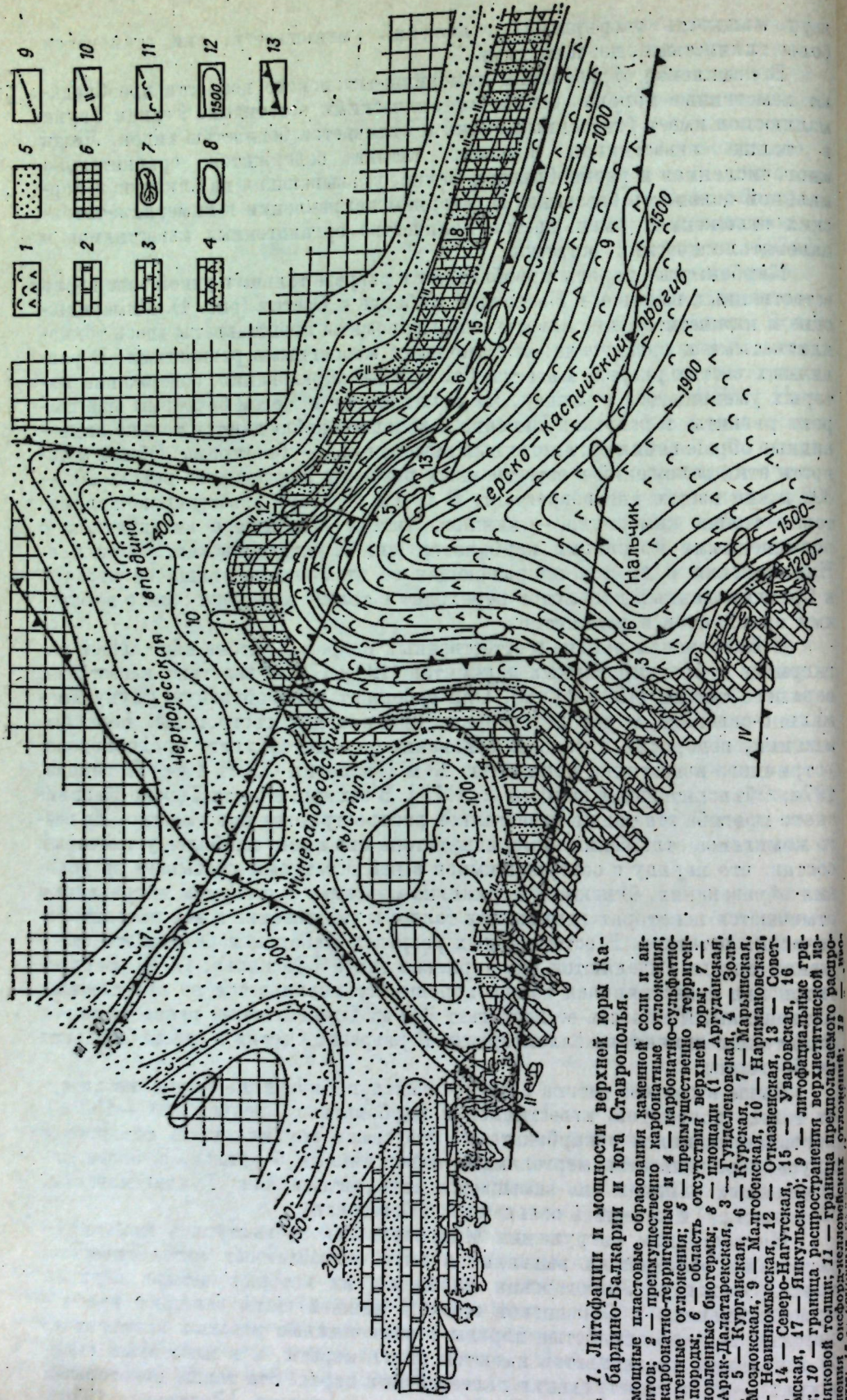
В комплексе образований кимеридж-титонского возраста преобладают хемогенные породы, бедные органическими остатками. Редкая фауна моллюсков имеет угнетенный облик и отличается бедностью видов. Лишь в толще известняков верхнего титона содержится сравнительно многочисленная и разнообразная фауна, указывающая на близкую к нормальному соленость бассейна. В северном направлении в кимеридж-титонских отложениях уменьшается количество органогенных известняков и палеонтологических остатков.

Карбонатные породы преобладают в разрезе только в узкой зоне вдоль естественных выходов в Восточной Кабарде и Осетии (рис. 1). Кимериджские и нижнетитонские известняки и доломиты представлены здесь тонкоплитчатыми и органогенно-бломочными массивными разностями. В различных частях разреза имеются биогермные образования, содержание которых уменьшается к западу. На реках Черек и Чегем биогермы еще широко развиты, в разрезах Баксана и западнее наблюдаются только лизо-видные образования органогенных известняков — биостромы. Общая мощность этих отложений в естественных разрезах Баксанского района 200—300 м, на восток она возрастает. В 10 км к северу известняково-доломитовая толща кимериджа — нижнего титона замещается ангидритами с подчиненными прослойками карбонатов (скв. Гунделеновская, Чегемская, Нальчикская и др.), а покрывающая ее на Баксане толща ангидритов и брекчированных доломитов переходит в толщу каменной соли с прослойями ангидритов и доломитов.

В Баксанском районе в естественных разрезах титона над толщей ангидритов и брекчированных доломитов (120—170 м) залегают известняки верхнего титона (150—200 м). Они содержат разнообразную фауну нормально-соленого моря: двустворки, брахиоподы, гастраподы, кораллы, мшанки, водоросли и т. д. В основании находится пласт брахиоподово-устричного известняка мощностью 20 м [Геология ССР, 1968; Логинова, 1974; Объяснительная записка..., 1973]. В западной части Терско-Каспийского прогиба эта толща известняков распространена повсеместно. Из всего комплекса отложений кимеридж-титона она имеет наиболее устойчивый состав, что наряду с содержащимися в ней остатками указывает на условия образования, близкие к нормально-морским. В северном направлении отмечается некоторая глинизация толщи и уменьшение в ней палеонтологических остатков. В естественных разрезах Кабарды и Осетии эти отложения иногда выделяются как терская свита [Логинова, 1974]. Верхнетитонская известняковая толща хорошо устанавливается по каротажным материалам. Мощность ее достигает 300 м. Органогенные разности пород этой толщи являются коллекторами. В разрезах Осетии в ней наблюдаются биогермы.

Выше в разрезе титона в полосе выходов Кабардино-Балкарии следует толща доломитов, известняков и карбонатных брекчий (100—150 м), переслаивающихся с карбонатами. Эта самая верхняя часть титонского яруса перекрывается мергелями и известняками берриаса. В более погруженных районах она замещается ангидритами (скв. Гунделеновская, Марьинская) и каменной солью (скв. 6 Советская).

На восточном погружении Минераловодского выступа в кимеридж-титонских отложениях выделяются пять обособленных литологических толщ (Зольская, Лысогорская площадь), из которых четыре верхние прослеживаются в Баксанской зоне. В нижней части залегают красноцветные песчано-глинистые породы с включениями розовых ангидритов. В основании красноцветов имеются конгломераты, а в некоторых скважинах — кора выветривания палеозойских пород. Эта толща некоторыми исследователями относится к верхнему кимериджу [Логинова, 1970].



К востоку она выпадает из разреза, а в западном и северном направлениях ее мощность увеличивается. На Минераловодском выступе красноцветы ложатся на различные породы палеозоя и иногда триаса, а в краевых зонах — средней и нижней юры.

Выше следуют хемогенные отложения, состоящие из двух толщ (рис. 2): нижняя сложена преимущественно ангидритами с прослойми доломитов (до 350—400 м), а верхняя — каменной солью с прослойми ангидритов и доломитов (до 300—350 м). В северной краевой части бассейна эти толщи переходят в терригенные красноцветные отложения. В Баксанском районе нижняя толща замещается доломитами и известняками, а верхняя — ангидритами.

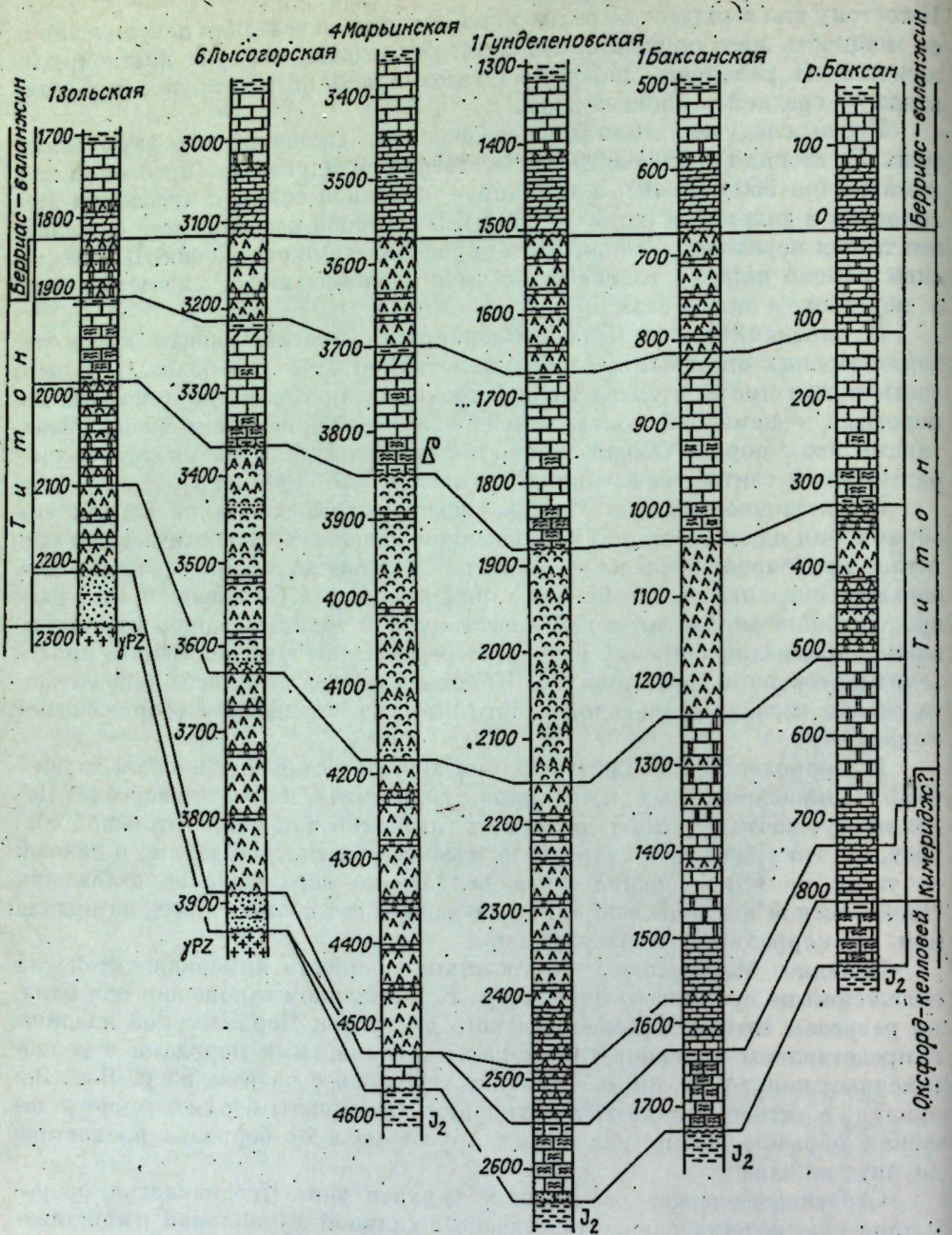
В западной части Терско-Каспийского прогиба общая мощность верхнеюрских отложений, вероятно, достигает 2 тыс. м и более. Основная часть толщи приходится на титонский ярус и представлена хемогенными породами — каменной солью, ангидритами, доломитами и смешанными типами этих пород. Общая мощность каменной соли титонского яруса, разделенной свитой известняков, достигает 700—1000 м.

На восточном склоне Минераловодского выступа и на южном его обрамлении одновременно с уменьшением мощности литологических толщ титона происходит последовательное их срезание до полного исчезновения верхнеюрских отложений на некоторых площадях. На западе предел распространения верхнетитонской известняковой толщи ограничен ее срезанием в предмеловое время. Такое же срезание, по всей видимости, происходит на северном борту прогиба. Каменная соль и ангидриты нижней части титона к своду Минераловодского выступа замещаются терригенными породами.

В Чернолесской впадине верхняя юра представлена мощной толщей (500 м) красноцветных песчаников, гравелитов и конгломератов. По-видимому, почти вся эта толща имеет титонский или раннетитонский возраст, на что указывают палеонтологические остатки, найденные в нижней части на Отказненской площади. Однако верхнеюрские отложения Чернолесской впадины еще плохо изучены и нет достаточного материала для их корреляции и расчленения.

Западнее Минераловодского выступа мощность кимеридж-титонских отложений не превышает 100—150 м. В фациальном отношении они близки разрезам титона Минераловодского выступа и Чернолесской впадины и представлены красноцветными песчано-глинистыми породами с разногалечным конгломератом в основании. Начиная с разреза на р. Большой Зеленчук, в титоне появляются ангидриты. Пересяты верхнеюрские отложения образованиями различных ярусов мела от берриаса на востоке до апта на западе.

Стратиграфическое расчленение верхней юры Предкавказья разработано еще недостаточно, что связано с сильной фациальной изменчивостью отложений. Подобные изменения происходят как во времени, так и в зависимости от удаленности области морского питания и от глубины бассейна. Поэтому каменная соль и ангидриты на более мелководных участках сменяются сначала карбонатами с угнетенной фауной, а потом органогенными известняками и биогермами. Такие изменения можно проследить даже в естественных разрезах на небольших расстояниях [Логинова, 1970]. В зависимости от изменения фаций периодически меняются представления исследователей о возрасте тех или иных свит. Это особенно касается нижнетитонских отложений, которые в фации органогенных известняков иногда относятся к более древним ярусам вплоть до верхнего оксфорда. Так, в мощной доломитовой толще в долине Терека, считающейся ранее дотитонской, были найдены аммониты раннетитонского возраста [Сахаров, 1973]. На примере расчленения верхней юры Предкавказья подтверждается, что биостратиграфия в стратиграфической геологии оста-



ется только вспомогательным методом к традиционным геологическим методам выделения и корреляции геологических тел.

Анализ материалов бурения и естественных разрезов позволил установить ряд особенностей в строении и размещении лиофаций верхней юры. В северной краевой зоне бассейна и в пределах Минераловодского выступа накапливались преимущественно терригенные красноцветные отложения с плохой окатанностью и сортированностью обломочного материала, что указывает на близость источников сноса. Мощность верхнекорских отложений здесь 100–200 м. В восточной части Чернолесской впадины мощность красноцветных конгломератов, гравелитов и песчаников верхней юры достигает 500 м (скв. Наримановская). Наиболее грубообломочные породы — гравелиты и конгломераты — распространены преимущественно на Минераловодском выступе и в Чернолесской

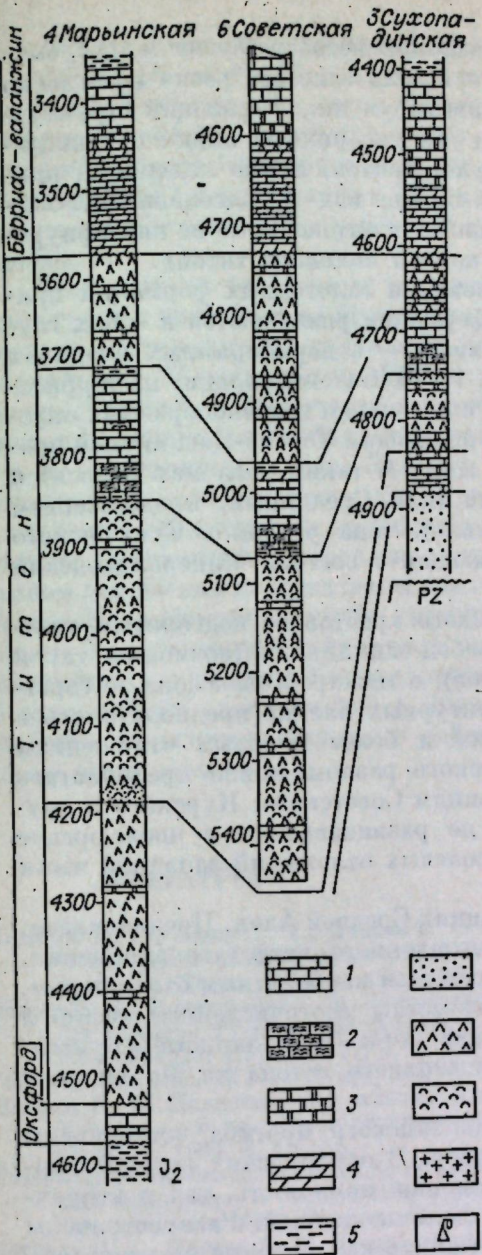


Рис. 2. Корреляция разрезов верхней юры западной части Терско-Каспийского прогиба.

1 — известники; 2 — органогенные известники; 3 — доломиты; 4 — мергели, глинистые известники; 5 — аргиллиты; 6 — песчаники, гравелиты; 7 — ангидриты; 8 — каменная соль; 9 — граниты палеозоя; 10 — нефте-и водопроявления в виде фонтанных притоков и выбросов в скв. 1, 5, 7 Марьинской площади.

впадине. На южном ограничении Минераловодского выступа наблюдаются резкие колебания мощности красноцветной толщи верхней юры, что объясняется выполнением этой толщей рельефа палеозойского фундамента [Геология СССР, 1968].

Литологические особенности терригенных пород говорят о резкой дифференциации рельефа в позднеюрское время, о близости районов денудации и о соседстве с ними глубоких впадин, быстро заполнившихся плохо обработанным обломочным материалом и хемогенными шородами. На сравнительную глубоководность позднеюрского солеродного бассейна Предкавказья указывают образцы керна чистой прозрачной каменной соли без признаков слоистости на протяжении десятков сантиметров. Местами в соли наблюдается примесь плохо окатанного песчаного или гравийного материала.

Карбонатные породы в разрезах верхней юры распространены преимущественно в узкой полосе вдоль выходов (см. рис. 1, 2). В Кабарде известняками и доломитами представлен не толь-

ко Оксфорд, но также кимеридж и почти весь Титон. На территории Осетии весь разрез верхней юры сложен карбонатными породами. Появление нормально-морской фауны в естественных карбонатных разрезах Кабарды и Осетии позволяет предполагать существование здесь связи с открытым морем в кимеридж-титонское время.

От периферии к центру западной части Терско-Каспийского бассейна в разрезах титонского и кимериджского ярусов резко увеличивается количество каменной соли и ангидритов и уменьшается доля карбонатов, особенно известняков. На фоне этой общей закономерности не исключается возможность появления в погруженных частях бассейна карбонатов, связанных с островами и мелководными участками.

Подсолевые отложения на рассматриваемой территории отличаются большей дислоцированностью по сравнению с надсолевыми, как и в некоторых других районах [Крылов и др., 1977]. Сейсмические материалы по-

казывают, что в зонах некоторых разломов несоответствие может быть значительным. Нижняя толща каменной соли залегает резко несогласно на подстилающих породах, как бы нивелируя нижележащий структурный план. Такое же соотношение, как уже говорилось, имеют красноцветы титона на Минераловодском выступе. Тектонические подвижки, приведшие к несоответствию структурных планов над- и подсолевых отложений, происходили в несколько фаз. Наиболее интенсивные из них приурочены к предтитонскому времени и к первой половине титона.

Ведущая роль тектоники в образовании галогенных формаций признается большинством геологов. Эти формации развиваются в зонах глубокого залегания поверхности фундамента — в периферийных впадинах или в grabenах [Валеев, Кореневский, 1977]. Соленакопление на территории Северного Кавказа также связано с развитием грабенообразных опусканий по глубинным разломам, оконтуривающим Терско-Каспийский прогиб и осложняющим его внутреннюю зону. К таким разломам относятся Нагутский, Нальчикский, Хасаутский (или Срединный, продолжением которого является Терская антиклиналь), зона разломов Сунженского хребта, система разломов, ограничивающая с востока Минераловодский выступ, и др.

Антиклинали Терского и Сунженского хребтов по подсолевым отложениям могут представлять собой грабен-синклинали (возможна такая интерпретация сейсмических материалов), а межхребтовая зона — горст-антиклиналь. Такое соотношение структурных планов предполагалось в Терско-Сунженском районе по юрским и более молодым отложениям [Алексин и др., 1974]. В зоне Нагутского разлома можно предполагать выполнивание по подсолевым отложениям Советского, Курского и других поднятий. Некоторые поднятия, не развивавшиеся в послесюрское время, но отражаются в строении подсолевых отложений западной части Терско-Каспийского прогиба.

В верхнеюрских галогенных формациях Средней Азии, Предкавказья, Мессопотамии установлены зоны промышленного нефтегазоакопления, приуроченные в основном к под- и межсолевым карбонатным отложениям. В Терско-Каспийском прогибе также известны многочисленные нефте- и битумопоявления в отложениях верхней юры и валанжин-берриаса. Получен приток нефти из известняков верхнего титона на Марынинской площади (скв. 5).

В карбонатных породах Терско-Каспийского прогиба установлены различные генетические типы коллекторов. В оксфордских водорослевогубковых известняках имеется как первичная пористость, так и вторичная, обусловленная выщелачиванием и доломитизацией. Распространены в карбонатах верхней юры также трещинно-кавернозные коллекторы, связанные с развитием трещиноватости над подвижными разломами фундамента и последующим раскарстованием известняков. Из таких коллекторов известны притоки пластовых вод. Представляют интерес в качестве коллекторов карбонатные брекчи. К подобным коллекторам верхней юры приурочены месторождения нефти в Средней Азии [Туляганов и др., 1979]. Известны брекчи, характеризующиеся пластообразным залеганием и значительной протяженностью. Они рассматриваются как продукты палеокарстовых процессов [Седлецкий, Шведов, 1974]. В естественных разрезах рек Черек и Чегем наблюдаются линзовидные брекчи, связанные с биогермными постройками.

Регионально перспективны на нефть и газ известники оксфорда и верхнего титона, а также карбонатные тела, имеющие локальное развитие. Несмотря на высокую перспективность, верхнеюрские отложения в зоне распространения каменной соли и ангидритов изучены очень слабо. Причиной задержки разведки верхнеюрских отложений в западной части Терско-Каспийского прогиба является наличие в соленосной толще высо-

копорных рассолов с коэффициентом аномалийности 2,5 [Косарев, Марков, 1979]. По материалам хорошо изученных соленосных верхнеюрских бассейнов известно, что аномально-высокие пластовые давления могут не иметь сплошного распространения. Зоны разгрузки располагаются над активными разломами, а также в местах выклинивания соленосных толщ [Козлов, 1978] и в биогермах [Туляганов и др., 1979]. Имеющиеся данные по рассматриваемому региону в некоторой степени подтверждают эти выводы.

Тесная связь галогенных формаций с зонами разломов и рифтовыми структурами указывает на большое значение тектонического контроля для поисков месторождений различных ископаемых, ассоциирующих с этими формациями. К разломам приурочены нефтеносные структуры различных типов: сводовые, тектонически экранированные, стратиграфические, ограниченные зонами затухания эпигенетических коллекторов, биогермные и т. д. С разломами связана большая часть эпигенетических карбонатных коллекторов, а на рассматриваемой территории продуктивные коллекторы в основном представлены карбонатами. К надразломным зонам трещиноватости приурочены и основные пути миграции углеводородов. В нефтеносном отношении перспективны различные виды структур западной части Терско-Каспийского прогиба, приуроченные к Нагутскому, Нальчикскому, Хасаутскому (Срединному) разломам, к системе разломов, ограничивающим с востока Минераловодский выступ, и к другим разломам. В этом районе одновременно с бурением необходимо провести сейсмо-, электро- и магниторазведочные работы, что позволит более целенаправленно вести поиски.

ЛИТЕРАТУРА

- Алексин А. Г., Юдин Г. Т., Данков Б. С. О перспективах нефтегазоносности юрских отложений передовых хребтов ЧИ АССР. — В кн.: Проблемы геологии нефти и газа. М.: Недра, 1974, с. 119—127.
- Валеев Р. И., Кореневский С. М. Тектоническая приуроченность соленосных бассейнов (на примере Русской платформы). — В кн.: Проблемы соленакопления. Т. 1. Новосибирск: Наука, 1977, с. 93—98.
- Геология СССР. Т. IX. М.: Недра, 1968. 759 с.
- Друшник В. В. Нижнемеловые отложения центральной и западной частей Северного Кавказа. — В кн.: Атлас нижнемел. фауны Сев. Кавказа и Крыма. М.: Гостоптехиздат, 1960, с. 12—35.
- Козлов А. Л. Особенности солеродных бассейнов, вызывающие локальные выклинивания эвапоритов и определяющие размещение нефтяных и газовых залежей. — Сов. геология, 1978, № 8, с. 15—22.
- Косарев В. С., Марков А. И. Перспективы поисков псевдоклинальных залежей нефти и газа в зоне восточного обрамления Северо-Кавказского краевого массива. — Геология нефти и газа, 1979, № 3, с. 53—59.
- Крылов И. А., Глумаков П. В., Рубо В. В. Типы соотношения структурных планов в связи с поисками залежей газа и нефти в подсолевых отложениях Амударийской синеклизы. — В кн.: Проблемы геологии нефти. М.: Недра, 1977, с. 47—59.
- Логинова Г. А. Стратиграфия верхнеюрских отложений центральной части Северного Кавказа. — Вестник МГУ. Серия геол., 1970, № 5, с. 66—76.
- Логинова Г. А. Региональная стратиграфическая схема верхнеюрских отложений Северного Кавказа. — Вестник МГУ. Серия геол., 1974, № 1, с. 70—78.
- Мацкевич М. М. О верхнеюрских отложениях Восточного Предкавказья. — В кн.: Геология и нефтегазоносность Восточного и Центрального Предкавказья. М.: Недра, 1965, с. 37—55.
- Объяснительная записка к стратиграфической схеме юрских отложений Северного Кавказа. М.: Недра, 1973. 184 с.
- Сахаров А. С. К стратиграфии келловейских и оксфордских отложений Горной Ингушетии. — В кн.: Геология и нефтегазоносность Восточного и Центрального Предкавказья. М.: Недра, 1965, с. 76—89.
- Сахаров А. С. Палеонтологическое обоснование возраста титонских отложений Северо-Восточного Кавказа. — В кн.: Геология и нефтегазоносность Восточного Предкавказья. Грозный: Чечено-Ингушское изд-во, 1973, с. 14—22.

Седлецкий В. И., Шведов В. И. О происхождении брекчированных пород в верхне-юрских отложениях на Северном Кавказе. — В кн.: Тезисы докладов IV конференции по геологии и полезным ископаемым Северного Кавказа, 1974, с. 32—34.

Туляганов Х. Т., Ильин В. Д., Ибрагимов А. Г., Каеш Ю. В., Рахимов А. К., Убайдуллаев Т. И. Верхнеюрские рифы — основной нефтегазоносный комплекс Узбекистана. — Сов. геология, 1979, № 5, с. 17—34.

A. С. Сахаров, Е. Ф. Лозгачева

ЮРСКИЕ СОЛЕНОСНЫЕ ОТЛОЖЕНИЯ СЕВЕРО-ВОСТОЧНОГО КАВКАЗА

Глубокое разведочное бурение, осуществленное в последнее десятилетие, существенно уточнило представление о геологическом строении территории Северо-Восточного Кавказа. Кери, поднятый из глубоко погруженных верхнеюрских отложений в районах Юго-Восточного Ставрополья, Кабардино-Балкарии и Чечено-Ингушетии, показал, что там широко развиты эвапоритовые отложения.

Для ясного представления о положении в разрезе и возрасте соленосных комплексов пород в статье проводится краткая характеристика оксфордских, кимериджских и титонских отложений верхней юры вместе с берриасскими. В полосе обнажений Скалистого хребта и Варандийской антиклинали все эти отложения представлены полными разрезами и охарактеризованы аммонитами. Хорошая обнаженность, четко выделяемые литокоррелятивы, обоснованные фаунистически как в естественных разрезах, так и в разрезах скважин, позволяют удовлетворительно соотнести выделенные стратиграфические подразделения по всей территории.

В практике геологической службы объединения «Грознефть» применяется вспомогательная стратиграфическая шкала, основу которой составляют подсолевая, солевая и надсолевая толщи. Первая включает в себя отложения келловейского и оксфордского ярусов; вторая — кимериджского яруса, нижне- и среднетитонского подъярусов; третья — верхнетитонского подъяруса.

Одновременно со вспомогательной шкалой геологическими организациями Северного Кавказа широко применяются подразделения местной и общей стратиграфических шкал. Их взаимоотношения показаны в таблице. В статье подробно характеризуются соленосная толща юры (кимеридж, нижний и средний титон), подстилающие (оксфорд) и перекрывающие (верхний титон) отложения.

Оксфордский ярус полностью вскрыт разведочными скважинами на юго-востоке Ставрополья (Марынский, Советский и другие разведочные районы), в Кабардино-Балкарии (Куркужип-Заюковский, Баксацкий, Чегемский, Цернгельский, Аргуданский разведочные районы) и отдельными скважинами на юге и юго-востоке Чечено-Ингушетии (скв. 28 Аргун, 37, 40, 41 Элистанжи, 47 Беной, 13, 14 Первомайские).

На западе мощность оксфордских отложений изменяется от 50 до 540 м. Представлены они песчанистыми доломитами и известняками. На крайнем востоке Чечено-Ингушетии преобладают песчанистые доломиты; в верхней части разреза они становятся более толстослоистыми и ожелезненными. Иной фациальный облик имеют оксфордские отложения на юге Кабардино-Балкарии и в Северной Осетии. На большей части этой территории развиты коралловые сильно перекристаллизованные доломиты, битуминозные известняки и спикуловые губково-водорослевые окремневые известняки. В междуречье Ардон — Терек распространены сильно-битуминозные черные известняки мощностью до 600 м. В подошве и кров-

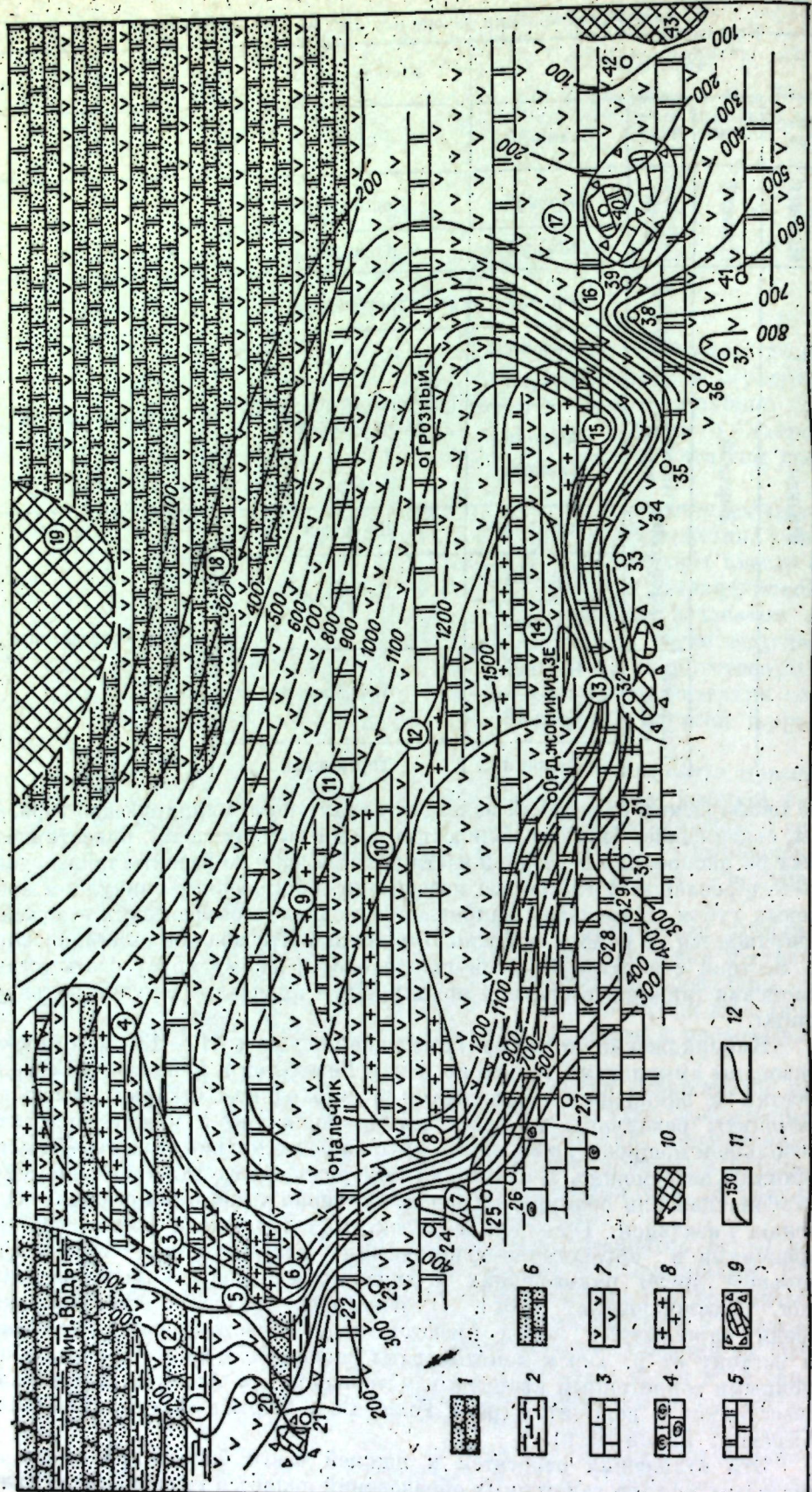
Схема соотношения различных стратиграфических шкал

Общая шкала				Местная шкала	Вспомогательная шкала
Система	Отдел	Ярус	Подъярус		
Меловая	Нижний	Берриас-ский	Верхний	Еришинская	«Надсолевая» юра
			Нижний	Амкинская	
Юрская	Верхний	Берриас-кий	Верхний	Матламская	«Солевая» юра
			Средний		
			Нижний		
		Кимериджский	Верхний	Балтийская гаудалбос-ская, мезмайская	
			Средний	Ироанская	
			Нижний	Кионская	
	Келлогей-ский	Оксфордский	Верхний	Архинская	«Подсолевая» юра
			Средний		
			Нижний	Таргимская	

ле оксфордских отложений залегают характерные маркирующие горизонты, содержащие большое количество кремневых стяжений, ориентированных по наслоению. В нижней части разреза широко развиты также губково-водорослевые и глинистые известняки, обогащенные спикулами кремневых губок. В северном направлении мощность оксфордских отложений сокращается. В районе скважин Бурунчая и Дружба они выклиниваются. В местной стратиграфической шкале оксфордскому ярусу соответствует кионская (нижний и средний подъярусы) и ироанская (верхний подъярус) свиты.

Кимериджские отложения, имеющие мощность 110—130 м, охарактеризованы аммонитами только по рекам Гизельдон и Геналдон в Северной Осетии и одиночными аммонитами в Кабардино-Балкарии. Поскольку аммониты различных зон встречаются совместно в пласте известняка небольшой мощности, расчленить ярус на более мелкие стратиграфические единицы невозможно. В основании кимериджа везде залегает терригенно-карбонатная или обломочная пачка. Особенно четко она представлена по рекам Гизельдон, Геналдон и Терек. Пачка сложена конгломератами, брекчиями и органогенно-обломочными известняками, содержащими большое число руководящих и характерных видов аммонитов [Сахаров, Химшиашвили, 1967]. В некоторых разрезах (р. Гизельдон) среди карбонатных пород имеются пласти светло-серых песчаников. К востоку от р. Терек конгломераты замещаются известняками, обогащенными терригенным кварцевым материалом (р. Асса), или брекчиями известняков и доломитов (реки Гехи, Бол. Мартан, Аргун, Элистанжи, Харачой, Беной-Ясси).

Эти отложения относятся к нижней части балтийской свиты. Ее аналогом в фации галогенических образований является гаудалбосская свита,



мощность которой весьма значительна (до 1341—1418 м в Датыхском и Первомайском районах). (рис. 1).

Нижняя часть балтийской свиты в междуречье Урех — Терек сложена массивными рифовыми доломитами мощностью более 700 м. На востоке, севере и западе доломиты замещаются сначала органогенно-обломочными известняками, а затем брекчиями известняков и доломитов, переходящих в гипсы, ангидриты и каменную соль гандалбосской свиты. Эта часть разреза в Горной Ингушетии имеет нижнетитонский возраст, который обосновывается комплексом аммонитов: *Glochiceras nimbatum* Opp., *Taramelliceras disceptandum* Font., T. cf. *prolithographicum* Opp.; *Neochetoceras praecursor* Zeiss., *Lithaceras ulmense* Opp., *L. aff. siliceus* Opp., *Pectinatites (Virgatosphinctoides) wheatleyensis* Neav., *Useliceras (Subplanitoides) tagmerscheimense* Zeiss., U. (S.) aff. *altegryratum* Zeiss., *Franconites (Parakeratinites) cf. astrictus* Zeiss., *Sublithaceras (Lemencia) pravus* Schn., *Hybonoticeras* sp., *Aspidoceras* sp., а также *Lithaceras albulus* Quenst., *L. siliceus* Opp., *L. paraboliferus* Berck., обнаруженных по р. Геналдон в органогенно-обломочных известняках. Низы верхней половины балтийской свиты сложены массивными доломитами, наибольшая мощность которых (360 м) отмечена по рекам Гизельдон и Терек. Верхнюю часть свиты слагают органогенно-обломочные, оолитовые, водорослевые известняки. Эти породы наиболее широко развиты на междуречье Ардон — Терек. Их мощность достигает 315—320 м.

На большей части Чечено-Ингушетии, Дагестана, северных районов Северной Осетии и Кабардино-Балкарии распространены отложения гандалбосской свиты, которая охватывает все эвапоритовые образования, сформировавшиеся в галогенных бассейнах Северного Кавказа.

Гандалбосская свита изучена главным образом по материалам бурения. Ее стратотип расположен в Датыхском районе (скв. 12). В свите широко развиты галогенные образования весьма большой мощности. Значительную по объему часть гандалбосской свиты слагают голубовато-серые доломиты. В районе Передовых хребтов установлено, что в кровле гандалбосской свиты располагается пачка ритмично чередующихся пластов известняка и ангидрита. В стратотипической скважине ее мощность 150 м. Литологический состав и мощность свиты не выдерживаются по площади. Наибольшие мощности зафиксированы в Датыхском и Первомайском районах. Полностью гандалбосская свита пройдена разведочными скважинами в Кабардино-Балкарии (Чегемский, Баксанский, Церкгельский и Аргуданский районы) и в Чечено-Ингушетии (Первомайский, Датыхский, Аргунский, Бенойский и Варандийский районы). Отмечаются резкие изменения мощности свиты, что связано с появлением в разрезе пластов и пачек каменной соли. Мощность балтийской и гандалбосской свит по линии р. Асса, Первомайский, Датыхский, Карабулак-Ачалукский разведочные районы и скв. 1. Бурунная сначала резко возрастает, а затем сокращается (рис. 2, см. вкладку). По р. Ассе мощность свиты не превышает 450 м, а уже в скв. 14 Первомайского района на расстоянии не более

Рис. 1. Схема изменения литологического состава и мощностей «солевой» юры Северо-Восточного Кавказа.

1 — песчаники; 2 — известковые глины; 3 — известники; 4 — оолитовые известняки; 5 — доломиты; 6 — песчанистые доломиты; 7 — гипсы и ангидриты; 8 — галиты; 9 — брекции известняков и доломитов; 10 — область отсутствия отложений; 11 — изопахиты; 12 — граница литофаций. 1—19 — разведочные районы (1 — Малкинский, 2 — Зольский, 3 — Марьинский, 4 — Советский, 5 — Баксанский, 6 — Куркукин-Заюконский, Гунделеский, 7 — Церкгельский, 8 — Аргуданский, 9 — Харбикинский, 10 — Заманкульский, 11 — Малгобекский, 12 — Карабулак-Ачалукский, 13 — Первомайский, 14 — Датыхский, 15 — Аргунский, 16 — Элистанкинский, 17 — Аргунский, 18 — Бурунчий, 19 — Дружба); 20—43 — естественные разрезы (20 — р. Малка, Бенойский, 21 — р. Гунделен, 22 — р. Баксан, 23 — р. Чегем, 24 — р. Черек Хуламский, 25 — р. Черен Балкарский, 26 — р. Псыгансу, 27 — р. Урех, 28 — р. Ардон, 29 — р. Фиагдон, 30 — р. Гизельдон, 31 — р. Терек, 32 — р. Асса, 33 — р. Гехи, 34 — р. Бол. Мартан, 35 — р. Чанты-Аргун, 36 — р. Инаххи, 37 — р. Кеихи, 38 — р. Элистанки, 39 — р. Харачой, 40 — р. Беной-Ясси, 41 — р. Айдийское Койсу, 42 — хр. Салатай, 43 — хр. Гимрийский).

10 км достигает 1400 м. Далее к северо-востоку мощность гаудалбосской свиты составляет 1300—1200 м, в Датыхском районе (скв. 12) — 1341, а еще восточнее (по р. Чанты-Аргун в скв. 28) — 1260 м. Во всех этих районах значительная часть разреза сложена галогенными породами. Проследить по площади отдельные соляные и ангидритовые пачки крайне затруднительно из-за того, что они представляют собой линзы, выклинивающиеся на небольшом расстоянии.

Каменная соль обнаружена в скв. 47 Заманкул, 167, 168 Карабулак-Ачалуки, в Малгобек-Вознесенском районе (скв. 876). Можно предположить, что и на севере Передовых хребтов в разрезе гаудалбосской свиты также будет развита каменная соль. В разрезах скважин 40 Элистанжи и 12 Датых среди ангидритов отмечаются прослои каменной соли и ангидрит-галитовой породы. Каменная соль бесцветная, редко розоватая крупнозернистая (размер зерен 0,56—2,84 мм), перекристаллизованная, трещиноватая, со следами первичной зонально-кристаллической структуры в отдельных кристаллах (скв. 40 Элистанжи). Эта структура подчеркивается ориентированием расположенных микровключениями маточной рапы с пузырьками газа размером 0,0026 мм и редко до 0,004 мм. В основной массе каменной соли присутствует галоцелитовое вещество, располагающееся по граням кристаллов.

В скв. 12 Датых (интервал 3814—3815 м) в доломите отмечалась сера, которая составляла более 9%. В интервале 4001—4002 м вскрыты ангидриты пелитовидной, участками микрозернистой структуры, волнисто-слоистые, алевритисто-песчанистые, слабоглинистые, доломиты содержащие с тонкими прослойками полигалита агрегатного сложения. Довольно часто ангидриты имеют игольчатую структуру, обусловленную постседиментационной перекристаллизацией.

На остальной территории Чечено-Ингушетии и в Дагестане гаудалбосская свита внизу представлена брекчиями, вверху — гипсами и ангидритами. Строение свиты простое и выдерживается на указанной территории, а ее мощность сокращается в восточном направлении. Свита выклинивается в среднем течении р. Аварское Койсу. Особенно большая мощность гаудалбосской свиты фиксируется по р. Шаро-Аргун и ее притокам (1120 м). Несколько восточнее (р. Элистанжи) мощность сокращается до 700 м, а в сопредельных районах Дагестана, на хр. Салатау, не превышает 120 м [Леонов, Живаго, 1961]. Свита выклинивается здесь в районе Гимрийского хребта. В районе Варандийской антиклинали гаудалбосская свита мощностью 220—320 м в ряде пунктов представлена толщей брекчий известняков и доломитов. Вполне вероятно, что гипсово-ангидритовая часть свиты в этом районе размыта.

Отложения гаудалбосской свиты с прослойками каменной соли вскрыты и на территории Северной Осетии скважинами 1 и 3 в Аргуданском районе, где мощность ее превышает 1100 м. Разрезы гаудалбосской свиты, изученные по р. Чегем, в районе Церикгель и по материалам скв. 1 Нальчик, представлены ангидритами, переслаивающимися с пачками и пластами известняков и доломитов. Мощность свиты здесь 210 м по р. Чегем и 350 м в районе Церикгель.

На северо-западе рассматриваемого региона, в области Предкавказской платформы, аналоги гаудалбосской свиты представлены пестроцветными и эвапоритовыми породами мезмайской свиты, которая впервые выделена на Северо-Западном Кавказе Ю. И. Малбиевым [Объяснительная записка..., 1973]. Ее синоним — мехтыгенская свита [Логинова, 1974]. В мезмайской свите широко развиты пестроцветные песчаники, алевролиты и глины с пластами и пачками гипсов, ангидритов и каменной соли. Она, как и гаудалбосская свита, представляет собой типичное регressiveное образование. Свита изучена в естественных разрезах по рекам Баксан и Кубань и в многочисленных разведочных скважинах Гунделенского,

Куркужин-Заюковского, Зольского, Марьинского, Лысогорского и других районов. Следует отметить, что в юго-восточных разрезах мезмайская свита имеет много общих черт с гаудалбосской, что затрудняет проведение границы между этими свитами.

Соленосная толща на юге Кабардино-Балкарии подстилается толщей битуминозных известняков и доломитов (80—120 м). Породы темно-бурого цвета тонкослоистые, содержащие обуглившиеся остатки древесины. Часто в результате сильного выветривания известняки и доломиты приобретают тонкую листоватость. Обрывки обуглившихся растений располагаются по наслению пород, встречаются кадозины и багряные водоросли. Изредка попадаются остатки рыб и рыбьей чешуи. Породы местами содержат фосфаты. По рекам Тызыл и Псыгансу в битуминозных известняках, обогащенных органическим материалом, располагаются брекчевидные известняки или известняки с обломками карбоцатных пород. Нередко отмечаются оолитовые известняки. В битуминозных известняках обнаружены нижнекимериджские аммониты [Кузнецов, 1928]. Несмотря на редкость находок руководящей фауны, можно все же достаточно уверенно отнести битуминозные известняки к кимериджскому ярусу. Таким образом, битуминозные известняки Кабардино-Балкарии соответствуют толще конгломератов и брекчий, располагающихся в основании гаудалбосской свиты по рекам Гизельдон и Терек и охарактеризованных также кимериджскими аммонитами.

На юге Кабардино-Балкарии мезмайская свита представлена толщей брекчий известняков и доломитов в нижней части и гипсами и ангидритами, переслаивающимися с пластами доломитов темно-бурого цвета, — в верхней. Породы часто темно-розовые или бурые с красноватым оттенком. Севернее полосы естественных выходов отложения мезмайской свиты вскрыты полностью разведочными скважинами (Куркужин-Заюковский, Гунделенский, Баксанский районы). Мощность свиты здесь достигает 650 м, такая же мощность отмечена на Марьинской площади, к северу от которой она сокращается до 420 м (скв. 5 Лысогорская) (рис. 3), причем нижние слои свиты представлены корой выветривания.

На западе региона (реки Малка, Кубань, Зеленчук) мощность отложений мезмайской свиты уменьшается до 100—80 м, особенно по р. Кубань, где преимущественно развиты пестроцветные глины и алевролиты с прослойками зеленоватых и красноцветных гипсов. В скв. 7 Зольской в средней части свиты, представленной переслаивающимися доломитами, гипсами и ангидритами, развиты песчаники.

Отложения мезмайской свиты перекрываются без видимого несогласия карбоцатными породами матламской свиты. На всей территории Северо-Восточного Кавказа, за исключением северо-западного и западного его районов, они представляют собой типичные трангрессивные образования. На юго-востоке Ставропольского края и севере Кабардино-Балкарии в матламской свите среди различных типов известняков и доломитов вскрыты пласти и пачки гипсов и ангидритов (скв. 1 Баксан, 34, 26 Куркужин-Заюково, 1 Гунделен, 2 Зольская и др.). Однако относить эти отложения к аналогам балтийской свиты неверно, так как путем сравнительно-стратиграфического анализа удается установить такой же их возраст, что и толщи глинистых известняков по р. Баксан, охарактеризованных верхнетитонскими аммонитами. Развитые по р. Баксан глинистые известняки вскрыты на одном и том же стратиграфическом уровне разведочными скважинами Кабардино-Балкарии и Юго-Восточного Ставрополья (см. рис. 3).

Нижняя граница надсоленосной толщи в Кабардино-Балкарии и юго-востоке Ставрополья нами проводится по подошве пачки глинистых известняков и коррелируется с подошвой толщи глинистых известняков со стяжениями черного кремния, развитой по р. Баксан. Следует отметить,

р.Баксан

14 Баксан

1 Баксан
(глубокая)

34 Куркужин-
Залоково

1 Гунделен.

26 Куркужин-
Залоково

2 Зольская

4 Марьинская

5 Лысогорская

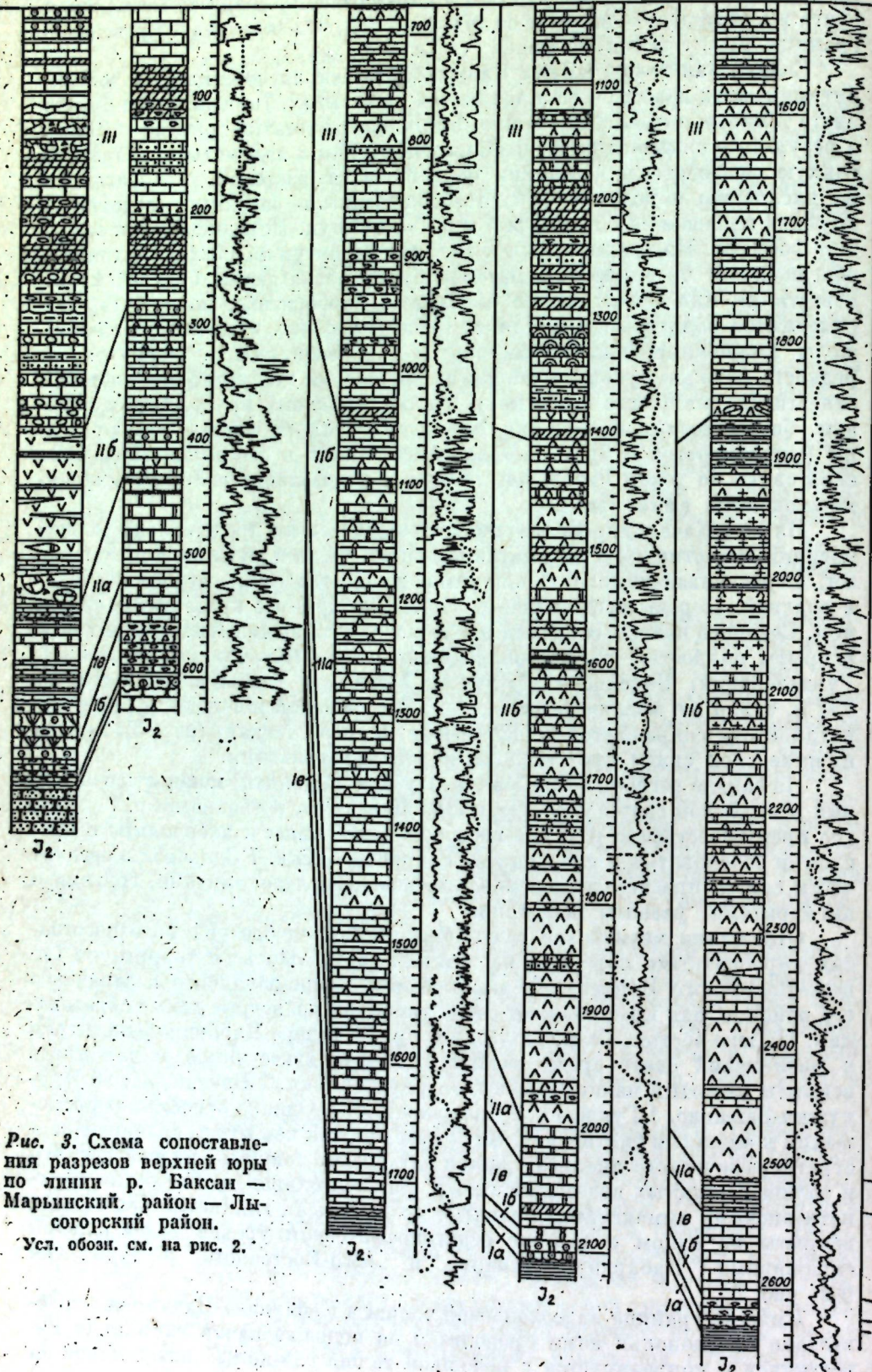


Рис. 3. Схема сопоставления разрезов верхней юры по линии р. Баксан — Марьинский район — Лысогорский район.

Усл. обозн. см. на рис. 2.

что во всех изученных естественных разрезах встречены титонские фаунистические остатки, представленные разнообразными двустворчатыми моллюсками и брахиоподами. В западном направлении мощность толщи глинистых известняков сокращается от 240 м (р. Баксан) до 20 м (р. Кубань) и исчезает на разрезе западнее р. Мал. Зеленчук в результате размыва.

Низы надсоленосной толщи на всей территории Чечено-Ингушетии представлены в нижней половине доломитами и известняками светло-серого цвета, а в верхней — светло-серыми, коричневатыми органогенно-обломочными известняками с включениями оолитов, чередующимися с криптозернистыми известняками. Такие породы фиксируются в естественных обнажениях Северной Осетии и Чечено-Ингушетии в разрезах скважин Датыхского, Первомайского, Бенойского районов и на Передовых хребтах. Устанавливаются они и на крайнем севере Чечено-Ингушетии (скв. 1 Бурунай).

Нижняя половина матламской свиты на всем протяжении от р. Баксан на западе до р. Чанты-Аргун на востоке характеризуется наличием многочисленных колоний *Serpula coacervata* Blum., рельефно выступающих на выветрелой поверхности известняков. Эти ископаемые организмы часто встречаются как в верхнетитонских породах, так и в перекрывающих их берриасских, но выше их нет, поэтому они с успехом могут быть использованы для корреляции.

Хорошим маркирующим горизонтом верхнего титона является устричник — пласт, сложенный обломками устриц и других различных двустворчатых, а также брахиопод. Он прослеживается по всей территории Северо-Восточного Кавказа и располагается в подошве верхнего титона [Логинова, 1974], залегая несогласно на подстилающих отложениях. В местной стратиграфической шкале верхнему титону соответствует матламская свита [Объяснительная записка..., 1973]. Мощность отложений верхнего титона достигает по р. Терек 400 м. В восточном направлении от р. Шаро-Аргун они выклиниваются [Сахаров, 1970].

Берриасские отложения на территории от р. Кубань до р. Ардон и севернее ложатся на верхнеюрские несогласно с выпадением из разреза нескольких зон. На большей части Чечено-Ингушетии видимое несогласие между верхнеюрскими и нижнемеловыми отложениями не наблюдается.

Правильное понимание характера взаимоотношений отложений верхнего титона и берриаса играет важную роль при корреляции пограничных слоев юры и мела, особенно на северо-западе региона, в Юго-Восточном Ставрополье. В разрезе по р. Баксан полностью отсутствуют отложения двух зон нижнего берриаса. Без видимого несогласия на верхнетитонских отложениях залегают верхнеберриасские глинистые известняки, охарактеризованные аммонитами родов *Euthymiceras* и *Riasanites*. В восточном направлении постепенно в разрезе появляются более древние берриасские отложения с аммонитами родов *Tirnovella*, *Pseudosubplanites*, *Fauriella*, *Berrisella* и др., характерными для нижнего берриаса. Поэтому в качестве эталонного должен быть взят полный разрез по р. Ассе, который прекрасно охарактеризован фаунистически.

ЛИТЕРАТУРА

- Кузнецов И. Г. Месторождения битуминозных известняков в Балкарии (Северный Кавказ).— Изв. Геол. ком., 1928, т. 47, № 8, с. 898—934.
 Леонов Г. П., Живаго И. В. О некоторых вопросах стратиграфии верхнеюрских отложений Дагестана.— В кн.: Вопросы стратиграфии и региональной геологии. М., 1961, с. 26—57. (Ученые записки МГУ, вып. 192).
 Логинова Г. А. Регионально-стратиграфическая схема верхнеюрских отложений

Северного Кавказа.— Вестник Московского университета. Геология, 1974, № 1, с. 70—79.

Объяснительная записка к стратиграфической схеме юрских отложений Северного Кавказа. М.: Недра, 1973. 194 с.
 Сахаров А. С. Новые данные о титонских отложениях Северо-Восточного Кавказа.— Докл. АН СССР, 1970, т. 195, № 2, с. 431—433.
 Сахаров А. С., Химиашвили И. Г. Новые данные о кимериджских отложениях Северо-Восточного Кавказа.— Докл. АН СССР, 1967, т. 174, № 6, с. 1406—1408.

Ш. Д. Зангиев

ГАЛОГЕННЫЕ ОТЛОЖЕНИЯ ПОЗДНЕЙ ЮРЫ ДАГЕСТАНА

Позднеюрские галогенные отложения широко распространены как в горных (Известняковый Дагестан, бассейн рек Аварское и Андийское Койсу), так в предгорных и равнинных районах Дагестана (на территории Терско-Сулакского прогиба и Прикумской зоны) (рис. 1—4). Имеющийся геологический материал, накопленный в результате геологосъемочных и поисково-разведочных работ, позволяет достаточно полно охарактеризовать особенности распространения, состав и строение кимеридж-титонской галогенной толщи [Алиев, Магомедов, 1972; Деревягин, Седлецкий, 1977; Леонов, Живаго, 1961; Назаревич и др., 1980; Сахаров, 1973].

В пределах Известнякового Дагестана позднеюрские галогенные отложения обнажаются по рекам Аварское и Андийское Койсу. В целом они представлены многократно чередующимися гипсами, ангидритами, доломитами, известняками, известняко-доломитовыми и сульфатно-карбонатными брекчиями. Одним из наиболее характерных является Артухский разрез на Салатауском хребте.

Мощность, м

1. Ангидрит белый	12
2. Доломит светло-серый, зернистый	7
3. Ангидрит белый с сероватым оттенком	3
4. Доломит светло-серый известковистый	4
5. Ангидрит белый с тремя прослоями доломитов мощностью 0,5 м каждый, залегающих на равном расстоянии друг от друга	23
6. Доломит серый, мелкозернистый	6
7. Ангидриты белые, равномерно переслаивающиеся с доломитами мощностью до 0,4 м	20
8. Известняк светло-серый, мелкозернистый	7
9. Ангидрит белый, сахаровидный, с двумя прослоями доломита мощностью 1,5 и 4 м	48
10. Доломит серый, мелкозернистый, в верхней части известковистый	5
11. Ангидрит светло-серый с тремя прослоями доломита мощностью 2 м каждый	12
12. Доломит светло-серый, мелкозернистый, известковистый	20
13. Ангидрит светло-серый, сахаровидный	60

Суммарная мощность составляет 227,5 м.

Гипсы и ангидриты белые, голубовато-серые, розовые, полосчатые, пятнистые, слоистые или массивные, сахаровидные с незначительной примесью доломита (4,57—2,74%), обычно битуминозные. В обнажениях пластины гипса, как правило, сильно перемяты.

Доломиты мелко- и крупнокристаллические битуминозные, иногда глинистые. Известняки органогенно-обломочные пелитоморфные, зернистые, реже оолитовые, часто в той или иной степени доломитизированные. Карбонатные породы слагают либо прослойки (0,5—5,0 см), либо сравнительно мощные пачки (до 2—10 м) и чередуются с гипсами и (или) ангидритами.

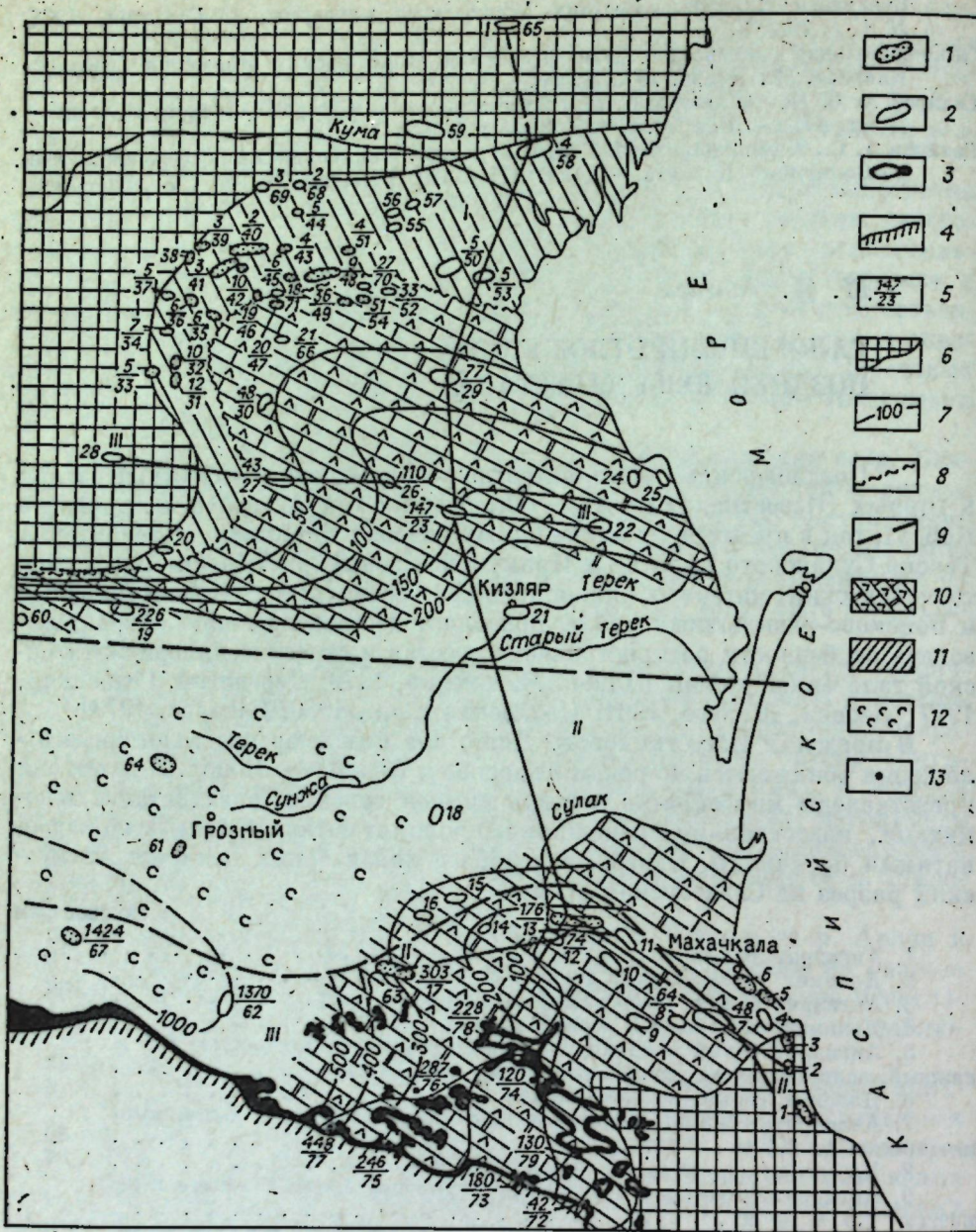


Рис. 1. Схематическая карта изменения мощности и расположение лиофаций галогенной толщи Дагестана (составил Ш. Д. Зангиев).

Месторождения и площади: 1 — Ачи-Су, 2 — Айри-Тюбинская, 3 — Дмитровская, 4 — Иргисская, 5 — Тараки, 6 — Махачкала, 7 — Талги, 8 — Заузапбаш, 9 — Чубар-Арка, 10 — Кизил-Булак, 11 — Истисинская, 12 — Миатлы, 13 — Шамхал-Булак, 14 — Дильмская, 15 — Арибадская, 16 — Гилинская, 17 — Бенои, 18 — Аксай, 19 — Буруннай, 20 — Дружба, 21 — Кизлярская, 22 — Александрийская, 23 — Тарумовская, 24 — Тушиловская, 25 — Брическая, 26 — Комсомольская, 27 — Тереклинская, 28 — Орта-Тюбинская, 29 — Коубеевская, 30 — Солинская, 31 — Тюбинская, 32 — Капиевская, 33 — Границная, 34 — Западный Бикингай, 35 — Майская, 36 — Эмировская, 37 — Леваневская, 38 — Катричай, 39 — Русский Хутор, 40 — Сухокумская, 41 — Южно-Сухокумская, 42 — Мартовская, 43 — Восточно-Сухокумская, 44 — Южно-Буйнакская, 45 — Дахадаевская, 46 — Переярестная, 47 — Равнинная, 48 — Солончаковая, 49 — Юбилейная, 50 — Южно-Таловская, 51 — Степная, 52 — Кумухская, 53 — Северо-Коубеевская, 54 — Чушетская, 55 — Ветковская, 56 — Песчаная, 57 — Восточно-Песчаная, 58 — Восточно-Артезианская, 59 — Калининская, 60 — Галюгаевская, 61 — Датых, 62 — Аргун, 63 — Элизстанин, 64 — Ханикорп, 65 — Профильная, 66 — Северо-Солинская, 67 — Грозненская, 68 — Буйнакская, 69 — Солнечная, 70 — Таловская, 71 — Ногайская, 72 — Салтинский Мост, 73 — Голотль, 74 — Унцукуль, 75 — Карага, 76 — Тлох, 77 — Агвали, 78 — Артлух, 79 — Могохский Мост.

Сведения о галогенной толще, распространенной на территории Дагестана, и

Площадь; номер скважины	Нижний мел		Верхняя юра			
	Нижний берриас (XIII ₁ пл)		Титон		Oxford (XIII ₂ пл)	
	Глубина	Мощность	Глубина	Мощность	Глубина	Мощность
Равнинный Дагестан						
Тарумовская, 1	4852	23	4875	147	5023	37
Кочубеевская, 1	4100	43	4143	71	4214	54
Комсомольская, 1	4556	34	4590	110	4700	38
Тереклинская, 1	4492	32	4524	43	4575	45
Орта-Тюбинская, 1	—	—	—	—	—	—
Солинская, 1	4078	22	4100	48	4148	30
Северо-Солинская, 1	3816	10	3826	21	3847	33
Тюбинская, 2	3802	4	3806	12	3816	23
Границная, 2	—	—	3680	5	3685	4
Капиевская, 1	—	—	3757	10	3767	27
Грозненская, 1	—	—	—	—	3025	33
Эмировская, 1	3412	13	3425	6	3431	35
Леваневская, 1	3364	9	3373	5	3378	12
Майская, 1	3650	5	3655	6	3660	27
Перекрестьная, 1	3595	11	3607	19	3626	25
Равнинная, 13	3617	13	3630	20	3650	30
Южно-Сухокумская, 15	3407	10	3410	3	3420	29
Мартовская, 1	3406	4	3410	10	3420	33
Русский Хутор, 13	3273	4	3277	3	3280	24
Сухокумская, 4	3352	5	3357	2	3359	15
Восточно-Сухокумская, 6	3457	13	3470	4	3474	29
Дахадаевская, 9	3542	7	3549	6	3555	31
Солончаковая, 31	3519	9	3528	9	3537	33
Степная, 1	3466	12	3478	4	3482	33
Юбилейная, 1	3632	5	3637	36	3673	35
Ногайская, 1	3599	7	3607	18	3625	31
Таловская, 1	3584	13	3597	27	3624	31
Южно-Таловская, 1	3640	4	3644	29	3673	31
Кумухская, 1	3628	6	3634	33	3667	33
Северно-Кочубеевская, 1	3587	38	3625	5	3630	50
Северно-Кочубеевская, 2	3429	15	3444	5	3449	51
Песчаная	—	—	3238	5	3243	40
Восточно-Песчаная, 1	—	—	3177	5	3182	38
Буйнакская, 1	3185	2	3187	2	3189	14
Южно-Буйнакская, 1	—	—	3288	5	3293	25
Солнечная, 1	—	—	3204	3	3207	5
Западно-Бохиганская, 1	3562	9	3571	7	3578	36
Душетская, 1	3494	18	3512	18	3530	34

Предгорный Дагестан

Талги, 2	588	48	636	43
Заузапбаш, 2	1965	67	2072	91
Миатлы, 1	1387	74	1461	108
Шамхал-Булак, 25	3554	176	3730	108

Разрезы Известнякового Дагестана

Артлух	228
Араканы	37
Голотль	180
Караты	245
Агвали-Ботлих	450
Тлох	287
Унцукуль	120
Могохский Мост	130

Карбонатные брекчии сложены остроугольными обломками и неокатанными глыбами известняков и доломитов, сцементированными песчаногравелитовым и известковым материалом. В сульфатно-карбонатных брекчиях паряду с обломками доломитов и известняков наблюдаются глыбы и включения гипсов и ангидритов. Нередко карбонатные брекчии по простиранию замещаются сульфатно-карбонатными, а затем и неизмененным разрезом, представленным чередующимися пластами доломитов, известняков и гипсов. Мощность пачек и крупных лиц карбонатных и сульфатно-карбонатных брекчий достигает 100–150 м.

Особенности строения и состава известниково-доломитовых брекчий свидетельствуют о том, что основная причина их образования — выщелачивание сульфатных пород в близповерхностных условиях, продолжающееся по настоящее время. Вместе с тем устанавливается, что количество гипсов в разрезе киммеридж-титонахских отложений уменьшается при прослеживании на север и юго-восток от долины р. Аварское Койсу, где осадочная толща представлена преимущественно известняками и доломитами.

Наибольшей мощности (450 м) галогенные отложения достигают в верховьях р. Апдийское Койсу у с. Агвали. Отсюда на восток и юго-восток мощность сокращается до 34–42 м. По данным М. К. Казанбиеva (1970б), мощности титонских отложений у селения Карага равняется 245 м, Тлох — 287, Артлух — 228, Голотль — 180, Ущукуль — 120, Могохский Мост — 130, Солгинский Мост — 42 м (см. таблицу). Еще далее на восток и юго-восток в разрезах у сел Цудахар, Ташкапур, Аркас, Гапчица, Бутри киммеридж-титонахские отложения полностью выпадают из разреза. Здесь на размытой поверхности образований оксфордского яруса залегают известники валанжина. Южнее и юго-восточнее верхнеюрские отложения отсутствуют.

Одновременно с уменьшением мощности киммеридж-титонахские отложения становятся все более терригенными. В разрезе появляются тонкие линзовидные прослои грубозернистого песчаника, а в составе известняков или доломитов увеличивается терригенная примесь. В этом же направлении изменяется и количественное соотношение известняков и доломитов. Так, если на западе (Агвали, Карага, Тлох) эти типы карбонатных пород в целом по разрезу распространены примерно одинаково, то на северо-западе (хр. Салату) и востоку Центрального Дагестана (села Ущукуль, Араками и т. д.) развиты преимущественно доломиты. Изменяется и состав известняков. На западе они в основном органогенно-обломочные, реже зернистые, а на востоке и юго-востоке Центрального Дагестана (разрезы

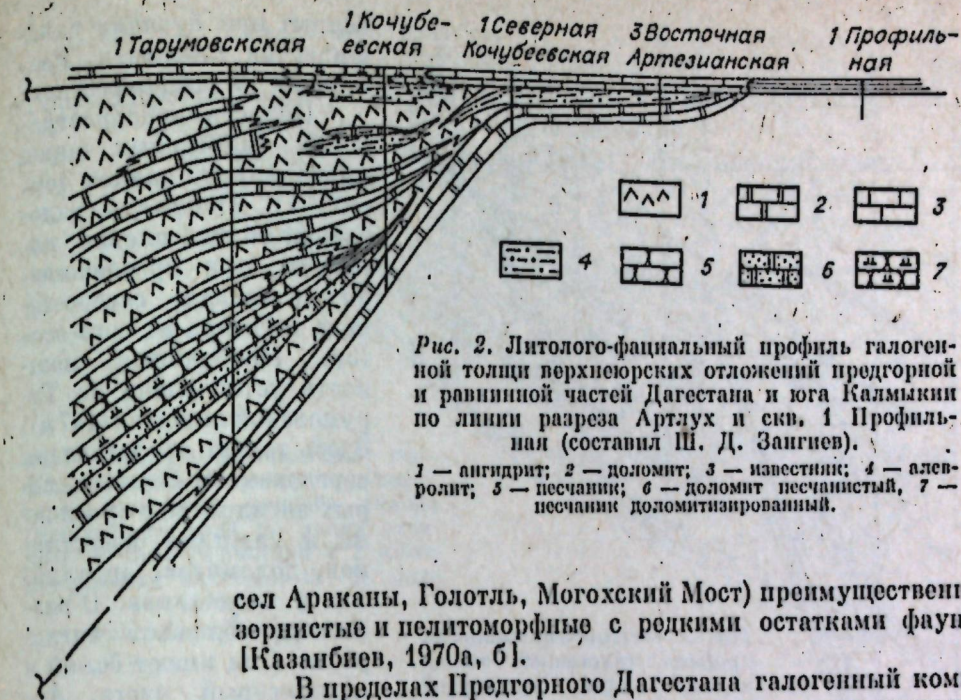
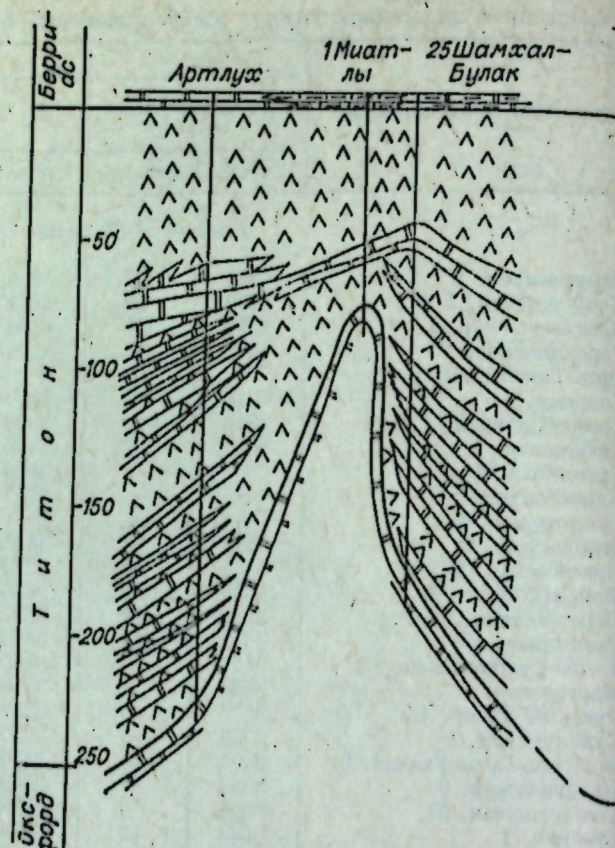


Рис. 2. Литолого-фацальный профиль галогениной толщи верхнеюрских отложений предгорной и равнинной частей Дагестана и юга Калмыкии по линии разреза Артлух и ски. 1 Профильная (составил Ш. Д. Заигиев).

1 — ангидрит; 2 — доломит; 3 — известник; 4 — алевролит; 5 — песчаник; 6 — доломит песчанистый; 7 — песчаник доломитизированный.

сел Араками, Голотль, Могохский Мост) преимущественно зернистые и псиломорфные с редкими остатками фауны [Казанбиеv, 1970а, б].

В пределах Предгорного Дагестана галогенный комплекс вскрыт отдельными скважинами в полосе сравнительного неглубокого залегания верхнеюрских отложений. Поисково-разведочное бурение с целью изучения верхнеюрских отложений здесь было начато в 1951 г. на площади Заузанбаш. В настоящее время галогенные отложения вскрыты на площадях Талги (скв. 2—4, 35-т), Заузанбаш (скв. 2, 3), Шамхал-Булак (скв. 10, 17, 20, 25), Миатлы (скв. 1, 19). Находится в бурении скважины 22 Шамхал-Булак, 2 Миатлы. Проектируется ряд поисковых и разведочных скважин на новых площадях.

Галогенные отложения на территории Предгорного Дагестана представлены ангидритами с подчиненными пластами доломитов и известняков. Ангидриты молочно-белые, серые и светло-серые, тонко-, мелкозернистые, спутанно-волокнистые, с примесью алевритового материала (до 3—5%). Доломиты достигают мощности 10—15 м. Они, как правило, средние и мелкозернистые, темно-серые с коричневатым оттенком, иногда известковистые, с включениями ангидрита, каворианы. Количество карбонатных пород в нижней части разреза увеличивается главным образом за счет доломитов. В целом галогенные отложения в районах Предгорного Дагестана характеризуются сложной фацальной изменчивостью, различной полнотой разреза и значительными колебаниями мощностей.

К западу на территории Чечено-Ингушетии развита мощная соленосная толща (более 1000 м). Восточнее ее мощность быстро сокращается до 300 м. На площади Беной из разреза полностью выпадают пласти каменной соли, а разрез целиком представлен ангидритами с подчиненными прослоями доломитов и известняков [Станулис и др., 1979]. Далее на восток и юго-восток мощность галогенной толщи уменьшается на площадях Шамхал-Булак до 176 м, Миатлы — 74, Заузанбаш — 67, Талги — 48 м. Верхнеюрские отложения полностью выклиниваются, но достигнув площади Ачи-Су. В северном направлении, в сторону Терско-Сулакского прогиба, мощность галогенной толщи возрастает от 75 м на площади Миатлы до 176 м в районе Шамхал-Булак. Подобное увеличение мощности галогенных отложений позволяет предположить, что эвапоритовый бассейн киммеридж-титонахского возраста простирается далеко на север, охватывая территорию Терско-Сулакского прогиба и Прикумскую азию.

Галогенный комплекс на площади Прикумской венцы был

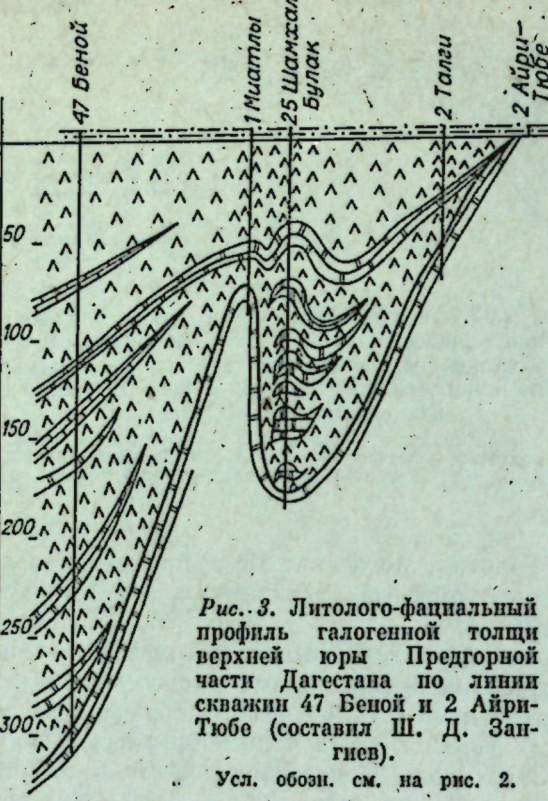


Рис. 3. Литолого-фацальный профиль галогенной толщи верхней юры Предгорной части Дагестана по линии скважин 47 Беной и 2 Айри-Тюбе (составил Ш. Д. Занигев).

Усл. обозн. см. на рис. 2.

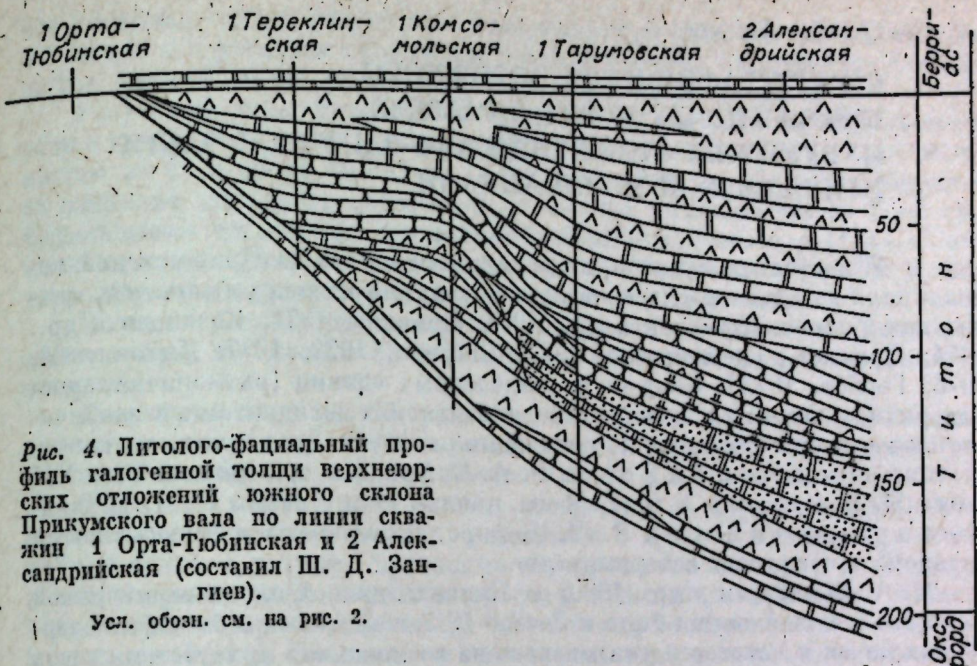
В верхней части разреза выделяются два маркирующих доломитовых пласта мощностью по 10 м. Песчаники серые, мелковзернистые, в разной степени карбонатные и глинистые, местами с включениями крупных зерен кварца. Мощность пластов песчаников в пизах разреза иногда достигает 5 м. При прослеживании от Тарумовской площади на север и запад из разреза выпадают сначала ангидриты, затем карбонатные породы. В северных и западных районах Прикумской зоны верхнеюрские отложения представлены терригенными породами. Анализ результатов бурения показывает, что пласти ангидритов мощностью до 15 м в разрезе не фиксируются.

Однозначную корреляцию пачек и пластов галогенной толщи между районами Предгорного Дагестана и Прикумской зоны в настоящее время провести очень трудно. К югу от Тарумовской площади ожидается резкое увеличение мощности галогенных отложений, возможно, разрез здесь станет соленосным. Можно предположить, что солеродный бассейн не ограничивается Терско-Сунженским прогибом, а протягивается на восток в виде узкого широтного залива.

Галогенная толща верхней юры Дагестана перспективна для поисков залежей нефти и газа. На площади Шамхал-Булак в Предгорном Дагестане из этих отложений получены промышленные притоки газа. Интенсивные притоки газа были получены в процессе бурения в скв. 10 в интервалах глубин 3606—3645 и 3651—3690 м и скв. 25 в интервале глубин 3456—3520 и 3542—3598 м. Газ легкий, с удельным весом 0,627, с резким запахом сероводорода. Содержания компонентов в объемных процентах составляют: метана — 90,83, этана — 0,20, пропана — 0,01, CO₂ — 6,14, азота — 2,82, количество сероводорода колеблется в пределах 1700—2000 г на 100 м³ газа. Газопосыпными коллекторами в галогенной толще являются пласти доломитов и известняков. Коллекторы характеризуются как по-

вскрыт при бурении скважины на площадях Равнинная и Перекрестная.

Область распространения галогенных пород имеет форму залива (см. рис. 1). Мощность галогенной толщи плавно нарастает при прослеживании с запада, северо-запада и севера на юго-восток. Наибольшая мощность установлена на Тарумовской площади (147 м). Здесь толща представлена чередованием белых и серых ангидритов с прослоями и пластами известняков, доломитов, аргиллитов и песчаников. В разрезе преобладают ангидриты. Они имеют белый и светло-серый цвета. Аргиллиты обычно черные. Доломиты целикоморфные, мелко- и среднезернистые, темно-серые с коричневатым оттенком, местами кавернозные и трещиноватые со стилолитовыми швами.



Усл. обозн. см. на рис. 2.

рово-каверново-трещинного типа. Роль покрышек выполняют ангидриты и гипсы. В Прикумской зоне галогенные отложения испытаны в отдельных скважинах. При испытании доломитового пласта в скв. 1 Кочубей в интервале 4177,5—4179 м получен непереливающийся приток воды с резким запахом сероводорода, с удельным весом 1,105 г/см³ и содержанием хлора 98,18 мг/л; содержание растворенного газа в воде 1300—1400 см³/л. Нет сомнения, что галогенная толща Прикумской зоны также перспективна на нефть и газ.

В Нагорном Дагестане, где верхнеюрские отложения обнажаются, в галогенном комплексе установлены многочисленные проявления серы и целестина.

ЛИТЕРАТУРА

- Алиев А. Г., Магомедов А. М. Литология карбонатных отложений верхней юры и валикина Дагестана и Северного Азербайджана. Баку: Изд-во ИГ АН АзССР, 1972. 30 с.
 Деревягин В. С., Седлецкий В. И. Верхнеюрские соленосные отложения Предкавказья.—Литология и полезные ископаемые. 1977, № 4, с. 121—131.
 Казанбис М. К. Условия образования позднеюрских доломитов Дагестана.—В кн.: Вопросы геологии и подземных вод Дагестана. Махачкала, 1970а, с. 163—177.
 Казанбис М. К. Палеогеографические условия осадконакопления в Дагестане в позднеюрскую эпоху.—В кн.: Вопросы геологии и подземных вод Дагестана. Махачкала, 1970б, с. 150—162.
 Леонов Г. П., Живаго И. В. О некоторых вопросах стратиграфии верхнеюрских отложений Дагестана.—В кн.: Вопросы стратиграфии и региональной геологии. М., 1981, с. 26—57. (Ученые записки МГУ, вып. 192).
 Назаревич Б. Ц., Назаревич И. А., Фадеева Л. В. Формации верхнеюрских отложений Центрального и Восточного Предкавказья.—В кн.: Типы осадочных формаций нефтегазоносных бассейнов. М.: Изд-во МГУ, 1980, с. 261—286.
 Сахаров А. С. Палеонтологическое обоснование возраста титонских отложений Северо-Восточного Кавказа.—В кн.: Геология и нефтегазоносность Восточного Предкавказья. Грозный, 1973, с. 14—21.
 Стапулин В. А., Коновалов В. И., Булгакова О. П., Мациева Т. В., Даниленко Т. А. Новые данные по геологии юрских и палеозойских отложений юго-восточных районов Чечено-Ингушетии.—В кн.: Геология нефтегазоносных комплексов мезозоя Дагестана. Махачкала, 1979, с. 11—21.

СТРАТИГРАФИЧЕСКОЕ ПОЛОЖЕНИЕ БИШОФИТОВЫХ ПОРОД В РАЗРЕЗЕ КУНГУРСКИХ ОТЛОЖЕНИЙ ЮГО-ЗАПАДНОЙ ЧАСТИ ПРИВОЛЖСКОЙ МОНОКЛИНАЛИ

В настоящее время кунгурская соляная толща Приволжской моноклинали детально расчленена исследованиями на ряд ритмопачек, циклов или ритмов [Ермаков и др., 1968; Ермаков, 1971; Казанцев и др., 1974; Ермаков, Гребеников, 1977; Шафиро, 1972, 1977; Тихвинский, 1976; Горбов, 1973]. Каждая из выделенных единиц (ритмопачка, цикл или ритм) начинается ангидритами или доломит-ангидритами и заканчивается каменной или калийно-магниевыми солями. Две из них, соответствующие ритмопачкам 7 и 8 схемы В. А. Ермакова и др., циклам VI и VII схемы Н. И. Банеры и А. Ф. Горбова, циклам IV и V схемы И. Н. Тихвинского и ритмам 4 и 5 схемы Я. Ш. Шафиро, заканчиваются бишофитовыми породами и считаются завершенными.

М. А. Жарковым и др. (1980) на Привольнинской площади в верхней половине соляной толщи было отмечено 12 бишофитовых и бишофитсодержащих пачек и пластов и указывалось на возможность присутствия здесь большего числа завершенных циклов.

При изучении керна и каротажных диаграмм скважин Привольнинской площади появились данные, позволяющие детализировать стратиграфическое положение бишофитовых пород. В разрезе скважин 3 и 4, наиболее полно охарактеризованных керном, удалось выделить несколько ритмопачек. В качестве ритмопачки принята последовательность пород с возрастающей растворимостью вверх по разрезу от подошвы подстилающего ангидрита или ангидрит-доломита до подошвы перекрывающего.

В скв. 3 Привольнинской площади изучен представленный керном разрез в интервале глубин 1870, 1—1531 м. Здесь выделено четыре ритмопачки (см. рисунок), характеризующиеся зональным строением.

Первая ритмопачка в изученном интервале начинается с галитовой зоны, сложенной ритмично переслаивающимися светло-серой каменной солью и ангидритом. Мощности слоев каменной соли изменяются от первых сантиметров до 10—15 см, ангидритовые слои имеют мощность 2—5 мм, редко до 1—1,5 см. В верхней половине зоны ангидритовые слои встречаются реже, до полного исчезновения в кровле. Судя по каротажу, вниз по разрезу галитовая зона продолжается по глубине 1875 м и ниже ее располагается зона ангидритовых пород мощностью 12 м.

Следующую зону слагают брекчевые породы галит-карналлитового состава с примесью ангидрита мощностью 17 м. Здесь присутствуют две генерации карналлита. Светло-серый, полупрозрачный карналлит цементирует обломки пород ангидрит-галитового и галитового состава, а молочно-белый отмечается в виде многочисленных пятнистых включений размером от нескольких миллиметров до 2—3 см. Присутствие этих включений — характерная особенность пород.

Покровная зона первой ритмопачки сложена пятнисто-полосчатой каменной солью мощностью 60 м.

Вторая ритмопачка начинается зоной ангидритовых пород, сложенной в нижней части тончайшим переслаиванием ангидрита, доломита и глинистого материала с примесью ангидрита мощностью 3,75 м. Выше залегает каменная соль с прослойками ангидрита, мощность которой 4,35 м, затем слой ангидрита мощностью 0,28 м, выше которого вновь появляется каменная соль мощностью 0,45 м. Заканчивается базальная зона глинистыми доломит-ангидритами мощностью 16 м. Отмеченная внутри

нее каменная соль образует тело линзовидной формы, полностью выклинивающееся к соседним скважинам 2 и 4, и поэтому не выделяется в качестве завершающего члена самостоятельной ритмопачки.

Галитовая зона ритмопачки представлена чередованием каменной соли с ангидритом и имеет мощность 45 м. Слои каменной соли здесь мощностью от 1—3 см до 10—15 см, в верхней части до 20 см, чередуются со слоями ангидрита мощностью от первых миллиметров до 2—3 см. Перекрывают их породы карналлит-глинисто-галитового состава и каменная соль с примесью темно-серой глины общей мощностью 8,3 м, образующие зону карналлитовых и карналлитсодержащих пород.

Выше по разрезу располагается зона бишофитовых и бишофитсодержащих пород мощностью 63 м. В верхней части в их составе появляется кизерит.

Покровная зона второй ритмопачки сложена последовательно сменяющимися породами галит-карналлитового, карналлит-галитового состава и каменной солью общей мощностью 11 м.

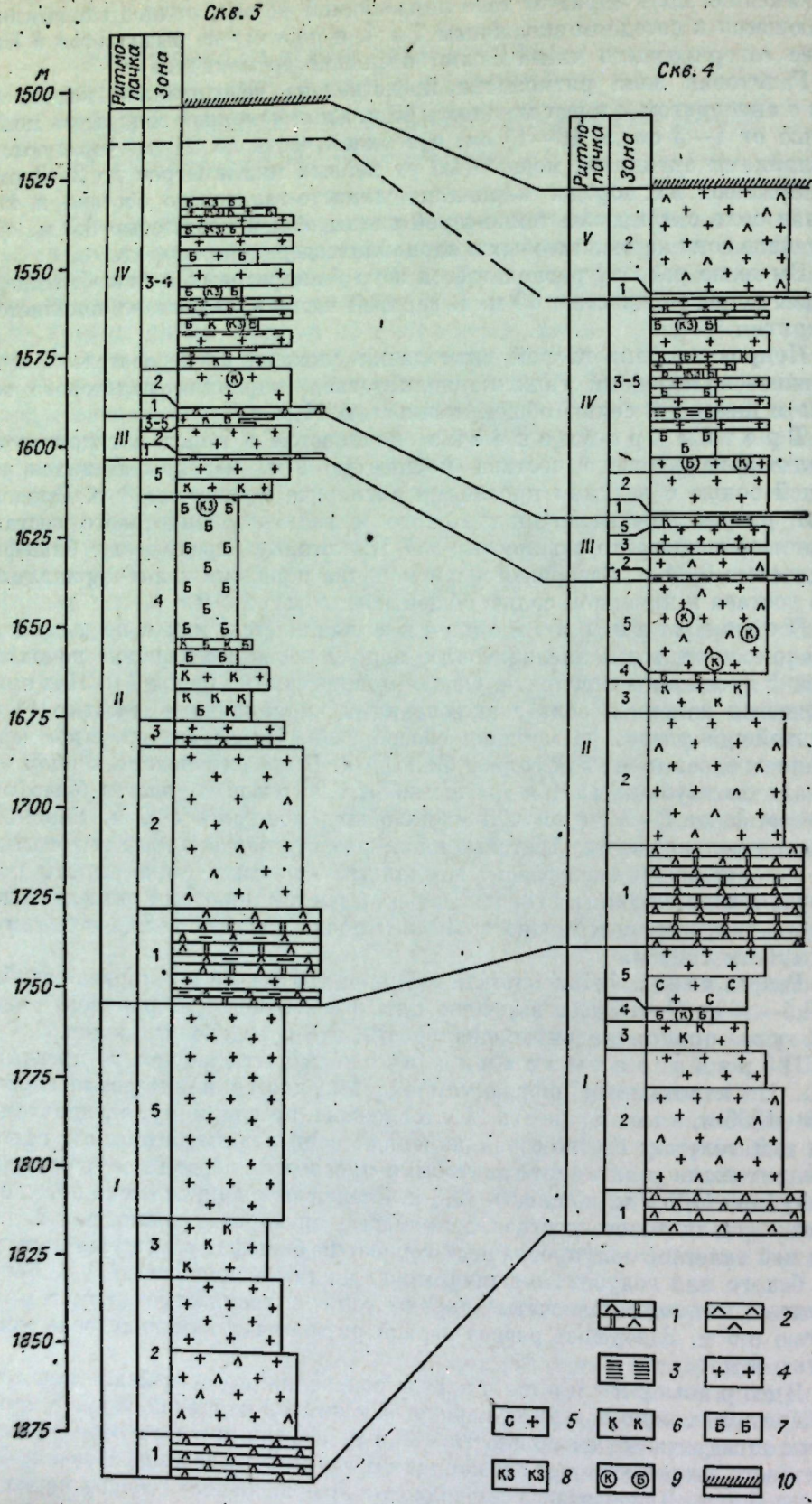
Третья ритмопачка начинается с пород ангидритового и галит-ангидритового состава мощностью 1 м, перекрывающихся каменной солью с редкими прослойками ангидрита мощностью 8 м. Продолжают разрез породы карналлитового и галит-карналлитового состава с примесью кизерита мощностью 0,7 м, которые перекрывают бишофит мощностью 0,34 м. Завершается ритмопачка породами галит-карналлитового состава и каменной солью общей мощностью 1,5 м.

Четвертая ритмопачка начинается, как и предыдущая, с маломощной зоны ангидритовых пород, перекрывающихся каменной солью с прослойками ангидрита. Общая мощность этих пород 2 м. Над ними отмечается каменная соль с включениями карналлита мощностью 11 м. Дальнейший разрез ритмопачки своеобразен. Он характеризуется чередованием слоев каменной соли и бишофита. В представленном керном интервале до глубины 1531 м насчитывается 20 слоев и пластов бишофита мощностью от 2—3 см до 3,25 м; их общая мощность 13,2 м. Каменная соль, разделяющая бишофитовые слои, разбита вертикальными трещинами, заполненными бишофитом. По данным каротажа такие породы продолжаются до глубины 1514 м и перекрываются породами вышележащей ритмопачки, имеющей мощность 10 м. Кровля соляной толщи отбивается на глубине 1504 м.

Разрез по скв. 4 Привольнинской площади изучен в интервале глубин 1793,6—1536,07 м. Здесь выделено пять ритмопачек (см. рисунок) имеющих ту же принципиальную зональность, что и выделенные в скв. 3.

Первая ритмопачка в нижней части керном не представлена. По каротажным диаграммам она выделяется в интервале глубин 1816—1805 м, имеет мощность 11 м и сложена, по-видимому, ангидритами. Над ней залегает светло-серая каменная соль с ангидритовыми, галит-ангидритовыми и ангидрит-галитовыми прослойками. Кровля ее отмечается на глубине 1765,7 м, мощность 39,3 м. Следующая зона сложена породами галит-карналлитового состава с примесью ангидрита мощностью 8,1 м. Над ней залегает полупрозрачный сероватый бишофит с включениями зерен белого или голубовато-дымчатого карналлита мощностью 3 м. Выше отмечены пятнисто-полосчатые породы галит-сильвинового состава мощностью 8,6 м. Завершает разрез первой ритмопачки каменная соль мощностью 9 м.

Вторая ритмопачка в основании представлена доломит-ангидритами мощностью 27 м, перекрывающимися каменной солью с прослойями ангидрита общей мощностью 36,5 м. Над ними отмечаются породы галитового, карналлитового и карналлит-галитового состава общей мощностью 8,9 м. Далее разрез продолжают брекчевые породы карналлит-бишофитового состава мощностью 1,2 м.



Выше скважиной вскрыты интенсивно брекчированные породы андигрит-галитового состава с примесью карналлита. Нормальная слоистость здесь отсутствует, обломки пород часто развернуты в произвольных направлениях, поэтому верхняя граница ритмопачки проведена условно по располагающемуся в верхней части зоны брекчий (гл. 1637,5 м) участку темной зеленовато-серой глины.

Третья ритмопачка, как отмечено, начинаяется глиной, выше которой располагаются брекчированные породы ангидрит-галитового состава, в верхней части с карналлитом. Мощность их 6,8 м. Они перекрыты породами галит-карналлитового состава мощностью 1,2 м. Выше по разрезу залегают каменная соль мощностью 5,5 м и породы галит-карналлитового и карналлит-галитового состава мощностью 0,85 м. Далее разрез продолжают карналлитовые породы мощностью 0,5 м, и завершают ритмопачку каменная соль и породы карналлит-галитового состава мощностью 0,6 м.

Четвертая ритмопачка начинается ангидритом и породами галит-ангидритового состава с примесью карналлита общей мощностью 0,6 м. Выше залегает каменная соль мощностью 12 м, в нижней части которой отмечаются прослои ангидрита и включения карналлита. Заканчивают ритмопачку переслаивающиеся каменная соль и бишофитовые породы. Иногда между ними располагаются маломощные переходные породы карналлит-галитового или карналлитового состава, изредка с бишофитом. В верхней части ритмопачки присутствует кизерит, местами в количествах, имеющих породообразующее значение. Всего здесь насчитывается 10 слоев и пластов бишофита общей мощностью 13,4 м. Лежащая между ними каменная соль разбита вертикальными трещинами, выполненными бишофитом.

Пятую ритмопачку начинают породы ангидрит-глинистого состава мощностью 0,4 м, выше которых залегают такой же мощности породы галит-ангидритового состава. Весь оставшийся разрез сложен каменной солью с многочисленными слоями и слойками пород галит-ангидритового состава. Последние имеют мощности, в среднем вдвое меньшие, чем разделяющие их слои каменной соли. Такие породы продолжаются до самой кровли соляной толщи, которая фиксируется на глубине 1530 м.

Таким образом, все выделенные ритмопачки сложены, в общих чертах, однотипной последовательностью пород. В них снизу вверх сменяют друг друга породы со все более возрастающей растворимостью, а в верхней части залегает обратная последовательность пород с убывающей растворимостью вверх по разрезу.

Выделенные в скважинах 3 и 4 ритмопачки между собой коррелируются однозначно (см. рисунок). Более подробная корреляция (например, на уровне слоев или пачек), несмотря на небольшое расстояние между скважинами (1,5 км), возможна только для ангидритов (доломит-ангидритов) и в некоторой степени для каменной соли. Более растворимые соли обнаруживают значительную изменчивость как в вертикальном, так и в боковом направлении. Так, отмеченным в скв. 4 в первой ритмопачке бишофитовым породам с включениями белого и голубовато-дымчатого карналита и перекрывающим их галит-сильвиновым породам в скв. 3 соответствуют галит-карналлитовые породы с включениями молочно-белого карналита. Во второй ритмопачке в скв. 3 бишофитовые и бишофитсодержащие породы имеют мощность 63 м, а в скв. 4 — только 1,2 м. Бишофитовому

Сопоставление схематических разрезов по скважинам 3 и 4 Привольнинской площади. 1 — доломит-ангидриты; 2 — ангидриты; 3 — глины; 4 — каменная соль; 5 — галит-сильвиновые породы; 6 — карналлиты; 7 — бишофиты; 8 — кизериты; 9 — включения; 10 — кровли соляной толщи. Зоны: 1 — ангидритовых пород, 2 — галитовая, 3 — карналлитовых и карналлитодержащих пород, 4 — бишофитовых и бишофитсодержащих пород, 5 — покровная.

слою третьей ритмопачки в скв. 3 соответствует карналлитовый слой соизмеримой мощности в скв. 4. И наконец, в четвертой ритмопачке, не полностью охарактеризованной керном в скв. 3, насчитывается 20 слоев бишофитовых пород, а в скв. 4, где ритмопачка представлена керном полностью, таких слоев только 10.

При сопоставлении ритмопачек, выделенных по керну скважин 3 и 4 Привольнинской площади, с известными схемами указанных выше исследователей можно видеть, что первая ритмопачка соответствует ритмопачке 7 схемы В. А. Ермакова и др., циклу VI схемы Н. И. Банеры и А. Ф. Горбова, циклу IV схемы И. Н. Тихвинского и ритму 4 схемы Я. Ш. Шафиро. Вторая, третья, четвертая и пятая ритмопачки, возможно, будут коррелироваться с соответствующими верхними ритмопачками, циклами и ритмами этих авторов. Если такой вариант сопоставления с существующими схемами окажется правильным, тогда можно будет говорить о том, что в юго-западной части Приволжской моноклинали происходит возрастание стратиграфического интервала распространения бишофитовых пород и их появление на уровне 9 и 10 ритмопачек схемы В. А. Ермакова и др. [Ермаков и др., 1968; Ермаков, 1971; Казанцев и др., 1974; Ермаков, Гребенников, 1977].

ЛИТЕРАТУРА

- Горбов А. Ф. Прикаспийский калийносный бассейн.— В кн.: Месторождения калийных солей СССР. Методы их поисков и разведки. Л.: Недра, 1973, с. 70—104.
Ермаков В. А., Исаев А. Я., Гетманова Е. И. Гидрохимическая толща на территории западного обрамления Прикаспийской синоклизы.— Геология нефти и газа, 1968, № 5, с. 33—38.
Ермаков В. А. Особенности надсолевой гидрохимической толщи на территории Волгоградского Поволжья.— Сов. геология, 1971, № 2, с. 145—150.
Ермаков В. А., Гребеников П. П. Закономерности строения бишофитовых залежей соленосной толщи Нижнего Поволжья и палеогеографические условия их накопления.— В кн.: Проблемы соленакопления. Т. 2. Новосибирск: Наука, 1977, с. 40—45.
Жарков М. А., Жаркова Т. М., Мерзляков Г. А., Гребеников Н. П., Ермаков В. А., Аксенов Л. Л. Бишофитовые отложения Приволжской моноклинали.— В кн.: Особенности строения залежей бишофита и калийных солей. Новосибирск: Наука, 1980, с. 4—32.
Казанцев О. Д., Ермаков В. А., Гребеников Н. П. К открытию залежей бишофита на территории Нижнего Поволжья.— Сов. геология, 1974, № 7, с. 124—132.
Тихвинский И. Н. Закономерности распространения калийных солей в Предуральско-Прикаспийском бассейне.— Сов. геология, 1976, № 2, с. 102—113.
Шафиро Я. Ш. Корреляция пермских галогенных отложений Волгоградского Поволжья и тектонические условия их формирования.— Бюл. МОИП. Отдел геол., 1972, № 6, с. 45—59.
Шафиро Я. Ш. Строение и условия формирования нижнепермских галогенных отложений северо-западной окраины Прикаспийской впадины и ее обрамления.— В кн.: Проблемы соленакопления. Т. 2. Новосибирск: Наука, 1977, с. 32—36.

Е. М. Хабаров

НАБОРЫ ПОРОД И СООБЩЕСТВА ЧЕНЧИНСКОЙ КАРБОНАТНОЙ РИФОГЕННОЙ ФОРМАЦИИ ПЕРИФЕРИИ ПАТОМСКОГО НАГОРЬЯ

В Жуинско-Патомском прогибе выделяется мощная рифейская многосинклинальная толща карбонатных, терригенных и терригенно-карбонатных отложений мощностью до 10—12 км, объединенных в патомскую серию. Единый и непрерывный разрез рифейских образований за-

канчивается толщей светло-серых, серых и лиловых известняков ченчинской свиты, в которой широко развиты строматолитовые и зернистые (онколитовые, оолитовые и микрокомковатые) известняки, являющиеся ее основными определяющими породами.

Эти образования передко обособляются в самостоятельную осадочную формацию либо включаются составным элементом в более крупные формационные тела сложного строения и состава. Так, Л. И. Салоп (1967) отнес ченчинскую карбонатную толщу к дифференцированной терригенно-карбонатной формации, объединяющую всю кадаликансскую подсерию рифея. С. М. Замараев (1967) объединил ченчинскую карбонатную свиту в один комплекс с нижележащей жуинской и вышеупомянутой жербинской свитами в молассовую формацию (или терригенно-карбонатную). Многие исследователи считают возможным объединить ченчинскую свиту с жуинской в единую либо карбонатную [Руженцев, Чжан Бу-Чунь, 1961; Мокшанцев и др., 1964], либо в органогенную формацию рифогенных известняков и доломитов [Клитин и др., 1970]. Вместе с тем в результате проведенных в последние годы исследований появились указания о том, что ченчинскую карбонатную свиту можно обособить в самостоятельную осадочную формацию. Основанием для этого могут служить выводы Б. М. Келлера (1973) о развитии в рифее карбонатных отложений, насыщенных строматолитовыми и фитолитовыми породами, которые широко распространены в различных регионах Земли. Эти образования выделяются в специфический класс карбостромовых формаций.

Впервые в качестве самостоятельной известняковой формации ченчинскую свиту выделили Н. С. Малич и др. [Геологические формации..., 1974]. Мы также рассматриваем ченчинскую свиту и ее стратиграфические аналоги (алянчская и холыгская свиты, а также торгинская свита бассейна р. Чары) как верхнерифейскую карбонатную рифогенную формацию. Она подстилается жуинской терригенно-карбонатной и перекрывается терригенно-кварцевой жербинской формациями. Ченчинская формация обнажается в узкой полосе по периферии Патомского нагорья в бассейнах рек Чая, Бол. и Мал. Патом, Лены, Молбо, Жуя и Чара. По направлению к западному склону Алданского щита она замещается платформенной доломитовой формацией [Салоп, 1967]. В Предбайкальском прогибе ей соответствует углисто-флишидная формация (качергатская свита), а в Бодайбинском синклиниории, по-видимому, граувакковая [Клитин и др., 1970].

Сведения о составе и строении ченчинской рифогенной формации можно найти в многочисленных описаниях разрезов ченчинской свиты, проведенных при геологическом картировании, а также в литологических и стратиграфических исследованиях [Боров, 1964, 1979; Головенок, 1957; Дольник, Воронцова, 1971, 1974; Жарков, Чечель, 1964; Журавлева и др., 1959; Колесов, 1975; Работнов, 1962; Салоп, 1964; Хоментовский и др., 1972; Чумаков, 1956, 1959; и др.].

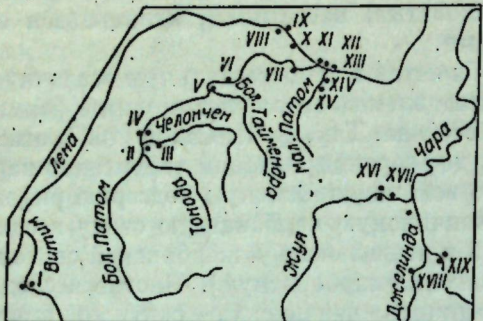
Вместе с тем до сих пор остаются неохарактеризованными породы и парагенезы пород рифогенной формации, не выяснены особенности ее внутреннего строения и состава.

Настоящая статья посвящена характеристике разрезов ченчинской формации, выяснению взаимоотношений пород и установлению их закономерных сочетаний — наборов пород (парагенезов), а также выявлению сообществ повторяющихся в разрезах однотипных наборов.

ХАРАКТЕРИСТИКА РАЗРЕЗОВ ЧЕНЧИНСКОЙ КАРБОНАТНОЙ РИФОГЕННОЙ ФОРМАЦИИ

В качестве опорного разреза при описании формации нами выбран разрез, вскрытый на левом берегу р. Лены, выше дер. Тинной (рис. 1; рис. 2, IX). Здесь на лиловых мергелях и аргиллитах терригенно-карбо-

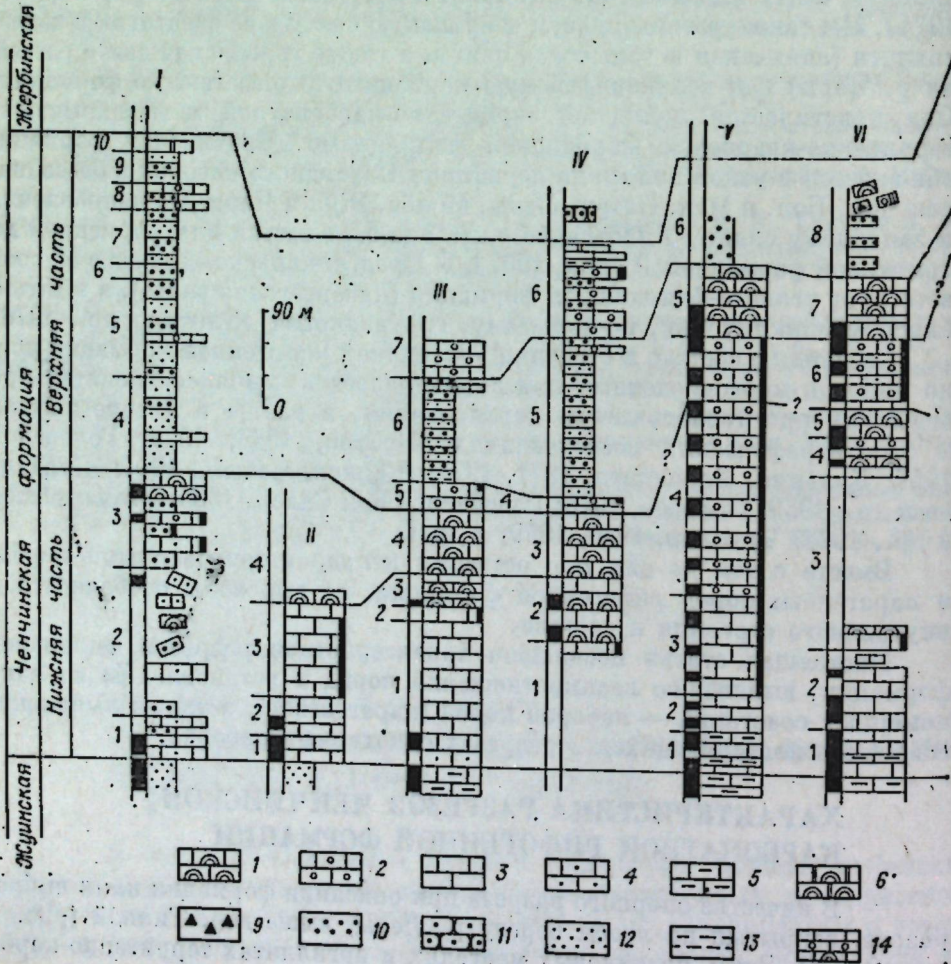
Рис. 1. Схема расположения изученных разрезов.



I — р. Витим, ниже устья р. Нижней Ясовой; II — р. Бол. Патом, 2 км ниже устья р. Тонода; III — р. Челончен, 10—12 км от устья; IV — р. Бол. Патом, 2—6 км ниже устья р. Челончен; V — р. Бол. Патом, устье р. Бол. Таймендры; VI — р. Бол. Патом, 16 км ниже устья р. Бол. Таймендры; VII — р. Бол. Патом, 8 км ниже дер. Патом; VIII — р. Лена, правый берег, 3 км ниже устья р. Джерба; IX — р. Лена, левый берег у дер. Тинной; X — р. Лена, правый берег, против о. Кильзева; XI — р. Лена, против устья р. Бол. Патом; XII — р. Лена, левый берег, 1—2 км ниже устья р. Бол. Патом; XIII — р. Лена, выше пос. Нохтуйск; XIV — р. Мал. Патом, 16 км от устья; XV — р. Мал. Патом, устье руч. Чепеллох; XVI — р. Жул, устье руч. Сулахчин; XVII — р. Жул, у зим. Кресты; XVIII — р. Дженица, у устья руч. Бестик; XIX — р. Чара, против устья руч. Бульдукуней и 1,5 км ниже. Номера разрезов на схеме соответствуют номерам стратиграфических колонок.

натной жуинской формации согласно залегают следующие пачки. Здесь и далее описание разреза снизу вверх.

	Мощность, м
1. Известняки лиловые и светло-серые, кристаллические, часто глинистые и алевритистые, с прослойками мергелей и плоскогалечных конгломератов	60
2. Известняки светло-серые, кристаллические, с частыми маломощными прослойками (0,1—0,5 м) строматолитовых известняков	100
3. Известняки светло-серые, строматолитовые, образующие крупные биогермы. В нижней части встречаются прослои кристаллических и онко-	



литовых известняков

4. Известняки светло-серые, кристаллические, переслаивающиеся с онколитовыми и строматолитовыми известняками
5. Известняки светло-серые, строматолитовые, образуют очень крупные биогермы. Межбиогермное пространство заполнено кристаллическими и онколитовыми известняками
6. Известняки светло-серые, строматолитовые, переслаиваются с кристаллическими зеленовато-серыми и серыми онколито-оолитовыми известняками
7. Известняки лиловые, онколито-оолито-микрокомковатые, часто косослоистые, переслаиваются с зеленовато-серыми алевритистыми и глинистыми косослоистыми известняками. Встречаются линзовидные прослои плоскогалечных конгломератов и мелкие строматолитовые постройки
8. Известняки лиловые, онколито-оолито-микрокомковатые и строматолитовые, переслаиваются с зеленовато-серыми песчаниками и алевритистыми косослоистыми известняками. Встречаются прослои песчаников. Кверху увеличивается количество строматолитовых известняков

Видимая мощность 480 м.

На правом берегу р. Лены, в 3 км ниже устья р. Джерба (см. рис. 2, VIII), в составе формации выделяются следующие пачки.

Мощность, м

1. Известняки зеленовато-серые, реже лиловые, кристаллические, часто алевритистые с линзами плоскогалечных конгломератов и прослоями мергелей
2. Известняки зеленовато-серые, реже лиловые, кристаллические, часто алевритистые с прослойками строматолитовых известняков
3. Известняки светло-серые, строматолитовые с прослойками кристаллических известняков
4. Известняки серые, иногда с коричневым оттенком, кристаллические, переслаивающиеся со строматолитовыми известняками. Вверху появляются маломощные прослои (0,2—0,4 м) серых онколито-оолитовых известняков

5. Известняки светло-серые, строматолитовые, образующие очень крупные биогермы

6. Известняки серые, иногда с лиловым оттенком, онколито-оолитовые и известняки строматолитовые, переслаиваются с зеленовато-серыми глинистыми кристаллическими известняками
7. Известняки серые, реже с лиловым оттенком, онколито-оолитовые, массивные, переслаивающиеся с зеленовато-серыми кристаллическими алевритисто-глинистыми известняками. Встречаются прослои песчаников, реже мергелей. В основании и в кровле пачки отмечались мелкие строматолитовые постройки
8. Переслаивание строматолитовых, онколито-оолитовых и кристал-



Рис. 2. Корреляция разрезов ченчинской рифогенной формации от р. Лены (дер. Тинная) до р. Витим.

1—5 — известняки: 1 — строматолитовые, 2 — зернистые (онколито-оолито-микрокомковатые), 3 — кристаллические, 4 — кристаллические алевро-песчаники (алевро-песчанистые), 5 — сильноглинистые (известковые мергели); 6—8 — доломиты: 6 — строматолитовые, 7 — зернистые, 8 — кристаллические; 9 — карбонатные микробрекчи; 10 — песчаники; 11 — кварцитовидные песчаники жербинской свиты; 12 — алевролиты; 13 — аргиллиты; 14 — переслаивание пород; 15 — глауконит; 16 — распространение мелких строматолитовых построек. Цифры слева от колонок обозначают номера пачек. Чёрные участки левее литологических колонок показывают красноцветные отложения. Ост. усл. обозн. см. на рис. 1.

лических алевритистых известняков. Встречаются прослои песчаников	Мощность, м	30
9. Известники серые, строматолитовые, образуют крупные биогермы. По простиранию им соответствуют онколитовые и алевритистые кристаллические известняки		15
10. Известники серые, в основании лиловые, онколито-оболитовые, косослоистые; вверху, доломитистые. В нижней части отмечались строматолитовые известняки		45

Видимая мощность более 400 м.

В низовьях р. Бол. Патом, в 8 км ниже дер. Патом, обнажается практический完整性 разрез формации (см. рис. 2, VII).

В разрезе выделяются следующие пачки.

1. Известники серые и лиловые, кристаллические, часто алевритистые и глинистые с маломощными прослойками мергелей	Мощность, м	65
2. Известники серые, иногда с лиловым оттенком, кристаллические с маломощными прослойками строматолитовых известняков		110
3. Переслаивание серых, иногда с лиловым оттенком, строматолитовых и кристаллических известняков. Вверху отмечались прослои серых онколито-оболитовых известняков		60
4. Переслаивание серых, иногда лиловых, онколито-оболитовых известняков со строматолитовыми и кристаллическими известняками		60
5. Известники серые, иногда со слабым лиловым оттенком, строматолитовые, образуют очень крупные биогермы		45
6. Известники серые, онколито-оболитовые, переслаивающиеся с зеленовато-серыми кристаллическими известняками и серыми с лиловым оттенком строматолитовыми известняками		50
7. Известники серые, редко лиловые, онколито-оболитовые, переслаиваются с зеленовато-серыми алевритистыми известняками. Встречаются прослои песчаников и мелкие строматолитовые постройки		80
8. Переслаивание серых строматолитовых, онколито-оболитовых и зеленовато-серых кристаллических алевритисто-песчанистых известняков.		30
9. Известники серые, строматолитовые, образующие крупные биогермы		30
10. Известники серые, онколито-оболитовые, косослоистые, иногда доломитистые, переслаиваются с серыми строматолитовыми известняками из столбчатых строматолитов. Встречаются прослои песчаников, а в кровлю — строматолитовых доломитов		135

Мощность 665 м.

На р. Бол. Патом, в 16 км ниже устья р. Бол. Таймендры, разрез сложен следующими пачками.

1. Известники лиловые, глинистые, редко алевритистые с прослойками мергелей и линзами плоскогалечных конгломератов	Мощность, м	45
2. Известники лиловые и серые, слабоглинистые, кристаллические с прослойками мергелей, светло-серых онколито-оболитовых известняков и линзами плоскогалечных конгломератов		75
3. Переслаивание серых и лиловых кристаллических известняков с прослойками строматолитовых известняков. Большая часть пачки попадает на задернованный интервал. Ориентировочная мощность 150 м		35
4. Известники серые, иногда с лиловым оттенком, кристаллические, переслаивающиеся со строматолитовыми известняками. Вверху появляются прослои серых и лиловых онколито-оболитовых известняков		25
5. Известники серые и со слабым лиловым оттенком, строматолитовые, образующие крупные биогермы. Встречаются прерывистые прослои кристаллических и онколитовых известняков		65
6. Известники лиловые, крупноонколитовые с прослойками зеленовато-серых кристаллических алевритистых известняков и редкими строматолитовыми постройками известняков		60
7. Известники серые, в нижней части с лиловым оттенком, строматолитовые, образуют очень крупные биогермы. В средней части встречаются прослои серых кристаллических известняков		
8. Песчаники серые, розовые, толстолитчатые до массивных с карбонатным цементом. В основании и в кровле встречаются прослои серых онколито-оболитовых известняков, а в кровле строматолитовых известняков и строматолитовых доломитов. Верхняя часть пачки задернована. Видимая мощность пачки 80 м		

Мощность формации 530—570 м.

У устья р. Бол. Таймендры (см. рис. 2, V) разрез сложен следующими литологическими пачками.

1. Известники лиловые, редко зеленовато-серые, кристаллические, часто алевритистые и глинистые, переслаивающиеся с лиловыми и зеленовато-серыми моргелями. Части прослоев плоскогалечных конгломератов	Мощность, м	40
2. Известники серые и лиловые, кристаллические, иногда алевритистые		35
3. Известники серые, иногда с лиловым и зеленоватым оттенком, кристаллические, с примесью терригенного материала, с частями мелкими строматолитовыми постройками		90
4. Переслаивание лиловых и серых онколито-оболитовых известняков с сорами, редко лиловыми кристаллическими известняками. Встречаются многочисленные уровни с мелкими строматолитовыми постройками. Кирпичу назрастают роль лиловых онколито-оболитовых известняков, а в кристаллических известняках увеличивается количество терригенного материала		240
5. Известники серые, в нижней части с лиловым оттенком, строматолитовые. Обращают очень крупные биогермы		65
6. Песчаники серые, розовые		40

В обнажении, вскрытом на правом берегу, р. Бол. Патом, в 2 км выше устья р. Бол. Таймендры, в песчаниках устанавливаются прослои серых онколитовых известняков, а в кровлю — серых строматолитовых и онколито-оболитовых доломитов.

Мощность около 570 м.

На р. Бол. Патом, в 6 км ниже устья р. Челончи (см. рис. 2, IV), где самая нижняя часть формации попадает на задернованный интервал, устанавливаются следующие пачки.

1. Известники зеленовато-серые и серые, кристаллические с примесью терригенного материала, с прослойками строматолитовых известняков	Мощность, м	10
2. Переслаивание серых и зеленовато-серых алевритистых кристаллических известняков со строматолитовыми розовыми известняками		60
3. Известники серые, строматолитовые, образуют крупные биогермы. Межбиогермийно пространство заполнено преимущественно кристаллическими известняками		60
4. Известники серые, онколито-оболитовые		12
5. Алевролиты и песчаники зеленовато-серые, известковистые, часто глинистые, с редкими маломощными прослойками онколито-оболитовых известняков и карбонатных плоскогалечных конгломератов. Для песчаников и алевролитов характерны яшки ряби, часто перекрестной		150
6. Известники серые, онколито-оболитовые и интракластические, косослоистые, часто доломитистые. Встречаются прослои песчаников, а в кровлю — доломитов. К верхней части приурочены прослои строматолитовых известняков		90

Мощность около 500 м.

В низовьях р. Челончи (рис. 2, III) в разрезе устанавливаются следующие пачки.

1. Известники зеленовато-серые, иногда лиловые, кристаллические, глинистые и алевритистые, с прослойками плоскогалечных конгломератов и мергелей	Мощность, м	135
2. Известники серые и зеленовато-серые, кристаллические, с мелкими постройками строматолитов		15
3. Переслаивание серых и лиловых строматолитовых известняков с кристаллическими, иногда алевритистыми известняками		30
4. Известники серые, строматолитовые, образующие крупные биогермы		60
5. Известники серые, онколито-оболитовые		20
6. Алевролиты и песчаники зеленовато-серые, известковистые с прослойками плоскогалечных конгломератов и онколито-оболитовых известняков		100
7. Известники серые, онколито-оболитовые, косослоистые, массивные с прослойками песчаников		40

Видимая мощность 400 м.

На правом берегу р. Бол. Патом, в 2 км ниже устья р. Тонода (см. рис. 2, II), на лиловых известковистых глинистых алевролитах залегают следующие пачки.

	Мощность, м
1. Известняки лиловые, кристаллические, слабоглинистые с прослойями мергелей	20
2. Известняки светло-серые, кристаллические, в нижней части с прослойями лиловых	40
3. Известняки серые, кристаллические с прослойями строматолитовых и ассоциирующих с ними онколито-оолитовых и интракластических известняков. Кверху в известняках увеличивается количество терригенного материала	90
4. Известняки светло-серые, строматолитовые, образуют крупные биогермы	10

Видимая мощность 160 м.

В низовьях р. Витим, ниже устья р. Нижней Язовой, на левом берегу устанавливаются следующие пачки.

	Мощность, м
1. Известняки лиловые, алевритовые с прослойями песчаников, мергелей и чистых кристаллических известняков	45
2. Редкие выходы и высоты песчаников, кристаллических алевритовых известняков и редко лиловых строматолитовых известняков	135
3. Переслаивание песчаников, кристаллических и онколито-оолитовых известняков. Встречаются прослойи строматолитовых известняков. Кверху, возрастает роль строматолитов и в кровле пачки отмечаются биогермы высотой 1–1,5 м. Большая часть пачки попадает на задернованный интервал	90
4. Алевролиты зеленовато-серые, серые, иногда лиловые, глинистые, известковистые с прослойями песчаников и редкими прослойями известняков	90
5. Алевролиты и песчаники серые, зеленовато-серые, иногда с лиловым оттенком с единичными прослойками зернистых известняков	90
Разрез надстраивается на правом берегу р. Витим.	
6. Песчаники серые, кварцевые с глауконитом	15
7. Песчаники зеленовато-серые, тонкоцветчатые, микрокослонистые с прослойями алевролитов. В них отмечаются редкие прослои (0,2–0,7 м) серых строматолитовых известняков	50
8. Известняки серые, онколито-оолитовые, кослонистые, переслаивающиеся с песчаниками	20
9. Песчаники и алевролиты зеленовато-серые	30
10. Доломиты серые, массивные, с остаточной фитогенной структурой	3

Мощность около 600 м.

Юго-западнее, в верховьях р. Мал. Чая и на р. Чая, в нижней части формации вновь широко развиты строматолитовые известняки, а верхняя представлена алевролитами с прослойями известняков и доломитов [Жарков, Чечель, 1964; Дольник, Воронцова, 1971, 1974; Хоментовский и др., 1972].

В Предбайкальском прогибе формация выклинивается и ее уровень соответствует средняя и верхняя части качергатской свиты [Хоментовский и др., 1969, 1972; Трунов, 1975].

На р. Лене, против о. Князева (рис. 3, X), на лиловых мергелях и аргиллитах залегают следующие пачки.

	Мощность, м
1. Известняки лиловые, вверху серые, кристаллические с маломощными прослойками мергелей	60
2. Известняки серые, иногда лиловые, кристаллические с мелкими постройками строматолитов	45
3. Известняки серые, строматолитовые, образующие крупные биогермы, с прослойками в нижней части кристаллических известняков	45
4. Переслаивание кристаллических, строматолитовых и онколито-оолитовых известняков	40
5. Известняки серые, строматолитовые, образующие крупные биогермы	45
6. Переслаивание онколито-оолитовых, строматолитовых и кристаллических известняков	25

Видимая мощность 245 м.

На левом берегу р. Лены, против устья р. Бол. Патом (см. рис. 3, XI), выделяются две пачки из верхней части формации.

	Мощность, м
1. Известняки серые, онколито-оолитовые, кослонистые, переслаивающиеся со строматолитовыми известняками	90
2. Доломиты светло-серые, онколито-оолитовые и строматолитовые	35

Видимая мощность 125 м.

В 1–2 км ниже по течению р. Лены (см. рис. 3, XII) выделяются следующие пачки.

	Мощность, м
1. Известняки серые, строматолитовые, образующие крупные и очень крупные биогермы. Каналы между биогермами заполнены кристаллическими и онколитовыми известняками	60
2. Известняки серые, онколито-оолитовые с прослойми строматолитовых	25
3. Известняки серые, иногда с лиловым оттенком, онколито-оолитовые, переслаивающиеся с зеленовато-серыми алевропесчанистыми известняками. Отмечались мелкие постройки строматолитов	120
4. Известняки серые, строматолитовые, переслаивающиеся с серыми онколито-оолитовыми известняками	15
5. Известняки серые, строматолитовые, образующие крупные биогермы. По простиранию замещаются серыми онколито-оолитовыми известняками	25
6. Известняки серые, онколито-оолитовые, часто кослонистые, переслаиваются с зеленовато-серыми алевропесчанистыми кристаллическими известняками. Отмечались постройки строматолитов	25
7. Известняки серые, онколито-оолитовые, кослонистые, переслаивающиеся со строматолитовыми известняками. В средней части пачки встречаются прослои песчаников	50
8. Доломиты светло-серые, онколито-оолитовые и строматолитовые	25

Видимая мощность 345 м.

На р. Лене, у пос. Нохтуйск (см. рис. 3, XIII), выделяются следующие пачки.

	Мощность, м
1. Известняки светло-серые и серые, строматолитовые, образующие очень крупные биогермы	150
2. Известняки серые, онколито-оолитовые, переслаивающиеся с известняками зеленовато-серыми, алевропесчанистыми и глинистыми. Части строматолитовые постройки	60
3. Известняки серые, иногда лиловые, онколито-оолитовые, переслаивающиеся с зеленовато-серыми, алевропесчанистыми известняками. Вверху, резко преобладают онколито-оолитовые известняки. Отмечались строматолитовые постройки	90
4. Известняки серые, строматолитовые, переслаивающиеся с кристаллическими алевропесчанистыми известняками	25
5. Известняки серые, строматолитовые, образуют мощные биогермные пласти. Встречаются прослои онколито-оолитовых и кристаллических известняков	45
6. Известняки серые, иногда с лиловым оттенком, онколито-оолитовые с прослойми песчаников и алевропесчанистых кристаллических известняков. Части уровня со строматолитовыми известняками	65
7. Известняки серые, онколито-оолитовые с прослойми кристаллических песчаников и алевропесчанистых известняков. Отмечались строматолитовые известняки и песчаники. На отдельных поверхностях наслаждения песчаников встречаются трещины усыхания	30
8. Известняки зеленовато-серые, кристаллические, часто с многочисленными интракластами, алевропесчанистые и песчанистые, кослонистые с прослойми алевропесчанистых, онколито-оолитовых и строматолитовых известняков	45
9. Доломиты серые, строматолитовые	15

Видимая мощность 525 м.

На р. Мал. Патом, в 16 км от устья, на правом и левом берегах (см. рис. 3, XIV) выделяются следующие пачки.

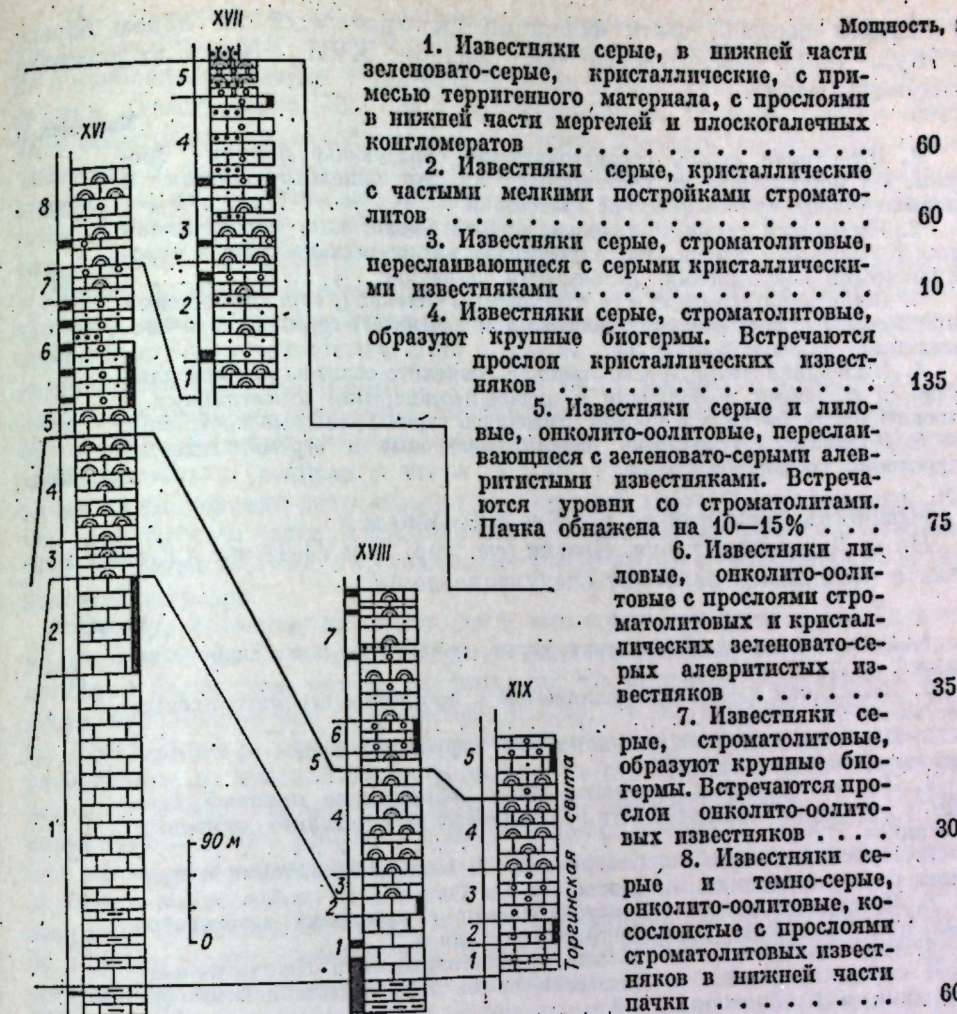
Рис. 3. Корреляция разрезов чечинской рифогеной формации от р. Лены (дер. Тинная) до р. Чары.
Усл. обозн. см. на рис. 1 и 2.

Жуцинская
Чечинская
Ижорская

	Мощность, м
1. Известняки серые, кристаллические	15
2. Известняки серые и светло-серые, кристаллические с многочисленными мелкими строматолитовыми постройками	80
3. Переслаивание строматолитовых и кристаллических известняков	30
4. Известняки серые, строматолитовые, образующие крупные биогермы. Встречаются прослои кристаллических известняков	105
5. Известняки серые и лиловые, онколито-оолитовые, переслаивающиеся с зеленовато-серыми алевритистыми известняками и строматолитовыми розоватыми известняками	70
6. Переслаивание серых и лиловых онколито-оолитовых и зеленовато-серых алевритистых известняков	45
7. Известняки серые и лиловые, онколито-оолитовые, строматолитовые	20
8. Известняки серые, строматолитовые, образующие крупные биогермы	25
9. Известняки серые, онколито-оолитовые, косослоистые, с прослоями зеленовато-серых алевритовых известняков, песчаников и мергелей. Отмечались строматолитовые постройки	105
10. Известняки серые, онколито-оолитовые и карбонатные микробрекчи, косослоистые с прослоями аргиллитов	20

Видимая мощность около 600 м.

У устья руч. Чеппелээх (см. рис. 3, XV) на зеленовато-серых мергелях и алевритисто-глинистых известняках залегают следующие пачки.



Видимая мощность 480 м.

На р. Жуя, ниже устья руч. Сулахчин, где по левому и правому берегам обнажается большая часть формации (см. рис. 3, XVI), разрез представлен следующими пачками.

Мощность, м
1. Известняки серые, темно-серые, иногда черные, кристаллические с прослоями в нижней части мергелей
2. Известняки серые, кристаллические с мелкими строматолитовыми постройками. Вверху отмечаются прослои лиловых онколито-оолитовых известняков
3. Переслаивание серых, кристаллических и строматолитовых известняков
4. Известняки серые и темно-серые, строматолитовые, образуют крупные биогермы. В средней части отмечались прослои серых кристаллических известняков
5. Известняки серые, кристаллические, переслаивающиеся со строматолитовыми известняками
6. Известняки серые, темно-серые и лиловые, онколито-оолитовые, переслаивающиеся с зеленовато-серыми кристаллическими алевритистыми известняками. Встречаются прослои песчаников и строматолитовых известняков
7. Известняки зеленовато-серые, алевритистые, кристаллические, переслаивающиеся с серыми онколито-оолитовыми и строматолитовыми известняками
8. Известняки серые, строматолитовые, образуют крупные биогермы. Встречаются прослои песчаников, онколито-оолитовых и кристаллических известняков

Разрез верхней части формации надстраивается на левом берегу р. Жуя, ниже зим. Кресты (см. рис. 3, XVII). Здесь выделяются следующие пачки.

	Мощность, м
1. Известняки серые, строматолитовые, образующие крупные биогермы. По простиранию им соответствуют лиловые онколито-оолитовые и зеленовато-серые кристаллические известняки	20
2. Известняки серые и лиловые, онколито-оолитовые, переслаивающиеся с зеленовато-серыми кристаллическими алевро-песчанистыми и строматолитовыми известняками. Встречаются песчаники	90
3. Известняки серые, иногда с розоватым оттенком, строматолитовые с прослойями лиловых онколито-оолитовых и зеленовато-серых алевро-песчанистых известняков и песчаников	55
4. Известняки серые, редко лиловые, онколито-оолитовые, переслаивающиеся с серыми песчаниками и алевро-песчанистыми известняками. В нижней части пачки и в кровле отмечались строматолитовые постройки	90
5. Доломиты светло-серые, онколито-оолитовые и строматолитовые с прослойями песчаников	35

Мощность формации на р. Жуе 870—890 м.

На р. Джелинда, у руч. Бестяк (см. рис. 3, XVIII), на лиловых мергелях и аргиллитах залегают следующие пачки.

	Мощность, м
1. Известняки лиловые, вверху серые, кристаллические, слабо глинистые	60
2. Известняки серые, кристаллические с прослойями строматолитовых известняков	15
3. Известняки серые, кристаллические, переслаивающиеся со строматолитовыми известняками	20
4. Известняки серые, строматолитовые, образующие крупные биогермы, с прослойями в средней части кристаллических и онколито-оолитовых известняков	95
5. Известняки серые, кристаллические и онколито-оолитовые с прослойями строматолитовых известняков	15
6. Известняки серые, онколито-оолитовые с прослойями зеленовато-серых кристаллических алевритистых известняков	30
7. Известняки серые и лиловые, строматолитовые и онколито-оолитовые, переслаивающиеся с зеленовато-серыми алевро-песчанистыми известняками и песчаниками	более 120

Видимая мощность 360 м.

На левом берегу р. Чара, против устья р. Бульджуней и на правом берегу в 1,5 км вниз по реке (см. рис. 3, XIX), в разрезе формации (верхняя часть торгинской свиты) выделяются следующие пачки.

	Мощность, м
1. Известняки серые, кристаллические, часто доломитистые с прослойями серых онколито-оолитовых известняков	30
2. Известняки серые, онколито-оолитовые, переслаивающиеся с серыми кристаллическими известняками. Отмечались прослои строматолитовых известняков	20
3. Известняки серые, крупноонколито-оолитовые	45
4. Известняки серые, строматолитовые, образующие очень крупные биогермы. Межбиогермное пространство заполнено онколито-оолитовыми известняками	60
5. Известняки серые, онколито-оолитовые, переслаивающиеся с кристаллическими и строматолитовыми известняками. Вверху строматолитовые известняки редки	55

Видимая мощность 220 м.

Далее на восток в торгинской свите более широко развиты доломиты и терригенные породы, а также сокращается мощность отложений [Журавлева и др., 1959; Хоментовский и др., 1972; Колесов, 1975 и др.]. Л. И. Салоп (1967) эти отложения рассматривает как типичную платформенную доломитовую формацию.

Из приведенного описания разрезов формации видно, что она достаточно четко подразделяется на нижнюю и верхнюю части. Нижняя сложена в основании главным образом кристаллическими, а вверху строматолитовыми известняками. Верхняя же представлена переслаиванием онколито-оолитовых, кристаллических и строматолитовых известняков с песчаниками и доломитами в кровле. Однако, несмотря на общность строения формации, разрезы юго-западной ветви существенно отличаются от разрезов юго-восточной. Так, в направлении от р. Лены до р. Витим формация претерпевает наибольшие существенные изменения, которые в нижней ее части, наиболее стабильной по составу, проявляются в том, что на р. Бол. Патом, у устья р. Бол. Таймендра, менее широко развиты строматолитовые известняки, а на р. Витим она представлена терригенно-карбонатными отложениями. В верхней части формации происходят еще более значительные изменения, заключающиеся в замещении карбонатных отложений преимущественно терригенными сначала в кровле верхней части формации (разрезы у устья р. Бол. Таймендра), далее ее нижних пачек (челонченские разрезы) при карбонатной верхней, а затем на р. Витим всей верхней части. Максимальные мощности фиксируются в низовых р. Бол. Патом (660 м), а минимальные (480—500 м) в членченских и тинновском разрезах.

При прослеживании формации в юго-восточной ветви прогиба в направлении от р. Лены до р. Чары установлено, что ее состав и строение остаются более или менее постоянными, но при этом изменяются мощности литологических подразделений. Так, во внутренней зоне прогиба (р. Жуя) резко (в 5 раз) увеличивается мощность пачки кристаллических известняков из нижней части формации по сравнению с тинновским разрезом, при сокращении мощности строматолитовых пачек. В восточной периферийной зоне прогиба, мощность пачки кристаллических известняков вновь резко уменьшается, а на р. Чаре эти известняки замещаются онколито-оолитовыми. В верхней части формации на значительных расстояниях одноименные пачки не прослеживаются, но последовательность их в общем остается постоянной. В целом для юго-восточной ветви прогиба устанавливается значительные колебания мощности формации. Наибольшая (890 м) зафиксирована во внутренней зоне прогиба. В периферийных зонах она значительно сокращается, особенно резко (от 890 до 360—400 м) в зоне соединения с Алданским щитом.

НАБОРЫ ПОРОД ЧЕНЧИНСКОЙ КАРБОНАТНОЙ РИФОГЕННОЙ ФОРМАЦИИ

При изучении ченчинской карбонатной рифогенной формации большое внимание уделялось выяснению взаимоотношений слагающих ее типов пород. Формация в основном сложена следующими породами: строматолитовыми известняками, зернистыми (онколитовыми, оолитовыми, микрокомковато-оолито-онколитовыми, интракластическими) известняками, кристаллическими (в том числе алевритисто-песчанистыми) известняками, сильноглинистыми известняками (известковыми мергелями), строматолитовыми и зернистыми доломитами, песчаниками, алевролитами и аргиллитами.

На основании послойного изучения ряда разрезов формации установлено, что перечисленные выше породы встречаются не хаотически, а определенным образом следуют друг за другом, образуя закономерные, часто повторяющиеся наборы пород. Для примера на рис. 4 показано строение разреза верхней части формации на р. Жуя. Таким же образом было выяснено строение и ряда других разрезов формации.

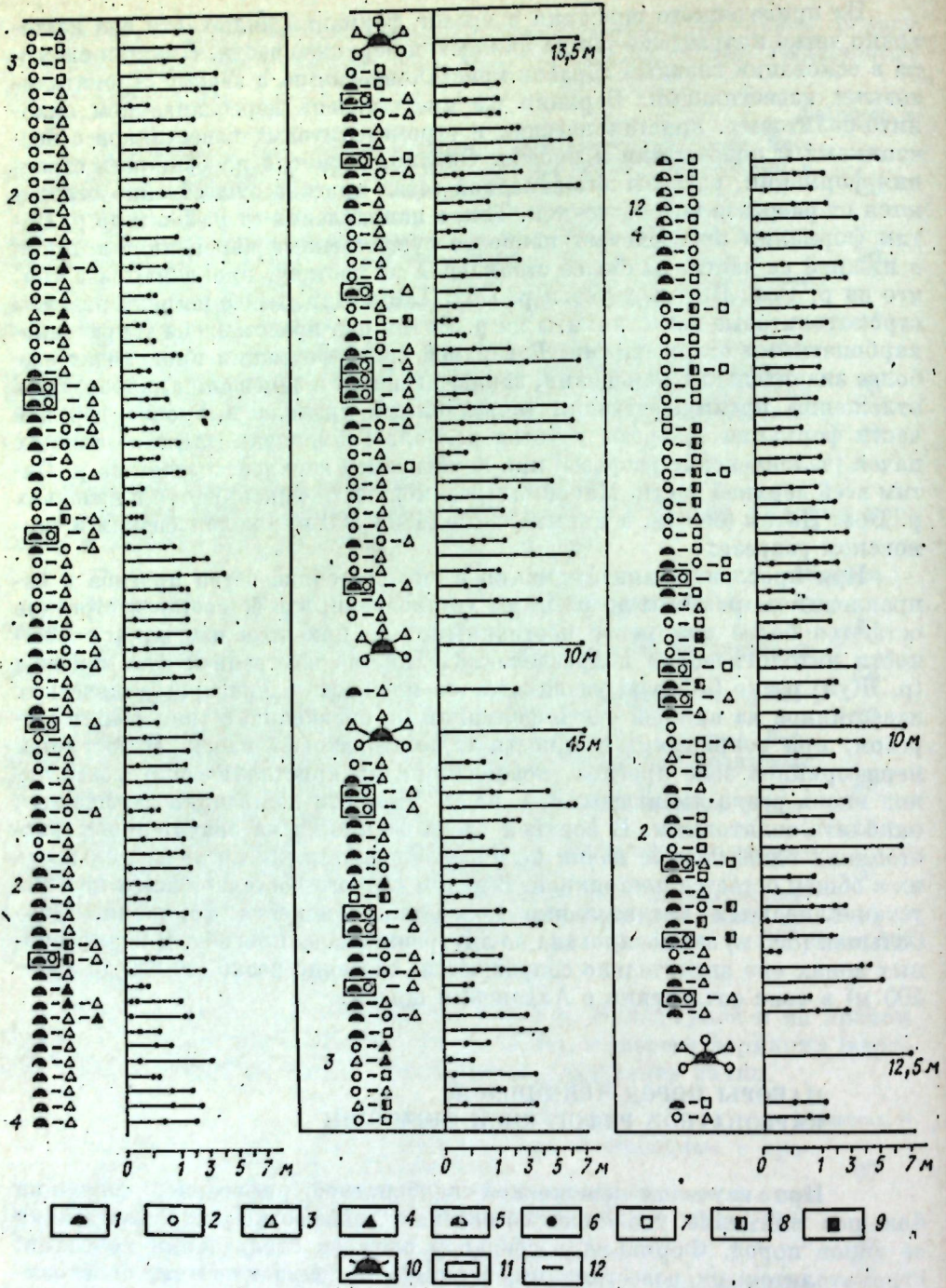


Рис. 4. Распределение наборов пород по разрезу верхней части ченчинской рифогенной формации на р. Жус.

1—9 — элементы наборов: 1—4 — известияки (1 — строматолитовые, 2 — зернистые, 3 — кристаллические, 4 — сильноглинистые), 5, 6 — доломиты (5 — строматолитовые, 6 — зернистые), 7 — песчаники, 8 — алевролиты, 9 — аргиллиты; 10 — обиогермные комплексы; 11, 12 — соотношения элементов (11 — латеральное, 12 — вертикальное). Горизонтальными отрезками показаны мощности элементов и наборов. Цифры слева от наборов показывают количество одинаковых по мощности наборов.

При выделении наборов мы исходили из анализа взаимоотношений конкретных типов пород. Например, при изучении взаимоотношений между зернистыми и строматолитовыми известияками отмечено, что строматолитовые известияки, залегающие, как правило, с резкой границей на крис-

таллических, перекрываются зернистыми, или же зернистые известияки заполняют межбиогермное пространство, т. е. можно предположить, что в процессе седиментации в первый момент образовывались биогермы, а затем, при дальнейшем формировании биогермов или после завершения их развития, каналы между ними заполнялись зернистыми известияками, которые имеют обычно биогенную природу. Эта закономерность отмечалась и другими исследователями [Королюк, 1968; Дольник, Воронцова, 1974]. Таким же образом рассматривались соотношения между другими породами.

В ченчинской рифогенной формации выделено 22 типа наборов. Они подразделяются на три группы: хемогенное-биохемогенное: хемогенное-биохемогенное-терригенное и терригенную*.

В хемогенную группу входят 10 типов наборов: 1) известияк строматолитовый — известияк кристаллический, 2) известияк строматолитовый — известияк зернистый — известияк кристаллический, 3) известияк строматолитовый — известияк зернистый, 4) известияк строматолитовый — известияк сильноглинистый — известияк кристаллический, 5) известияк строматолитовый — известияк сильноглинистый, 6) известияк строматолитовый — известияк зернистый — известияк сильноглинистый, 7) известияк зернистый — известияк кристаллический, 8) известияк зернистый — известияк сильноглинистый, 9) — известияк кристаллический — известияк сильноглинистый, 10) доломит строматолитовый — доломит зернистый.

Хемогенно-терригенная группа представлена 11 типами: 1) известияк строматолитовый — известияк зернистый — песчаник, 2) известияк строматолитовый — известияк зернистый — алевролит, 3) известияк строматолитовый — песчаник, 4) известияк зернистый — песчаник, 5) известияк зернистый — алевролит, 6) известияк зернистый — песчаник — алевролит, 7) известияк зернистый — алевролит — песчаник, 8) известияк зернистый — песчаник — известияк кристаллический, 9) известияк зернистый — аргиллит, 10) известияк кристаллический — алевролит и 11) доломит строматолитовый — песчаник.

В терригенической группе выделен лишь один тип набора: песчаник — алевролит.

Наборы, как видно, являются двух- или трехэлементными. В составе формации встречаются и четырехэлементные наборы пород (однако они редки).

Наиболее широко среди хемогенных наборов в формации распространены наборы типа известияк строматолитовый — известияк кристаллический (рис. 5, а). Они преобладают в нижней части формации, где встречаются практически во всех разрезах. Часто отмечались подобные наборы и в верхней части. Мощность набора изменяется от 0,3 до 8 м, но обычно равна 1—2 м. Второй элемент набора, как правило, более мощный. В своей нижней части соры, роже с лиловым оттенком, кристаллические известияки обогащены глинистым или алевритистым материалом. Выше количество этого материала уменьшается и верхняя часть второго элемента слагается относительно чистыми известияками, которые могут иногда включать цинракласти из известиякового состава от микроскопических размеров до галек. Кристаллические известияки наборов этого типа из верхней части формации содержат значительное количество терригенного материала. Они могут быть глинистыми, алевро-песчанистыми и алевро-песчаниками. В них отмечаются косая слоистость, линзы плоскогалечных конгломератов и другие признаки, свидетельствующие о мелководных с высокомощными

* В дальнейшем для краткости хемогенное-биохемогенные наборы пород будут называться хемогенными, а хемогенное-биохемогенное-терригенные — хемогене-терригенными.

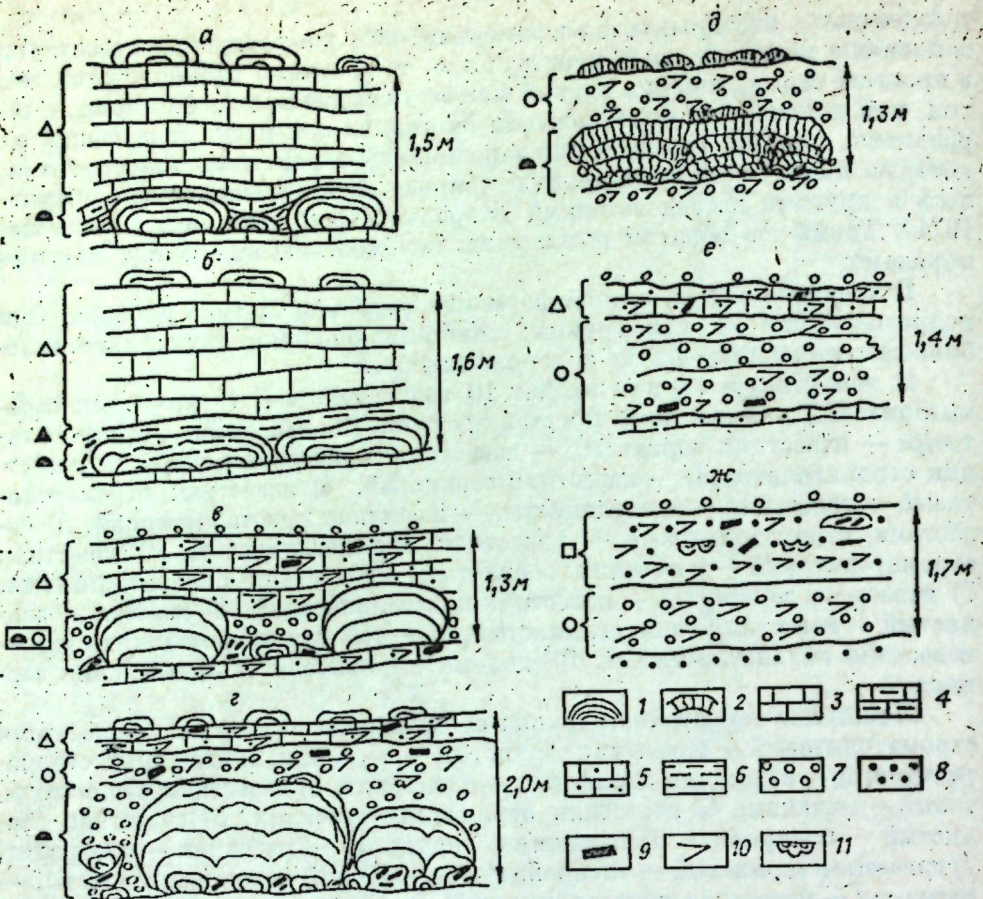


Рис. 5. Примеры строения некоторых типов наборов пород.

1, 2 — известники строматолитовые (1 — из нестолбчатых строматолитов, 2 — из столбчатых строматолитов); 3—6 — известники кристаллические (3 — относительно чистые, 4 — с примесью терригенного материала, 5 — алевро-песчаник (алевро-песчанистые), 6 — известковые мергели); 7 — зернистые известники; 8 — песчаники; 9 — плоские известниковые гальки; 10 — косая слоистость; 11 — следы течения осадка. а, б — нижняя часть формации: а — р. Лена, у дер. Тинная, б — р. Бол. Патом, у устья р. Бол. Тайменды; в, ж — верхняя часть формации: в — р. Жуя, у зим. Кресты, г — р. Лена, у дер. Тинная, б — р. Лена, против устья р. Бол. Патома, е — р. Жуя, у зим. Кресты, ж — р. Жуя, у зим. Кресты. Ост. усл. обозн. см. на рис. 4.

кой энергией среды условиях седиментации. Таким образом, эти наборы из верхней части формации отражают изменения условий осадконакопления, которые заключаются в увеличении количества привнесенного терригенного материала и возрастании гидродинамической активности, что, возможно, является следствием регрессивной направленности седиментационного процесса. Отметим, что в наборах из нижней части формации эта направленность не проявляется достаточно определенно. Можно лишь предполагать, что на рост строматолитов, которые формировались в несколько более глубоководных условиях, чем строматолиты из верхней части формации, влиял терригенный материал, вызывавший уменьшение прозрачности придонных вод, и как результат этого, — замедление процессов фотосинтеза и прекращение роста строматолитов.

Наборы типа известняк строматолитовый — известняк зернистый — известняк кристаллический широко распространены в верхней части формации и значительно реже отмечались в нижней. Среди наборов этого типа различаются две разновидности. Первая характеризуется, тем, что зернистые известники, имеющие (как и строматолитовые) фитогенную природу, располагаются на одном уровне со строматолитовыми породами, заполняя пространство между биогермами (см. рис. 5, в), причем зернистые известники не перекрывают наиболее крупные строматолитовые построй-

ки. Для второй разновидности характерно то, что зернистые известники, располагаясь между биогермами, в то же время и перекрывают их, занимая пространство по вертикали между строматолитовыми и кристаллическими известниками (см. рис. 5, г). Мощность таких наборов изменяется от 0,6 до 5 м, составляя в среднем 1—2,5 м. Соотношения между элементами различные. В одних случаях по мощности преобладают первые два элемента, в других — третий. Известники первых двух элементов характеризуются относительной чистотой, третий же содержит значительное количество терригенного материала. Для них характерны косая слоистость, следы взмучивания осадка и карбонатные интракласти. В целом эти наборы также фиксируют этапность уменьшения привноса терригенного материала в бассейн седиментации.

Наборы типа известняк строматолитовый — известняк зернистый встречаются преимущественно в верхней части формации. Мощность их изменяется от 0,5 до 5 м при средних значениях 2—2,5 м. Строматолитовые известники в них преимущественно столбчатые, а зернистые — косослоистые иногда с существенным содержанием доломита и терригенного материала (см. рис. 5, д). Механизм образования наборов этого типа представляется следующим образом. При формировании строматолитовых построек количество зернистого материала было минимальным или же зона образования построек была для него транзитной, поэтому он концентрировался лишь в межстолбиковом пространстве. Порционные привносы зернистого материала приводили к гибели водорослевых колоний и захоронению построек.

Наборы типа известняк строматолитовый — известняк сильноглинистый — известняк кристаллический отмечались в единичных случаях как в нижней, так и в верхней частях формации (см. рис. 5, б). Мощность их изменяется от 0,5 до 2,4 м. Мощность второго элемента, как правило, меньше первого и третьего, и только в двух случаях отмечались соизмеримые мощности элементов. Эти наборы можно рассматривать как крайний случай наборов типа известняк строматолитовый — известняк кристаллический, в которых нижняя часть второго элемента иногда содержит существенное количество глинисто-алевритистого материала.

Наборы типа известняк строматолитовый — известняк сильноглинистый крайне редко отмечались в нижней и верхней частях формации.

Их мощность изменяется от 0,2 до 0,6 м, достигая в одном случае 1,4 м. Первый элемент несколько мощнее второго.

Наборы типа известняк строматолитовый — известняк зернистый — известняк сильноглинистый встречены в верхней части формации. Мощность их варьирует от 0,4 до 0,8 м и только в одном случае достигает 4 м. Строматолитовый и зернистый элементы набора находятся на одном уровне, т. е. строматолитовые постройки перекрываются непосредственно сильноглинистыми известняками. Мощность первых двух элементов значительно больше третьего. Эти наборы можно рассматривать как частный случай наборов типа известняк строматолитовый — известняк зернистый — известняк кристаллический.

В верхней части формации довольно широко распространены наборы типа известняк зернистый — известняк кристаллический (см. рис. 5, е). Мощность их изменяется от 0,3 до 8 м, составляя в среднем 1,5—3 м. Мощность первого элемента, как правило, больше второго. Первый элемент представлен относительно чистыми известниками, а второй содержит существенное количество терригенного материала. Эти наборы также в общем случае отражают этапность уменьшения и усиления привноса терригенного материала.

Наборы типа известняк зернистый — известняк сильноглинистый редко отмечались в основании формации и иногда в ее верхней части.

Мощность их колеблется от 0,3 до 0,5 м и только в двух случаях достигает 1,2 м. Первый элемент несколько мощнее второго.

Наборы типа известняк кристаллический — известняк сильноглинистый приурочены к основанию формации. Мощность наборов редко превышает 0,5 м и только в исключительных случаях достигает 1 и даже 17 м. Первый элемент практически всегда мощнее второго. Эти наборы образовались, по-видимому, в условиях постоянной скорости седиментации карбонатного материала при периодическом увеличении количества привнесенного глинистого вещества.

Наборы типа доломит строматолитовый — доломит зернистый встречаются только в доломитовой пачке, выносящей разрез формации. Мощность наборов изменяется от 0,7 до 3 м. Второй элемент в большинстве наборов мощнее первого. Образовались они в таких же условиях, как и наборы типа известняк строматолитовый — известняк зернистый.

Хемогенно-терригенные наборы установлены лишь в верхней части формации. Наиболее часто среди них встречаются наборы типа известняк зернистый — песчаник (см. рис. 5, ж). Их мощность изменяется в широких пределах от 0,4 до 9 м, достигая в одном случае 17,7 м, при средних значениях от 1 до 3,5 м. В наиболее мощных наборах первый элемент мощнее.

Довольно часты и наборы типа известняк строматолитовый — известняк зернистый — песчаник, которые приурочены к верхам формации. Среди них выделяются две разновидности. В первой зернистые и строматолитовые известняки находятся на одном уровне и строматолитовые постройки перекрываются песчаниками, а во второй между строматолитовыми известняками и песчаниками залегает слой зернистых известняков. Мощность наборов варьирует в пределах от 1 до 5,2 м, достигая в одном случае 20 м. Обычно первые два элемента мощнее третьего. В самом мощном наборе, который представлен второй разновидностью, мощность песчаников 10 м, зернистых известняков — 9,5, а строматолитовых — 0,5 м.

Сравнительно часто отмечались наборы типа известняк строматолитовый — песчаник. Мощность их колеблется от 0,5 до 4,5 м при средних значениях 1,2—2,5 м. В большинстве наборов более мощный первый элемент.

Остальные наборы хемогенно-терригенной группы (известняк строматолитовый — известняк зернистый — алевролит, известняк зернистый — алевролит, известняк зернистый — песчаник — алевролит, известняк зернистый — алевролит — песчаник, известняк зернистый — песчаник — известняк кристаллический, известняк зернистый — аргиллит, известняк кристаллический — алевролит и доломит строматолитовый — песчаник) отмечались крайне редко. Мощность их изменяется от 0,35 до 4 м, достигая иногда 5,5 и даже 8 м.

Как видно, хемогенно-терригенные наборы в большинстве случаев состоят из карбонатных элементов, имеющих обычно фитогенное происхождение, и терригенных элементов. Они образовались в результате пульсационного привноса терригенного материала, который мешал широкому наклению фитогенных карбонатов.

Терригенные наборы типа песчаник — алевролит распространены ограниченно. Они характерны для верхней части формации ченочепских и витимского разрезов. Мощность их варьирует в очень широких пределах — от 0,05—0,1 до 7—8 м при средних значениях 0,5—2 м. Наборы этого типа, для которых характерны молководные условия образования, отражают изменение (резкое или постепенное в зависимости от характера границ между элементами) энергии среды седиментации при активном привносе терригенного материала.

При изучении ченчинской карбонатной рифогенной формации особое внимание уделялось выяснению особенностей пространственного взаимоотношения наборов пород друг с другом. Были установлены разнообразные формы сочетания наборов. Некоторые из них распределяются хаотически, а последовательно следуют друг за другом, образуя целые сообщества однотипных наборов. Сообщества слагаются хемогенными, хемогенно-терригенными и терригенными наборами. Из 22 выделенных наборов сообщества образуют только 13; для остальных 9 типов такая форма сонахождения пехарактерна. Интересно, что из 10 хемогенных наборов 8 образуют сообщества, а из 11 хемогенно-терригенных — только 4. Остальные типы наборов не образуют сообщества, и их можно рассматривать как второстепенные для ченчинской рифогенной формации в отличие от основных (образующих сообщества) наборов. Сообщества образуют преимущественно двухэлементные наборы, из 13 образующих сообществ наборов лишь 3 являются трехэлементными. К ним относятся следующие наборы: хемогенные (известняк строматолитовый — известняк кристаллический; известняк строматолитовый — известняк зернистый — известняк кристаллический; известняк строматолитовый — известняк зернистый; известняк строматолитовый — известняк сильноглинистый — известняк кристаллический; известняк зернистый — известняк сильноглинистый; известняк кристаллический — известняк сильноглинистый; доломит строматолитовый — доломит зернистый), хемогенно-терригенные (известняк строматолитовый — известняк зернистый — песчаник; известняк зернистый — песчаник; известняк зернистый — алевролит; доломит строматолитовый — песчаник-алевролит).

Остановимся на характеристике сообществ. Данные о их строении и распространении приводятся по следующим разрезам: жуинским (см. рис. 3, XVI, XVII), ленским (см. рис. 3, IX, XII), большепатомским (см. рис. 2, III, V).

Наиболее распространены сообщества, образованные наборами типа известняк строматолитовый — известняк кристаллический. Они широко развиты в нижней части формации. Всего выделено 55 таких сообществ. Мощность их колеблется в широких пределах — от 1,5 до 48,9 м, но в большинстве случаев составляет 2—10 м. Количество наборов, входящих в сообщество, изменяется от 2 до 27 при средних значениях 2—7. Интересно, что в нижней части формации сообщества имеют большую мощность, а также большее число входящих в них наборов, чем в верхней.

Второе место по распространению занимают сообщества, сложенные наборами типа известняк кристаллический — известняк сильноглинистый. Они характерны для низов нижней части формации. В верхней части подобные сообщества отмечались в единичных случаях только в разрезе на р. Лено против устья р. Бол. Патом. Мощность их варьирует от 0,4 до 46 м при средних значениях 2—10 м. Количество наборов изменяется от 3 до 68, составляя в среднем 10—30. Для таких сообществ характерна практическая прямая зависимость мощности сообществ от количества входящих в них наборов.

Довольно часто (25 раз) встречаются сообщества, образованные трехэлементными наборами типа известняк строматолитовый — известняк зернистый — известняк кристаллический. Приурочены они преимущественно к верхней части формации. Мощность их варьирует от 1 до 10,7 м при средних значениях 2—5 м, а число наборов составляет 2—3, редко 4—5. Мощность сообществ зависит от мощности образующих их наборов.

Сообщества, образованные наборами типа известняк строматолитовый — известняк зернистый, встречаются относительно редко и, как правило, лишь в верхней части формации. Чаще всего они отмечались в разрезе на р. Лене, против устья р. Бол. Патом. Единичные сообщества встречены в тикновском и жуинском разрезах. Мощность их изменяется от 3 до 19 м. Число наборов равно 2—3, и только в двух случаях — 8. Мощность сообществ зависит от количества наборов.

Остальные хемогенные сообщества встречаются очень редко. Например, сообщества из наборов известняк зернистый — известняк сильно-глинистый отмечались всего 2 раза: в нижней части формации в разрезе у устья р. Бол. Таймендра и в верхней части формации в разрезе против устья р. Бол. Патом. Количество наборов равно 2, а мощность 3,8 и 2,2 м соответственно. В последнем разрезе зафиксировано сообщество из трехэлементных наборов типа известняк строматолитовый — известняк сильно-глинистый — известняк кристаллический. Мощность его 3,3 м, а число наборов 2.

Доломитовые сообщества, сложенные наборами типа доломит строматолитовый — доломит зернистый, встречаются в тех разрезах, где обнажена верхняя доломитовая пачка формации. Всего встречено 3 таких сообщества мощностью 4, 8, и 24 м. Количество наборов в первых двух равно 4, а в третьем — 12.

Среди хемогенно-терригенных сообществ наиболее часто встречались сообщества, образованные наборами типа известняк зернистый — песчаник. Они характерны только для верхней части формации. Мощность их варьирует в очень широких пределах — от 0,8 до 22,6 м при средних значениях 2—10 м. Количество наборов 2—3 и только в одном случае — 5. Мощность сообществ зависит от мощности образующих их наборов. Остальные сообщества, образованные хемогенно-терригенными наборами, отмечались по одному разу. Количество наборов в них не превышает 3, а мощность равна 3,3—8,7 м. Все они встречены лишь в верхней части формации.

Терригенные сообщества, состоящие из наборов типа песчаник — алевролит, характерны для верхней части формации членочёйского разреза, и лишь один раз сообщество этого типа отмечалось в разрезе на р. Жуя. Мощность сообщества в одном случае 34 м при 82 наборах. Мощность остальных изменяется от 2,5 до 26 м, а количество наборов — от 3 до 29.

Приведенные данные позволяют заключить, что породы в ченчинской рифогенной формации размещены не хаотически, а между ними существуют определенные взаимосвязи, которые выражаются закономерными часто повторяющимися наборами пород. Оказалось, что определенные типы наборов, многократно повторяясь, образуют сообщества. В настоящей статье мы не рассматривали особенности размещения и характер соотношения друг с другом разнотипных наборов и сообществ. Не останавливались мы и на вопросах, связанных с возможностью объединения наборов и сообществ в формационные таксономические единицы более высокого ранга. Все эти вопросы будут освещены в следующих публикациях.

ЛИТЕРАТУРА

Бобров А. К. Геология Предбайкальского краевого прогиба. М.: Наука, 1964. 227 с.
 Бобров А. К. Стратиграфия и палеогеография отложений докембрия Южной Якутии. Якутск: Якутское кн. изд-во, 1979. 128 с.
 Геологические формации докайнозойского чехла Сибирской платформы и их рудоносность. М.: Недра, 1974. 279 с.
 Головенок В. К. К стратиграфии северо-восточной окраины Патомского нагорья.— Вестник ЛГУ. Серия геол. и геогр., 1957, т. 4, № 24, с. 54—64.

- Дольник Т. А., Воронцова Г. А. Чеччинская свита Байкало-Патомского нагорья и ее органические остатки.— В кн.: Материалы по геологии Сибирской платформы и смежных областей. Иркутск: Вост.-Сиб. кн. изд-во, 1971, с. 145—166.

Дольник Т. А., Воронцова Г. А. Биостратиграфия верхнего докембрия и нижних горизонтов кембрия Северо-Байкальского и Патомского нагорий. Иркутск: Вост.-Сиб. кн. изд-во, 1974. 94 с.

Жарков М. А., Чечель Э. И. Отложения позднего докембра и кембрия в бассейне р. Чан (западный склон Северо-Байкальского нагорья).— Докл. АН СССР, 1964, т. 159, № 1, с. 85—88.

Журавлева З. А., Комар Вл. А., Чумаков И. М. Стратиграфические соотношения патомского комплекса с осадочными отложениями западного и северного склонов Алданского щита.— Докл. АН СССР, 1959, т. 128, № 5, с. 1026—1029.

Замараев С. М. Краевые структуры южной части Сибирской платформы. М.: Наука, 1967. 247 с.

Келлер Б. М. Тектоническая история и формации верхнего докембра. Общая геология. Т. 5. М., ВИНТИ, 1973. 120 с.

Клитин К. А., Павлова Т. Г., Постельников Е. С. Байкалиды юго-востока Сибири. М.: Наука, 1970. 143 с.

Колосов П. Н. Стратиграфия верхнего докембра юга Якутии. Новосибирск: Наука, 1975. 154 с.

Королюк И. К. Биогермные образования Западного Прибайкалья.— В кн.: Исследование рифы и методика их изучения. Свердловск, Уральский филиал АН СССР, 1968, с. 55—71.

Мокшанцев К. Б., Горишней Д. К., Гусев Г. С., Деньгин Э. В., Штех Г. И. Тектоническое строение Якутской АССР. М.: Наука, 1964. 291 с.

Работников В. Т. К вопросу о стратиграфии позднедокембрейских отложений бассейнов рек Джелинды и Богаукты.— Материалы по геологии и полезным ископаемым Якутской АССР. Якутск, 1962, вып. 10, с. 40—45.

Руженцев С. В., Чжан Бу-Чушь. О тектонике северных частей Патомского нагорья.— Изв. АН СССР. Серия геол., 1961, № 9, с. 37—48.

Салон Л. И. Геология Байкальской горной области. Т. 1. М.: Недра, 1964. 515 с.

Салон Л. И. Геология Байкальской горной области. Т. 2. М.: Недра, 1967. 699 с.

Трунов В. П. Корреляция верхнепротерозойских отложений Байкало-Патомского обрамления Сибирской платформы.— Бюл. МОИП. Новая серия. Отдел. геол., 1975. Т. L. Вып. 5, с. 28—38.

Хоментовский В. В., Шенфиль В. Ю., Якшин М. С. Байкальский комплекс Прибайкалья и его аналоги в Патомской зоне.— В кн.: Стратиграфия нижнего кембра и верхнего докембра юга Сибирской платформы. М.: Наука, 1969, с. 73—85.

Хоментовский В. В., Шенфиль В. Ю., Якшин М. С., Бутаков Е. П. Опорные разрезы отложений докембра и кембра Сибирской платформы. М.: Наука, 1972. 356 с.

Чумаков Н. М. К стратиграфии северной окраины Патомского нагорья.— Докл. АН СССР, 1956, т. III, № 4, с. 863—865.

Чумаков Н. М. Стратиграфия и тектоника юго-западной части Вилюйской впадины.— В кн.: Тектоника СССР. Т. 4. М.: Изд-во АН СССР, 1959, с. 345—462.

M. A. Жарков, С. Ф. Бахтурин

ПАЛЕОЗОЙСКИЕ БИТУМИНОЗНЫЕ КАРБОНАТНО-СЛАНЦЕВЫЕ ФОРМАЦИИ ВОСТОЧНОЙ СИБИРИ

Однозначного определения осадочных формаций с повышенным и высоким содержанием органического вещества в настоящее время не имеется. К ним относят разнообразные ассоциации пород, выделяющиеся под названием доманиковых, горючих сланцев, битуминозных, углеродистых, куонамского типа, граптолитовых сланцев, антраконитовых, баженовских или баженитов [Баженова и др., 1978; Бауков, 1956; Бескровный, Краснов, 1979; Лебедев и др., 1979; Геологические формации..., 1974; Геология месторождений..., 1968; Горючие сланцы, 1980; Гуляева и др., 1961; Девонские отложения..., 1958; Евтушенко, 1970, 1979; Евтушенко и др., 1969; Кабаньков, 1968; Котлуков, 1968; Максимова, 1970; Мирошников, 1956, 1959; Мирчиник, Мкртычян, 1975; Нестеров, 1979, 1980; Никифорова, 1965; Обут, Соболевская, 1964; Обут и др., 1968; 103

Розен и др., 1975; Савицкий и др., 1964; Салоп, 1967; Середа, 1967; Сидоренко и др., 1978; Созинов, Сидоренко, 1976; Страхов, 1939, 1960; Тесаков, 1981; Тихомиров, 1967; Ушатинский, 1981; Формации..., 1973; и др.). Некоторые из этих ассоциаций выделяются под названиями кукеритовые, шунгитовые, диктионемовые, кинельские сланцы, торбашиты, тасманиты, известково-глинистые-битуминозные толщи и др. [Бауров, Паап, 1978; Голдобина, Голубев, 1978; Горючие сланцы, 1980; Лоог, 1978; Калинин, Соколов, 1975; Котлуков, 1968; Порфириев и др., 1968; Страхов, 1963; и др.].

Наиболее характерными признаками всех этих ассоциаций, позволяющими объединить их в единую группу осадочных формаций, можно считать следующие: 1) повышенные содержания органического вещества от 1—3 до нескольких десятков процентов; 2) преимущественное распространение микро- и тонкозернистых, тонкослоистых и тонкоплитчатых, нередко сланцеватых пород; 3) преобладающее развитие темноцветных пород: черных, буровато-, синевато-черных, темно-серых и темно-коричневых; 4) присутствие одинаковых типов пород, среди которых наиболее часто встречаются разнообразные глины, глинистые, карбонатно-глинистые и глинисто-кремнистые сланцы, известняки, глинистые, кремнистые и глинисто-кремнистые известняки, силикаты.

Вместе с тем каждая конкретная ассоциация отличается от других теми или иными количественными соотношениями различных типов пород: большим или меньшим содержанием глинистых, карбонатных или кремнистых пород, преобладающим распространением сланцев, большим содержанием органического вещества — до десятков процентов на породу. Анализ имеющихся материалов по составу ассоциаций пород с повышенным и высоким содержанием органического вещества позволяет подразделить их на две большие группы: карбонатные и бескарбонатные. Первая группа характеризуется тем, что в ней карбонатные породы являются формацией образующими, т. е. содержатся в количестве более 5% от суммы всех слагающих ассоциации пород. Во второй же группе количество карбонатных пород не превышает 5% и они, как правило, являются акессорными. Более дробная классификация углеродистых формаций была предложена О. М. Розеном, Св. А. Сидоренко и Н. А. Созиновым [Розен и др., 1975; Созинов, Сидоренко, 1976], которые выделили четыре типа: терригенный, карбонатный, кремнистый, вулканогенно-кремнистый (карбонатный). Эти типы также могут быть объединены в карбонатную и бескарбонатную группы.

К карбонатной группе относятся многие хорошо изученные осадочные толщи, такие как доманиковая Волго-Уральской области, куонамская востока Сибирской платформы, Грин-Ривер, кукерского горизонта Эстонии и др. Для них характерно присутствие в качестве формаций образующих (кроме карбонатных) различных тонкозернистых, тонкослоистых и сланцеватых пород. Эти ассоциации мы выделяем как битуминозные карбонатно-сланцевые формации.

Широко развиты битуминозные карбонатно-сланцевые формации в составе палеозойских отложений Восточной Сибири. В настоящее время достаточно детально охарактеризованы только некоторые из них. В качестве примера можно привести куонамскую свиту и ее аналоги [Кембрий..., 1972; Кабаньков, 1968; Конторович, Савицкий, 1970; Евтушенко, 1979]. Однако другие формации того же состава описаны еще недостаточно. Нет характеристики состава слагающих их пород, особенностей пространственного и возрастного размещения, палеогеографических и палеотектонических условий их образования. Мы постараемся рассмотреть эти вопросы.

На территории Восточной Сибири можно выделить четыре палеозойских битуминозных карбонатно-сланцевых формаций: тинновскую по

периферии Патомского нагорья, куонамскую на севере и востоке Сибирской платформы, чамбийскую на северо-западе Сибирской платформы, таймырскую в центральных районах одноименного полуострова.

Тинновская формация охватывает нижнюю часть одноименной свиты, выделенной в 1941 г. А. А. Предтеченским в разрезах рек Лена, Мал. и Большой Патом. Подробная характеристика свиты приведена во многих работах [Журавлева, Комар, 1962; Бобров, 1964; Хоментовский и др., 1972; Жарков, Чечель, 1973; Колесов, 1975, 1977; Писарчик и др., 1975; Бахтуров, 1981; и др.]. В состав этой формации пами включается нижняя часть тинновской свиты. Представлена формация тонкоплитчатыми, тонкослоистыми породами черного, темно-серого и серого цвета с характерными сланцеватыми черными антрацитовидными крупнокристаллическими известняками и листоватыми черными аргиллитами, которые образуют отдельные пачки мощностью от 5—10 до 60 м [Жарков, Чечель, 1973; Бахтуров, 1981]. Наблюдаются в составе формации и пестроцветные породы: коричневато-бурые, зеленоватые, лиловые алевролиты, доломиты, мергели, также имеющие, как правило, тонкоплитчатую отдельность и листоватую текстуру. Среди битуминозных карбонатных пород тинновской формации можно выделить следующие типы: антрацитовидные, темно-серые тонкозернистые (нейснозернистые) глинистые и сферолитовые известняки. Эти породы, переслаиваясь с черными листоватыми аргиллитами, тонкослоистыми черными доломитами и алевролитами, либо образуют хорошо выделяющиеся в разрезе пачки, либо слагают отдельные прослои среди небитуминозных доломитов, мергелей, алевролитов и песчаников. В тинновской формации практически не встречаются кремнистые породы, и лишь в верхней ее части наблюдаются маломощные линзообразные тела кремней.

Формация распространена в полосе, опоясывающей узкой лентой внешнюю периферию зоны Патомского нагорья. Она протягивается с юго-запада на северо-восток от нижнего течения р. Витим и долины р. Большой Патом до р. Лены между устьями рек Джерба и Мал. Патом. В области Уринского антиклинария простирание полосы меняется на южное. В этом направлении она прослеживается в нижнем течении р. Жуи и в долине р. Чары.

В целом формация представляет собой узкое дугообразно вытянутое тело шириной 10—40 км и протяженностью около 700 км. Мощность тинновской формации колеблется от 80 м в бассейне р. Чары до 130 м на р. Лене вблизи устья р. Мал. Патом. Как в сторону центральных районов Сибирской платформы, так и во внутренние зоны Патомской складчатой области формация выклинивается. На северо-западе, севере и северо-востоке она ограничена терригенно-доломитовой толщей, а на востоке — доломитовой. Фациальные аналоги тинновской формации во внутренних участках Витимо-Патомской складчатой области однозначно установить не удается. По-видимому, здесь развиты терригенные толщи [Клитин и др., 1970].

На всей площади распространения тинновская битуминозная карбонатно-сланцевая формация подстилается мощной терригениной толщей, выделяемой многими исследователями в жербинскую свиту и в формацию кварцевых песчаников [Замараев, 1967; Салоп, 1967; Жарков, Чечель, 1973; Бобров, 1964; Геологические формации..., 1974], а перекрывается карбонатно-кремнистыми отложениями верхней части тинновской свиты. Возрастное положение тинновской формации остается до сих пор неясным. В последние годы большинство исследователей относят ее к венду [Хоментовский и др., 1972; Колесов, 1977].

Сedimentационный бассейн, в котором образовалась тинновская битуминозная карбонатно-сланцевая формация, находился между Сибирской платформой и Байкало-Патомской складчатой областью (рис. 1).

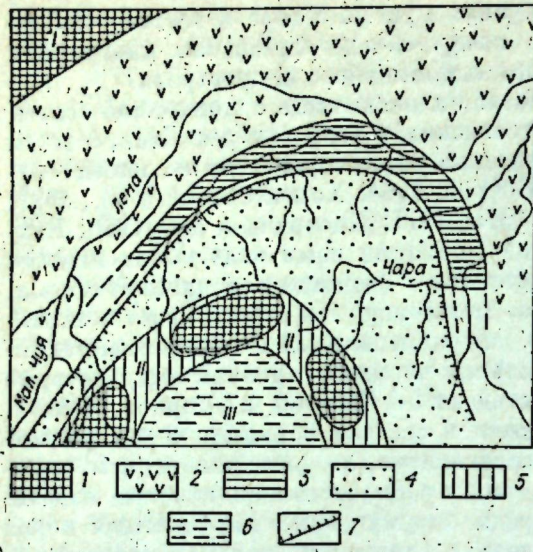


Рис. 1. Местоположение в седиментационном бассейне тинновской битуминозной карбонатно-сланцевой формации.

1 — суши; 2 — шельфовая зона с водоемами повышенной солености; 3 — глубоководная зона, в пределах которой накапливались битуминозные карбонатно-глинистые осадки; 4 — внешняя зона с преимущественно терригенным осадконакоплением; 5 — область распространения островов в центральной части Витимо-Патомского прогиба; 6 — открытое море нормальной солености; 7 — граница между Сибирской платформой и Байкало-Патомской складчатой областью. I — Тунгусская суши; II — зона поднятий в пределах Чуйского, Тонодского и других выступов; III — центральная часть Витимо-Патомского прогиба.

На севере бассейн ограничивался Тунгусской сушей, а на юге — системой островов, располагавшихся на месте древних поднятий Чуйского, Тонодского и других, отделявших бассейн от центральной части Витимо-Патомского прогиба. Битуминозные карбонатно-глинистые осадки накапливались в наиболее глубокой зоне этого бассейна. Севернее находилась шельфовая зона, в пределах которой располагались водоемы с повышенной соленостью и отлагались преимущественно доломитовые осадки. Южнее преобладало терригенное осадконакопление в результате поступления обломочного материала с островных областей сноса. Можно, таким образом, предположить, что образование тинновской формации происходило между зоной островной суши на юге и шельфовой зоной эпиконтинентального бассейна с повышенной соленостью на севере.

Куонамская формация объединяет отложения шуминской свиты, развитой на северо-западе платформы в Игарском районе [Савицкий и др., 1964; Конторович, Савицкий, 1970], куонамской, протягивающейся от бассейна р. Оленек на севере [Кабаньков, 1968] до Алданского щита на юге, и иниканской свиты Юдомо-Майского междуречья [Кембрий..., 1972].

Формация сложена глинисто-карбонатными и карбонатно-глинистыми отложениями, в разной степени обогащенными органическим веществом и аутогенным кремнистым материалом. Породы характеризуются темной (коричнево-черных тонов) окраской, четкой плитчатостью и сланцеватостью. Переслаиваются они со светлоокрашенными разновидностями, не обладающими сланцеватой текстурой и практически не обогащенными органическим веществом. В целом для куонамской формации характерны следующие типы пород: сапропелитовые аргиллиты и мергели (горючие сланцы), известняки и глинистые известняки, доломиты и глинистые доломиты. На северо-западе и юго-востоке Сибирской платформы в составе формации повышается содержание доломитов [Савицкий и др., 1964; Писарчик и др., 1975]. Органическое вещество содержится в породах разнообразных количествах. Максимальные его концентрации (до десятков процентов на породу) фиксируются в восточной зоне распространения формации в пределах Оленекского района, где горючие сланцы образуют прослои и пачки до нескольких метров. Содержание C_{org} в других районах не превышает в среднем 1–3% [Килина и др., 1968; Евтушенко, 1970; Кембрий..., 1972].

Формация распространена в полосе, протягивающейся более чем на 2500 км от Игарского района на северо-западе через современное При-

анабарье и бассейн р. Оленек до Алданского щита на юго-востоке (см. рис. 2). Ширина полосы колеблется от 150–200 до 600 км. Мощность формации достаточно выдержана по всей площади ее развития и составляет 50–70 м. Несколько большая мощность отмечается в северо-западных районах — до 125 м [Даценко, 1968].

К западу и юго-западу данная формация замещается толщей массивных известняков и доломитов, которая в свою очередь переходит в доломитовую. В бассейне р. Котуй эта толща выделяется в кызылскую формацию [Геологические формации..., 1974]. При этом резко возрастает мощность (от 40–50 до 250–600 м) [Сухов, Переладов, 1979]. Восточные фациальные аналоги куонамской формации известны только на юго-востоке, в верховьях р. Май, где наблюдается толща зеленых и серых брекчированных доломитов с прослоями песчаников [Ставцев и др., 1974].

На всей площади своего развития куонамская формация подстилается пестроцветными глинисто-карбонатными отложениями, выделяемыми в северо-западной части платформы в краснопорожскую свиту, на востоке и северо-востоке — еркекетскую, на юго-востоке — в пестроцветную. Пересякается она толщей серых, зелено-серых, иногда пестрых известняков и глинистых известняков, которые обособляются под названиями юнкулябит-юряхской, оленекской или усть-мильской свит [Кембрий..., 1972; Геологические формации..., 1974; Писарчик и др., 1975].

Возраст куонамской формации определяется как ранне-среднекембрейский (ленинский ярус нижнего кембра) — низы амгинского яруса среднего кембра.

Палеогеографические условия образования куонамской битуминозной карбонатно-сланцевой формации остаются до сих пор неясными. Однозначно установлено, что западнее и юго-западнее зоны образования куонамской формации располагался протяженный археоциатово-водорослевый карбонатный барьер, отделявший область накопления битуминозных карбонатных отложений от солеродного бассейна, занимавшего огромную площадь юго-западной части Сибирской платформы, до отрогов Енисейского кряжа, Восточного Саяна и Байкало-Патомской горной страны [Страхов, 1963; Жарков, 1966; Хоментовский, Репина, 1965; Писарчик и др., 1968, 1975; Конторович, Савицкий, 1970; Евтушенко, 1979]. Вместе с тем палеогеографические элементы, ограничивавшие куонамскую область седimentации на востоке, северо-востоке и севере, вызывают разногласия. Некоторые исследователи считают, что там находились зоны открытого моря нормальной солености [Писарчик и др., 1975], другие предполагают существование на этих территориях либо обширной области суши, либо системы островов, разделяющих область накопления битуминозных карбонатно-глинистых осадков от открытого моря нормальной солености [Жарков, 1970; Конторович, Савицкий, 1970; Кембрий..., 1972]. Последняя точка зрения представляется наиболее обоснованной. В соответствии с нею куонамская битуминозная карбонатно-сланцевая формация образовывалась в пределах своеобразной палеогеографической зоны Восточно-Сибирского седиментационного бассейна. Эта зона занимала промежуточное положение между грандиозным солеродным водоемом на юго-западе и открытым морем на востоке, северо-востоке и севере (рис. 2). Естественными границами зоны служили, с одной стороны, рифогенный барьер, а с другой — изолированные области суши, образующие систему островов.

Чамбинская формация объединяет отложения следующих свит лландоверийского возраста: чамбинской, угюкской и нижней части (40–50 м) омнугахской Норильского района, чамбинской и нижней части (60 м) угюкской Игарского района, чамбинской Курейского района, кайбатской западных и центральных участков Туруханского района, нижней части (4 м) кочумдекской и майероканская востока Тунгусского и

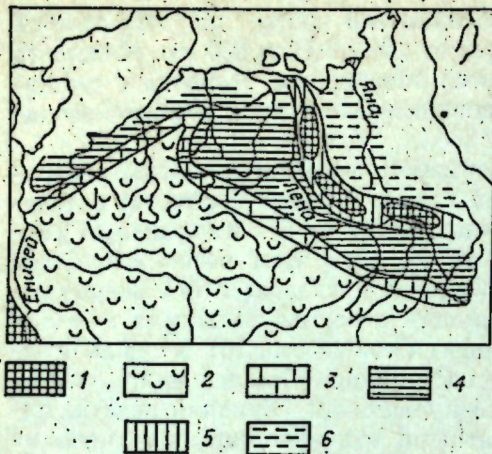


Рис. 2. Местоположение в седиментационном бассейне куонамской битуминозной карбонатно-сланцевой формации.

1 — суша; 2 — солеродный бассейн; 3 — барьерная зона развития археозиатово-водорослевых биогермов; 4 — зона образования битуминозных карбонатно-глинистых осадков; 5 — область распространения островов; 6 — открытое море, нормальной солнечности.

Майеронского районов и нижнюю
пачку (5 м) куондинской свиты Мор-
кокинского района [Сибирь..., 1979].

Представлена формация «черными и черно-серыми горизонтально-слоистыми аргиллитами, содержащими прослои и пачки черных и серых известняков и мергелей. В аргиллитах часто встречаются известняковые и циритовые конкреции. Эти породы содержат остатки грантолитов, головоногих, микрострекод и табулят, реже брахиопод и нередко выделяют-

ся как граптолитовые сланцы [Никифорова, 1965; Силур..., 1979]. Аргиллиты обогащены тонкодисперсным углистым органическим веществом (2–3%) и битумом (десятые доли процента) [Маркова, 1977; Силур..., 1980]. Подробная характеристика состава и строения формации приведена в двух капитальных сводках, посвященных описанию опорных разрезов силура Сибирской платформы [Силур..., 1979, 1980]. Согласно этим данным, в нижней части чамбийской формации преобладают аргиллиты, которые участвуют в строении пачек мощностью от 2–5 до нескольких десятков метров, сложенных граптолитовыми аргиллитами с известняковыми и пиритовыми конкрециями и маломощными прослойями известняков и мергелей. Тонкослоистость аргиллитов обусловлена скоплением углистого материала, иногда тонкозернистого кальцита и микроскопических остатков остракод. Прослои известняков и мергелей имеют мощность от долей до 2–3 см. Они, как правило, горизонтально- и волнистослоистые, редко микрослоистые. В верхней части формации распространены пачки многократно чередующихся плитчатых тонкозернистых глинистых известняков и мергелей с черными аргиллитами. Мощность таких пачек колеблется от 1 до 10 м. По данным Ю. И. Тесакова (1981), чамбийская битуминозная карбонатно-сланцевая формация соответствует граптолитовой катене, которая занимала северо-западную площадь силурий-

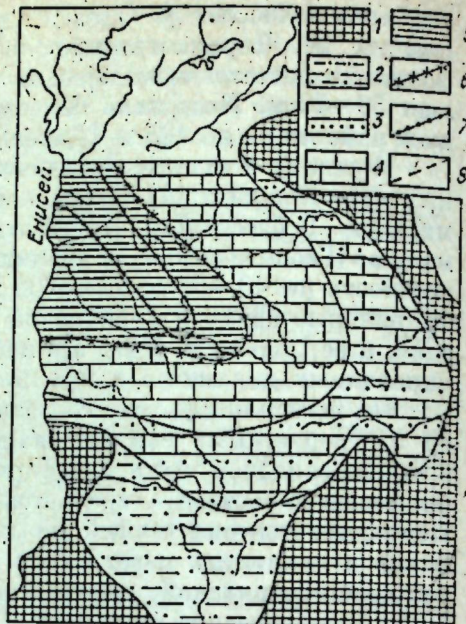


Рис. 3. Местоположение в седиментационном бассейне чамбийской битуминозной карбоатно-сланцевой формации.

1 — суши; 2, 3 — прибрежные зоны бассейна с периодически повышающейся соленостью (2 — область распространения преимущественно терригенных осадков, 3 — область развития терригенно-карбонатных осадков); 4 — область преимущественно карбонатного осадконакопления, в пределах которой формировались водорослево-известково-доломитовые, биогермные, кораллово-известниковые, ракушняково-мергельные и брахиоподово-известниковые комплексы; 5 — максимальная область распространения битуминозных карбонатно-глинистых осадков в раннемойерканское время; 6—8 — границы распространения битуминозных карбонатно-глинистых осадков [Тесаков, 1981] (6 — раннемойерканское время, 7 — хаастырское время, 8 — агидское время).

ского седиментационного бассейна и характеризовалась глинистыми группами с пятнами карбонатных илов. Определяющее значение в биокатене занимали планктонные граптолитовые биоценозы. Донные биоценозы были представлены единичными поселениями брахиопод, пелепицпод и очень редко табулят.

Площадь распространения чамбийской формации охватывает северо-западную часть Сибирской платформы от междуречья Нижней и Подкаменной Тунгусок на юго до Енисей-Хатангского прогиба на севере. Восточная граница проходит в верховьях рек Вилой, Котуй и Хета. На западе и северо-западе граница формации не установлена. Вполне вероятно, что битуминозные карбонатно-сланцевые отложения простираются как в пределы прилегающих районов Западно-Сибирской плиты, так и в Хатангский прогиб. Установленная в настоящее время площадь составляет примерно 400—450 тыс. км². Мощность формации изменяется от 250 м в Норильском районе до нескольких метров в Тунгусском и Мойеронском. По направлению с северо-запада на юг, юго-восток и восток формация выклинивается. Она замещается карбонатной толщей сложного состава и строения. Как показали исследования Н. Н. Предтеченского и Ю. И. Тесакова (1979), внутри карбонатной толщи выделяются шесть комплексов отложений, сменяющих друг друга в направлении от центральных к окраинным прибрежным зонам бассейна: 1) трилобитово-известниково-аргиллитовый, 2) брахиоподово-комковато-известняковый, 3) ракушняково-мергельный, 4) кораллово-комковато-известняковый, 5) биостромный, 6) водорослево-известняково-доломитовый. Эта карбонатная толща отделяет область распространения чамбийской битуминозной карбонатно-сланцевой формации от шельфовой прибрежной зоны силурийского эпиконтинентального бассейна, в пределах которой регулярно возникали водоемы с повышенной соленостью. Граница между карбонатной толщей и чамбинской формацией во времени не оставалась постоянной, а смешалась в северо-западном направлении (рис. 3). В соответствии с этим происходило смещение на северо-запад площади развития карбонатной толщи и расширялась шельфовая зона с водоемами повышенной соленостью.

Западное и северо-западное ограничения формации в настоящее время четко не установлены. Можно лишь предполагать, что где-то далеко на севере и северо-западе должны существовать островные участки суши, которые отделяли Средне-Сибирский седиментационный бассейн от открытого моря нормальной солености.

Таймырская формация объединяет битуминозные карбонатно-сланцевые отложения ордовика, силура и девона, протягивающиеся полосой (до 130—150 км) субширотного направления в центральной части полуострова Таймыр от Паяннского залива на западе до залива Фаддей на востоке на расстояние более 1000 км. Подробная характеристика отложений была приведена В. И. Бондаревым, С. В. Черкесовой (1967), К. К. Демокидовым (1965), Н. М. Злобиным (1962, 1965), Л. Д. Мирошиковым (1959), А. М. Обутом, Р. Ф. Соболевской (1964), Ю. Е. Погребицким (1971), Е. С. Рабиханукаевой (1977), С. В. Черкесовой (1965, 1967). Слагают формацию темно-серые и черные глинистые сланцы, тонкослоистые часто окремненные аргиллиты, глинистые известняки и доломиты. Иногда наблюдаются прослои зеленовато-серых сланцев, мергелей, доломитизированных известняков, доломитов, известковистых алевролитов, конкреции и прослои (0,05 м) кремней. Породы содержат многочисленные остатки граптолитов. В силурской части формации среди граптолитовых сланцев появляются прослои темно-серых штероподовых известняков, которые наиболее широко развиты в верхах формации, особенно в северо-западных районах Таймыра, на территории от Енисейского побережья до верховьев р. Лепивой. В верхнедевонской части формации встречаются

прослои известковистых песчаников. Породы обогащены органическим веществом. В грантолитовых сланцах среднего ордовика Восточного Таймыра содержание C_{org} достигает 4,65% [Рабиханукаева, 1977]. Содержание тонкодисперсного твердого битума в породах верхнего силура северо-западных районов Таймыра изменяется от 1 до 4% [Погребицкий, 1971].

Мощность формации колеблется от 1200—1300 м в Восточном Таймыре до 1800 м в междуречье Пясина — Нижняя Таймыра.

Фациальные аналоги таймырской битуминозной карбонатно-сланцевой формации устанавливаются только на юго-востоке Таймырского полуострова. Здесь распространена карбонатная толща, сложенная известняками, доломитистыми известняками и доломитами. В ее составе нередко присутствуют кораллово-строматопоровые и другие органогенные породы. Мощность карбонатной толщи колеблется от 2500 до 4000 м. Граница между таймырской формацией и карбонатной толщей со временем сместилась на запад и северо-запад. Юго-западные фациальные аналоги таймырской формации остаются неизвестными. Вполне вероятно, что в этом направлении битуминозная карбонатно-сланцевая формация погружается в пределы Хатангского прогиба, затем протягивается в северо-западные районы Сибирской платформы, где, возможно, соединяется с чамбийской формацией раннего силура. Если это предположение окажется верным, как считают Ю. Е. Погребицкий (1971) и Ю. И. Тесаков (1981), то возможно объединение таймырской и чамбийской формаций в единую битуминозную карбонатно-сланцевую формацию сложной конфигурации с максимальными мощностями в районах Центрального Таймыра. На севере и северо-западе границы таймырской формации остаются неопределенными, здесь, может быть, находилась серия островов, которые ограничивали Таймырский эпиконтинентальный седиментационный бассейн от открытого моря нормальной солености, располагавшегося еще дальше на севере.

Таким образом, выясняется, что таймырская битуминозная карбонатно-сланцевая формация могла занимать такое же палеогеографическое положение, как и куонамская формация севера и востока Сибирской платформы. Она образовалась, по-видимому, между системой островов на севере и областью карбонатной седиментации на юго-востоке (рис. 4). Последняя отделяла зону накопления битуминозных карбонатно-глинистых осадков от прибрежных зон бассейна с повышенной и высокой соленостью, где осаждались доломитовые и гипсонасные осадки в течение силура и даже соленосные отложения в девоне.

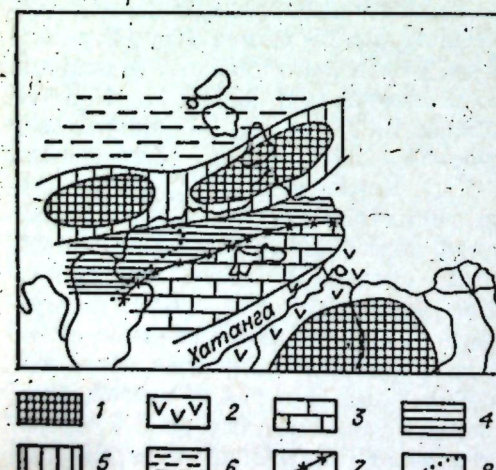


Рис. 4. Местоположение в седиментационном бассейне таймырской битуминозной карбонатно-сланцевой формации.

1 — суши; 2—4 — Таймырский седиментационный бассейн (2 — прибрежная зона с водосмарами повышенной и высокой солености; 3 — область преимущественно карбонатного осадконакопления; 4 — зона образования битуминозных карбонатно-глинистых осадков); 5 — область распространения островов; 6 — открытое море нормальной солености; 7, 8 — границы распространения битуминозных карбонатно-глинистых осадков (7 — ордовик и силур, 8 — девон).

Приведенная краткая характеристика палеозойских битуминозных карбонатно-сланцевых формаций, распространенных на территории Восточной Сибири, позволяет сравнить их между собой, выяснить специфику состава, закономерности палеогеографического и палеотектонического положения.

Можно сказать, что в палеозойскую эпоху на территории Восточной Сибири почти непрерывно в каком-либо районе накапливались битуминозные карбонатно-глинистые отложения. Вместе с тем значительные их скопления в виде самостоятельных более или менее мощных и широко распространенных осадочных серий образовывались в течение трех этапов: 1) в конце венда, когда по периферии Патомского нагорья накопилась тинновская битуминозная формация; 2) во второй половине раннего и первой половине среднего кембрия, когда на огромной территории севера и востока Сибирской платформы образовалась куонамская битуминозная формация; 3) в ордовике, силуре и девоне, когда областью битуминозной карбонатно-глинистой седиментации являлись территории северо-запада Сибирской платформы и Таймыра, где образовались чамбийская и таймырская битуминозные формации.

Можно отметить следующие особенности этих четырех битуминозных карбонатно-сланцевых формаций.

1. Для всех формаций характерно преимущественное распространение тонкозернистых тонкослоистых темноцветных пород, содержащих повышенные количества органического вещества. Наиболее широко развиты аргиллиты, глинистые сланцы, а также разнообразные карбонатные породы. Парагенез карбонатных и глинистых пород является всеобщим для всех этих формаций, и поэтому они относятся нами к типу битуминозных карбонатно-сланцевых.

2. Несмотря на общее значительное сходство, каждая конкретная битуминозная карбонатно-сланцевая формация имеет специфические особенности, позволяющие установить своеобразные черты ее состава. Так, тинновскую формацию отличают характерные только для нее тонкоплитчатые черные крупнокристаллические антрацитовидные известняки. В куонамской формации широко развиты на северо-востоке Сибирской платформы в бассейне р. Оленёк черные тонкослоистые и листоватые горючие сланцы. В чамбийской и таймырской формациях присутствуют черные грантолитовые сланцы.

Различаются битуминозные формации между собой по содержанию кремнезема и кремнистых пород. Максимальные количества кремнистых пород отмечаются в куонамской и таймырской формациях, а минимальные — в тинновской и чамбийской. Довольно сильно отличаются формации и по содержанию в породах органического вещества: в куонамской формации его концентрация достигает десятков процентов на породу, в остальных она составляет обычно доли, реже первые проценты.

3. Существенно различаются между собой палеозойские битуминозные карбонатно-сланцевые формации Восточной Сибири по мощности и площади распространения. Наименьшая мощность у куонамской формации. Как правило, она не превышает 50—70 м и лишь на северо-западе Сибирской платформы достигает 125 м. Однако вполне вероятно, что разрезы с такими мощностями принадлежат окраинным участкам формации в зоне перехода к карбонатным толщам. Тинновская формация колеблется в среднем в пределах 100—130 м. Гораздо превышает ее по мощности чамбийская формация, которая достигает 250 м в северо-западных глубоких участках седиментационного бассейна. Максимальной мощностью обладает таймырская формация — от 1200 до 1800 м. Наибольшими мощностями характеризуются битуминозные формации среднего палеозоя, в составе которых присутствуют черные грантолитовые сланцы, а наименьшими — тинновская и куонамская формации, отличающиеся развитием горючих сланцев и антрацитовидных известняков.

Максимальную площадь развития имеет куонамская битуминозная формация. Она достигает приблизительно 700—750 тыс. км². Установленная площадь распространения тинновской формации 20 тыс. км², чамбинской — 400—450 тыс. км², таймырской — 100 тыс. км². Из этих цифр видно, что области формирования битуминозных карбонатно-сланцевых отложений занимали огромную территорию осадочных бассейнов палеозоя, вполне соизмеримую с другими литолого-фациальными зонами седиментации.

4. Определенные черты сходства намечаются в палеогеографическом положении рассмотренных битуминозных карбонатно-сланцевых формаций. Наиболее однозначно устанавливается их размещение вдоль либо прибрежных зон с водоемами повышенной и высокой солености, либо вдоль солеродных бассейнов. Они всегда отделялись от этих зон различной по ширине областью карбонатного осадконакопления, в пределах которой периодически формировались разнообразные органогенные постройки: биогермы и рифогенные сооружения.

Внешние ограничения областей образования битуминозных карбонатно-глинистых осадков остаются недостаточно определенными. Имеющиеся по этому вопросу данные позволяют предположить, что здесь, по-видимому, располагались системы островов, отделявшие относительно глубоководные области карбонатно-глинистой седиментации от открытого моря нормальной солености. В целом же можно сказать, что битуминозные карбонатно-сланцевые формации Восточной Сибири образовывались в той части палеозойских седиментационных бассейнов, которая располагалась между открытым морем нормальной солености и эпиконтинентальными водоемами, периодически становившимися эвапоритовыми.

Подобное промежуточное положение карбонатно-глинистого осадконакопления было особенно благоприятным для интенсивного развития органического мира, поскольку в этой промежуточной зоне происходила непрерывная односторонняя циркуляция морской воды в сторону эвапоритовых бассейнов, вследствие чего хорошо промытые участки мелководья в пределах барьерных зон могли являться районами активного развития жизни. Вдоль внутренней окраины промежуточной зоны создавались благоприятные условия для обитания колониальных организмов, и именно здесь возникали рифогенные и иные карбонатные сооружения. Циркуляция воды способствовала последующему образованию здесь битуминозных осадков [Жарков, 1971].

5. Палеотектоническое положение палеозойских битуминозных карбонатно-сланцевых формаций весьма сходное. Они, как правило, приурочены к окраинным участкам платформы, пограничным к прилегающим геосинклинальным областям. Такое положение занимали тинновская и таймырская формации. Принципиально аналогичное местоположение занимали куонамская и чамбинская формации. Однако они были более широко распространены и заходили далеко в пределы внутренних районов Сибирской платформы.

ЛИТЕРАТУРА

- Баженова Т. К., Ивановская А. В., Ипатов Ю. И., Макаров К. К., Шуменкова Ю. М., Драгунов В. И., Титов В. К. Углеродистые толщи верхнего докембра и нижнего палеозоя Сибирской платформы (литолого-геохимические особенности, условия формирования, некоторые черты металлогенеза). — В кн.: Углеродистые отложения докембра и нижнего палеозоя и их рудоносность. Фрунзе: Илим, 1978, с. 49—50.
- Бауков С. С. Геотектонические условия сланценакопления. — Труды Ин-та геологии АН ЭССР, 1956, т. 1, с. 95—104.

- Бауков С. С., Паап А. А. О природе керогена кукерсита. — В кн.: Углеродистые отложения докембра и нижнего палеозоя и их рудоносность. Фрунзе: Илим, 1978, с. 116—119.
- Бахтуров С. Ф. Битуминозные карбонатные породы тинновской свиты периферии Балтского нагорья. — Геол. и геофиз., 1981, № 6, с. 132—135.
- Бескровный И. С., Краснов С. Г. Нефтегазоносность, геохимическая характеристика и условия образования битуминозных сланцев. М.: Недра, 1979. 44 с.
- Бобров А. К. Геология Предбайкальского краевого прогиба. Строение и перспективы нефтегазоносности. М.: Наука, 1964. 228 с.
- Бондарев В. И., Черкесова С. В. Ордовикские и силурийские отложения Таймыра. — В кн.: Стратиграфия палеозоя Средней Сибири. Новосибирск: Наука, 1967, с. 68—73.
- Геологические формации докайнозойского чехла Сибирской платформы и их рудоносность. М.: Недра, 1974. 279 с.
- Геология месторождений угля и горючих сланцев СССР. Т. II. Горючие сланцы СССР. М.: Недра, 1968. 608 с.
- Голдобина Л. П., Голубев А. И. Геохимия малых элементов, вещественный состав, углерод и рудообразование шунгитовых пород Южной Карелии. — В кн.: Углеродистые отложения докембра и нижнего палеозоя и их рудоносность. Фрунзе: Илим, 1978, с. 101—102.
- Горючие сланцы. Л.: Недра, 1980. 262 с.
- Гуллева А. В., Завьялов В. А., Поделько Е. Я. Геохимия доманиковых отложений Волго-Уральской области. М.: Изд-во АН СССР, 1961. 104 с.
- Даценко В. А. Верхний протерозой Норильского района. — В кн.: Геология и полезные ископаемые Норильского горнопромышленного района. Норильск, 1968, с. 20—21.
- Девонские отложения центральных областей Русской платформы. Л.: Гостоптехиздат, 1958. 405 с.
- Демокидов К. К. Таймырская складчатая область. — В кн.: Стратиграфия СССР. Кембрийская система. М.: Недра, 1965, с. 367—370.
- Евтушенко В. М. Литолого-геохимические и битуминологические особенности и условия формирования отложений куонамского типа кембра восточной части Сибирской платформы. Автореф. канд. дис. Иркутск, 1970. 21 с.
- Евтушенко В. М. Условия формирования отложений доманикового типа кембра Сибирской платформы. — Геол. и геофиз., 1979, № 6, с. 8—15.
- Евтушенко В. М., Конторович А. Э., Малюшко Л. Д., Савицкий Л. Д., Шишкун Б. Б. Основные черты геохимии и литологии отложений куонамского типа кембра Сибирской платформы. — В кн.: Литология и осадочные полезные ископаемые Сибирской платформы. Новосибирск, 1969, с. 72—75.
- Жарков М. А. Кембрийская соленосная формация Сибирской платформы. — Сов. геология, 1966, № 2, с. 32—45.
- Жарков М. А. Условия формирования соленосных отложений Сибири и перспективы их дальнейшего изучения. — В кн.: Состояние и задачи советской литологии. Т. 3. М.: Наука, 1970, с. 40—48.
- Жарков М. А. О промежуточных бассейнах эпохи соленакопления и парагенетической связи с соленосными сериями нефтяных и газовых месторождений. — В кн.: Проблемы нефтегенерации Сибири. Новосибирск: Наука, 1971, с. 163—185.
- Жарков М. А., Чечель Э. И. Осадочные формации кембра Ангаро-Ленского прогиба. Новосибирск: Наука, 1973. 237 с.
- Журавлев А. А., Комар Вл. А. К стратиграфии рифей (сниня) Ангарского массива. — Докл. АН СССР, 1962, т. 144, № 1, с. 197—200.
- Замараев С. М. Краевые структуры южной части Сибирской платформы. М.: Наука, 1967. 247 с.
- Злобин И. М. Силурийские и девонские отложения Восточного Таймыра. — Труды НИИГА, 1962, т. 130, вып. 19, с. 27—36.
- Злобин И. М. Восточный Таймыр. — В кн.: Стратиграфия СССР. Силурская система. М.: Недра, 1965, с. 364—370.
- Кабанов В. Я. Оленецкий бассейн горючих сланцев. — В кн.: Геология месторождений угля и горючих сланцев СССР. Т. 2. М.: Недра, 1968, с. 545—565.
- Калинин Ю. К., Соколов В. К. Опыт типизации углеродистых пород протерозоя Карелии. — В кн.: Проблемы осадочной геологии докембра. Вып. 4. Кн. 2. М.: Недра, 1975, с. 155—160.
- Кембрий Сибирской платформы. М.: Недра, 1972. 200 с.
- Килин Л. И., Конторович А. Э., Малюшко Л. Д., Савицкий В. Е., Шишкун Б. Б. Основные черты геохимии и литологии алданского яруса северо-западной части Сибирской платформы. — В кн.: Материалы по литологии и геохимии нефтегазоносных бассейнов Сибири. Новосибирск, СНИИГГиМС, 1968, с. 116—132.
- Клишин К. А., Павлова Т. Г., Постельников Е. С. Байкалиды юго-востока Сибири. М.: Наука, 1970. 146 с.
- Колосов П. И. Стратиграфия верхнего докембра юга Якутии. Новосибирск: Наука, 1975. 156 с.

- Колосов П. И. Древние нефтегазоносные толщи юго-востока Сибирской платформы. Новосибирск: Наука, 1977. 90 с.
- Конторович А. Э., Савицкий В. Е. К палеогеографии Сибирской платформы в раннюю и среднюю кембрийскую эпохи. — В кн.: Вопросы литологии и палеогеографии Сибири. Новосибирск, СНИИГГиМС, 1970, с. 95—106.
- Котлуков В. А. Горючие сланцы СССР и общие закономерности размещения их месторождений. — В кн.: Геология и месторождения угля и горючих сланцев СССР. М.: Недра, 1968, с. 7—11.
- Лебедев Б. А., Дорофеева Т. В., Краснов С. Г., Лебедева Г. В., Петрова Г. В. Вещественный состав и природа смеси глинисто-сапропелево-кремнистых нефтегазоносных отложений баженовской свиты (верхняя юра) Западной Сибири. — Литология и полезные ископаемые, 1979, № 2, с. 90—101.
- Лоог А. Р. Грантолитовые аргиллиты (диктиопемовые сланцы) Эстонии и ихрудоносность. — В кн.: Углеродистые отложения докембия и нижнего палеозоя и ихрудоносность. Фрунзе: Илим, 1978, с. 66—68.
- Максимова С. В. Эколого-фациональные особенности и условия образования доманика. М.: Наука, 1970. 84 с.
- Маркова Л. Г. Литолого-геохимические критерии распределения органического вещества и нефтеобразования в силуре Тунгусской синеклизы. Автореф. канд. дис. Новосибирск, 1977. 24 с.
- Мирошников Л. Д. К вопросу о происхождении грантолитовых сланцев. — Изв. АН СССР. Серия геол., 1956, № 7, с. 25—32.
- Мирошников Л. Д. Кембрий, ордовик, силур Норильского района и вопросы происхождения грантолитовых фаций центрального сектора Арктической части СССР. Автореф. канд. дис. М., 1959. 30 с.
- Мирчиник М. Ф., Мкртчян О. М., Трохова А. А. Палеотектонические и палеогеоморфологические особенности Волго-Уральского доманикового бассейна. — Изв. АН СССР. Серия геол., 1975, № 12, с. 9—18.
- Нестеров И. И. Новый тип коллектора нефти и газа. — Геология нефти и газа, 1979, № 10, с. 26—29.
- Нестеров И. И. Нефтегазоносность битуминозных глин баженовской свиты Западной Сибири. — Сов. геология, 1980, № 11, с. 3—10.
- Никиторова О. И. Сибирская платформа. Общая характеристика. — В кн.: Стратиграфия СССР. Сибирская система. М.: Недра, 1965, с. 340—362.
- Обут А. М., Соболевская Р. Ф. Грантолиты ордовика Таймыра. М.: Изд-во АН СССР, 1964. 92 с.
- Обут А. М., Соболевская Р. Ф., Меркуриева А. П. Грантолиты лландовери в кернах буровых скважин Норильского района. М.: Наука, 1968. 136 с.
- Писарчик Я. К., Минеева М. А., Русецкая Г. А. Палеогеографическая характеристика Сибирской платформы в кембрийское время. — В кн.: Геологическое строение и нефтегазоносность восточной части Сибирской платформы и прилегающих районов. М.: Недра, 1968, с. 81—90.
- Писарчик Я. К., Минеева М. А., Русецкая Г. А. Палеогеография Сибирской платформы в кембрии (с атласом палеогеографических карт). Л.: Недра, 1975. 195 с.
- Погребицкий Ю. Е. Палеотектонический анализ Таймырской складчатой системы. Л.: Недра, 1971. 248 с.
- Порфириев В. Б., Гринберг И. В., Ладыженский И. Р., Котлуков В. А. Менилловые сланцы Карпат. — В кн.: Геология месторождений угля и горючих сланцев СССР. М.: Недра, 1968, с. 354—381.
- Предтеченский И. И., Тесаков Ю. И. Закономерности осадконакопления и типизация фациальных комплексов силура Сибирской платформы. — В кн.: Силур Сибирской платформы. Новые региональные и местные стратиграфические подразделения. Новосибирск: Наука, 1979, с. 28—43.
- Рабиханукаева Е. С. Строение, состав и условия образования ордовикских и силурских отложений Таймыра и северо-запада Сибирской платформы. — В кн.: Осадочные и осадочно-вулканогенные формации и методика их выделения. Новосибирск: Наука, 1977, с. 145—165.
- Розен О. М., Сидоренко С. А., Созинов И. А. Углеродистые отложения докембия и фанерозоя. — В кн.: Проблемы осадочной геологии докембия. Вып. 4. Кн. 2. М.: Недра, 1975, с. 141—155.
- Савицкий В. Е., Шабанов Ю. Я., Шипкин Б. Б. Стратиграфия нижнекембрийских и ранне-среднекембрийских отложений Игарского района. Новосибирск, СНИИГГиМС, 1964, с. 42—68.
- Салоп Л. И. Геология Байкальской горной области. Т. 2. Магнетизм, тектоника, история геологического развития. М.: Недра, 1967. 653 с.
- Середа Т. Т. Доманиковые фации девона Волго-Уральской области. Автореф. канд. дис. М., ИГиРГИ, 1967. 25 с.
- Сидоренко А. В., Сидоренко С. А., Созинов И. А. Углеродистые формации докембия. — В кн.: Углеродистые отложения докембия и нижнего палеозоя и ихрудоносность. Фрунзе: Илим, 1978, с. 9—11.
- Силур Сибирской платформы. Новые региональные и местные стратиграфические подразделения. Новосибирск: Наука, 1979. 96 с.
- Силур Сибирской платформы. Опорные разрезы северо-запада Сибирской платформы. Новосибирск: Наука, 1980. 184 с.
- Созинов И. А., Сидоренко С. А. О формационных типах углеродистых сланцев докембия и фанерозоя. — Докл. АН СССР, 1976, т. 227, № 3, с. 684—687.
- Ставцев А. Л., Неволин Б. С., Потапов С. Ф. Кембрийские отложения юго-восточной окраины Охотского срединного массива. — В кн.: Докембий и палеозой Северо-Востока СССР. Магадан, 1974, с. 52—54.
- Страхов И. М. Доманиковая фация Южного Урала. М.: Изд-во АН СССР, 1939. 122 с.
- Страхов И. М. Основы теории литогенеза. Т. 2. М.: Изд-во АН СССР, 1960. 574 с.
- Страхов И. М. Типы литогенеза и их эволюция в истории Земли. М.: Госгеолтехиздат, 1963. 535 с.
- Сухов С. С., Перецов В. С. Депрессионный комплекс нижнего и среднего кембия востока Сибирской платформы. — В кн.: Геология рифовых систем кембия Западной Якутии. Новосибирск, СНИИГГиМС, 1979, с. 50—60.
- Тесаков Ю. И. Развитие экосистемы древних платформенных седиментационных бассейнов. — В кн.: Проблемы эволюции геологических процессов. Новосибирск: Наука, 1981, с. 186—199.
- Тихомиров С. В. Этапы осадконакопления девона Русской платформы. М.: Недра, 1967. 268 с.
- Ушатинский И. И. Литология и перспективы нефтегазоносности юрско-неокомских битуминозных отложений Западной Сибири. — Сов. геология, 1981, № 2, с. 11—22.
- Формации горючих сланцев. Методы изучения и генетическая классификация. Таллин: Валгуе, 1973. 160 с.
- Хоментовский В. В., Репина Л. И. Нижний кембрий стратотипического разреза Сибири. М.: Наука, 1965. 199 с.
- Хоментовский В. В., Шеффиль В. Ю., Якшин М. С., Бутаков Е. П. Опорные разрезы отложений докембия и кембия Сибирской платформы. М.: Наука, 1972. 356 с.
- Черкесова С. В. Таймыр. — В кн.: Стратиграфия СССР. Девонская система. Т. 2. М.: Недра, 1965, с. 139—147.
- Черкесова С. В. Девон Таймыра. — В кн.: Стратиграфия палеозоя Средней Сибири. Новосибирск: Наука, 1967, с. 119—120.

B. B. Параев

ОСОБЕННОСТИ СТРОЕНИЯ МЕЗОКАЙНОЗОЙСКИХ БОКСИТОНОСНЫХ КРАСНОЦВЕТНЫХ ФОРМАЦИЙ ВОСТОЧНОГО СКЛОНА УРАЛА И ЮЖНОГО ОБРАМЛЕНИЯ ЗАПАДНО-СИБИРСКОЙ НИЗМЕННОСТИ

Мезозой и кайнозой в геологической истории относятся к главным эпохам образования мощных кор выветривания, с которыми связано и бокситообразование [Петров, 1967; Кривцов, 1969]. Вместе с тем в эти периоды интенсивная красноцветная седиментация охватила обширные территории земного шара [Анатольева, 1978]. Размещение континентальных красноцветных и бокситоносных пород в единых регионах указывает на тесную пространственную взаимосвязь бассейнов красноцветной седиментации с областями бокситонакопления. Совпадение этих процессов во времени и пространстве обусловило формирование своеобразных комплексов континентальных красноцветных пород, содержащих свободный глиномет.

В опубликованных работах, затрагивающих вопросы бокситонакопления [Архангельский, 1937; Яншин, 1941; Бушинский, 1966, 1975; Кривцов, 1969; Генетическая классификация..., 1974; Проблемы генезиса..., 1975; Вопросы геологии..., 1977; и др.], рассматриваются в основном различные аспекты образования бокситов и бокситовых месторождений. В то же время недостаточное внимание уделялось характеристике вмещающего бокситы комплекса красноцветных пород. При детальном исследовании бокситы комплекса красноцветных пород могут быть решены многие конкретные научные и практические задачи, связанные с выяснением эволюции красноцветного осад-

Таблица 1

Литолого-стратиграфическая схема мел-палеогеновых отложений восточного склона Урала

Система	Отдел, ярус		Свита и ее литологическая характеристика
	Палеогеновая	Олигоцен	
		Эоцен	Ирбитская. Глинистые и диатомовые отложения с прослойями алевролитов, песчаников с опоковым цементом, опоковидных глин. Мощность до первых десятков метров
		Палеоцен	Серовская. Песчанистые, алевритистые, глинистые опоки. Мощность до первых десятков метров
		Датский	Талицкая. Кварцево-глауконитовые пески, песчаники с опоковым цементом. Мощность несколько метров
Меловая	Верхний	Маастрихтский	Фадюшинская. Серые зеленовато-серые песчаники, алевролиты, мергелистые глины. Мощность 10–20 м
		Компактный, сантонский, коньякский	Камышловская. Зеленовато-серые и серые песчаники, кремнисто-глинистые осадки (опоки) с глауконитом. Мощность 1–2 м
	Нижний	Туронский	Мугайская. Зеленовато-серые песчано-глинистые отложения с оолитовыми железными рудами, глауконитом, лингитом. Мощность до 20 м
		Сеноманский	Мысовская. Песчано-глинистые породы с углистым дегритом. Мощность 15–20 м
		Альбский	Синаярская. Пестроцветные каолинизированные глины с залежами бокситов. Мощность первые десятки метров
		Аптский	Алапаевская. Мелкогалечные конгломераты с кварцево-кремнистой галькой и глинистым цементом, песчаники (белики). Мощность первые десятки метров
		Барремский, готеривский	Тильтинская. Пестроцветные песчано-глинистые отложения. Мощность первые десятки метров
		Валанжинский	?

Примечание. Таблица составлена по материалам Т. Н. Папурова, З. И. Ситниковой (1964), Л. А. Умовой и др. (1968).

из них. Поскольку нас интересуют красноцветные образования, то более детальную характеристику приведем лишь для нижней бокситоносной части разреза.

Среди красноцветных пород выделяются две группы образований: сохранившие первоначальный облик материнской породы и породы с признаками осадочного происхождения.

В группе I различаются следующие основные типы продуктов выветривания. К первому типу относятся породы, почти полностью сохранившие структурные признаки порфиритов. Это обычно темно-коричневые с зеленоватыми пятнами побежалости выветрелые основные эфузивы, с отчетливо сохранившимися рисунком гиалопилитовой, местами интерсертал-

конакопления в истории Земли и выявлением геохронологических и пространственных закономерностей образования различных полезных ископаемых, в том числе бокситов, приуроченных к континентальным красноцветным формациям.

Предлагаемая работа посвящена изучению мезокайнозойских бокситоносных красноцветных формаций восточного склона Урала и южного обрамления Западно-Сибирской низменности. Бокситообразование на этой территории происходило в основном в конце мезозоя и начале кайнозоя. Рудопроявления и месторождения бокситов генетически связаны преимущественно с нижнемеловыми и палеогеновыми отложениями и, по классификации Л. Г. Сапожникова (1974), относятся к полигенным латеритно-осадочным и седиментационно-карстовым типам. Мощность бокситов содержащих красноцветных комплексов обычно составляет несколько десятков метров, иногда больше. Бокситовые рудопроявления включены в них в виде либообразных тел небольшой мощности и протяжения.

Рассмотрим особенности строения, состава и формирования бокситоносных красноцветных отложений на конкретных примерах.

ВОСТОЧНЫЙ СКЛОНО УРАЛА

Месторождения и рудопроявления бокситов отмечаются главным образом в пределах Среднего и Южного Урала. В результате исследований П. Л. Безрукова и А. Л. Яншина (1934, 1937), Н. И. Архангельского (1964), Т. Н. Папурова и З. И. Ситниковой (1964), Л. А. Умовой и др. (1968), а также Л. А. Гузовского, К. П. Савельевой, В. И. Иванова, С. Т. Лузиной, И. И. Спорова, С. А. Топычканова и др. (сотрудники Уральского геологического управления), выяснено, что месторождения бокситов приурочены к мезозойским отложениям и тесно связаны с широко развитой здесь корой выветривания. Максимальное количество бокситопроявлений зафиксировано в отложениях сибирской свиты альбского возраста (табл. 1). Наиболее значительные из них тяготеют к областям распространения вулканогенных пород основного состава.

В результате процессов гипергенного изменения и разрушения эфузивных пород сформировался достаточно мощный красноцветный комплекс элювиальных отложений и продуктов их перемыва. Особенности строения и состава образований, покрывающих основные порфириты, видны на рис. 1. Скважины пробурены в Зыряновском районе в долине р. Сибирь. Скв. 41 (наиболее глубокая) достигла глубины 75,7 м, а скв. 36—56,2 м. Весь разрез отложений района отчетливо расчленяется на две части. Нижняя часть сложена в основном красноцветными глинистыми породами в значительной мере каолинизированными, содержащими бокситовые отложения. Неполная их мощность в скв. 36 составляет 13,6, а скв. 41 — более 20 м. Верхняя часть разреза представлена сероцветными осадочными преимущественно глинисто-песчаными породами, соответствующими верхнемеловым образованиям. Отмечаются рыхлые и уплотненные зеленоватые песчаники (глауконитовые), темно-серые до черных глинистые сланцы. Заканчивается эта часть разреза крепко cementированными белесоватыми опоками. Общая ее мощность в скв. 36 составляет 38, а в скв. 41 — около 50 м.

Нижняя красноцветная и верхняя сероцветная части разреза четко разграничены между собой. Они отделены друг от друга метровым прослойем черных лингитовых пород, переполненных древесными и растительными остатками с комкообразными стяжениями марказита диаметром до 1,5 см. Глубина залегания этих пород в скважинах 36 и 41 соответственно равна 41—42,6 и 50—51 м. В обеих частях разреза можно выделить ряд составных элементов, обуславливающих внутреннее строение каждой

Таблица 2

Химический состав глинистых бокситоносных пород (Зыряновский район)

Номер обр.	SiO_2	MnO	TiO_2	Al_2O_3	MgO	CaO	Fe_2O_3	Na_2O	K_2O	Fe_3O_4	П.и.и.	Σ
36-6	7,50	0,22	3,84	39,00	0,70	0,70	11,01	0,06	0,10	12,79	22,14	98,06
36-7	11,50	0,15	5,90	31,00	1,00	1,35	16,70	0,05	0,05	13,79	19,04	100,5
36-8	20,00	0,10	4,90	35,50	0,40	0,45	20,30	0,05	0,07	3,34	5,83	100,0
36-8а	12,00	0,06	7,50	27,70	0,65	0,55	39,60	0,05	0,05	8,50	4,01	100,7
36-9	9,00	0,08	0,18	—	0,35	0,25	1,10	0,07	0,12	0,90	1,06	100,0
36-10	39,00	0,22	3,10	26,50	0,70	0,60	15,03	0,08	0,10	2,23	12,80	100,3
36-11	33,00	0,24	3,13	32,50	0,85	0,80	16,55	0,08	0,11	0,86	13,36	101,4
36-12	56,00	0,15	2,00	16,20	1,30	0,40	13,57	0,08	1,84	0,93	8,04	100,5
41-1	46,00	0,17	1,66	15,40	2,50	1,23	14,00	0,15	0,26	0,97	18,52	100,8
41-2	41,50	0,20	1,84	16,00	2,40	1,43	15,13	0,15	0,26	0,97	20,14	99,88
41-3	46,00	0,20	1,88	18,70	1,36	0,80	15,73	0,13	0,19	0,97	14,38	100,3
41-4	46,50	0,15	2,24	23,50	1,15	0,35	13,85	0,10	0,23	0,86	12,32	101,2
41-5	48,00	0,12	2,00	23,40	0,50	0,40	12,61	0,08	0,17	2,16	10,76	100,2
41-6	27,00	0,18	2,95	35,50	0,75	0,45	18,90	0,07	0,17	2,08	13,36	101,2
41-7	45,00	0,13	2,35	24,00	0,75	0,25	15,88	0,07	0,24	0,47	11,14	100,2
41-8	35,00	0,70	2,40	30,00	0,90	0,70	9,44	0,07	0,28	5,82	15,22	100,6
41-9	27,00	0,89	2,22	30,50	1,15	0,65	11,28	0,06	0,10	9,48	16,44	99,77
41-11	33,00	0,21	2,66	22,00	1,90	1,00	10,64	0,06	0,10	5,82	19,96	97,35

порфиритовой структуры. Эти реликты как бы растворены в глинистом материале и кородированы им. Следы инфильтрации и перераспределения вещества хорошо заметны благодаря концентрации окислов железа.

Все перечисленные типы породко перемежаются между собой и находятся в разных количественных взаимоотношениях. В одном случае они могут быть главными и вмещающими породами, в другом — подчиненными.

В группу II образований красноцветного комплекса входят в основном продукты перерыва коры выветривания. Здесь отмечаются различные песчаники и бокситовые породы. Песчаники часто представляют собой мономинеральные образования с концентрацией в них кварцевого материала. Иногда они содержат зерна глауконита.

Бокситовые породы (как правило, с бобовидным строением) бывают достаточно крепко сцеплены либо представляют собой относительно рыхлые образования. Порой в них можно проследить признаки слоистости, некоторую ориентацию мелких линз глинистого вещества или обломков. Количество бобовин в породе варьирует от нескольких до 30% и даже до 50% объема. По цвету бобовины темные до черных, диаметром 1–5 мм, резко выделяются из общей массы. Представление о химических особенностях бобовин (обр. 36-8а) и вмещающей массы (обр. 36-8) можно получить из табл. 2. Приведем послойное описание разрезов бокситоносных красноцветных отложений.

Красноцветные образования, вскрытые скв. 41, имеют следующее строение (снизу вверх).

1. Порфириты выветрельные темно-коричневые с отчетливыми белыми каолинизированными вкраплениками и листами плагиоклаза 72–69,5

2. Порфириты выветрельные осветленные с гораздо большим количеством белых включений каолинизированного материала 69,5–68,3

3. Глина каолинизированная красноцветная с мелкими зеленоцветными включениями. Внешних признаков структуры порфиритов не наблюдается 68,3–67

4. Глины каолинизированные белесовато-розовые с реликтами структуры порфиритов 67–66

5. Глины с примесью песчаного материала. Белесоватые, розово-серые, иногда с зеленоватым оттенком, местами просматриваются

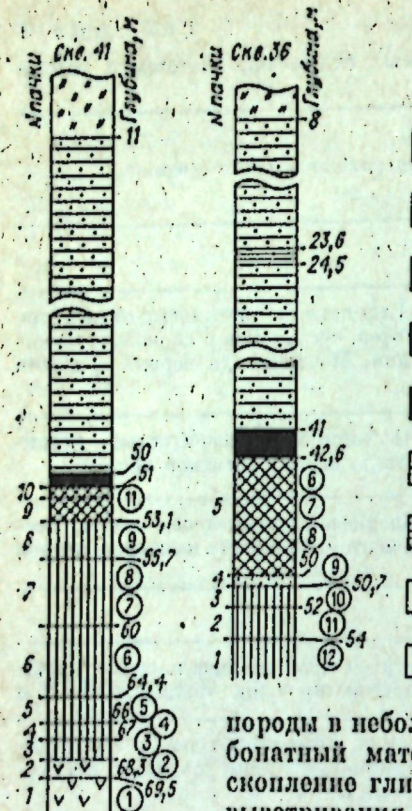


Рис. 1. Разрезы красноцветного комплекса и перекрывающих его сероцветных отложений верхнего мела в долине р. Синара.

1 — выветрельные порфириты; 2 — глинистые каолинизированные красно- и пестроцветные породы; 3 — бокситовые породы; 4 — песчаники кварцевые; 5 — глинистые-песчаники белесо- и красноцветные породы; 6 — глинистые сланцы; 7 — глинистые породы; 8 — опоки; 9 — номер образца в табл. 2 и его местоположение в разрезе.

ной структурой. Вкрапленики и листы плагиоклазов, хорошо сохранившие очертания и форму кристаллов, нацело серицитизированы и каолинизированы. Большое содержание железа в породе обусловило опацитизацию пироксенов и превращение их в непрозрачное вещество. В отдельных случаях в результате разложения зерна пироксена в проходящем свете выявляют бурыми. В основной массе породы в небольших количествах иногда присутствует карбонатный материал. Участками в шлифе наблюдается скопление глинистого вещества — остаточного продукта выветривания и разрушения породы.

Другой тип образований представлен в значительной мере измененными и разрушенными вулканогенными породами, который в результате более глубокого воздействия различных факторов выветривания были преобразованы на месте в глинистое вещество. Эти породы, как правило, более светлых тонов (чем первые), красноватые, часто розовато-серые, иногда с зеленоватым оттенком. Структура порфиритов прослеживается лишь в отдельных участках, реликтами, разделенных скоплениями глинистого материала. Полностью серицитизированные и каолинизированные вкрапленики и листы плагиоклазов уже не имеют отчетливых очертаний правильных кристаллов. Обычно они несут на себе следы разрушения, их контуры расплывчаты, с нечеткими рваными краями. Основная вмещающая масса в проходящем свете выглядит как непрозрачное темное вещество. Соединения железа в породе присутствуют главным образом в двух основных модификациях. В одном случае железо находится в виде совершенно непрозрачного черного вещества без каких-либо видимых признаков его разложения. В другой модификации железистые соединения имеют в проходящем свете темно-коричневый цвет с постепенными переходами к светлым тонам и со следами явной его миграции. Бурые окислы железа обычно концентрируются по многочисленным микротрецинам, а также по периферии отдельных пустот, выполненных карбонатом. В породе отмечаются округлой и овальной формы стяжения в виде бобовин размером 1,5–5 мм, выполненные тонкочешуйчатым глинистым материалом и окраинами окислами железа в бурый цвет.

Третий тип продуктов коры выветривания составляют часто осветленные красновато-розовые и белесоватые глинистые образования, полностью утратившие первоначальные структурные признаки исходных пород. Это в значительной мере каолинизированные глины, иногда с примесью песчаного материала, слабо сцепленные. В отдельных случаях в шлифах отмечаются участки, где слабо просматриваются остатки рисунка

интервал, м

72–69,5

69,5–68,3

68,3–67

67–66

рисунок порфиритовой структуры. Порода слабо каолинизирована, отмечается редкие бобовины размером 1,5–5 мм

6. Глины светлоокрашенные с каолинизированными вкраплениками, расположение которых подчеркивает рисунок структуры эфузивных пород

7. Глины каолинизированные красновато-розовые с белесоватыми пятнами. Содержат железистые стяжения табачного цвета, количество которых в слое увеличивается снизу вверх

8. Глины каолинизированные землисто-серые с белесоватыми пятнами. В верхней части слоя осветляются и приобретают желтоватый оттенок. В отдельных участках просматривается рисунок первоначальной порфиритовой структуры. Породы слабо скементированы с примесью песчаного материала

9. Бокситовая порода буро-желтая, буро-красная, содержит в небольшом количестве (около 10% объема) мелкие (до 1,5 мм) черные бобовины окислов железа. Иногда отмечаются включения в виде небольших ориентированных линзочек тонкого глинистого материала, резко выделяющихся из общей вмещающей массы по более яркой и густой окраске

10. Бокситовая порода землисто-коричневая с несколько большим содержанием бобовин

Выше залегают темно-серые до черных лигнитовые породы с остатками древесины и растений и с включениями марказита.

Несколько иные строение и взаимоотношение бокситовых пород с вмещающими отмечаются в скв. 36 (снизу вверх).

1. Глины темноцветные, вишнево-коричневые с белыми причудливой формы каолинизированными пятнами. В шлифах отчетливо видны следы миграции и перераспределения вещества, напоминающие флюидальность. Скопление и ориентация каолинизированного материала совпадают со следами этого движения. Соединения железа присутствуют в виде непрозрачного черного вещества с четкими и резкими границами раздела, без каких-либо видимых признаков его выноса

2. Глины пестроцветные. В отдельных участках (в шлифе) отчетливо просматривается рисунок порфиритовой структуры

3. Глины молочно-белые, коричневые, желтые, значительно каолинизированы. Породы рыхлые, легко разрушаются, с хорошо сохранившимся и наблюдаемым в шлифах обликом порфиритов. Плагиоклазы полностью каолинизированы, однако с достаточно отчетливой формой кристаллов. Железистые соединения основной массы, включающей лейсты и вкрапленики каолинизированного плагиоклаза, не несут следов растворения

4. Песчаники мелкозернистые, светло-серые до белых. По составу обломочного материала — кварцевые, слабо скементированы. Зерна кварца различной формы, но с достаточно хорошо слаженными углами (0,1–0,3 мм). Единичные крупные зерна покрыты сетью мелких трещин. Встречаются отдельные зерна зеленоватого глауконита размером около 0,15 мм. Цемент кремнистый, аморфный, базальный

5. Бокситовые породы серовато-розовые, светло-коричневые, желтоватые. Обычно крепкие, местами слабые до рыхлых с бобововидным строением. Бобовины черные, мелкие, до 3,5 мм в диаметре. Они составляют около 20–30% объема породы. В нижней части слоя преобладают розовые, в средней — коричневые и вверху — желтоватые породы. В средней части количество бобовин заметно сокращается

Бокситовые породы (как и в скв. 41) перекрыты черными лигнитами с древесными и растительными остатками и с конкрециями марказита.

Из приведенного описания разрезов видно, что бокситовые породы занимают достаточно определенное положение. Они расположены стратиграфически выше коры выветривания. Однако в скв. 36 бокситовая пачка залегает не на глинистых образованиях элювия, как это имеет место в скв. 41, она отделена от последних небольшим прослойем мелкозернистых кремнистых песчаников. Выделенные типы пород коры выветривания не обнаруживают строгой упорядоченности. Они перемежаются друг с другом и связаны между собой постепенными переходами. Представление об осо-

бенностях их химического состава можно получить из табл. 2. Из химических анализов пород просматривается некоторая закономерность в распределении отдельных окислов и их концентрации по разрезу. Так, глиномез и отчасти окислы железа накапливаются в верхней зоне красноцветного комплекса, а кремнезем выносится.

В естественных обнажениях породы подобного типа наблюдались нами в пределах Соколовского бокситового карьера, расположенного среди аккумулятивной равнины на выступе палеогенового фундамента — Колчедано-Коркинском поднятии. Здесь кора выветривания также развита по основным эфузивам, возраст которых датируется пермо-триасом. Она представляет собой чередование красных, розовых, желтых, серых глинистых образований, нередко содержащих реликты с порфиритовой структурой. В продуктах выветривания в значительном количестве отмечается прожилки бурого железняка с пустотами, выполненными агрегатами кристаллов кварца. Глинистые образования коры выветривания, как и в первом приведенном случае, перекрыты бокситовым пластом, на котором залегают лигнитовая глина и лигнит с пиритом и марказитом. Неоднородность бокситоносных пород (по цвету, по количеству бобовин и пр.) уже отмечалась нами в предыдущих примерах. В Соколовском карьере эта особенность бокситоносного слоя выражена наиболее ярко и резче.

Остатки рудного тела в карьере можно увидеть в нескольких местах у самого уреза воды (карьер выработан и затоплен). Одно из лучших обнажений бокситовых пород отмечается в восточном борту карьера. Породы выходят в виде небольшой антиклинальной складки и образуют холм высотой до 5 м (рис. 2). Обнажены только южное крыло складки и частично ее замок. Северное крыло завалено осьпью, но его можно проследить по характеру залегания вышележащих сероцветных отложений. Отмечается общая закономерность их дислокации. Породы красноцветной бокситоносной части разреза смяты в пологие небольшие складки, а перекрывающие их сероцветные породы залегают почти горизонтально.

Пачка бокситоносных пород здесь уверенно подразделяется на три части. Нижняя ее часть представлена песчано-глинистыми желтовато-красными образованиями. Отчетливо прослеживается как бы начальная фаза формирования в породе комковатообразных отложений. Эти отдельно-

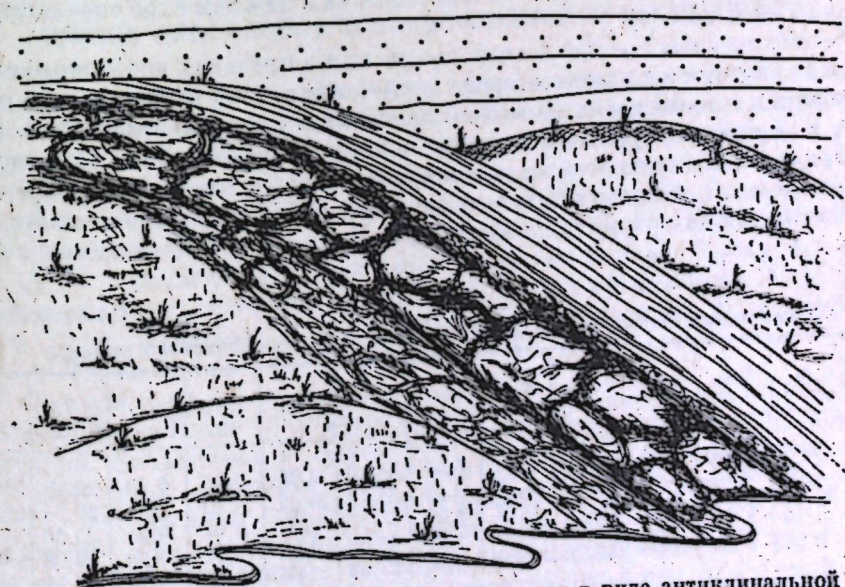


Рис. 2. Выход красноцветных бокситовых пород в виде антиклинальной складки и горизонтально перекрывающие их сероцветные отложения (Соколовский карьер, восточный борт).

сти достаточно крепко скементированы, каменистые, темных коричневых тонов. Они разделяются относительно рыхлым желтовато-серым глинистым материалом. Текстура каменистых стяжений напоминает причудливую микроскладчатость — результат миграции и перераспределения вещества. В шлифе достаточно хорошо видны следы инфильтрации ярко выраженной концентрацией окислов железа. В незначительных количествах отмечаются мелкие стяжения, выполненные непрозрачным железистым веществом. В единичных случаях наблюдаются бобовины диаметром до 1,5 мм с концентрическим строением. Мощность этих отложений около 0,4 м.

Выше по разрезу охарактеризованные породы без каких-либо резких границ постепенно переходят в каменистые бобовистые образования, составляющие среднюю часть пачки. Здесь порода крепко скементирована, красно-коричневая разбита на крупные глыбовые отдельности. Бобовины темно-коричневые до черных. Их преобладающий размер около 2,5 мм, редко до 5 мм. Количество бобовин составляет до 50% объема породы. Они выполнены непрозрачным в проходящем свете железистым веществом, без каких-либо видимых следов растворения, имеют четкие резкие границы с вмещающей массой. Отмечаются единичные бобовины с концентрическим строением. Мощность пласта на всем его протяжении довольно выдержана и составляет около 0,7 м.

Верхняя часть бокситоносной пачки сложена песчано-глинистыми образованиями землисто-красновато-желтоватыми со щебенчатой отдельностью. В значительном количестве присутствуют обломки нижележащих пород. Отмечаются единичные железистые бобовины. В шлифах наблюдаются скопления красно-бурового железистого вещества в виде небольших (до 2 мм в диаметре) расплывшихся пятен. Эти песчано-глинистые образования согласно залегают на нижележащих каменистых породах. Их мощность около 1 м.

Все породы бокситоносной пачки высокоглиноzemистые (табл. 3). Максимальное содержание Al_2O_3 (44%) отмечается в песчано-глинистых образованиях верхней части, количество железа здесь составляет 10,8%. Крепко скементированные породы средней части характеризуются самым высоким содержанием железа (36,8%) и наименьшим количеством глиноzemистого (34%). Соотношение этих же компонентов в нижнем слое соответствует 36 и 36,5%.

Бокситоносные красноцветные отложения в пределах восточного склона Урала связаны с различного рода депрессиями. Они выполняют карстовые воронки в карбонатах палеозоя, залегают в пологих неглубоких впадинах и нередко приурочены к присклоновым участкам долин. Приведенные примеры свидетельствуют о сложном их строении и разнообразном составе пород, слагающих такие комплексы. Здесь с достаточной определенностью можно говорить, по крайней мере, о двух генетических типах

Таблица 3
Химический состав пород бокситоносной пачки Соколовского карьера

Номер обр.	SiO_2	MnO	TiO	Al_2O_3	MgO	CaO	Fe_2O_3	Na_2O	K_2O	FeO	П.п.п.	Σ
C-1	2,00	0,10	4,44	36,50	0,50	0,50	35,50	0,03	0,05	0,43	20,98	101,0
C-2	3,50	0,13	3,88	34,00	0,50	0,45	36,13	0,05	0,10	0,61	20,94	100,2
C-3	14,00	0,14	4,86	44,00	0,70	1,20	10,57	0,03	0,04	0,21	25,36	100,6
C-4	14,50	0,20	2,80	23,50	0,60	1,00	47,60	0,05	0,12	0,36	9,98	101,0
C-5	8,00	0,10	4,20	45,30	0,60	0,50	17,48	0,04	0,11	0,29	22,58	99,20

Примечание. C-1, C-2, C-3 — бокситоносные породы восточного борта карьера; C-1 — песчано-глинистые породы из нижней части бокситоносной пачки, C-2 — каменистые бобовистые образования средней части бокситоносной пачки, C-3 — песчано-глинистые породы из верхней части бокситоносной пачки; C-4, C-5 — бокситовые породы северного борта карьера.

образований бокситоносного комплекса. Это, во-первых, собственно элювий и, во-вторых, продукты его перемыва, образованные при делювиально-пролювиальных процессах.

Элювиальные отложения, оставшиеся на месте образования в виде остаточных продуктов выветривания, выделяются в разрезах довольно однозначно. Они в большинстве случаев хорошо узнаются по сохранившемуся (хотя бы частично) первоначальному облику материнской породы. Реликты ее структуры и текстуры нередко обнаруживаются даже в самых верхних частях коры выветривания, представляющих собой обычно глинистые продукты.

Делювиально-пролювиальные образования формируются на размытой поверхности элювия в виде осадочных накоплений. Однако их распознавание не всегда очевидно, поскольку четкие и резкие границы между ними, как правило, отсутствуют, а переотложенный материал по составу часто близок к породам коры выветривания.

Перемыв элювиальных образований, направленный преимущественно на отделение мелкой глинистой (высокоглиноzemистой) части от крупнозернистых (кремнистых) компонентов, способствует накоплению соответствующих отложений и служит, по существу, основным критерием дифференциации пород коры выветривания и продуктов ее переработки. К такого типа отложениям в приведенных примерах относятся бокситовые породы и кварцевые песчаники. На осадочное происхождение песчаников указывает и относительно мономинеральный их состав и наличие в них хорошо окатанных зерен глауконита. В пользу осадочной природы бокситовых пород говорят их структурно-текстурные особенности. Иногда это намечающаяся слоистость, наличие ориентированных глинистых линзочек, а также их положение в разрезе (как это имеет место в скв. 36, где бокситовые породы отделены от типичного элювия прослоем существенно кварцевого песчаника).

Таким образом, в формировании бокситоносного красноцветного комплекса в данном регионе намечаются два этапа. Первый связан с образованием выветрелых пород, второй — с разрушением элювия и накоплением продуктов его перемыва.

ЮЖНОЕ ОБРАМЛЕНИЕ ЗАПАДНО-СИБИРСКОЙ ПЛАНЕМЕНТИ

Ассоциации континентальных красноцветных пород с бокситами южного обрамления Западно-Сибирской племенности известны в пределах Западного и Восточного Казахстана, а также некоторых районов Алтайского края. О бокситонакоплении в пределах названных областей писали А. Л. Яншин (1937), Е. М. Великовская (1939), А. Н. Волков (1959), Н. А. Лисицына (1960), С. Б. Патрикес (1971), Ю. Г. Цеховский (1973, 1975), А. М. Сульман (1976), а также сотрудники Западно-Казахстанского геологического управления и специалисты других организаций (С. Б. Патрикес, Н. А. Бубекова, Р. В. Тайыгина, Г. П. Суханова, Б. Е. Варнаких, А. И. Гуськова, Ж. Д. Дуйсебаев, Ю. И. Рылов, Г. Ф. Рылова, В. Я. Климов и др.).

Мезокайнозойские континентальные красноцветные отложения на территории Казахстана и Алтайского края изучались нами в течение 1974—1976 гг. В Западном Казахстане описаны керн скважин 617, 618, 619, 504, 506. Первые три скважины пробурены восточнее г. Аркалык, в долине руч. Акжар. Две последние находятся юго-восточнее г. Аркалык, в долине р. Бала-Терсаккан. Исследованы также обнажения в двух карьерах Аркалыкского рудника. Разрезы мезокайнозойских отложений Восточного Казахстана изучались по естественным обнажениям в долине р. Тайкызген, в районах пос. Чайбулак, гор Чакельмес и Кара-Бюрюк;

Таблица 4

Литолого-стратиграфическая схема мезокайнозойских отложений Западного Казахстана

Система	Отдел, ярус	Свита и ее литологическая характеристика	
		Плиоцен	Миоцен
Неогеновая			Кустанайская. Мергелистые глины светло-серые, бурые песчаники. Мощность 0—10 м
			Жиландинская (средний — верхний миоцен). Суглинки с известковыми и гипсовыми конкрециями, красно-бурые. Мощность 0—50 м.
			Аральская (нижний — средний миоцен). Глины гипсоносные зеленоцветные. Мощность 0—30 м.
Палеогеновая	Олигоцен		Чаграйско-наурзумская (верхний олигоцен). Глины каолинитовые белые, пески и галечники, иногда с железистым цементом. Мощность 0—60 м
			Чиликтинская (средний олигоцен). Бурые глины и пески. Мощность 0—30 м
			Акжарская (верхний эоцен — нижний олигоцен). Глины пестроцветные галлюзит-каолинитовые с железисто-кремнистыми бобовинами. Мощность 0—40 м
	Эоцен		Кенетайская (средний эоцен). Надрудные глины каолинитовые, светлые песчаные и кварцевые пески. Мощность 0—100 м
			Токтыгатская (нижний эоцен). Бокситовые глины и глины огнеупорные. Мощность 0—30 м
Меловая	Палеоцен		Амангельдинская (датский ярус — палеоцен). Бокситы, бокситовые и огнеупорные глины. Мощность 0—120 м
	Датский		
	Маастрихтский		Ашутская. Подрудные глины гидрослюдистые и каолинитовые (в нижней части черные, в верхней — желтые слоистые). Мощность 0—80 м

Примечание. Таблица составлена по данным Б. А. Тюрина, З. К. Пономаренко, а также А. М. Сульман (1976) и др.

В верхней части толщи, сложенной продуктами перемыва коры выветривания, преобладают различные песчаники, пески, глины. Для глинистых пород характерно достаточно высокое содержание кремнезема, глиноzemа, иногда железа (табл. 5). Наибольшая мощность этой части бокситоносной толщи (88 м) отмечена в скв. 504. Послойное описание этого разреза приводится ниже (снизу вверх).

- | Интервал, м | |
|--|---------|
| 1. Глины желтоватые с розовыми и красными оттенками, содержащие большое количество обломочного материала в виде кварцевых зерен гравийной размерности, иногда встречается мелкая галька. Породы слабо сцементированы, рыхлые | 92—76,5 |
| 2. Глины светло-розовые с примесью песчаного материала | 76,5—74 |
| 3. Глины каолинизированные красновато-розовые, местами с фиолетовым оттенком, слабо сцементированы, легко разрушаются | 74—60 |
| 4. Глины каолинизированные кирпично-красные, красно-коричневые, легко разрушаются. В нижней части слоя присутствует песчаный материал | 60—57 |

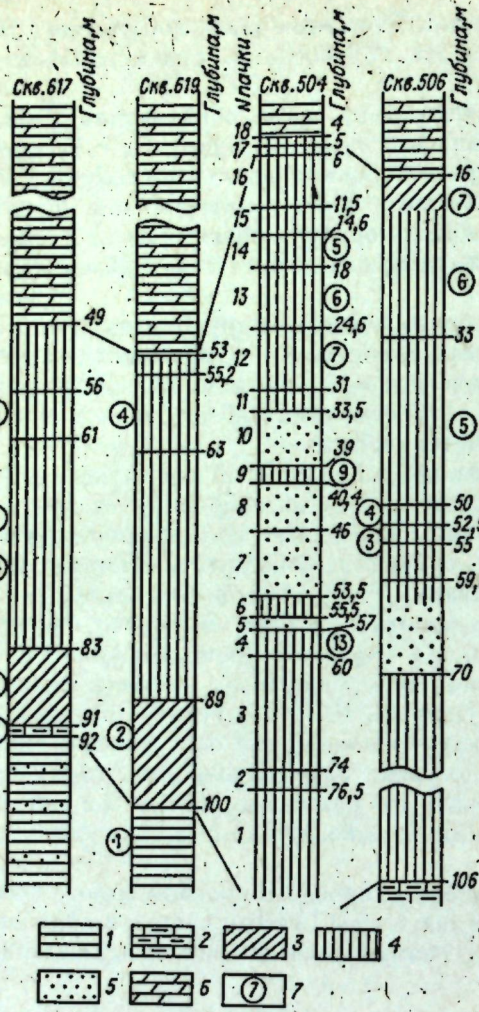


Рис. 3. Положение красноцветных бокситоносных пород среди отложений мезокайнозойского комплекса Западного Казахстана.

1 — песчано-глинистые темно-серые породы; 2 — глинисто-карбонатные породы; 3 — глины каолинизированные светло-серые; 4 — глинистые каолинизированные породы, белые, розовые, красные, бурые; 5 — песчаники красноцветные, часто глинистые; 6 — сероцветные и зеленоцветные карбонатизированные породы; 7 — номер образца в табл. 5 и его местоположение в разрезе!

а на территории Алтайского края были детально описаны разрезы трех скважин (114, 115, 118), пробуренных в пределах Бийско-Барнаульской впадины по левому берегу р. Чумыш.

Среди мезокайнозойских отложений перечисленных областей промышленные бокситы отмечаются лишь в пределах Западного Казахстана. Это в основном месторождения Амангельдинского района. Продуктивная толща с залежами бокситов выделяется здесь в аркалыкскую серию. В последнее время в составе аркалыкской серии выделены (снизу вверх) ашутская, амангельдинская, токтыгатская и кенетайская свиты. Хотя вопрос о возрасте бокситоносной толщи в какой-

то мере остается дискуссионным, общее представление о литолого-стратиграфических особенностях мезокайнозойских отложений можно получить из табл. 4.

Типичные разрезы красноцветной толщи и взаимоотношение бокситовых пород с другими отложениями показаны на рис. 3. Красноцветная бокситоносная толща снизу ограничена темно-серыми до черных осадочными породами, представленными глинами, глинистыми сланцами, глинисто-карбонатными и песчано-глинистыми породами, которые порой (скв. 617) переслаиваются с серыми песчаниками. Глинистые сланцы тонкоклитчатые и полосчатые. В глинисто-карбонатных породах отмечаются многочисленные отпечатки и остатки фауны. Такие породы прослеживаются в скв. 619 до глубины 100 м, в скв. 617 до 91 м, в скв. 506 до 106 м. В скв. 504 эта часть разреза не вскрыта. Разрез скв. 618, пробуренной в нескольких десятках метров от скв. 619, весьма близок по строению к последней и о нем здесь не приводится.

Бокситоносная красноцветная толща сложена каолинизированными глинами коры выветривания нижележащих пород и продуктами их переработки. Здесь встречаются серые, белые, бело-розовые, вишневые, красные обычно пятнистые глинистые отложения. В элювиальных образованиях достаточно отчетливо прослеживается первоначальная структура породы, наблюдаются многочисленные относительно хорошо сохранившиеся отпечатки фауны. Мощность 47 м.

Таблица 5

Химический состав бокситоносных пород Амангельдинских месторождений

Номер обр.	SiO ₂	MnO	TiO	Al ₂ O ₃	MgO	CaO	Fe ₂ O ₃	Na ₂ O	K ₂ O	FeO	П.п.п.	Σ
617-2	53,50	0,10	0,34	9,20	1,25	11,90	4,96	0,25	2,23	0,22	17,04	100,9
617-3	75,50	0,06	0,40	10,30	0,70	0,20	6,32	0,15	1,46	0,07	4,98	100,1
617-4	66,00	0,11	0,76	18,70	1,00	0,45	1,50	0,22	3,18	0,04	8,00	99,30
617-5	67,00	0,13	1,10	14,80	0,80	0,50	6,27	0,22	0,87	0,07	8,64	100,4
617-6	58,00	0,06	0,92	19,00	1,00	0,40	7,79	0,33	1,26	0,04	11,52	100,3
619-1	77,00	0,04	0,31	8,10	0,50	—	4,71	0,16	1,20	0,36	7,30	99,60
619-2	76,50	0,08	0,62	11,80	0,45	0,30	2,43	0,16	1,20	0,07	6,60	100,2
619-4	81,00	0,13	0,54	9,60	0,63	0,50	3,51	0,13	0,53	0,04	3,74	100,3
504-5	2,00	0,12	1,24	60,50	0,35	0,80	10,78	0,15	0,03	0,07	25,82	101,9
504-6	32,00	0,12	0,96	38,00	0,60	0,50	11,13	0,18	0,03	0,07	17,08	100,6
504-7	44,20	0,06	0,84	32,00	0,40	0,45	8,06	0,21	0,06	0,04	14,36	100,4
504-9	53,00	0,10	0,82	24,50	0,45	0,35	13,25	0,05	0,03	0,14	9,30	99,00
504-9а	53,00	0,11	1,06	19,25	0,50	0,65	17,05	0,15	0,04	0,14	9,28	101,4
504-13	42,00	0,12	0,98	31,50	0,60	0,40	12,03	0,14	0,04	0,07	12,80	100,7
506-3	49,00	0,12	1,12	30,00	0,50	0,63	8,16	0,10	0,03	0,04	11,10	100,8
506-4	51,00	0,12	0,94	31,00	0,40	0,66	4,51	0,14	0,02	0,04	11,78	100,5
506-5	74,00	0,11	1,70	14,20	0,50	0,60	4,08	0,08	0,03	0,11	5,42	100,8
506-6	48,00	0,10	1,38	33,00	0,45	0,45	1,56	0,16	0,04	0,04	14,94	100,1
506-7	46,00	0,14	1,14	35,00	0,85	0,85	2,96	0,21	0,85	0,04	12,24	100,2
75-2	70,50	—	1,40	12,30	0,75	0,20	4,76	0,40	1,07	0,04	8,60	100,0
75-1	56,00	0,20	1,01	17,35	2,40	1,30	6,63	0,64	1,80	0,07	13,38	100,7
75-3	51,00	0,14	1,23	19,60	1,10	0,70	15,80	0,30	1,07	0,04	9,98	100,9
75-3а	65,00	—	1,50	18,20	0,40	—	1,70	0,30	1,46	0,01	11,40	99,97
75-4	29,50	—	2,90	26,70	—	0,20	17,68	0,25	0,64	0,02	22,10	99,99
75-5	13,00	0,10	2,58	45,60	0,60	0,80	6,76	0,39	0,05	0,04	30,04	99,96
75-6	—	—	0,92	57,00	—	—	—	0,19	—	0,12	40,80	99,03
75-7	10,00	—	4,56	45,00	—	—	—	0,50	0,08	0,02	39,80	99,96
75-8	40,00	0,15	2,64	35,00	0,75	0,75	6,46	0,16	0,33	0,04	13,64	99,92
75-9	38,00	—	2,40	35,00	—	—	6,17	0,40	0,04	0,03	17,80	99,84
75-10	15,00	0,13	0,91	55,00	0,45	0,50	3,16	0,10	0,05	0,04	25,46	100,8
75-11	23,00	0,14	0,90	14,60	0,65	3,45	46,00	0,19	0,08	—	11,58	100,5
75-12	44,00	0,14	2,24	33,00	0,65	0,80	3,38	1,50	0,38	0,07	14,86	101,0
75-18	68,00	0,12	2,14	16,45	0,65	0,75	2,46	0,30	0,45	0,04	9,12	100,4
75-19	60,00	0,13	1,93	22,00	0,75	0,60	5,06	0,23	0,46	0,04	10,20	101,4
75-20	30,00	0,14	1,98	34,50	1,02	0,65	18,06	0,13	1,99	0,04	12,72	101,2
75-21	23,50	0,10	1,18	16,10	0,80	0,90	45,50	0,13	1,90	—	11,40	101,5
75-22	4,50	0,14	2,26	53,50	0,50	0,60	12,73	0,10	0,03	0,07	27,00	101,4
75-23	9,50	0,13	1,92	54,22	0,45	0,70	9,56	0,10	0,03	0,04	23,90	100,3

Интервал, м

57—55,5

55,5—53,5

53,5—46

46—40,4

III

39—33,5

31—24,6

5. Глинистые песчаники розовато-вишневые с небольшими обесцвеченными и желтыми участками. Присутствуют зерна кварца
6. Глины каолинизированные молочно-белые с красновато-розовыми пятнами и разводами. Содержат зерна песчаной размерности до 2 мм. Породы рыхлые, легко крошаются
7. Песчаники светло-розовые слабо скементированные, переходящие в рыхлые пески
8. Глинистые песчаники светло-розовые, содержат зерна кварца. В верхней части, присутствуют желтые пески
9. Песчано-глинистая бокситоподобная порода с многочисленными уплощенными «бобовинами». Форма «бобовин» не округлая, как обычно, а вытянутая и выклинивающаяся. Их размер 3—7 мм, цвет вишнево-коричневый. Нередко наблюдаются угловатые обломки такого же состава и зерна кварца даже гравийной размерности. Порода участками слабо скементирована, легко разрушается
10. Песчаники мелкозернистые, постепенно переходящие (чередуясь) в крупнозернистые, иногда гравийные. В нижней части светло-розовые, в верхней — табачно-желтые
11. Глина песчанистая пестроцветная с белыми, желтыми, красноватыми пятнами, каолинизирована, легко разрушается
12. Глины каолиновые белые с красно-розовыми пятнами и разводами. Иногда чередование белого и красно-розового цвета напоминает полосчатость

13. Песчано-глинистая бокситоподобная порода красноцветная с белыми пятнами. Отмечается многочисленные включения различной формы и цвета обломков, стяжений, бобовин, кварцевых зерен

14. Бокситовая порода красноцветная с редкими белыми участками и с бобовой структурой. Бобовины полуразрушенны, либо полностью разрушены и отсутствуют, отчего порода приобрела характерную поздреватость

15. Песчано-глинистые образования с многочисленными обломками выжелажающих бокситовых пород

16. Глины каолиновые молочно-белые с желтыми и красно-коричневыми пятнами и разводами

17. Глины каолинизированные серовато-белые с многочисленными желтыми и красновато-вишневыми пятнами и разводами. Присутствуют зерна кварца песчаной размерности

18. Глины песчанистые серовато-белые и буро-желтые, слабо каолинизированные. Содержат кварцевые зерна размером до 2 мм. Отмечаются единичные железистые бобовины до 1 см

19. Выше залегает зеленоцветная толща песчано-глинистых гипсонасыщенных и карбонатизированных пород нижнего миоцена. Иногда в них отмечаются дендриты и пятна, а порой небольшого диаметра черные включения окиси марганца. Гипс присутствует в виде отдельных кристаллов, друз, выполняет пустоты и трещины.. Наибольшая мощность этой толщи (53 м) зафиксирована в скв. 619.

20. Одна из особенностей бокситоносного красноцветного комплекса рас-

матриваемого региона — широкое распространение здесь причудливо

пятнистых разнообразных глинистых отложений, что, по-видимому, свя-

зано с хорошей проницаемостью пород и постоянно идущими процессами

выветривания. Наглядно такую картину можно проследить по обнажени-

ям в карьерах Аркалыкского рудника.

21. Наличие во многих породах органического вещества, карбонатов,

возможно, рассеянных сульфидов в значительной мере обусловило осо-

бенности их выветривания. Названные компоненты, как отмечал Г. И. Бу-

шинский (1957), в благоприятной среде, особенно со свободным кислоро-

дом, неустойчивы и легко поддаются выветриванию. Сульфиды железа под

воздействием кислорода быстро окисляются. Серная кислота нейтрализу-

ется присутствующими в породе карбонатами кальция. В дальнейшем

сульфаты железа в нейтральной среде подвергаются гидролизу с образова-

нием гидроокисных соединений, которые обычно остаются на месте и при-

дают породам бурую окраску.

22. В условиях хорошей проницаемости одновременно происходит и не-

которое перераспределение окислов железа, что обуславливает характер-

ную пятнистость породы. В окрашенных участках количество железа при-

мерно на порядок больше, чем в осветленных (табл. 5, образцы 75-3,

75-3а). Это позволяет в какой-то мере судить о силе и интенсивности вы-

ветривания.

23. Так, в карьерах № 1 и № 3/4 в пятнистых глинах окислы железа,

концентрируясь по путям инфильтрации, окрашивают породу в различные

красно-, оранжево-бурые тона и образуют по ней подобие сетки. Ячейки

этой сетки, как правило, ориентированы и вытянуты в вертикальном

направлении. Окрашенные участки представляют собой отдельные пятна,

полосы и клинья, направленные своей вершиной вниз. Ширина окрашен-

ных участков и их цвет зависят от местоположения породы в разрезе.

В верхних горизонтах внутренняя осветленная часть ячейки обычно имеет

относительно узкий оранжево-бурый контур. С глубиной ширина контура

значительно увеличивается, а цвет становится красно-бурым до вишнево-

красного. Количество серовато-белых и окрашенных окислами железа

значительно увеличивается, а цвет становится красно-бурым до вишнево-

красного. Количество серовато-белых и окрашенных окислами железа

значительно увеличивается, а цвет становится красно-бурым до вишнево-

красного. Количество серовато-белых и окрашенных окислами железа

значительно увеличивается, а цвет становится красно-бурым до вишнево-

красного. Количество серовато-белых и окрашенных окислами железа

значительно увеличивается, а цвет становится красно-бурым до вишнево-

красного. Количество серовато-белых и окрашенных окислами железа

значительно увеличивается, а цвет становится красно-бурым до вишнево-

красного. Количество серовато-белых и окрашенных окислами железа

значительно увеличивается, а цвет становится красно-бурым до вишнево-

красного. Количество серовато-белых и окрашенных окислами железа

значительно увеличивается, а цвет становится красно-бурым до вишнево-

красного. Количество серовато-белых и окрашенных окислами железа

значительно увеличивается, а цвет становится красно-бурым до вишнево-

красного. Количество серовато-белых и окрашенных окислами железа

значительно увеличивается, а цвет становится красно-бурым до вишнево-

красного. Количество серовато-белых и окрашенных окислами железа

значительно увеличивается, а цвет становится красно-бурым до вишнево-

красного. Количество серовато-белых и окрашенных окислами железа

значительно увеличивается, а цвет становится красно-бурым до вишнево-

красного. Количество серовато-белых и окрашенных окислами железа

значительно увеличивается, а цвет становится красно-бурым до вишнево-

красного. Количество серовато-белых и окрашенных окислами железа

значительно увеличивается, а цвет становится красно-бурым до вишнево-

красного. Количество серовато-белых и окрашенных окислами железа

значительно увеличивается, а цвет становится красно-бурым до вишнево-

красного. Количество серовато-белых и окрашенных окислами железа

значительно увеличивается, а цвет становится красно-бурым до вишнево-

красного. Количество серовато-белых и окрашенных окислами железа

значительно увеличивается, а цвет становится красно-бурым до вишнево-

красного. Количество серовато-белых и окрашенных окислами железа

знач

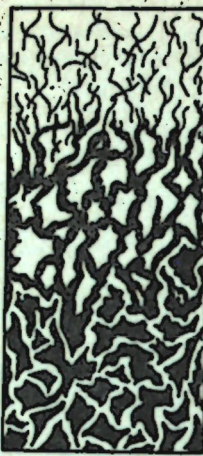


Рис. 5. Характер «вклинивания» белой каолиновой глины из одной толщи в другую (карьер 3/4).

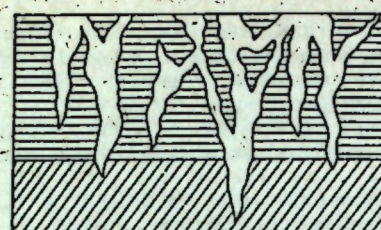
Рис. 4. Соотношение пятнистых выветрелых пород с вертикальным перераспределением в них окислов железа (карьер 3/4).

таким строением и их взаимопереходы показаны на рис. 4. В красноцветных глинах вертикальные полосы — пятна, по форме напоминающие клинья, выполнены белой каолиновой глиной. Порой такие клинья прослеживаются (вклиниваются) в нижележащие толщи (рис. 5).

Пятнистые глинистые породы, особенно в нижних горизонтах, характеризуются повышенным содержанием глиноzemа и даже содержат (карьер № 3/4) каменистые бокситы. Химический состав отобранных по профилю выветривания проб показывает зависимость концентрации окиси алюминия от глубины залегания пород (см. табл. 5, образцы сверху вниз по разрезу с 75—2 по 75—12), а структурно-текстурные особенности пород говорят о преобладающей вертикальной направленности перераспределения веществ.

Накопление глиноzemа в нижних горизонтах бокситоносной толщи можно связать, по-видимому, с особыми химическими свойствами алюминия, который относится к группе элементов-гидролизатов. При выветривании и хорошей проницаемости пород алюминий гидролизуется и может мигрировать в нижние горизонты в виде коллоидных взвесей. Эта же направленность, вероятно, играет немаловажную роль и в формировании глинистых бокситов (карьер № 1) непосредственно под пятнистыми каолинизированными глинами (см. табл. 5, образцы сверху вниз по разрезу с 75—18 по 75—23). Химические анализы отобранных проб бокситоносной толщи (см. табл. 5) показывают, что бокситовые породы в различных районах южного обрамления Западно-Сибирской низменности, в том числе и Западного Казахстана, накапливались не только в самых верхах красноцветного комплекса, но и в других частях разреза.

Суммируя изложенные данные, можно говорить, что бокситоносный красноцветный комплекс Западного Казахстана по своему строению весьма напоминает аналогичные образования восточного склона Урала. В его сложении также участвуют два основных типа отложений (образования коры выветривания и продукты их перемыва в виде осадочных накоплений). Однако возрастной диапазон красноцветных пород сrudопроявлениями бокситов в Западном Казахстане значительно шире. Он определяется рамками от верхнего мела до палеогена включительно. Значительная масса пород бокситоносного красноцветного комплекса приходится на долю переработанных продуктов коры выветривания. Они отличаются наибольшей мощностью, большим разнообразием и более сложным взаимоотношением друг с другом и с бокситовыми породами. Кроме того, концентрация высокоглиноzemистых пород обнаруживает некоторую зависимость от постоянно протекающих здесь интенсивных процессов выветривания.



Породы бокситоносного красноцветного комплекса на территории Западного Казахстана локализуются на пологих склонах обширной дельудационной поверхности. Они нередко приурочены к древним котловинам и различного рода эрозионно-карстовым депрессиям в палеозойском фундаменте. В современном рельфе каменистые бокситы, как породы, трудно поддающиеся разрушению, сохранились лишь в редких участках в виде островов. Они слагают небольшие сопки, между которыми расположается переработанный материал коры выветривания.

Аналогичные черты строения красноцветного комплекса наблюдаются в пределах Восточного Казахстана и Алтайского края. Здесь красноцветные отложения также отделены от древних толщ верхнемезозойской корой выветривания, а перекрываются зеленоцветными песчано-глинистыми нередко карбонатизированными породами верхнего эоценена в Восточном Казахстане и миоцена в Алтайском крае. Красноцветный комплекс слагается различными обломочными отложениями. Часто присутствуют прослои песков, иногда галечников или щебней. Все породы, как правило, глинистые, окрашенные в белые, желтоватые, бурые, ярко-красные тона. Глинистый материал каолинизирован, пески преимущественно кварцевые. Мощность красноцветного комплекса составляет 70—140 м, редко больше.

В качестве иллюстрации приведем разрез скв. 115, пробуренный на левобережье р. Чумыш (снизу вверх).

1. Глинистые алевролиты светлые розово-коричневые, слегка каолинизированные. Среди обломков (размер около 0,08 мм) доминируют серпентинизированные породы, встречаются зерна кварца и редко гематита. Глинистое вещество обогащено пылевидными оксалами железа. Породы тонко рассланцованные	Интервал, м 149,5—146
2. Плохо сортированный гравийный и мелкогалечниковый материал в мелкообломочной и глинистой массе. Обломки до 1,5 см в попечнике слабо окатаны, либо угловатые. Породы рыхлые	146—136
3. Глинистые алевролиты розово-красные с примесью песчано-глинистого материала. Полевые шпаты полностью каолинизированы. Породы рассланцованны и сильно перемяты	136—132
4. Гравийный и мелкогалечниковый материал в песчано-глинистой розово-серой массе	132—128,4
5. Глинистая розово-белая порода с большим количеством мелкогалечникового и гравийного материала. Порода рыхлая, легко разрушается	128,4—125,4
6. Глины розово-коричневые с брекчевидной отдельностью. Угловатые обломки и вмещающая масса сложены глинистым материалом, поэтому обломочный характер выявляется только при изучении под микроскопом. Окислы железа сконцентрированы в виде многочисленных мелких (до 0,16 мм) стяжений — пятен округлой формы. В единичных случаях встречается лейкоксен. В породе отмечается некоторая ориентация мелкообломочного материала, которая подчеркивает пути инфильтрации и перераспределения вещества	125,4—122,4
7. Глины сероцветные беловатые, иногда с зеленоватым оттенком. Содержат грубообломочный материал и кварцевые зерна до гравийной размерности. Отмечаются многочисленные отпечатки растений	122,4—119 119—117
8. Глины песчанистые белые, слабо каолинизированные	117—100,6
9. Глины песчанистые пятнистые бело-желтые. Содержат мелкогалечниковый и гравийный материал, многочисленные угловатые осколки кварца алевритовой размерности. Породы слабо каолинизированы, желто-участки обожрены	100,6—96
10. Глины пятнистые ярко-пестроцветные, иногда переходящие в песчано-глинистые малиновые, красно-коричневые, желтые и белые образования, каолинизированные	96—91
11. Глины песчанистые желто-белые и розовые, слабо каолинизированные	91—87
12. Глины белые каолинизированные. Вверх по разрезу сменяются песчано-глинистыми отложениями со светло-желтыми пятнами и побежалостью. В песчано-глинистых образованиях отмечается примесь мелкогалечникового и гравийного материала, редкие зерна кварца	87—83
13. Глинистые песчаники иногда крупнозернистые светло-серые. Породы слабо сцементированы, глинистый материал каолинизирован	129

Таблица 6

Химический состав бокситоносных пород некоторых районов Восточного Казахстана и Алтайского края

	Интервал, м
14. Песчаники мелкозернистые желто-коричневые, сильно ожелезненные и обогранные. Породы рыхлые	83—82
15. Глины песчанистые с белыми и желтыми пятнами, вверх по разрезу переходит в белые каолинизированные глины	82—77
16. Глины пятнистые голубовато-серые, зеленоватые, землистогрязные с многочисленными коричнево-красными пятнами. Породы обогащены гидрослюдами, имеют комковатую отдельность	77—70

Вышне залегает сероцветная песчано-глинистая толща миоценового возраста.

На современный облик пород красноцветного комплекса, их структурно-текстурные особенности существенно влияли, как и в Западном Казахстане, постоянно протекающие процессы гипергенического изменения. Наиболее яркие преобразования пород наблюдались нами в разрезах красноцветного комплекса Восточного Казахстана.

Присутствующие в этих породах органическое вещество, карбонатный материал и сульфиды определили характер выветривания. Особенно заметна гипсоминеральность пород в разрезах по р. Тайкызген и в районе пос. Чайбулак. Гипс волокнистый мутно-белый, иногда прозрачно-водянистый бесцветный, выполняет трещины, либо встречается (разрез Чайбулак) в виде достаточно крупных (до 10 см) хороший ограничивающие сдвойникованных кристаллов. Для пород характеристика пятнистая окраска. Так, в разрезе Чакельмес (в нижней части) выделяются слегка каолинизированные глины мощностью около 10 м с многочисленными малиновыми и вишнево-коричневыми пятнами неправильной продолговатой, либо округлой формы размером до 30 см, разделенным белым глинистым веществом. В средней части этого разреза пестроцветные глинистые породы слагают пачку мощностью до 3 м, где пути инфильтрации фиксируются вертикальными полосами ожелезнения и вишнево-красными пятнами. Присутствующие в породе соединения марганца обусловили возникновение черных пятен и достаточно крупных конкрециевидных стяжений размером до 30 см с содержанием MnO от 2,95 до 9,9% (табл. 6, образцы BKIO-9, BKIO-15, BKIO-27). Глинистые образования в районах Восточного Казахстана и в пределах Бийско-Барнаульской впадины заметно обогащены глиноzemом и кремнеземом (см. табл. 6).

Породы бокситоносного красноцветного комплекса Восточного Казахстана и Алтайского края залегают в пределах впадин, мульд и в эрозионно-tektonических мелких депрессиях. Осадки обычно лежат горизонтально, но местами (у тектонических разломов, в горст-антклинальных структурах и пр.) отмечаются наклонные и даже крутопадающие пачки.

Широкое развитие различных фациальных переходов от грубообломочных осадков к толстым глинистым породам с высоким содержанием глиноэма, наличие обломочных структур и некоторые другие факторы достаточно определенно указывают на то, что красноцветные отложения мезокайнозойского комплекса Восточного Казахстана и Алтайского края сформировались в результате размыва и переотложения продуктов латеритной коры выветривания в эпохи активизации тектонических движений. Известно, что размыв коры выветривания существенно повлиял на рассредоточение рудного минерала. На этой огромной территории пока не обнаружены промышленные рудопроявления бокситов. Однако к бесперспективным даним регионам относить, вероятно, еще не следует. В пользу такого предположения говорят значительная концентрация и присутствие в разрезах Восточного Казахстана и Алтайского края высокоглиноzemистых пород с содержанием Al_2O_3 до 30%.

При поисках бокситов в пределах Восточного Казахстана и Алтайского края, по-видимому, следует обратить особое внимание на выявление площадей, близко расположенных к источникам питания и с благоприят-

Номер обр.	SiO ₂	MnO	TiO	Al ₂ O ₃	MgO	CaO	Fe ₂ O ₃	Na ₂ O	K ₂ O	FeO	H.p.p.	Σ
BKIO-1	48,00	—	0,96	26,20	0,50	0,05	11,34	0,04	1,15	0,15	10,76	100,0
BKIO-4	54,00	0,03	1,08	22,00	0,50	0,25	7,43	0,47	0,03	0,12	10,00	98,42
BKIO-5	55,00	0,01	0,94	8,30	0,09	9,80	5,19	0,05	0,32	0,28	20,92	100,7
BKIO-6	49,00	0,04	1,17	26,65	0,40	0,03	8,31	0,50	1,07	0,09	12,44	100,3
BKIO-7	85,00	—	0,74	0,95	0,00	0,55	1,79	0,70	1,87	0,46	1,50	100,1
BKIO-8	76,00	0,03	0,65	8,30	0,50	0,25	4,49	1,85	1,27	0,28	4,78	98,40
BKIO-9	40,00	2,95	0,58	5,90	7,30	15,50	2,75	1,23	0,80	—	23,04	100,0
BKIO-9a	76,00	1,46	0,32	2,35	1,42	9,86	1,85	0,27	0,40	—	7,30	100,0
BKIO-10	57,50	0,05	1,33	18,00	1,30	0,60	6,60	2,40	2,00	—	10,20	100,0
BKIO-11	48,50	0,03	0,84	19,60	1,90	2,00	7,16	2,60	2,66	0,24	14,82	100,3
BKIO-12	33,00	0,33	0,51	12,20	8,25	13,50	4,66	1,62	2,55	0,40	23,50	100,5
BKIO-13	46,50	0,10	0,44	10,80	2,70	11,50	5,55	2,30	3,00	0,80	16,56	100,2
BKIO-14	58,00	0,05	1,26	18,70	1,00	2,20	6,81	2,50	1,59	0,09	8,22	100,4
BKIO-15	23,00	9,90	0,47	7,50	2,90	0,70	37,20	1,92	0,94	—	14,78	99,31
BKIO-16	37,00	0,08	0,30	9,40	5,70	14,20	4,44	2,20	3,26	0,36	23,96	100,9
BKIO-17	53,00	0,10	0,51	11,50	2,30	9,10	5,00	1,77	2,22	0,43	14,50	100,4
BKIO-18	47,00	—	1,26	30,05	0,60	0,80	7,41	0,93	0,80	0,09	11,14	100,0
BKIO-19	53,00	—	1,00	24,00	0,50	0,50	8,40	0,38	1,79	—	10,80	100,3
BKIO-20	50,00	0,02	1,17	30,25	0,50	0,50	6,84	0,40	1,31	0,15	9,42	100,5
BKIO-21	56,00	1,76	1,05	16,20	2,00	1,40	10,60	0,62	1,28	—	9,48	100,3
BKIO-22	77,00	0,06	1,50	10,03	1,00	0,90	2,70	0,85	1,00	0,11	4,92	100,1
BKIO-23	82,00	0,04	1,40	8,25	0,50	0,60	1,60	1,39	1,45	0,42	3,10	100,5
BKIO-24	67,00	0,05	1,50	18,15	0,70	0,40	3,20	0,55	2,11	0,42	6,24	100,3
BKIO-25	52,00	—	0,83	19,75	2,10	1,45	8,55	0,43	2,44	0,50	11,40	99,15
BKIO-26	59,00	0,14	1,68	21,50	1,30	0,40	4,67	0,39	2,22	0,31	8,40	100,0
BKIO-27	40,00	7,50	0,72	18,00	2,00	0,40	16,40	0,36	1,87	—	12,04	100,4
BKC-8	53,00	—	1,05	26,00	0,50	0,50	0,43	0,92	1,03	0,17	10,46	100,0
BKC-9	60,50	—	1,26	19,15	0,55	0,30	8,07	0,54	0,59	0,08	9,32	100,3
BKC-10	65,00	—	1,33	22,80	0,40	0,40	2,25	0,44	1,12	0,19	0,90	100,5
BKC-11	57,00	0,04	1,16	20,45	0,80	1,00	6,10	1,33	1,03	—	11,30	100,2
BKC-12	84,00	0,05	1,02	8,27	0,23	0,70	1,60	0,17	0,91	0,19	2,78	99,92
BKC-13	72,00	—	1,40	16,00	0,50	0,30	1,84	0,47	0,96	0,15	6,88	100,5
BKC-14	89,00	—	0,20	7,00	0,10	0,30	0,40	0,08	0,43	0,15	2,88	100,6
BKC-15	52,00	0,04	1,00	25,00	0,50	0,70	8,94	0,52	0,93	0,46	10,60	100,6
BKC-15 _к	54,00	0,06	1,00	24,00	0,50	0,00	8,00	0,52	0,96	0,11	10,7	100,0
BKC-16	52,00	—	1,00	22,00	0,00	0,30	10,14	1,25	0,86	0,15	11,78	100,0
BKC-17	64,00	—	1,10	21,00	0,37	—	2,33	0,46	0,76	0,34	0,02	99,98
BKC-18	62,00	—	1,32	20,00	0,05	0,30	3,09	0,36	0,50	0,41	9,70	99,23
BKC-19	87,00	—	0,58	8,00	0,35	0,10	0,90	0,10	0,27	0,19	2,04	100,4
BKC-20	92,00	—	0,22	5,60	0,10	—	0,06	0,04	0,27	0,31	1,04	100,2
BKC-21	60,00	0,04	1,20	21,75	0,60	0,40	2,85	0,36	1,32	0,28	6,82	100,4
BKC-22	68,00	—	1,70	18,00	0,82	0,25	6,51	1,70	0,93	0,31	2,56	100,5
BKC-23	78,00	—	1,54	8,60	0,41	—	8,36	1,17	1,12	0,31	10,54	99,04
BKC-24	55,00	0,04	1,10	21,00	0,80	0,20	3,40	1,00	1,20	0,19	8,30	100,1
BKC-25	63,00	—	1,00	21,00	0,50	—	8,50	1,08	1,12	0,23	10,72	100,4
BKC-26	55,00	—	1,22	22,00	0,40	0,20	3,43	1,54	1,19	3,49	5,04	100,2
B-114-1	64,00	0,20	0,97	15,80	3,20	0,85	0,32	0,88	0,21	1,07	7,08	100,1
B-114-2	62,50	0,37	0,82	14,50	4,46	1,30	—	—	—	—	6,34	100,1
B-114-3	63,00	0,40	1,00	13,45	1,90	1,85	9,45	0,43	1,19	—	—	—
B-114-4	64,00	0,27	0,92	16,10	1,45	0,70	7,85	0,41	2,44	—	4,38	99,99
B-115-1	63,00	0,02	0,81	21,50	0,23	0,30	0,54	1,00	1,55	0,21	4,90	99,86
B-115-2	63,00	0,05	0,99	19,95	0,25	0,50	7,07	1,27	1,67	0,21	4,46	100,1
B-115-3	67,00	0,04	1,10	20,10	0,35	0,70	3,24	1,27	1,70	0,06	4,46	100,0
B-115-4	70,00	0,06	1,35	12,85	0,30	0,03	1,56	0,15	0,73	2,02	7,00	99,05
B-115-5	65,00	0,08	1,42	16,25	0,37	0,44	0,00	0,15	0,70	2,94	6,70	100,0
B-115-6	59,00	0,03	1,30	17,50	0,30	0,40	11,84	0,19	0,65	0,06	8,04	99,91
B-115-7	52,00	0,16	0,40	2,10	0,34	0,30	37,50	0,09	0,21	—	7,72	100,3
B-115-8	69,00	0,05	2,00	11,90	0,60	0,90	7,10	0,09	0,30	0,04	7,70	99,74
B-118-1	51,50	0,97	2,50	10,20	0,00	0,70	10,25	0,18	0,27	—	10,66	100,1
B-118-2	63,00	0,30	1,28	16,50	0,50	0,35	8,05	0,04	0,21	—	8,48	99,61

П р и м е ч а н и я. Образцы BKC-18 по BKC-27 — район Чайбулак, BKC-1 — район горы Чакельмес, Образцы B — Бийско-Барнаульская впадина, село Чайбулак, BKC-1 по BKC-17 — долина р. Тайкызген, BKC-18 — район пос. Чайбулак, BKC — район горы Чакельмес, Образцы B — Бийско-Барнаульская впадина, село Чайбулак, BKC-1 по BKC-17 — долина р. Тайкызген, BKC-18 — район пос. Чайбулак, BKC — район горы Чакельмес.

ными морфоструктурами типа карстовых впадин или других различных глубоких депрессий в палеозойском фундаменте, каждая из которых может служить рудовмещающей полостью, как это имеет место в соседних областях Казахстана и Енисейского кряжа [Разумова, 1961; Пельтек, 1971; Вопросы..., 1977; и др.].

ЗАКЛЮЧЕНИЕ

Из приведенных материалов вытекают следующие основные выводы.

1. На огромной территории, охватывающей площади восточного склона Среднего и Южного Урала, Западного и Восточного Казахстана, а также районов Алтайского края, в мел-палеогеновое время формировался комплекс красноцветных пород, содержащий бокситы.

2. В сложении бокситоносных красноцветных комплексов участвуют в основном два типа отложений: образование коры выветривания и продукты ее перемыва в виде осадочных накоплений. Все наиболее значительные рудопроявления бокситов связаны с делювиально-пролювиальными образованиями и тяготеют к верхней половине комплекса.

3. Породы бокситоносных красноцветных комплексов слабо дислоцированы; они залегают либо горизонтально и тогда широко развиты на сравнительно больших территориях, либо распространены в виде линейно-вытянутых полос и выполняют отдельные небольшие депрессии, эрозионные долины, карстовые впадины.

4. Образование бокситоносных красноцветных комплексов предшествовали перерыв в осадконакоплении, выравнивание рельефа и достаточно длительный тектонический покой.

5. В формировании бокситоносных красноцветных комплексов намечаются два этапа, обусловленные различной тектонической жизнью региона. Первый связан с образованием выветрелых пород при относительном покое, второй — с разрушением элювия и накоплением продуктов его перемыва в условиях повышенной тектонической активности и развитой эрозии.

6. Периоды относительного покоя и тектонической активности в пределах восточного склона Урала и южного обрамления Западно-Сибирской низменности были неодновозрастны. Наблюдается некоторый их сдвиг во времени (в сторону смещения с запада на восток). Так, относительный покой на территории восточного склона Урала сменяется тектоническими подвижками, которые в нижнем мелу вызвали эрозионные процессы и перемычи коры выветривания. В Западном и Восточном Казахстане разрушение кор выветривания начинается с верхнего мела, а в Алтайском крае размыты элювиальные образования начались только в палеогене.

7. Постоянно протекающие процессы выветривания, особенно на территории южного обрамления Западно-Сибирской низменности, существенно влияли на распределение высокоглиниземистых пород в разрезах бокситоносного красноцветного комплекса. При вертикальной направленности выветривания бокситы накапливаются не только в верхних, но и в нижних горизонтах. Эта особенность играет существенную роль в дальнейшей судьбе бокситовых пород. При изменении тектонического режима региона бокситы нижних горизонтов скрыты под достаточно мощной толщей продуктов переработки коры выветривания и защищены ими. Последнее обстоятельство может служить положительным фактором при поисках бокситовых месторождений на территории Восточного Казахстана и Алтайского края.

ЛИТЕРАТУРА

- Анатольева А. И. Главные рубежи эволюции красноцветных формаций. Новосибирск: Наука, 1978. 189 с.
- Архангельский А. Д. Типы бокситов СССР и их генезис. — Труды конференции по генезису руд железа, марганца, алюминия. М.—Л.: Изд-во АН СССР, 1937, с. 365—512.
- Архангельский Н. И. О возрасте, составе и тектоническом размещении латеритного элювия на восточном склоне Урала. — В кн.: Латериты. Международный геологический конгресс. Проблема 14. М.: Недра, 1964, с. 120—128.
- Безруков П. Л., Яншин А. Л. Юрские отложения и месторождения бокситов на Южном Урале. М.: ГОНТИ, 1934. 100 с.
- Безруков П. Л., Яншин А. Л. Юрские отложения и месторождения алюминиевых руд в Примуроджарских степях. — В кн.: Бокситы. Т. 1. М.: ОНТИ НКТП СССР, 1937, с. 75—167.
- Бушинский Г. И. Выстривание осадочных пород. — В кн.: Методы изучения осадочных пород. Т. 1. М.: Госгеолтехиздат, 1957, с. 74—77.
- Бушинский Г. И. Успехи изучения генезиса бокситов за последние десять лет (1955—1965). — В кн.: Генезис бокситов. М.: Наука, 1966, с. 5—30.
- Бушинский Г. И. Геология бокситов. М.: Недра, 1975. 416 с.
- Великовская Е. М. Бокситы восточной части Тургайской впадины (Бассейн р. Ашу-Тасты-Тургай). — В кн.: Бокситы. Т. 4. М.—Л.: ГОНТИ, 1939, с. 3—44.
- Волков А. И. Условия образования бокситов. — В кн.: Труды института геологических наук. Алма-Ата: Изд-во АН КазССР, 1959, с. 3—35.
- Вопросы геологии бокситов и кор выветривания Казахстана. Алма-Ата: ОНТИ КазИМСа, 1977. 102 с.
- Генетическая классификация и типы бокситовых месторождений СССР. М.: Наука, 1974. 307 с.
- Кривцов А. И. Мезозойские и кайнозойские бокситы СССР, их генезис и промышленное значение. Ч. 2. Л.: Недра, 1969. 327 с.
- Лисицына Н. А. Древняя кора выветривания западной части Казахского нагорья. М.: Гос. науч.-техн. изд. литературы по горному делу, 1960. 99 с.
- Шапулов Т. Н., Ситникова Э. И. Мезозойские и палеогеновые отложения района Тургайской опорной скважины в Среднем Зауралье. Свердловск, 1964. 99 с.
- Патрикес С. Б. Новые данные о бокситах Аркалынского месторождения. — В кн.: Геология и полезные ископаемые Тургайского прогиба. Л., 1971, с. 167—176.
- Пельтек Е. И. Геологическое строение и закономерности размещения бокситов Енисейского кряжа и западной части Сибирской платформы. Автореф. канд. дис. Новосибирск, 1971. 22 с.
- Петров В. П. Основы учения о древних корах выветривания. М.: Наука, 1967. 344 с.
- Проблемы генезиса бокситов. М.: Наука, 1975. 315 с.
- Разумова В. И. Меловые и третичные формации западной части Центрального и Южного Казахстана. М.: Изд-во АН СССР, 1961. 227 с.
- Сапожников Д. Г. Генетическая классификация бокситовых месторождений СССР. М.: Наука, 1974, с. 5—20.
- Сульман А. М. Бокситы Аркалынского месторождения. М.: Наука, 1976. 163 с.
- Умова Л. А., Заур Г. И., Шатров В. И. Палеогеография восточного склона Урала и Зауралья в меловое и палеоценовое время. Свердловск, 1968. 82 с.
- Цеховский Ю. Г. Литогенез континентальной нестроцветной кремнисто-гетит-каолиновой формации (Восточный Казахстан). М.: Наука, 1973. 185 с.
- Цеховский Ю. Г. О генетической классификации бокситоносных толщ Аркалынского месторождения. — В кн.: Проблемы генезиса бокситов. М.: Наука, 1975, с. 210—224.
- Яншин А. Л. Условия залегания и генезис бокситов Южного Урала, Казахстана и Восточной Сибири. — В кн.: Труды конференции по генезису руд железа, марганца и алюминия. М.—Л.: Изд-во АН СССР, 1937, с. 624—645.
- Яншин А. Л. Об элювиальных теориях образования бокситов. — Бюл. МОИП. Отдел геол., 1941, вып. 3—4, с. 45—68.

ОСОБЕННОСТИ СОСТАВА ФОСФОРИТОВ СЕЛЕТИНСКОГО МЕСТОРОЖДЕНИЯ

Селетинское месторождение верхнемеловых желваковых фосфоритов расположено на северо-востоке Целиноградской области в среднем течении р. Селеты, при ее выходе из Казахского нагорья в Прииртышскую депрессию. Площадь, оконтуренная поисковым бурением (127 скважин глубиной 20–110 м), составляет около 1200 км².

Поинтеральное опробование верхнемеловых отложений, которое осуществлялось при поисковых работах объединением «Североказахстангеология», показало, что содержание Р₂O₅ по некоторым интервалам (мощность до 1 м) достигает 5–7%. Такое содержание Р₂O₅ в породе связано с фосфатными желваками. В связи с этим возникла необходимость изучения распределения желваков в разрезе, их вещественного состава и зависимости их от вмещающих пород.

Селетинское месторождение приурочено к чехлу южной части Западно-Сибирской плиты, где толщи мела и палеогена погружаются на северо-восток со слабым наклоном. Район месторождения относится к Ерементау-Башекульской структурно-формационной мегазоне [Ляпичев, Шлыгин, 1972]. Фундаментом служит нижнеекаледонский комплекс, представленный башекульской и торткудукской сериями [Булыго, Ившин, 1972].

В данной работе автор придерживался существующего стратиграфического расчленения меловых и палеогеновых отложений чехла южной части Западно-Сибирской низменности [Пономаренко, Шилин, 1972; Лавров, 1972]. Самые нижние части разреза (роговообманково-плагиоклазовые порфиры ордовика?) вскрыты в северо-западной части месторождения на глубинах 40–50 м. На порфириях залегает киялинская свита горерив-баррема. Она слагается глинами с песчано-алевритовыми прослойками. Ее мощность колеблется от 1 до 30 м. Вышележащие нестрогов цветные глины мощностью 3–15 м (часто каолинизированные, содержащие обугленные остатки и развитые по ним пирит и марказит) объединяются в леньковскую свиту, возраст которой определяется как апт-сеноман. В большинстве случаев она ложится на киялинскую свиту, но иногда залегает на порфириях ордовика (?). Местами леньковская свита выпадает из разреза.

Вышележащая фосфатсодержащая славгородская свита сантон-кампанского возраста со стратиграфическим несогласием перекрывает киялинскую и леньковскую свиты. Она состоит в основном из кварц-глауконитовых песчаников и алевролитов, содержащих фосфатные желваки. Эоценовая люлинворская свита мощностью 5–55 м также отделена от славгородской стратиграфическим перерывом. В составе люлинворской свиты преобладают опоковые песчаники с прослойками кварц-глауконитовых песчаников и серых кварцевых алевролитов. В юго-восточной части месторождения обособляется нижняя часть свиты, сложенная преимущественно темно-серыми плитчатыми алевролитами с многочисленными обугленными органическими остатками. Венчают разрез пластичные коричневатые глины олигоценовой чеганской свиты, передко содержащие линзы и прослой алевролита и гравийного песка. Ее мощность 15–50 м.

Славгородская свита содержит фосфат по всей площади распространения. Она выпадает из разреза в нескольких скважинах в юго-западной части месторождения. Мощности свиты незначительные (от 0,5 до 22 м). Наблюдается общая тенденция ее увеличения с юго-запада на северо-восток от 0,5–3 до 18–22 м. Как уже отмечалось, в свите преобладают кварц-глауконитовые песчаники и алевролиты. Иногда прослеживается

увеличение количества глауконита вниз по разрезу от 15–25 до 35–60%. Обычно в верхах свиты имеются прослои опоковых песчаников. Встречаются маломощные (первые десятки сантиметров) прослои табачно-зеленых кварц-глауконитовых песчаников, содержащих железистые оолиты. Фосфатные желваки в вертикальном разрезе свиты распределены неравномерно. Иногда отмечаются прослои мощностью 0,1–0,5 м с концентрацией желваков до 50–70%. Обычное содержание желваков в породе 5–15%. Содержание Р₂O₅ в них достигает 1–2%, реже 4–6 и иногда 15–23%.

Среди изученных песчаников и алевролитов славгородской свиты преобладают мелко- и среднезернистые разновидности песчаников и крупнозернистые разновидности алевролитов. По минералогическому составу зерен выделяются глауконитовые, глауконитово-кварцевые и полевошпатово-кварцевые типы [Теодорович, 1958]. Цемент глинистый, кремнистый и кремнисто-фосфатный в основном базального и порового типов. В единичных случаях в цементе присутствует кальцит. Зерна кварца, полевых шпатов и обломки пород обычно угловатые и слабо окатанные, значительно реже окатанные и хорошо окатанные. Из полевых шпатов встречаются (приводятся в порядке частоты) плагиоклаз, микроклин, ортоклаз. Нередко плагиоклазы изменены и хлоритизированы. Среди других минералов обнаружены турмалин, анатаз, циркон (довольно часто встречается в крупнозернистых разновидностях песчаников), очень редко отмечается роговая обманка, оливин, пироксен. Имеются пирит и марказит, часто развитые по обугленным остаткам растений.

Фосфатсодержащими в продуктивной славгородской свите являются желваки. Форма их довольно разнообразная, но чаще округло-вытянутая. Поверхность угловато-ovalная, шероховатая или гладкая, цвет (в зависимости от содержания глауконита, кварца и органического вещества) от зеленовато-серого до черного. Иногда желваки имеют смолистый черный блеск. Содержание Р₂O₅ в желваках возрастает с увеличением их размеров. Результаты гранулометрического анализа и распределения фосфора по классам крупности в десяти пробах* показывают, что больше фосфора содержится в желваках класса 10–40 мм. Распределение содержания Р₂O₅ по классам крупности с содержанием данных классов в породе следующее:

Класс, мм	Содержание Р ₂ O ₅ , %	Содержание класса, %
0,5	1–2	30–50
0,5–1	2–6	2–7
1–5	10–14	4–15
5–10	10–19	2–6
10–40	15–23	35–50

По распределению Р₂O₅ в крупных и мелких классах аналогичные выводы получены по альб-сеноманским фосфоритам Московской синеклизы [Копысов, Михайлова, 1979].

Желваки наиболее часто связаны с мелкозернистыми песчаниками, содержащими примесь грубозернистого (до 1–3 мм) материала. Сами желваки обычно имеют алевритовую, реже мелкозернистую псаммитовую структуру. Как правило, крупность зерен в желваке и в содержащей его породе не совпадает.

Среди терригенного и аутогенного нефосфатного материала желваков по составу выделяются три минералогических типа (преимущественно в классах крупности 5–10 и 10–40 мм). Минерал (или два минерала), соответствующий названию типа, преобладает (более 50%) в зернах (кварц-глауконит) или в цементе (опал, кальцит, глауконит). С учетом нефосфат-

* По данным объединения «Североказахстангеология».

Желваковые			Костные	
Фосфатная составляющая			Нефосфатная составляющая	
Цемент	Микроконкремции, каэмки	Детрит		
Скрытокристаллический фосфат	Радиально-лучистый фосфат	Мелкокристаллический фосфат	Кремнисто-глауконитовая Карбонатно-глауконитовая Кварц-глауконитовая	Обломки костей и зубы рыб, сложенные волокнистым фосфатом

ной составляющей возможны более детальная систематизация и отделение песчанистых разностей фосфоритов от пелитоморфных.

Фосфатная составляющая желваков подразделяется на три типа (см. таблицу). Большая часть фосфата желваков обычно входит в состав цемента, представленного скрытокристаллической его разновидностью базального и порового типов. Содержание фосфатного цемента составляет 15–60%. В мелких желваках (0,5–15 мм) фосфатная составляющая чаще всего представлена только фосфатным цементом. В более крупных желваках добавляется детритовый и радиально-лучистый фосфат, составляя соответственно 10–20 и 15–30%. Радиально-лучистый фосфат в крупных желваках встречается почти всегда, образуя каэмочки (плепочки) вокруг зерен кварца, глауконита, развивааясь по трещинкам и по скелетным кремневым остаткам белемнитид и спикул губок. Размеры индивидов фосфата от 0,01 до 0,08 мм. Такими же индивидами сложены единичные микроконкремции, встречающиеся довольно редко среди радиально-лучистого фосфата, образующего каэмочки. Толщина таких каэмок, как и радиальный размер микроконкремций, в пределах шлифа обычно одинаковы или близки. Детритовый фосфат проявлен значительно меньше двух других типов. Он представлен скрыто- или мелкокристаллическим фосфатом с размерами индивидов 0,01–0,04 мм, выполнения скелетные остатки хорошо выраженных спикул губок.

В группу костных фосфоритов вошли редко встречающиеся в славгородской свите обломки неопределенных костей размерами 0,5–3 см, сложенных волокнистыми агрегатами фосфата. К этой группе отнесены зубы рыб невыясненного систематического положения. Зубы имеют хорошую сохранность и достигают в размерах 1–3 см.

ЛИТЕРАТУРА

- Булыго Л. В., Ившин И. К. Селетинский синклиниорий и Ишекольский антиклиниорий.— В кн.: Геология СССР. Т. XX. М.: Недра, 1972, с. 100–104.
- Копысов Ю. Г., Михайлова Л. И. О вещественном составе альб-сеноманских фосфоритов и имеющих пород юго-запада Московской синеклизы и смежных регионах.— В кн.: Вещественный состав фосфоритов. Новосибирск: Наука, 1979. 128 с.
- Лавров В. В. Северное и северо-восточное обрамление Казахского щита.— В кн.: Геология СССР. Т. XX. М.: Недра, 1972, с. 464–471.
- Лищев Г. Ф., Шлыгин Е. Д. Основные черты геологического строения.— В кн.: Геология СССР. Т. XX. М.: Недра, 1972, с. 20–32.
- Пономаренко З. К., Шилин Т. В. Меловая система.— В кн.: Геология СССР. Т. XX. М.: Недра, 1972, с. 426–428.
- Теодорович Г. И. Учение об осадочных породах. Л.: Гостоптехиздат, 1958. 568 с.

ТЕРИГЕННО-МИНЕРАЛОГИЧЕСКИЕ АССОЦИАЦИИ И КОМПЛЕКСЫ ВЕРХНEDОКЕМБРИЙСКИХ ОТЛОЖЕНИЙ ПАЧЕЛМСКОГО ПРОГИБА

На Русской плате по фундаменту выделяются ряд крупных прогибов и впадин, выполненных мощными континентальными и морскими терригенными и карбонатными отложениями верхнего докембра: Пачелмский, Московский, Крестцовский, Солигалич-Яренский, Камско-Бельский, Сергиевско-Абдулинский, Оршанская, Мезенская. Отложения верхнего докембра вскрыты здесь многочисленными глубокими скважинами; они изучались многими исследователями. Для каждой из указанных структур разработаны детальные схемы расчленения и корреляции верхнедокембрейских осадочных толщ. Несмотря на это, до сих пор значительные разногласия возникают при соотнесении отложений верхнего докембра как внутри отдельных прогибов и впадин, так и между ними.

Основные пути исследования фациально неоднородных, немых толщ верхнего докембра — детальное изучение вещественного состава пород, выяснение количественного распределения порообразующих и акцессорных терригенных минералов (минералов легких и тяжелых фракций). Подобные исследования минералогического состава верхнедокембрейских отложений Русской платы проводятся нами на протяжении многих лет. Результаты этих работ по Московскому прогибу и Оршанской впадине были опубликованы [Рабиханукаева, 1977]. В настоящей статье излагаются данные минералогических исследований по Пачелмскому прогибу.

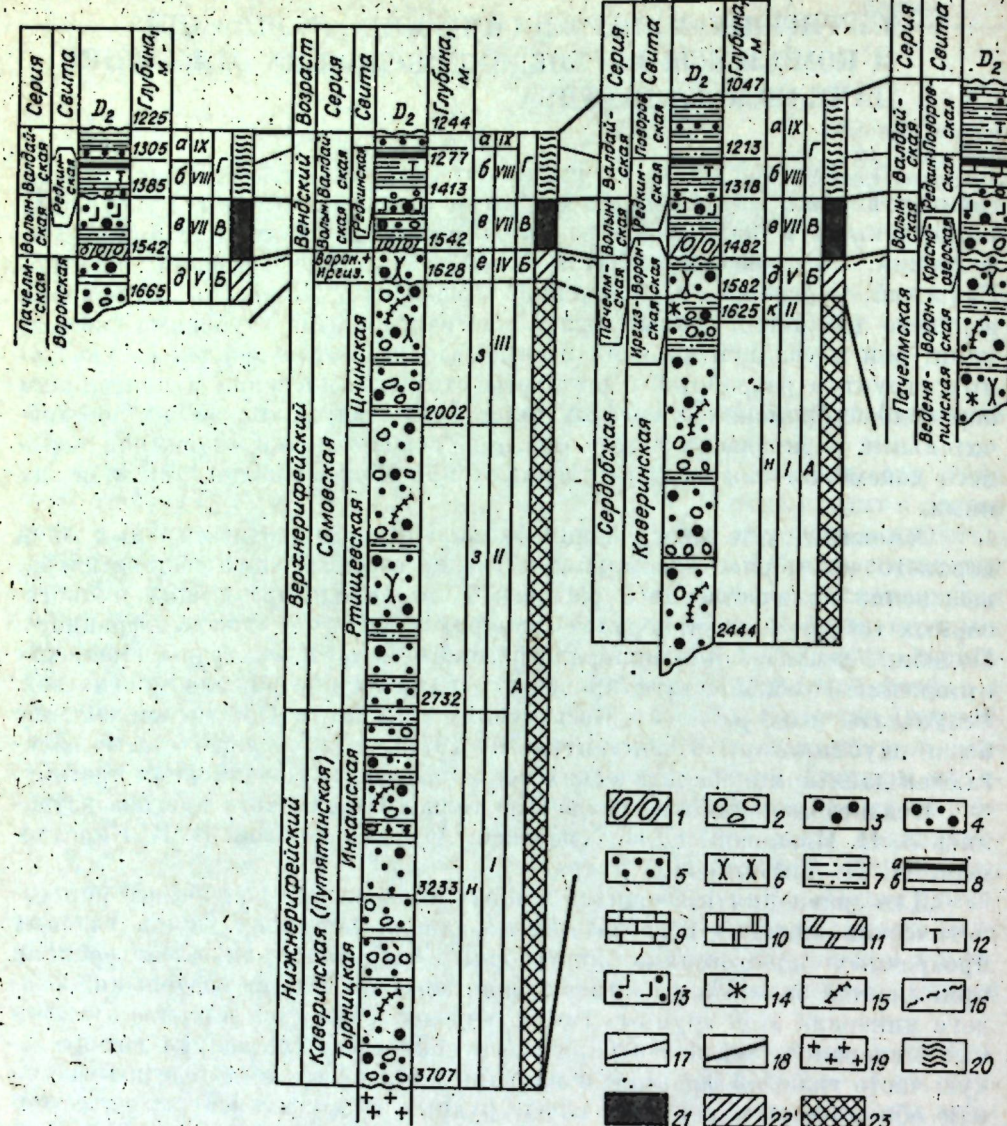
Позднедокембрейские осадочные толщи Пачелмского прогиба изучались З. П. Ивановой, Е. И. Хмелевой, А. А. Клевцовой, В. В. Кирсановым, Н. Я. Тихомировой и др.

Для сравнения имеющихся данных и избежания ошибок все минералогические анализы пересчитаны по единой методике. Сумма главных прозрачных кластогенических акцессорных минералов тяжелой фракции принимается за 100%, и соответственно пересчитывается содержание каждого минерала этой группы. Таким образом, снимается влияние аутогенных минералов (анатаза и барита, которые часто составляют значительную часть тяжелой фракции и многими исследователями подсчитываются как обломочные минералы), сплюнд, рудных и других непрозрачных минералов.

При установлении терригенно-минералогических ассоциаций использовались тяжелые и легкие минералы, характеризующие петрографический состав провинций питания. В названиях терригено-минералогических ассоциаций последовательность минералов устанавливается по увеличению их количественного состава.

Для литолого-минералогической характеристики отложений верхнего докембра в Пачелмском прогибе использованы материалы по семи скважинам: Мосоловской, Сомовской, Каверинской, Морсовской, Зубово-Полянской, Пачелмской (Воронская скв. 10) и Сердобской (скв. Р-2). В Сомовской, Зубово-Полянской и Пачелмской скважинах верхнедокембрейские отложения пройдены полностью, и в них вскрыты породы кристаллического фундамента. Осадочная толща верхнего докембра в этих скважинах установлена соответственно в интервалах глубин: 3707–1244 м, мощность 2563 м; 1487–1035 м, мощность 452 м; 1728–770 м, мощность 958 м. В разрезах скважин Мосолово (интервал глубин 1665–1225 м, мощность 440 м), Каверино (интервал глубин 2444–1047 м, мощность 1397 м), Сердобска (интервал глубин 2232–1303 м, мощность 929 м)

МОСОЛОВО

Сомово
(скв 1)

верхнедокембрийские отложения вскрыты не на полную мощность. В близлежащих Велижской, Рижской и Ненецкой скважинах, расположенных за пределами впадины, породы фундамента установлены соответственно на глубинах 1192, 1023 и 1650 м, и мощность верхнедокембрийских отложений в них сокращается до 201, 69, 365 м. В разрезах Пачельского прогиба, как и в соседних районах верхнедокембрийские отложения перекрываются породами среднего и верхнего (Сердобск, скв. 2), девона. [Клевцова, 1968б, 1971; и др.]

Стратиграфическое расчленение разрезов Пачельского прогиба приведено на рисунке.

Имеющиеся разрезы верхнего докембра очень близки по строению. Описание их и взаимная связь приведены в работах И. Е. Постишниковой (1953, 1961, 1972, 1977), Н. С. Шатского (1955), А. А. Клевцовой и Л. Ф. Солонцова (1960), А. А. Клевцовой (1963, 1968а, б, 1976), З. П. Ивановой (1966, 1969а), З. П. Ивановой и др. (1965), Б. М. Келлера (1968),

Зубова Поляна

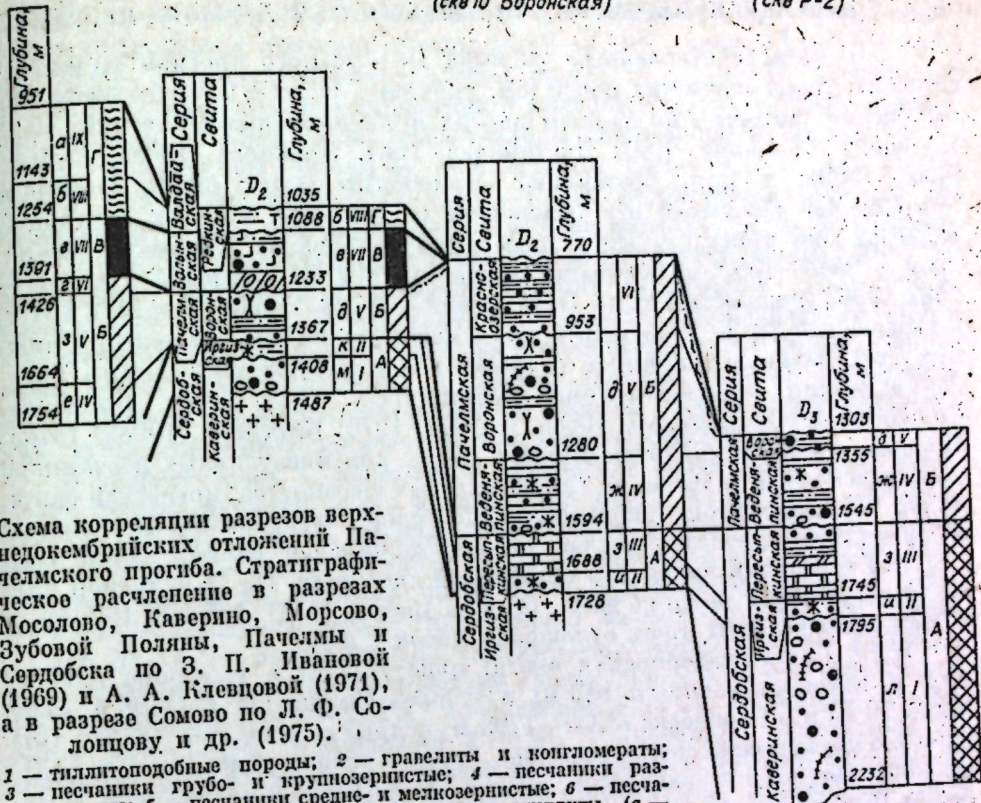
Пачельма
(скв 10 Воронская)Сердобск
(скв Р-2)

Схема корреляции разрезов верхнедокембрийских отложений Пачельского прогиба. Стратиграфическое расчленение в разрезах Мосолово, Каверино, Морсово, Зубовой Поляны, Пачельмы и Сердобска по З. П. Ивановой (1969) и А. А. Клевцовой (1971), а в разрезе Сомово по Л. Ф. Солонцову и др. (1975).

1 — тиллитоподобные породы; 2 — гравелиты и конгломераты; 3 — песчаники грубо- и крупнозернистые; 4 — песчаники разнозернистые; 5 — песчаники средне- и мелкозернистые; 6 — песчаники кварцитовидные; 7 — алевролиты; 8 — аргиллиты (а — аргиллиты, б — аргиллиты, обогащенные органическим веществом); 9 — известники; 10 — доломит; 11 — мергель доломитовый; 12 — туфы пепловые витроакластические; 13 — терригенно-пулькационные породы (туфопесчаники, туфолавролиты, туфоглиллиты, туфогиты); 14 — глауконит; 15 — каолинит; 16 — граница рифей и венда, по данным автора; 17 — корреляционные границы комплексов; 18 — породы кристаллического фундамента; 19 — руководящие минералы; 20 — аустиниты и мусковит; 21 — гранат; 22 — турмалин — циркон — кварц и другие устойчивые минералы; 23 — ортогоспазм и минероклин. А—Г — индексы литологических комплексов; I—IX — номера литологических пачек. Терригенно-минералогические ассоциации: а — гранат-турмалин-ильменит-циркон-мусковит-полевошпатово-каварцевая; б — рутил-гранат-турмалин-циркон-ильменит-мусковит-полевошпатово-каварцевая; в — турмалин-циркон-ильменит-гранат-слюда-полевошпатово-каварцевая или турмалин-циркон-гранат-ильменит-слюда-полевошпатово-каварцевая с обломками вулканического стекла; г — турмалин-ильменит-циркон-слюда-полевошпатово-каварцевая (и кварц-полевошпатово-каварцевая) или турмалин-циркон-ильменит-слюда-полевошпатово-каварцевая или турмалин-циркон-слюда-полевошпатово-каварцевая; д — турмалин-ильменит-циркон-слюда-каварцевая (и кварц-полевошпатово-каварцевая); е — корунд-ильменит-турмалин-ильменит-циркон-слюда-каварцевая (и полевошпатово-каварцевая); ж — корунд-ильменит-турмалин-ильменит-циркон-слюда-каварцевая (и полевошпатово-каварцевая); з — циркон-турмалин-ильменит-полевошпатово-каварцевая (и кварц-каварцевая), или турмалин-циркон-ильменит-полевошпатово-каварцевая (и кварц-полевошпатово-каварцевая) или турмалин-циркон-ильменит-полевошпатово-каварцевая (и кварц-полевошпатово-каварцевая); и — корунд-ильменит-циркон-турмалин-ильменит-полевошпатово-каварцевая (и кварц-каварцевая), или турмалин-циркон-ильменит-полевошпатово-каварцевая (и кварц-полевошпатово-каварцевая) с аутогенным глауконитом; к — турмалин-циркон-ильменит-каварциевый; л — эпидот-корунд-турмалин-циркон-ильменит-каварциевый; м — турмалин-циркон-ильменит-полевошпатово-каварциевый; н — турмалин-циркон-ильменит-биотит-каварциевый; о — корунд-ильменит-биотит-полевошпатово-каварциевый (и кварц-полевошпатово-каварциевый). На колонке скв. Морсово индекс „а“ следует читать „б“.

В. В. Кирсанова (1968а, 1970б), М. И. Остронского и др. (1968), Л. Ф. Солонцова и Е. М. Аксенова (1969а, б), Л. Ф. Солонцова и др. (1975) и др. Литологические пачки и терригенно-минералогические ассоциации описываются обобщенно по профилю в направлении с запада на юго-восток для разрезов Мосолово, Каверино, Зубовой Поляны, Морсово, Пачельмы и Сердобска. Разрез рифейских отложений в Сомовской скважине рассматривается отдельно из-за существующих противоречий в корреляции и сложности в его расчленении.

ТЕРИГЕНИО-МИНЕРАЛОГИЧЕСКИЕ АССОЦИАЦИИ ВЕРХНЕДОКЕМБРИЙСКИХ ОТЛОЖЕНИЙ ПАЧЕЛМСКОГО ПРОГИБА

В вышеперечисленных разрезах Пачелмского прогиба выделяются девять литологических пачек (см. рисунок). К трем нижним относятся отложения, которые, по данным многих исследователей [Шатский, 1955; Клевцова, Солоцков, 1961; Постникова, 1961; Клевцова, 1968а, б; Иванова, 1969а; и др.], составляют сердобскую серию рифей. В разрезе Мосоловской скважины эти отложения не вскрыты, во всех остальных разрезах они присутствуют в следующих интервалах глубин: Кавериноской — 2444—1582 м (вскрытая мощность 862 м), Зубовой Поляне — 1487—1367 (мощность 120 м), Пачелмской — 1728—1594 (мощность 134 м) и Сердобской 2232—1545 м (вскрытая мощность 687 м). Отложения нижних трех пачек в указанных разрезах соответствуют выделенным предшествующими исследователями [Постникова, 1953, 1961; Клевцова, Солоцков, 1960; Клевцова, 1968а, б, 1971, 1976; Кирсанов, 1968а, 1970а; Иванова, 1969а; и др.] толщам снизу вверх: центрических песчаников (кавериинская свита, пачка I), глауконитовых песчаников (иргизская свита, пачка II), доломитов, доломитовых мергелей, алевролитов, песчаников и аргиллитов (пересыпкинская и секретеркинская свиты, пачка III).

Все три пачки имеются в Сердобской скважине. На Пачелмской площади отсутствует нижняя часть разреза (пачка I). В Зубовой Поляне и в Каверино развиты лишь отложения пачки I и II.

Пачка I (кавериинская свита) присутствует в Каверино (2444—1625 м, вскрытая мощность 819 м), в Зубовой Поляне (1487—1408 м, мощность 79 м) и в Сердобске (2232—1795 м, вскрытая мощность 437 м). Она сложена песчаниками мелко-, средне-, грубо- и разнозернистыми с прослойками конгломератов и гравелитов, иногда алевролитов и аргиллитов. В Зубовой Поляне преобладают конгломератобрекчи. Породы часто характеризуются плохой отсортированностью обломочного материала. Цвет красный, красно-бурый, фиолетовый, реже зеленовато-серый. В песчаниках наблюдаются белые пятна и вкрашения мучнистого каолинита, иногда видна косая слоистость. Песчаники по составу кварцевые (Сердобск), кварц-микроклиновые (Каверино) и полевошпатово-кварцевые (Зубова Поляна). Спорадически в повышенных количествах отмечаются слюды, представленные в основном биотитом. Песчаники сцементированы глинистым веществом с каолинитом, окрашены гидроокислами железа в бурый цвет, передко кварцевым регенерационным цементом, придающим породе кварцитовидный облик. Галька, неокатанные и полууглловатые обломки конгломератов и брекчий состоят из гнейсов, гранитогнейсов (Зубова Поляна, Каверино), амфиболово-кварцевых сланцев (Каверино), кварца и кварцитов.

В породах пачки I, вскрытой Кавериинской скважиной, легкая фракция характеризуется преобладанием полевых шпатов (38—60,4%, обычно 52—55%) и кварца (38,4—60%, как правило, 43—47%). Спорадически в повышенных количествах (до 12%) отмечаются слюды, представленные в основном биотитом, в долях процента фиксируются обломки пород. Среди аутогенных минералов тяжелой фракции встречаются гидроокислы железа (4,4—8,9%), лейкоксен (1,6—4,9%) и анатаз (0,6—3,8%). Основную часть терригенных минералов тяжелой фракции составляют ильменит и магнетит (7,6—74%, обычно 63—73%), иногда в повышенных содержаниях присутствуют слюды (2,4—83,4%, преобладает 2—3%). Среди прозрачных аксессорных минералов преимущественно встречаются циркон (13,3—67,5, преобладает 57—63%) и турмалин (29,3—49,3%, преобладает 30—40%), непостоянно в небольших количествах фиксируются рутил (1,3—4,2%), редко гранат и сфеен. Терригено-минералогическая ассоциация пачки I в Каверино турмалин-циркон-ильменит-биотит-кварц-полевошпатовая.

В разрезе Зубовой Поляны минералогический состав отложений пачки I мало отличается от описанного в Каверино. Среди легких минералов усиливается значение кварца (63,6—92,9%, чаще 83—86%), соответственно сокращается роль полевых шпатов (7,1—36,4%, преобладает 13—17%), состоящих из микроклина и плагиоклаза. Аутогенные минералы тяжелой фракции также представлены гидроокислами железа (4,7—72,1%, преобладает 38—45%), лейкоксеном (2,1—13,1%, преобладает 2—6%), редко анатазом (0,3—1,3%). Среди терригенных тяжелых минералов постоянно отмечается ильменит и магнетит (3,3—70,3%, преобладает 20—50%), в небольших количествах фиксируются слюды (1,6—2%). Прозрачные аксессорные минералы состоят из циркона (41,7—99,6%, преобладает 67—78%) и турмалина (9,5—53,5%, преобладает 20—32%), в незначительных количествах и непостоянно встречаются эпидот, гранат, сфеен, редко рутил, ставролит и роговая обманка. Состав терригено-минералогической ассоциации пачки I в Зубовой Поляне характеризуется как турмалин-циркон-ильменит-полевошпатово-кварцевый.

В разрезе пачки I, пройденной Сердобской скважиной, среди минералов легкой фракции резко превалирует кварц (41,2—99%, преобладает 95—96%), полевые шпаты присутствуют в незначительных количествах (0,4—12,3%, преобладает 1—1,5%). Иногда в повышенных количествах отмечаются обломки пород (3,3—58,8%, преобладает 3—6%). Аутогенные минералы, кроме гидроокислов железа (12,4—48,6%, преобладает 20—30%), составляющие значительную часть тяжелой фракции, представлены небольшим количеством лейкоксена (1,8—24%, преобладает 6—7%), анатазом (0,3—35,4%, преобладает 1—3%), непостоянно — пиритом (0,1—14,6%, преобладает 2—4%). Терригенные компоненты тяжелой фракции отличаются от разрезов Каверино и Зубовой Поляны ослаблением роли ильменита и магнетита (8,7—37,7%, преобладает 13—17%); в незначительных количествах встречаются слюды (0,1—39%, обычно 0,5—2%), представленные мусковитом и зеленой слюдой. Среди прозрачных аксессорных минералов продолжают преобладать цирконы (6,8—63,2%, преобладает 25—40%) и турмалины (15,6—55,7%, преобладает 20—30%), но в отличие от указанных разрезов несколько усиливается значение эпидота (6,3—37,5%, преобладает 7—15%) и появляется наво всех образцах коруид (0,1—57,5%, чаще всего 38—40%). В незначительных количествах отмечаются рутил, сфеен, редко роговые обманки и гранат. Терригено-минералогическая ассоциация пород пачки I в разрезе Сердобской скважины эпидот-коруид-турмалин-циркон-ильменит-кварцевая.

Пачка II (иргизская свита) в Каверино (1625—1582 м, мощность 43 м), в Зубовой Поляне (1408—1367 м, мощность 41 м), в Пачелме (1728—1688 м, мощность 40 м) и в Сердобске (1795—1745 м, мощность 50 м) имеет близкий состав и представлена песчаниками с прослойками аргиллитов и алевролитов. Песчаники мелкозернистые, алевритистые, в разной степени отсортированные. Породы по составу кварцевые и кварц-микроклиновые с обильным содержанием глауконита, образующего иногда микропрослои. Цемент в песчаниках частично регенерационный кварцевый, частично поровый доломитового, глауконитового и глинистого состава. Для пород характерна косая и горизонтальная слоистость. Цвет буровато-красный, малиново-фиолетовый, серовато-зеленый.

Минералогический состав во всех разрезах близкий и отличается наличием значительного количества аутогенного глауконита.

В разрезе Кавериинской скважины минералогический состав пачки II изучен только по одному образцу. Легкие минералы представлены кварцем (43,7%), полевыми шпатами (45%) и аутогенным глауконитом (10,4%), в долях процента присутствуют обломки пород и слюды. Аутогенные минералы, составляющие значительную часть тяжелой фракции,

представлены главным образом глауконитом (75,4%), в незначительных количествах присутствуют гидроокислы железа (5%), лейкоксен (1,6%) и анатаз (1,8%). Среди терригенных минералов в небольших содержаниях отмечается ильменит, магнетит (3,8%) и слюды (3,8%). Аксессорные прозрачные минералы состоят из циркона, турмалина и граната.

Терригенно-минералогической ассоциацией для пород пачки II в Каверино условно можно считать гранат-турмалин-циркон-ильменит-кварц-микроклиновую и кварцевую с аутигенным глауконитом.

В Зубовой Поляне минералогический состав пород пачки II характеризуется в легкой фракции некоторым преобладанием кварца (27—90,7%, преобладает 62—70%) над полевым шпатом (8—73,0%, преобладает 27—35%). Изредка в долях процента встречаются слюды и обломки пород, постоянно — аутигенный глауконит (3—10,5%). Аутигенные минералы тяжелой фракции представлены глауконитом (0,2—36,1%, преобладает 10—20%), гидроокислами железа (1,1—91%, преобладает 70—75%), лейкоксеном (0,1—19,1%, преобладает 1—4%) и редко пиритом (0,2—36,2%). Среди терригенных минералов тяжелой фракции в небольших количествах отмечается ильменит, магнетит (2,9—11%, преобладает 4—5%) и слюды (0,2—17,3%, преобладает 1—2%), представленные в основном мусковитом и зеленой слюдой. Аксессорные прозрачные минералы состоят из циркона (22,8—83,1%, преобладает 61—73%) и турмалина (11,3—50%, преобладает 13—23%); в редких образцах фиксируется гранат, в единичных — рутил и ставролит.

Для пород пачки II в Зубовой Поляне терригенно-минералогической ассоциацией является турмалин-циркон-ильменит-полевошпатово-кварцевая с аутигенным глауконитом.

Минералогический состав отложений пачки II в разрезе Сердобской скважины изучен по двум образцам. В легкой фракции резко преобладает кварц (87,7—93,5%), полевые шпаты (5,9—12,3%) имеют сугубо подчиненное значение, в долях процента отмечаются обломки пород, в небольших количествах — аутигенный глауконит. Аутигенные минералы тяжелой фракции состоят из пирита (1,4—9,8%), гидроокислов железа (11,6—16,4%), лейкоксена (6,9—12,4%), барита (0,1—2,5%) и глауконита (0,1—1,4%). Среди терригенных минералов тяжелой фракции в небольших количествах встречаются ильменит, магнетит (13,4—17,9%) и слюды (2,1—13,8%). Среди прозрачных аксессорных минералов в отличие от других разрезов Пачельского прогиба, помимо преобладания циркона (28,6—31,4%) и турмалина (43,2—52,9%) в значительных количествах фиксируется корунд (16,5—34,7%). Такие минералы, как эпидот, гранат, рутил и сфеи, присутствуют в незначительных количествах. Данных по исследованию минералогического состава рифейских отложений на Пачельской площади у нас нет. Однако, учитывая, что по литологическим особенностям разрезы Сердобской и Пачельской площадей очень близки, можно предполагать сходство их минералогического состава. На этом основании в дальнейшем терригенно-минералогические ассоциации для пачек этих двух разрезов условно считаются одинаковыми.

В Сердобском и, по-видимому, Пачельском районах терригенно-минералогическая ассоциация пачки II имеет корунд-ильменит-циркон-турмалин-полевошпатово-кварцевый состав с аутигенным глауконитом.

Пачка I-III (пересыпкинская и секретаркинская свиты) присутствует только на Пачельской площади (1688—1594 м, мощность 94 м) и в Сердобске (1745—1545 м, мощность 200 м). Она представлена доломитами с подчиненными прослоями доломитовых мергелей и аргиллитов. В сердобском разрезе верхней части пачки преобладают алевролиты с прослоями доломитов, доломитовых мергелей, аргиллитов и песчаников с доломитовым цементом. Цвет пород красно-коричневый, светло-розовый, серовато-зеленый. Доломиты микро- и мелкозернистые, известковые,

глинистые с примесью (1—15%) песчано-алевритового материала, представленного кварцем, реже микроклином, обломками кремней, кварцитов и карбонатных пород, встречаются единичные листочки слюды, зерна глауконита и пирита. Иногда в доломитах наблюдается брекчиевидная текстура, обусловленная наличием обломков более перекристаллизованного карбоната. Встречаются прослои оолитовых доломитов. Большая часть оолитов имеет округлую и овальную форму со скорлуповатым и радиально-лучистым строением, сложена микрозернистым или перекристаллизованным карбонатом. Отмечаются онколиты и строматолиты (Сердобск). Сгустковые образования по своей структуре близки к обломочным. Для доломитов характерны редкие включения стяжений кремней сургучно-красного цвета, состоящих из кремнистого вещества, халцедона, кварца и опала. Нередко наблюдается микрослоистость, подчеркиваемая прослоями перекристаллизованного доломита или скоплением глинистого материала. Встречаются сутурно-стиллитовые швы, к которым приурочено скопление глинистого и песчаного материала, и вертикальные трещины (1—2 мм), заполненные песчано-алевритовым материалом или кальцитом. Мергели сложены микро- и мелкозернистым доломитом и равномерно распределенным глинистым материалом. Песчаники имеют полимиктовый состав, содержат в значительных количествах обломки сильно разрушенных эфузивных пород [Постникова, 1961].

В Сердобской скважине в отложениях пачки III в легких фракциях паряду с повышенным содержанием кварца (50—94,8%, преобладает 52—60%) в значительных количествах присутствуют и полевые шпаты (5,2—44,6%, преобладает 36—44%), представленные в основном микроклином. Непостоянно и в небольших количествах встречаются обломки кремнистых пород (3—4%). Аутигенные минералы в тяжелой фракции представлены гидроокислами железа (5,1—51,9%, преобладает 14—22%), лейкоксеном (2,6—23,9%, преобладает 10—18%), анатазом (0,6—17%, преобладает 2—4%), не во всех образцах встречаются пирит (0,1—3,8%) и редкие зерна глауконита. Среди терригенных минералов тяжелой фракции значительная роль принадлежит ильмениту и магнетиту (7—47,3%, преобладает 23—30%), в небольших содержаниях отмечаются слюды (1—15%, преобладает 5—10%), состоящие из мусковита и зеленой слюды. Аксессорные прозрачные минералы представлены в основном цирконом (31,1—75,9%, преобладает 38—45%), турмалином (24,1—17,8%, преобладает 45—52%), постоянно, но в незначительных количествах фиксируется эпидот (0,1—8,2%, преобладает 3—4%), в долях процента отмечаются рутил и сфеи, редко гранат, амфибол.

Корреляционные минералы отложений пачки III в разрезах Сердобской и Пачельской (скв. 10 Воронская) скважин представлены цирконом-турмалин-ильменит-кварцевой (и полевошпатово-кварцевой) ассоциацией.

Следующим трем пачкам соответствуют отложения, которые большинством исследователей [Шатский, 1955; Клевцова, Соловцов, 1961; Клевцова, 1968б, 1971; Келлер, 1968; Иванова, 1969а; Постникова, 1972, 1977 и др.] выделяются в веденяшинскую, воронскую и красноозерскую свиты пачельской серии. Они с несогласием залегают на пижележащих породах. Эти отложения присутствуют в Мосолово (1665—1542 м, вскрыта мощность 123 м), в Каверино (1582—1482 м, мощность 100 м), в Морсово (1754—1391 м, мощность 363 м), в Зубовой Поляне (1367—1239 м, мощность 128 м), в Пачельме (скв. 10 Воронская, 1594—770 м, мощность 824 м) и в Сердобске (1545—1303 м, мощность 242 м).

Пачка IV (веденяшинская свита) в Морсово (1754—1667 м, вскрыта мощность 87 м), на Пачельской площади (1594—1280 м, мощность 314 м) и в Сердобске (1545—1355 м, мощность 190 м) состоит из двух частей: базальной, преимущественно песчаниковой, и верхней, сложенной тонко либо линзовидно переслаивающимися песчаниками, алевролитами,

аргиллитами и мергелями. Базальная часть, состоящая в основном из песчаников, содержит маломощные прослои алевролитов и аргиллитов. Песчаники и алевролиты имеют розовый и красно-бурый цвет, а аргиллиты — чёрный или зеленовато-серый. В верхней части пачки все разновидности пород имеют зеленовато- и темно-серый до чёрного цвет и содержат большое количество глауконита. Для пород характерна тонкая горизонтальная или косая слоистость. Песчаники обычно мелко-, реже среднезернистые, по составу кварцевые и полевошпатово-кварцевые, с единичными обломками кремней, кварцитов и эфузивных пород, с листочками мусковита и биотита. Полевые шпаты представлены микроклином, меньше ортоклазом, плагиоклазы встречаются редко. Цемент песчаников кварцевый регенерационный, нередко порового типа доломитовый или глинистый, глинисто-хлоритовый, в красноцветных породах окрашенный гидроокислами железа в бурый цвет. В верхней части пачки развит глауконитовый цемент. Алевролиты песчанистые, по составу аналогичные песчаникам, иногда слишком слюдистые. Аргиллиты алевритистые с ориентированной и беспорядочной текстурой, иногда в аргиллитах отмечаются пленки органического вещества и пирит.

В разрезе скважины Морсово в легкой фракции нижней песчаниковой части пачки (1754—1710 м) господствует кварц (77,3—81,9%), в меньших количествах присутствуют полевые шпаты (17,8—21,1%), в долях процента отмечаются обломки пород. Аутигенная часть тяжелых фракций представлена гидроокислами железа (2,2—43,7%), пиритом (1,5—9,7%), лейкоксеном (7,7—14,8%) и анатазом (2,1—35%). В тяжелой фракции в небольших количествах отмечаются ильменит и магнетит (11,1—13,6%). Аксессорные прозрачные минералы состоят из турмалина (27,6—46,5%) и циркона (53,5—72,4%). Отложения верхней части пачки (1710—1660 м) по своему минералогическому составу отличаются от нижележащих увеличением в легких фракциях полевых шпатов (26,7—42,3%) и соответственно уменьшением кварца (55,2—72,4%), часто отмечаются слюды, представленные в основном мусковитом. Среди аутигенных минералов возрастает роль пирита (до 44,4%), продолжают присутствовать гидроокислы железа (до 22,2%), лейкоксен (до 15%) и анатаз (до 4,2%). Состав терригенных тяжелых минералов отличается от состава нижележащих пород повышенным содержанием слюды (14,8—56,7%), представленной в основном мусковитом; в небольших количествах отмечаются ильменит и магнетит (4,2—18,2%). Среди прозрачных аксессорных минералов основная роль также принадлежит циркону (49,2—97,2%, преобладает 90—92%) и турмалину (1,9—47,6%, преобладает 2—9%), в редких образцах в долях процента встречаются рутил и гранат.

Состав терригенно-минералогической ассоциации отложений пачки IV в Морсово — турмалин-ильменит-циркон-слюда-полевошпатово-кварцевый.

В Сердобской скважине отложения пачки IV по минералогическому составу мало отличаются от описанных пород в Морсово. Легкие фракции имеют кварцевый и полевошпатово-кварцевый состав. Кварц составляет в них 53,7—98,2% (преобладает 70—80%, повышенные содержания приурочены к нижней половине пачки) и полевые шпаты — 1,8—44% (преобладает 20—30%, в нижней половине — 7—14%). В небольших количествах присутствуют обломки кремнистых пород (1—4%, в нижней части пачки в одном образце 28%). Часто встречаются слюды (4—7%), представленные мусковитом и зеленой слюдой, и глауконит (2—13,3%). Широко развиты новообразования: гидроокислы железа (1,4—43,8%, преобладает 4—10%), пирит (1—71%, преобладает 3—7%), лейкоксен (5,4—22,7, обычно 8—14%) и анатаз (1,3—26,9%, преобладает 4—10%), непостоянно отмечается глауконит (0,1—14%). Состав терригенных тяжелых минералов характеризуется такими минералами, как ильменит, магнетит (2—

15,8%, преобладает 4—8%) и слюды (1—97%, в нижней половине подпачки преобладает 6—11%, в верхней — 36—70%), представленные в основном мусковитом и зеленой слюдой. Среди аксессорных прозрачных минералов главная роль принадлежит циркону (30,2—88,7%, преобладает 45—60%) и турмалину (12,7—54%, преобладает 35—50%). Постоянно в долях процента встречаются рутил и сфец, не во всех образцах отмечаются корунд (0,1—4%, редко до 23%) и эпидот (0,1—1,5%, редко до 14,3%). Изредка единичными зернами фиксируются амфиболы и гранат.

Терригено-минералогической ассоциацией для пород пачки IV в разрезах Сердобской и Пачелмской (скв. 10 Воронская) скважин можно считать корунд-ильменит-турмалин-циркон-слюда-кварцевую (и полевошпатово-кварцевую).

Пачка V (воронская свита) распространена во всех исследованных разрезах прогиба. Мощность ее в Мосолово (вскрыта) 123 м, в Каверино 241 м, в Зубовой Поляне 128 м, в Пачелме (скв. 10 Воронская) 327 м и в Сердобске 52 м. Отложения пачки представлены песчаниками с редкими прослоями алевролитов и аргиллитов. Цвет розовый, желто-розовый, буровато-красный, фиолетовый, светло-серый, пятнистый. Песчаники мелко- и среднезернистые, разнозернистые, хорошо, нередко плохо отсортированные, часто с вкраплениями белого мучнистого каолинита. В породах отмечается горизонтальная и косая слоистость. На Пачелмской (скв. 10 Воронская) площади в основании пачки наблюдаются грубозернистые песчаники, гравелиты и конгломераты, а в средней части разреза усиливается значение алевролитов и аргиллитов. Алевролиты и песчаники в этой части разреза имеют полимиктовый состав и содержат много обломков эфузивных пород [Постникова, 1977]. Во всех разрезах песчаники по составу обычно кварцевые и полевошпатово-кварцевые. Полевые шпаты, составляющие 1—10%, в отдельных прослоях 20—40% (Каверино, Зубова Поляна, Морсово, Мосолово) представлены в основном микроклином, плагиоклазы часто сильно разрушенные. По данным З. П. Ивановой (1969а), полевые шпаты нередко новообразованные. Зерна кварца часто координированные и имеют регенерационную оболочку. Встречаются единичные зерна обломков кремнистых пород, кварцитов, иногда алевролитов, кристаллических сланцев и микропегматита. В долях процента отмечаются слюды и глауконит. Породы слабо или плотно cementированные, нередко кварцитовидные. Цемент по составу карбонатный, каолинитовый или глинисто-слюдистый, иногда окрашенный гидроокислами железа в бурый цвет, на отдельных участках хлоритовый, кварцевый. По типу цемент поровый, регенерационный, редко базальный. Алевролиты по составу такие же, как и песчаники. Аргиллиты песчано-алевролитовые. Алевролитовый материал в них распределется довольно равномерно, а песчаник обычно концентрируется в виде липзочек.

В Мосолово в легких фракциях породообразующими являются кварц, полевые шпаты и слюды, представленные в основном мусковитом, меньше зеленой слюдой. В некоторых прослоях песчаников и алевролитов содержание кварца достигает 92%. Среди аутигенных минералов тяжелой фракции основным является лимонит (его содержание колеблется от 0,3 до 62,7%), постоянно отмечается лейкоксен (0,1—34,6%), на всех образцах в долях процента фиксируются анатаз, редко пирит и барит. Тяжелые терригенные минералы состоят в основном из устойчивых минералов (ильменит, циркон, турмалин) и слюд (4—57%), представленных мусковитом и зеленой слюдой. Редко и в незначительных количествах встречаются эпидот, гранат, рутил. Терригено-минералогическая ассоциация отложений пачки V в Мосолово турмалин-циркон-ильменит-слюда-кварцевая (и полевошпатово-кварцевая).

В Кавериинской скважине минералогический состав пачки такой же. Породообразующими являются кварц; полевые шпаты и слюды; послед-

ие приурочены больше к верхней части разреза. Аутигенные минералы в тяжелой фракции представлены гидроокислами железа (до 30%), лейкоксеном (до 30%) и анатазом (2–18%), редко пиритом (до 8%), в долях процента отмечается глауконит. Среди терригенных тяжелых минералов продолжают господствовать циркон, турмалин, ильменит и слюды. Для пород пачки V в Каверинской скважине характерна турмалин-ильменит-циркон-слюда-полевошпатово-кварцевая ассоциация минералов.

В Морсово минералогический состав пачки V близок к описанному выше. В легких фракциях продолжает господствовать кварц, полевые шпаты содержатся в подчиненных количествах, иногда роль их незначительна. В нижней половине пачки в значительных количествах отмечаются обломки пород и слюды, представленные мусковитом и зеленой слюдой. Среди аутигенных минералов тяжелой фракции превалируют гидроокислы железа (0,1–46,8%, преобладает 12–20%), в небольших количествах встречается анатаз (до 3%), непостоянно — пирит (до 10%). Среди тяжелых терригенных минералов ведущими по-прежнему остаются устойчивые минералы: циркон, турмалин и ильменит; в значительных количествах присутствуют слюды, представленные мусковитом и зеленой слюдой, непостоянно в долях процента встречаются гранит, рутил, сфеи и эпидот. Терригенно-минералогическая ассоциация для пород пачки V в Морсово турмалин-ильменит-слюда-циркон-кварцевая (и полевошпатово-кварцевая).

В Зубовой Поляне в пачке V состав легких фракций продолжает оставаться кварцевым и полевошпатово-кварцевым, но по сравнению с разрезом Морсовой скважины несколько ослабевает роль полевых шпатов и усиливается значение слюды, представленной мусковитом и зеленой слюдой, в небольших содержаниях отмечаются обломки кремнистых и кварцитовых пород. Характерными аутигенными минералами в тяжелых фракциях являются гидроокислы железа (0,1–96,6%, преобладает 30–60%), лейкоксен (0,1–28%, преобладает 2–16%), изредка встречаются единичные зерна глауконита. Состав терригенных тяжелых минералов также характеризуется группой устойчивых минералов (циркон, турмалин, ильменит), постоянно отмечаются следы (мусковит и зеленая слюда). Во многих образцах (но в небольших количествах) встречаются гранат, единичными зернами брукит, сфеи, рутил, ставролит, эпидот и амфиболы. Терригенно-минералогической ассоциацией для пород пачки V в Зубовой Поляне можно считать турмалин-слюда-ильменит-циркон-кварцевую (и полевошпатово-кварцевую).

В разрезе Сердобска легкие фракции пород пачки V характеризуются кварцевым и полевошпатово-кварцевым составом с содержанием полевых шпатов от долей до 10%. Встречаются единичные зерна кремней, кварцитов и слюд. Среди аутигенных минералов тяжелой фракции превалирующей становится группа титанистых минералов, представленных в основном анатазом (до 26%) и лейкоксеном (до 10%), крайне непостоянно (но иногда в повышенных количествах) присутствуют гидроокислы железа (до 66%), изредка фиксируется пирит (до 8%), в долях процента отмечается глауконит. Состав тяжелых терригенных минералов здесь очень скучный, преобладают такие устойчивые минералы, как циркон, турмалин и ильменит, в незначительных количествах наблюдаются слюды, сфеи и рутил. Для пород пачки V Сердобской и Пачелмской (скв. 10 Воронская) скважин характерна турмалин-ильменит-циркон-кварцевая (и полевошпатово-кварцевая) ассоциация минералов.

Таким образом, породы пачки V в разрезах Пачелмского прогиба характеризуются очень близким минералогическим составом. Терригенно-минералогической ассоциацией для этих отложений является турмалин-ильменит-циркон-слюда-кварцевая (и полевошпатово-кварцевая).

Пачка VI (красноозерская свита) достаточно полно изучена в Морсово (1426–1391 м, мощность 35 м). Отложения пачки с несогласием ложатся на песчаники воронской свиты [Иванова, 1969б]. Пачка сложена алевроптистыми и слюдистыми аргиллитами, алевролитами и мелкозернистыми песчаниками, часто и тонко переслаивающимися между собой. Аргиллиты и алевролиты обогащены слюдами. Цвет аргиллитов зелено-вато-серый, темно-серый, почти черный, алевролиты и песчаники имеют зеленовато-серый цвет. По составу песчаники и алевролиты в основном полевошпатово-кварцевые и кварц-полевошпатовые, часто с большим содержанием слюды. Нередко в алевролитах наблюдается скопление глауконита. Цемент кальцитовый, иногда сидеритовый и сфера-сидеритовый, гидрослюдистый, редко каолинитовый, по типу поровый.

В разрезе Морсовой скважины минералогический состав пачки VI отличается от пачки V усилением в легкой фракции роли полевых шпатов (представленных в основном микроклином) и особенно слюд, среди которых помимо мусковита и зеленой слюды характерно появление в значительных количествах биотита. Аутигенные минералы тяжелой фракции характеризуются спорадически повышенным содержанием пирита (до 44–47%) и ослаблением значения гидроокислов железа (0,4–16,8%), в небольших количествах продолжают присутствовать лейкоксен, в долях процента — анатаз. Терригенные тяжелые минералы состоят из турмалина, ильменита, магнетита и циркона, редко фиксируется гранат, рутил и сфеи. В повышенных количествах присутствуют слюды. Терригенно-минералогическая ассоциация пачки VI в Морсово характеризуется как турмалин-ильменит-циркон-слюда-полевошпатово-кварцевая (и кварцевая, кварц-полевошпатовая).

Большие сложности существуют в расчленении рифейских отложений в Сомовской скважине и в увязке этого разреза с описанными выше разрезами Пачелмского прогиба. Сомовская скважина, расположенная на юго-западе центральной наиболее погруженной части Пачелмского прогиба, вскрыла рифейские отложения в интервале глубин 3707–1542 м, полной мощностью 2165 м. Большая часть этой осадочной толщи с глубины 1666 м [Кирсанов, 1970б] или 1702 м [Клевцова, 1977] до 3707 м (фундамент) относилась к каверинской свите. Вместе с тем Л. Ф. Солонцов и др. (1975) показали, что к каверинской серии могут относиться только самые низы этих отложений (интервал глубин 3707–2732 м) в объеме тырницкой и никашской свит, а вышележащая часть разреза (интервал глубин 2732–1628 м) может быть выделена в сомовскую серию, которую они считают возможным увязать с каверинской или татищевской свитами в Сердобской скважине. В соответствии с таким сопоставлением Л. Ф. Солонцов и др. (1975) отнесли каверинскую серию района Сомово к нижнему рифею.

В отличие от этого А. А. Клевцова (1977) считает, что каверинская свита, вскрытая Сомовской скважиной в интервале глубин 3707–1702 м, является верхнерифейской и располагается выше сердобской серии среднего рифея, т. е. выше не только татищевской свиты, но и иргизской, пересыпкиной и секретаркинской свит районов Сердобска и Пачелмы.

Данные изучения минералогического состава также не дают, к сожалению, однозначного ответа на этот вопрос. Среди рифейских отложений, вскрытых Сомовской скважиной, не удалось выделить литологические пачки, аналогичные выделенным в других разрезах рифея Пачелмского прогиба. В связи с этим рифейский разрез Сомовской скважины расчленяется на четыре части, которые условно называются «литологическими подразделениями». Они соответствуют выделенным и обоснованным Л. Ф. Солонцовым и др. (1975) свитам и сериям рифея.

Поразделение I (3707–2732 м, мощность 975 м) соответствует тырницкой и никашской свитам каверинской (путятицкой) серии нижнего

рифей. Отложения слагаются снизу вверх: а) песчанико-конгломератовыми породами (104 м), состоящими из полимиктовых конгломераций, сцементированных глинистым цементом и алеврито-песчаным материалом, с прослоями гравелитов, включениями валунов, а также с пачкой песчаников (глубина 3675—3641 м), косослоистых, разнозернистых, полевошпатово-кварцевых; б) песчаниками (159 м) разнозернистыми, полевошпатово-и слюдисто-кварцевыми, иногда косослоистыми, содержащими включения гравия, гальки, валунов и прослои полимиктовых гравелитов; в) гравелитово-конгломератовыми породами (211 м), представленными в нижней части полимиктовыми разногалечными конгломератами, в верхней части — гравелитами разногравийными полимиктовыми; часто отмечаются прослои и линзы разнозернистых песчаников; г) песчаниками (501 м) мелко- и среднезернистыми, в отдельных прослоях разнозернистыми с примесью глинисто-алевритового материала и с рассеянными галечно-гравийными обломками кварца и кварцитов. Отмечаются маломощные прослои гравелитов, разногалечных конгломератов, аргиллитов и алевролитов. По составу песчаники и алевролиты полимиктовые кварц-полевошпатовые, полевошпатово-кварцевые и кварцевые. Породы крепкие, чаще рыхлые или слабо сцементированные глинистым веществом, представленным в некоторых случаях каолинитом, передко окрашенным гидроокислями железа в бурый цвет, иногда цемент кварцевый, регенерационный.

Для пород всего подразделения характерны вкрапления и гнезда мучистого каолинита светло-серого до белого цвета. Отложения имеют темно- и кирпично-коричневый, розовый, розовато-коричневый с фиолетовым оттенком, на отдельных участках светло-серый цвет.

В легких фракциях преобладают кварц (14—93%, преобладает 60—80%) и полевые шпаты (5—54%, преобладает 16—30%), иногда содержания кварца и полевых шпатов примерно равные, а в некоторых случаях роль полевых шпатов более значительна, чем кварца. Полевые шпаты представлены в основном ортоклазом и микроклином, значительно меньше плагиоклазом. Постоянно, в отдельных прослоях в повышенных количествах отмечаются слюды (1,5—51%, обычно 10—15%), представленные в основном биотитом. В долях процента, иногда в значительных содержаниях присутствуют обломки кремнистых пород, агрегатов кварцевых зерен и обломки кристаллических пород. Аутигенные минералы тяжелой фракции представлены гидроокислями железа (2—44%), лейкоксеном (0,5—13,5%), анатазом и полуупрозрачными титаносодержащими минералами (0,5—31,6%), в небольших содержаниях (0,5—4%) встречается барит. В нижней половине подразделения непостоянно, иногда в повышенных количествах фиксируется аргидрит (данные А. А. Клевцовой), в верхней его части в некоторых прослоях отмечаются значительные количества (98—100%) доломита (данные Ярославской петрографической лаборатории). Основную часть тяжелых терригенных минералов составляют ильменит и магнетит (6—80%, преобладает 30—60%), при этом повышенные их содержания чаще приурочены к нижней половине подразделения. Непостоянно, в значительных количествах присутствует биотит (1—62%, преобладает 10—13%), в небольших содержаниях встречаются мусковит и зеленая слюда. Роль слюд особенно характерна для верхней половины подразделения. Прозрачные акцессорные минералы состоят главным образом из циркона (25—80%, преобладает 60—80%) и турмалина (4—39%, преобладает 20—30%). В незначительных количествах фиксируются рутил (1—8, преобладает 2—4%) и эпидот (1—4%, преобладает 1—2%), редко сфеин.

Состав терригенно-минералогической ассоциации для подразделения I в Сомовской скважине турмалин-циркон-ильменит-биотит-полевошпатово-кварцевый (и кварц-полевошпатовый, кварцевый). Подразделение II (2732—2002 м, мощность 730 м) соответствует ртищевской свите сомовской

серии верхнего рифея. Это песчаники с редкими прослоями гравелитов, алевролитов и аргиллитов. Песчаники мелко-, крупно- и разнозернистые, в отдельных прослоях с включениями гравия и гальки. Наблюдаются постепенные переходы песчаника в алевролит. Часто отмечаются вкрапления и гнезда белого каолинита. Иногда фиксируется косая, волнистая или горизонтальная слоистость. По составу песчаники полевошпатово-кварцевые, кварцевые, редко кварц-полевошпатовые, плотно сцементированы глинистым веществом, содержащим часто каолинит и обычно окрашенным гидроокислями железа в бурый цвет, передко встречается кварцевый регенерационный цемент, придающий песчаникам кварцитовый облик. Цвет красный, красно-коричневый, фиолетовый, лиловый, участками розовато- и светло-серый. Анализ имеющихся данных по минералогическому составу пород показал, что в легкой фракции преобладает кварц (23—99,5%, преобладает 80—90%), в меньших количествах содержатся полевые шпаты (от единичных зерен до 77%, преобладает 7—15%), в незначительных содержаниях присутствуют обломки кремнистых и кварцитовых пород и слюды. Аутигенные минералы тяжелой фракции представлены главным образом гидроокислями железа (4—56%, преобладает 10—20%), лейкоксеном (2—33%, преобладает 5—13%), полуупрозрачными титанистыми минералами и анатазом (1—2%), редко пиритом (0,5—10%). Среди терригенной части тяжелых минералов распространены ильменит и магнетит (1—87%, преобладает 50—60%), непостоянно и в небольших количествах отмечаются слюды (0,5—20%, преобладает 1—2%). Прозрачные акцессорные минералы состоят из циркона (5—92%, преобладает 55—70%) и турмалина (3—95%, преобладает 20—35%). В редких образцах встречаются единичными зернами (иногда до 5—10%) зеленая роговая обманка, эпидот, рутил, сфеин. Терригенно-минералогической ассоциацией для пород подразделения II в разрезе Сомовской скважины является турмалин-циркон-ильменит-полевошпатово-кварцевая (или кварц-полевошпатовая, кварцевая).

Подразделение III (2002—1628 м, мощность 374 м), соответствующее цинской свите сомовской серии верхнего рифея, слагается песчаниками средне- и разнозернистыми, глинистыми с рассеянными гравийными обломками и гальками кварца. По составу песчаники кварцево-полевошпатовые и полевошпатово-кварцевые, сцементированные глинистым веществом (иногда каолинитового состава) и окрашенные передко гидроокислями железа в бурый цвет. Породы рыхлые и массивные. Наблюдаются частые включения и вкрапления каолинита. Цвет темно-коричневый, фиолетово-, коричнево- и темно-серый.

В легкой фракции основное место принадлежит кварцу (5—56%, преобладает 46—52%) и полевым шпатам (32—93%, преобладает 40—50%). В долях процента фиксируются обломки пород, в небольших количествах (1—3%) отмечаются слюды и глауконит (0,3—6,3%). Аутигенные минералы тяжелой фракции представлены гидроокислями железа (3,4—9,2%), лейкоксеном (0,4—38%), анатазом (11,7—28,2%) и глауконитом (0,2—1,4%), иногда баритом (0,5—77,6). Среди терригенных минералов тяжелой фракции преобладают ильменит и магнетит (51—89%, преобладает 60—63%), в небольших содержаниях присутствуют слюды (1—15%, преобладает 2—4%). Акцессорные прозрачные минералы представлены цирконом (36,9—70,2%, преобладает 55—70%) и турмалином (26—44,6%, преобладает 25—35%). В незначительных содержаниях отмечаются рутил, иногда эпидот и амфиболы. Терригенно-минералогическая ассоциация для подразделения III турмалин-циркон-ильменит-полевошпатово-кварцевая (или кварц-полевошпатовая).

Подразделение IV (1622—1542 м, мощность 89 м) соответствует воронской и иргизской свитам. Отложения представлены песчаниками среднезернистыми, плотными, иногда крепкими, красно-коричневого цвета.

Минералогический состав этих пород мало отличается от нижележащих. Легкие фракции представлены также главным образом кварцем (47,1–100%, преобладает 65–78%) и полевыми шпатами (0,1–44,4%, преобладает 20–30%). В незначительных количествах отмечаются слюды (0,3–1,2%) и обломки пород (1,8–3,2), редко глауконит. Аутигенные минералы тяжелой фракции состоят из гидроокислов железа (4,2–27%), лейкоксена (2–30%), анатаза (0,4–10,2%), иногда барита (6,4–15,2%), постоянно в долях процента фиксируется глауконит. Среди терригенных тяжелых минералов несколько ослабевает роль ильменита и магнетита (7,9–20,6%), в небольших, редко повышенных количествах присутствуют слюды (0,2–56,8%), состоящие в основном из мусковита и зеленой слюды. Прозрачные акцессорные минералы состоят преимущественно из устойчивых минералов — циркона (64,1–88,6%, преобладает 70–85%) и турмалина (8,8–33,1%, преобладает 10–20%), в небольших содержаниях встречается рутил (0,4–5%), непостоянно в долях процента фиксируются гранат, сфен, роговая обманка и эпидот. Для подразделения IV характерна турмалин-ильменит-циркон-слюда-полевошпатово-кварцевая (и кварцевая) ассоциация.

Из приведенных данных видно, что в разрезе Сомовской скважины в интервале глубин 3707–1542 м литологический и минералогический составы отложений довольно однообразные.

Для нижних трех литологических подразделений можно считать характерной турмалин-циркон-ильменит-слюда(биотит)-полевошпатово-кварцевую (и кварц-полевошпатовую) терригенно-минералогическую ассоциацию. Эта ассоциация очень близка терригенно-минералогическим ассоциациям, установленным в отложениях нижних трех пачек в других разрезах Печелмского прогиба. Не исключена поэтому возможность, что отложения, вскрытые Сомовской скважиной в интервале глубин 3707–1628 м, являются аналогами пачек I–III (сердобской серии) других разрезов Печелмского прогиба.

Приимая такое сопоставление, можно обратить внимание на то, что в этом случае мощность нижних трех пачек (сердобская серия) в пределах Печелмского прогиба будет увеличиваться в направлении с юго-востока на северо-запад от 448 м (Печелмская площадь) и 877 м (Сердобск) до 2041 м (Сомово). Одновременно будет меняться и состав отложений. Если на юго-западе прогиба помимо континентальной толщи (кавериинская свита, пачка I) нижняя часть сердобской серии представлена толщей глауконитовых песчаников (иргизская свита, пачка II) и толщей доломитов (пересыпинская свита, пачка III), то в центральной, северо-западной, части прогиба развиваются в основном континентальные образования (Каверино, Сомово). Почти полное отсутствие в этих разрезах морских отложений сердобской серии З. П. Иванова предположительно связывает с тем, что морской бассейн сердобского времени не заходил в северо-западную часть Печелмского прогиба, где, по-видимому, на протяжении всего сердобского времени существовали континентальные условия.

Ассоциация терригенных минералов литологического подразделения VI в Сомовской скважине близка ассоциации, выделенной для пачки IV в других разрезах Печелмского прогиба. Если учесть положение в разрезе этих отложений (выше в разрезе Сомовской скважины установлены отложения нижнего венца — пачка VII), то можно с некоторой вероятностью считать, что в Сомовской скважине отложения, вскрытые в интервале глубин 1628–1542 м, являются аналогами пачки IV других разрезов Печелмского прогиба. При такой корреляции получается, что породы пачек V и VI в Сомовском разрезе отсутствуют, возможно, вследствие размывов.

Пачка VII. Отложения пачки, согласно стратиграфическому расчленению многих исследователей [Клевцова, Соловцов, 1960; Клевцова, 1968а; Келлер, 1968; Иванова, 1969а; и др.] и по принятой стратиграфич-

ской схеме, соответствуют волынской серии венда. Они присутствуют во всех изученных районах прогиба, кроме Пачелмской площади и Сердобска, и в следующих интервалах глубин:

Район	Интервал, м	Мощность, м
Мосолово	1542–1385	157
Сомово	1542–1413	129
Каверино	1482–1318	164
Морсово	1391–1254	137
Зубова Поляна	1239–1088	151

Эти отложения залегают на размытой поверхности пачелмской серии рифея и резко от них отличаются по литологическому и минералогическому составу. В большинстве разрезов в основании волынской серии наблюдается толща неотсортированных пород с крупной галькой, представленная ритмичным чередованием тиллитов и однородных микрослоистых аргиллитов с песчаниками и алевролитами, передко включающими тиллито-подобные породы с обломками гравия и гальки. Выше по разрезу отмечаются грубозернистые косослоистые песчаники с прослоями алевролитов и с включением хорошо окатанных галек кварца, кварцитов, полевых шпатов, зеленых аргиллитов и гранитоидных пород, переслаивающиеся с ритмично-микрослоистыми аргиллитами. В этой части разреза прослеживаются два маркирующих горизонта красно-коричневых аргиллитов и аргиллитов с нитевидными прослойками органического вещества [Иванова, 1969а]. Верхняя часть волынской серии (пачка VII) слагается вулканогенно-осадочными образованиями, представленными туфоалевролитами, туфопесчаниками, туфитами, туфами и осадочными породами, которые передко содержат примесь вулканогенного материала. Вулканогенный материал в указанных породах состоит из угловатых, удлиненных и овальных обломков бурого ожелезненного вулканического стекла и эфузивных пород основного и среднего состава с примесью обломков плагиоклаза пирокластического происхождения [Постикова, 1977]. В мелкозернистых песчаниках и алевролитах характерно скопление слюд, представленных в основном биотитом, реже мусковитом и зеленой слюдой. Слюды передко гидротизированные, встречаются листочки хлорита. Довольно часто присутствуют прослойки известняков, изредка доломитов. Цвет пород красно-коричневый, буро-красный, синевато-, зеленовато- и темно-серый.

Минералогический состав отложений пачки VII во всех изученных разрезах почти одинаковый. В Мосоловской скважине легкие фракции характеризуются полевошпатово-кварцевым, в отдельных прослоях кварц-полевошпатовым составом. Иногда до 10–15% легкой фракции составляют слюды, представленные главным образом биотитом и зеленой слюдой, меньше мусковитом. В средней части разреза отмечаются повышенные содержания обломков пород. Наиболее типичным аутигенным минералом в тяжелой фракции является иррит, который непостоянно, но иногда на 74–83% составляет тяжелую фракцию; в небольших, редко в повышенных количествах присутствуют гидроокислы железа (0,5–55%), лейкоксен (1–16,6%), анатаз (до 3%). Барит встречается непостоянно, но в отдельных образцах содержание его достигает 50%; единичными зернами отмечается глауконит. Среди терригенных минералов в тяжелых фракциях ведущее место занимает ильменит и магнетит (28–63%), из прозрачных — гранат (1,6–85%, преобладают повышенные количества) и циркон (8,2–78%, чаще отмечаются повышенные количества); турмалин присутствует в небольших содержаниях (0,4–11,6%). Непостоянно в долях процента встречаются рутил, сфен, амфиболы, эпидот. Терригенно-минералогическая ассоциация в отложениях пачки VII в Мосоловской скважине турмалин-циркон-ильменит-гранат-слюда-полевошпатово-кварцевая.

В Сомовской скважине минералогический состав отложений пачки VII близок к только что описанному. Здесь в легкой фракции превалируют кварц (40–58%, преобладает 50–55%) и полевые шпаты (30–57%, обычно 38–45%). В значительных количествах присутствуют слюды (до 12–15%), в небольших содержаниях фиксируются обломки пород (2–3%), в долях процента — глауконит. Аутигенные минералы тяжелой фракции состоят из пирита (0,2–18%), гидроокислов железа (0,8–23%), преобладает 11–20%), лейкоксена (8,2–41,2%, преобладает 10–20%), анатаза (1–13,8%), глауконита (в долях процента) и редко барита (до 20%). Среди терригенных минералов тяжелой фракции значительная роль принадлежит слюдам (6–55%, преобладает 20–40%), состоящим в основном из биотита и мусковита, и ильмениту, магнетиту (7,4–32,1%, преобладает 8–11%). Аксессорные прозрачные минералы представлены гранатом, цирконом и турмалином, в долях процента отмечаются рутил, редко сфен и корунд. Для пород пачки VII в Сомовской скважине терригенно-минералогическая ассоциация турмалин-циркон-ильменит-гранат-слюда-полевошпатово-кварцевая.

В Каверинской скважине в отложениях пачки VII примерно такой же минералогический состав, как в Сомово и Мосолово. Здесь также породообразующими являются кварц и полевые шпаты, передко в значительных содержаниях присутствуют слюды, в небольших количествах отмечаются обломки пород, редко глауконит. Из аутигенных минералов в тяжелой фракции преобладают пирит (0,6–23,4%) и лимонит (0,3–34,9%), постоянно встречаются лейкоксен (3,6–18,9%) и анатаз (1,7–22,6%), редко доломит (до 38%). Среди терригенных тяжелых минералов ведущее место занимают ильменит, магнетит (0,6–34,8%), гранат (41,4–80,4%), циркон (3–66,7%) и турмалин (4,2–28,7%). В небольших количествах фиксируются слюды (2–12%), непостоянно в долях процента отмечаются рутил и ставролит, редко эпидот, сфен и амфиболы. Для пачки VII в Каверинской скважине намечается турмалин-циркон-ильменит-гранат-слюда-полевошпатово-кварцевая терригенно-минералогическая ассоциация.

В разрезе Морсово помимо кварца (28,0–86,8%, преобладает 50–60%), полевых шпатов (12,2–64,6%, преобладает 30–40%) и слюд (0,4–26%), иногда в значительных количествах отмечаются обломки пород (до 20%). Для верхних горизонтов характерно наличие обломков вулканического стекла (0,7–24,3%), в долях процента непостоянно отмечается глауконит. В отличие от более западных скважин Пачелмского прогиба несколько усиливается значение в тяжелой фракции аутигенного пирита (0,5–100%, преобладает 10–15%), в небольших количествах отмечаются гидроокислы железа (0,1–58,9%, преобладает 3–13%) и лейкоксен (0,1–29,4%, преобладает 3–8%), в долях процента фиксируется анатаз, редко глауконит, в единичных случаях барит (10,4–20,8%), иногда доломит. Тяжелые терригенные минералы характеризуются высоким содержанием ильменита, магнетита (2,8–55,7%, преобладает 23–35%) и слюд (0,5–77,6%, преобладает 10–30%). Аксессорные прозрачные минералы состоят из циркона (1,4–91,4%, обычно 45–50%), граната (0,9–98,3%, чаще всего 30–40%) и турмалина (0,3–34,6%, преобладает 8–15%), редко встречаются рутил и ставролит. Терригенно-минералогическая ассоциация для пород пачки VII в Морсово турмалин-циркон-гранат-ильменит-слюда-полевошпатово-кварцевая с обломками вулканического стекла.

В Зубовой Поляне изучением минералогического состава пород пачки VII показало, что, как и в других разрезах, здесь в легких фракциях продолжает господствовать кварц (4,1–88,6%, преобладает 60–80%), роль полевых шпатов (2,0–41%, преобладает 17–24%) несколько сокращается, в более значительных количествах отмечаются слюды (0,7–16%), представленные в основном биотитом, иногда обломки пород (0,3–54,6%),

в верхних горизонтах пачки фиксируется много обломков вулканического стекла (1,5–63,5%). Среди аутигенных минералов тяжелой фракции широко развиты бурые гидроокислы железа (0,5–79,9%, повышенные содержания приурочены к верхним горизонтам пачки), в небольших количествах отмечается лейкоксен (0,1–17,6%), в верхней половине пачки встречается барит (0,5–47,7%), редко пирит (0,3–44,8%), в долях процента фиксируется анатаз. Среди тяжелых терригенных минералов отмечаются в повышенных содержаниях ильменит, магнетит (1,3–79%, преобладает 25–40%), иногда слюды (0,6–59,8%), наибольшие количества которых характерны для средней части пачки. Аксессорные прозрачные минералы представлены гранатом (4,8–93%, преобладает 56–70%), цирконом (4–87%, преобладает 15–35%), меньше турмалином (0,6–33%, преобладает 7–10%). Непостоянно, в незначительных количествах встречается рутил, редко отмечается эпидот, сфен, брукит, ставролит. Терригенно-минералогическая ассоциация пачки VII в Зубовой Поляне турмалин-циркон-ильменит-гранат-слюда-полевошпатово-кварцевая с обломками вулканического стекла.

Залегающие выше отложения выделяются в редкинскую или редкийскую и нижненовгородскую свиты валдайской серии венда [Клевцова, Соловцов, 1960; Клевцова, 1968а; Келлер, 1968; Кирсанов, 1968а, б; Иванова, 1969б; Постникова, 1977; и др.]. Они наблюдаются в разрезах Мосолово (1385–1225 м, мощность 160 м), Сомово (1413–1244 м, мощность 169 м), Каверино (1318–1047 м, мощность 271 м), Морсово (1254–951 м, мощность 303 м) и Зубовой Поляны (1088–1035 м, мощность 53 м). Эти отложения с перерывом залегают на нижележащих породах [Постникова, 1977] и на всей территории Пачелмского прогиба имеют близкий литолого-минералогический состав. Согласно описанию А. А. Клевцовой (1963, 1968а, 1972) и В. В. Кирсанова (1968а, б, 1970а, б), они состоят из двух циклов, каждый из которых начинается пластом песчаников. Нижний цикл отвечает редкинской, а верхний нижненовгородской (котлинской) свитам. Нами они выделяются в качестве пачек VIII и IX.

Пачка VIII (редкинская свита) в Морсово представлена в нижней части песчаниками, зеленовато-серыми, мелкозернистыми, иногда крупно- и неравномерно-зернистыми с гравием и галькой кварца и кварцита. Выше залегают аргиллиты коричневого и красно-коричневого цвета с раковистым изломом. В ряде разрезов (Зубова Поляна) аргиллиты залегают непосредственно на тuffогенных породах пачки VII. Во многих разрезах в аргиллитах М. М. Веселовской обнаружен тuffогенный материал. Выше коричневых аргиллитов отмечаются небольшие прослои (до 60 см) серых и темно-серых (почти черных) тонахолистых аргиллитов, отдельные прослойки которых обогащены органическим веществом. В верхних горизонтах пачки появляются прослойки мелкозернистых песчаников и алевролитов. Цемент песчаников и алевролитов глинистый, иногда кальцитовый, по типу иллювиальный, поровый, реже базальный. Аргиллиты тонкочешуйчатые, в различной степени алевритовые. Алевритовый материал распределается в породе или равномерно, или в виде прослоек и линзочек. Часто в аргиллитах наблюдаются мелко рассеянный пирит и сидерит, пленки ляминаритов. По разрезу иногда встречаются прослойки доломитов. В некоторых породах присутствуют слюды (мусковит). Мощность пачки колеблется от 53 м в Зубовой Поляне до 136 м в Сомовской скважине.

Песчаники и алевролиты пачки VIII имеют полевошпатово-кварцевый состав. Полевые шпаты представлены главным образом микроклином, меньше плагиоклазом. В некоторых разрезах отмечается значительное содержание обломков пород (Мосолово), иногда в основании фиксируются от 3 до 37,5% обломков вулканического стекла (Морсово). Нередко в повышенных количествах отмечаются слюды, состоящие в основном из мусковита. Среди тяжелых минералов сильно развиты сингенетичные минера-

лы, часто составляющие почти всю тяжелую фракцию. Они представлены пиритом, иногда баритом, в отдельных прослоях глауконитом, нередко карбонатом. В значительных количествах наблюдается группа титанистых минералов — лейкоксен и анатаз. Гидроокислы железа фиксируются обычно в небольших содержаниях, несколько повышающихся в нижних горизонтах. Среди терригенных минералов тяжелой фракции наиболее распространены (кроме слюды) циркон, ильменит, магнетит, в небольших количествах присутствуют гранат и турмалин, непостоянно — рутил и эпидот, изредка — амфибол. Для пачки VIII (редкинская свита) характерна рутил-гранат-турмалин-циркон-ильменит-мусковит-полевошпатово-кварцевая терригенно-минералогическая ассоциация.

Пачка IX (нижнеповаровская и котлинская свиты) сложена в нижней части мелковзернистыми песчаниками и алевролитами, а в верхней — преимущественно аргиллитами с ламинитовыми пленками и с редкими прослоями алевролитов. Мощность отложений колеблется от 33 м в Сомовской скважине до 192 м в Морсово; в Зубовой Поляне они отсутствуют.

Минералогический состав отложений пачки IX в разрезах Пачелмского прогиба очень близок к только что описанию. Песчано-алевритовая часть пород также имеет полевошпатово-кварцевый состав с обилием мусковита. Роль спигенетических минералов значительна. Они представлены в основном пиритом, иногда сидеритом или кальцитом, в некоторых прослоях баритом. Постоянно, в повышенных количествах присутствуют титанистые минералы — лейкоксен и анатаз, в небольших содержаниях фиксируются гидроокислы железа, иногда глауконит. Среди терригенных минералов тяжелой фракции преобладают ильменит, циркон и мусковит, непостоянно, в небольших содержаниях отмечаются гранат, турмалин и рутил. Для пород пачки IX характерна гранат-рутил-турмалин-ильменит-циркон-мусковит-полевошпатово-кварцевая терригенно-минералогическая ассоциация.

Как видно из приведенных данных, терригенно-минералогические ассоциации отдельных литологических пачек несколько меняются от разреза к разрезу. Для каждой из них состав ассоциаций остается достаточно характерным, что позволяет надежно демонстрировать литологические пачки в различных участках Пачелмского прогиба.

Можно обратить внимание на то, что терригенно-минералогические ассоциации ряда пачек весьма близки между собой. Сходный состав корреляционных терригенных минералов фиксируется, например, для трех нижних пачек, отвечающих сердобской серии, и для вышележащих пачек IV, V и VII, соответствующих пачелмской серии. В других случаях состав терригенно-минералогических ассоциаций отдельных пачек настолько своеобразен, что они легко выделяются в разрезах при минералогических исследованиях. Все это позволяет памятник в разрезе верхнедокембрийских отложений Пачелмского прогиба крупные литологические комплексы.

ЛИТОЛОГИЧЕСКИЕ КОМПЛЕКСЫ ВЕРХНEDОКЕМБРИЙСКИХ ОТЛОЖЕНИЙ ПАЧЕЛМСКОГО ПРОГИБА

На основании анализа приведенных данных в отложениях верхнего докембра Пачелмского прогиба можно выделить четыре литологические комплексы (снизу вверх): А, Б, В и Г. Каждый из них представляет собой толщу осадков большой мощности, которая отличается не только определенным литологическим составом, но и характеризуется наличием только ему свойственных ведущих корреляционных терригенных минералов. Формирование терригенно-минералогических ассоциаций литологи-

ческих комплексов зависело от расположения района осадконакопления по отношению к провинциям питания, петрографического состава пород в областях сноса и палеогеографической обстановки в бассейне седиментации [Батурина, 1947].

Комплекс А объединяет отложения пачек I, II и III (а также подразделения I, II и III Сомовского района). Он выделяется в Сомовской скважине в интервалах глубин 3707—1628 м, в Каверииной — 2444—1582 м, в Зубово-Полянской — 1487—1367, в Пачелмской (скв. 10 Воронская) — 1728—1594 м и Сердобской — 2232—1545 м. В разрезах Сомовской, Зубово-Полянской и Пачелмской скважин комплекс А залегает на породах кристаллического фундамента.

Полный разрез комплекса пройден скважинами в Сердобске и Сомово. В районах Каверино и Зубовой Поляны отсутствует пачка III, а в районе Пачелмы — пачка I.

Терригенно-минералогическая ассоциация комплекса А может быть названа турмалин-циркон-ильменит-полевошпатово-кварцевой (и кварцевой, кварц-полевошпатовой). Она сохраняется такой во всех разрезах трех нижних пачек Пачелмского прогиба. Вариации состава обычно сводятся к тому, что в отдельных разрезах несколько меняется соотношение определяющих минералов (кварца, полевых шпатов, ильменита, циркона), иногда появляются такие минералы, как эпидот, корунд, реже гранат. Но несмотря на это, в целом для всего комплекса минералогическая ассоциация остается почти неизменной. В ней всегда присутствует повышенное количество ортоклаза и особенно микроклина, что вообще характерно для комплекса А.

Такой выдержанной терригенно-минералогический состав свидетельствует о том, что при его формировании сохранились единые источники терригенного материала. Состав пород в областях сноса в это время в целом оставался однообразным.

Поставщиками обломочного материала являлись магматические (кислые и основные) и метаморфические породы. При размыве кислых изверженных пород в бассейн седиментации могли поступать такие минералы, как микроклин, ортоклаз, кварц, циркон, турмалин, ильменит. Основные извержения породы дали ильменит, эпидот. За счет разрушения метаморфических пород могли поступать кварц, слюды и гранат. Хорошая сохранность и нередко повышенные содержания ортоклаза и микроклина, иногда присутствует наряду с наличием прослоев чисто кварцевых песчаников свидетельствуют о том, что при осадконакоплении древние массивы в областях сноса не были затронуты глубоким химическим выветриванием. Большая часть каолинового вещества, присутствующего в породах в виде гнезд и вкраплений (пачка I, подразделение I, II и III в Сомово), по всей вероятности, имела местное происхождение и формировалась в результате процессов выветривания в субаэральных условиях. По-видимому, захоронение осадков в бассейне происходило относительно быстро, на что указывают плохая отсортированность материала, наличие плохо окатанных конгломератов и гравелитов. Области размыва находились недалеко от бассейна седиментации. Юго-восточные районы прогиба (Зубова Поляна, Пачелма и Сердобск), вероятно, были более удалены от провинций питания. Поставщиком терригенного материала, по-видимому, являлись области, расположенные на юго-западе (Воронежский массив) и на северо-востоке (Токмовское поднятие).

Комплекс Б объединяет отложения пачек IV, V и VI. Он присутствует в районах Мосолово (1665—1542 м, вскрытая мощность 123 м), Сомово (1628—1542 м, мощность 86 м), Каверино (1582—1482 м, мощность 100 м), Морсово (1754—1391 м, вскрытая мощность 363 м), Зубовой Поляны (1367—1239 м, мощность 128 м) и Сердобской (1545—1303 м, мощность 242 м). Полные разрезы комплекса пройдены в Морсово и Пачелме (скв. 10

Вороинская), а в остальных районах фиксируются только отдельные его части: в Мосолово, Каверино, Зубовой Поляне — пачка V, в Сердобске — пачка IV и нижние горизонты пачки V, в Сомово — подразделение IV.

Комплекс Б выделяется довольно четко по широкому развитию кварцевых и полевошпатово-кварцевых песчаников, иногда тонко переслаивающимися алевролитами и аргиллитами (пачки IV и VI). Отложениям пачки V свойственны плохая сортированность песчаников и наличие гнезд и вкраплений белого мучнистого каолинита, а породам пачек IV и VI — мелкозернистый состав песчаников и скопления аутигенного глауконита. Ассоциация терригенных минералов комплекса в целом остается постоянной. Ее можно назвать турмалин-ильменит-циркон-слюда-кварцевой (и полевошпатово-кварцевой). Некоторые отличия в составе корреляционных минералов по отдельным пачкам выражаются в различных соотношениях кварца и полевых шпатов или, в небольших изменениях количественного содержания турмалина, ильменита, циркона, слюда и пр.

Можно отметить, что терригенно-минералогическая ассоциация комплекса Б унаследовала основные черты своего состава от ассоциации комплекса А. Лишь в какой-то мере изменились количественные соотношения минералов. Изменения в минералогическом составе комплекса Б могут быть усмотрены в увеличении количества зерен кварца в юго-восточных районах прогиба (Зубова Поляна, Пачелма и Сердобск), а также слюд в северо-западных его участках (Мосолово, Сомово, Каверино, Морсово). В остальном же состав терригенных минералов комплекса Б остался неизменным. На протяжении формирования осадков комплекса Б, как и при образовании комплекса А, длительное время существовали, по-видимому, те же устойчивые по своему петрографическому составу провинции питания. Накопление осадков по-прежнему шло за счет разрушения магматических и метаморфических пород. Одновременно могли размываться более древние осадочные толщи. В провинциях питания значительно усилились процессы глубокого химического выветривания, способствовавшие еще большему разрушению полевых шпатов и других малоустойчивых и неустойчивых минералов и образованию денудационных равнин. При этом часть полевых шпатов не успевала полностью разложиться. Осадконакопление, видимо, происходило в морском бассейне при неустойчивых палеогеографических условиях.

Комплекс В соответствует волынской серии венда (пачка VIII). Мощность отложений комплекса колеблется от 139 м в Сомово до 164 м в Каверино.

Минералогический состав отложений комплекса В резко отличается от нижне- и вышеупомянутых. Он почти однотипный во всех разрезах Пачелмского прогиба и характеризуется турмалин-циркон-ильменит-гранат-слюда-полевошпатово-кварцевой ассоциацией терригенных минералов. Дополнительно в разрезах Морсово и Зубовой Поляны в значительных количествах (в верхней части комплекса) фиксируются обломки вулканического стекла. Для пород комплекса характерно в тяжелых фракциях обилие слюдистых минералов и граната, а также слюдисто-полевошпатово-кварцевый состав в легких фракциях. Слюды представлены в основном биотитом, реже мусковитом; полевые шпаты состоят из ортоклаза, микроклина и плагиоклазов. На основании присутствия граната комплекс В может быть назван «гранатсодержащим».

В районах Пачелмского прогиба на границе комплексов Б и В констатируется резкая смена терригено-минералогических ассоциаций. Этот факт является дополнительным подтверждением перерыва между отложениями волынской серии и нижележащими образованиями. Кроме того, он свидетельствует о смене провинций питания.

Осадки комплекса В, по-видимому, формировались за счет размыва метаморфических гранат-биотитовых гнейсов, господствовавших, вероят-

но, в провинциях питания, а также за счет размыва и переотложения осадочных толщ и изверженных (гранитоидных) пород. Эффузивный материал привносился при вулканической деятельности. Области сноса, по всей вероятности, находились недалеко от бассейна седиментации. Осадки комплекса формировались в обширном морском седиментационном бассейне.

Комплекс Г объединяет пачки VIII и IX. Он присутствует в Мосолово (1385—1225 м, мощность 160 м), в Сомово (1413—1244 м, мощность 169 м), в Каверино (1318—1047 м, мощность 27 м), в Морсово (1254—951 м, мощность 303 м), в Зубовой Поляне (1088—1035 м, мощность 53 м).

Отложения этого комплекса резко отличаются от нижележащих преимущественным развитием аргиллитов. В породах комплекса широко распространены аутигенные минералы, которые часто составляют всю тяжелую фракцию. В основной они представлены пиритом, иногда сидеритом, нередко баритом, часто карбонатом, в отдельных прослоях фиксируются повышенным содержанием глауконита. Наиболее типичной для комплекса можно считать гранат-рутин-турмалин-ильменит-циркон-мусковит-полевошпатово-кварцевую терригено-минералогическую ассоциацию. Главная особенность комплекса — резкое сокращение роли граната, отсутствие биотита и обилие мусковита.

В Пачелмском прогибе на границе комплексов В и Г вновь отмечается резкая смена терригено-минералогических ассоциаций, что, видимо, опять было связано с перерывом в осадконакоплении и сменой провинций питания.

При образовании осадков комплекса Г в областях сноса размыву подвергались, по-видимому, слюдистые сланцы и магматические породы. Области питания располагались на значительном расстоянии от бассейна седиментации.

Осадки, вероятно, накапливались в обширном эпиконтинентальном морском бассейне.

Выделенные в Пачелмском прогибе комплексы ранее были установлены для верхнедокембрийских отложений Московского прогиба и Оршанской впадины [Рабиханчукаева, 1977]. Они прослеживаются, таким образом, на значительной части территории Русской плиты и позволяют вполне уверенно сопоставлять верхнедокембрийские отложения.

ЛИТЕРАТУРА

- Батурина В. И. Петрографический анализ геологического профиля по терригенным компонентам. М.—Л.: Изд-во АН СССР, 1947. 35 с.
- Иванова З. П. Сопоставление додевонских отложений восточных и центральных областей Русской платформы.— В кн.: Стратиграфия, литология, фауна верхнего протерозоя и палеозоя Волго-Уральской нефтегазоносной области. Вып. 51. М.: Недра, 1966, с. 6—13.
- Иванова З. П. Центральные районы.— В кн.: Нефтегазоносные и перспективные комплексы центральных и восточных областей Русской платформы. Л.: Недра, 1969а, с. 11—26.
- Иванова З. П. Вендинский этап.— В кн.: Нефтегазоносные и перспективные комплексы центральных и восточных областей Русской платформы. Л.: Недра, 1969б, с. 129—130.
- Иванова З. П., Веселовская М. М., Кирсанов В. В. О распространении волынской серии на Русской платформе.— Бюл. МОИП. Отдел геол., 1965, вып. 5, с. 137—146.
- Иванова З. П., Хмелева Е. И. Минералогическая характеристика пород.— В кн.: Нижнепалеозойские отложения центральных областей Русской платформы. Л.: Гостехиздат, 1957, с. 32—35.
- Келлер Б. М. Верхний протерозой Русской платформы (рифей и венд). М.: Изд-во МГУ, 1968. 101 с.
- Кирсанов В. В. Новые данные по стратиграфии докембрийских отложений центральных районов Русской платформы.— Изв. АН СССР. Серия геол., 1968а, № 4, с. 98—113.

- Кирсанов В. В. К вопросу о стратиграфии докембрийских отложений в приосевой части Московской синеклизы.— Докл. АН СССР, 1968б, т. 178, № 5, с. 1160—1163.
- Кирсанов В. В. Новые данные по стратиграфии рифейских отложений востока Русской платформы.— Бюл. МОИП. Отдел геол., 1970а, № 5, с. 12—25.
- Кирсанов В. В. Вендские отложения центральных районов Русской платформы.— Изв. АН СССР. Серия геол., 1970б, № 12, с. 55—65.
- Клевцова А. А. Поздний докембрий Пачелмского прогиба и других частей Русской платформы.— Докл. АН СССР, 1963, т. 150, № 3, с. 623—626.
- Клевцова А. А. О глубинном строении Пачелмского прогиба и истории его развития в позднем докембрии.— Изв. вузов. Геол. и разн., 1968а, № 1, с. 3—11.
- Клевцова А. А. Стратиграфическое соотношение разрезов верхнедокембрийских отложений Русской платформы.— Изв. вузов. Геол. и разн., 1968б, № 9, с. 10—20.
- Клевцова А. А. Об основных чертах истории Русской платформы в рифее.— Изв. вузов. Геол. и разн., 1971, № 7, с. 3—13.
- Клевцова А. А. Вендский комплекс Русской платформы и его проблематические органические остатки.— В кн.: Литология и стратиграфия палеозойских и мезозойских отложений Русской и Скифской платформ. М.: Наука, 1972, с. 4—14.
- Клевцова А. А. Основные этапы осадкоаккумуляции в рифе на Русской платформе (ранний и средний этапы).— Изв. вузов. Геол. и разн., 1976, № 7, с. 3—15.
- Клевцова А. А. Позднерифейский этап развития Русской плиты.— Изв. вузов. Геол. и разн., 1977, № 11, с. 36—50.
- Клевцова А. А., Солонцов Л. Ф. К вопросу о стратиграфической принадлежности и корреляции древнейших отложений осадочного покрова Русской платформы.— Изв. Казанского фил. АН СССР. Серия геол., 1960, № 9, с. 241—248.
- Клевцова А. А., Солонцов Л. Ф. К вопросу о возрасте древнейшего покрова Русской платформы.— Докл. АН СССР, 1961, т. 139, № 3, с. 673—676.
- Островский М. И., Аксенов Е. М., Солонцов Л. Ф. Особенности палеоструктуры отложений верхнего докембра в Рязано-Саратовском прогибе в связи с оценкой их перспективности.— Геология нефти и газа, 1968, № 1, с. 62—65.
- Постникова И. Е. К стратиграфии нижнепалеозойских отложений Сердобско-Пачелмского района.— Изв. АН СССР. Серия геол., 1953, № 5, с. 132—135.
- Постникова И. Е. Додевонские отложения центральной и восточной частей Русской платформы.— В кн.: География и проблема плинией границы. Т. 3. М.: Гостоптехиздат, 1961, с. 275—285.
- Постникова И. Е. Верхний докембр Восточно-Европейской платформы и возможная ее нефтегазоносность. Автореф. докт. дис. М., 1972. 69 с.
- Постникова И. Е. Верхний докембр Русской плиты и его нефтегазоносность. М.: Недра, 1977. 222 с.
- Рабиханукова Е. С. Терригенно-минералогические комплексы верхнедокембрийских отложений центральной части Русской плиты.— В кн.: Осадочные и осадочно-вулканогенные формации и методика их выделения. Новосибирск: Наука, 1977, с. 87—114.
- Солонцов Л. Ф., Аксенов Е. М. Основные подразделения позднего докембра Восточно-Европейской платформы.— Труды Карельск. геол. ин-та., 1969а, № 24, с. 159—168.
- Солонцов Л. Ф., Аксенов Е. М. Рифей Восточно-Европейской платформы.— Изв. вузов. Геол. и разн., 1969б, № 10, с. 3—13.
- Солонцов Л. Ф., Аксенов Е. М., Папченко В. А., Поликарпова И. Т. Новые данные по стратиграфии рифея Рязано-Саратовского прогиба.— Докл. АН СССР, 1975, т. 221 № 3, с. 688—691.
- Тихомирова И. Я., Кирсанов В. В., Михайловская Л. И. О минеральной зональности валдайских отложений верхнего венда центральных районов Русской платформы.— Литология и полезные ископаемые, 1975, № 4, с. 110—119.
- Шатский И. С. О происхождении Пачелмского прогиба. Сравнительная тектоника древних платформ.— Бюл. МОИП. Отдел геол., 1955, т. XXX, вып. 5, с. 5—26.

СОДЕРЖАНИЕ

Жарков М. А., Благовидов В. В., Жаркова Т. М., Мерзляков Г. А. К вопросу о строении позднеюрских соленосных отложений Средней Азии	3
Лучников В. С. Верхнеюрская галогенная формация юго-востока Средней Азии	19
Гафильчева Л. Г. Особенности строения позднеюрской соленосной формации Восточного Туркменистана	34
Сапунова В. Л., Черненко А. М. Особенности строения юрской галогенной толщи Восточно-Кубанской впадины	42
Косарев В. С. Особенности строения галогенной формации поздней юры Кабардино-Балкарии и юга Ставрополья	54
Сахаров А. С., Лозгачева Е. В. Юрские соленосные отложения Северо-Восточного Кавказа	64
Загиев Ш. Д. Галогенные отложения поздней юры Дагестана	73
Аксенов Л. Л. Стратиграфическое положение бишофитовых пород в разрезе кунгурских отложений юго-западной части Приволжской моноклинали	81
Хабаров Е. М. Наборы пород и сообщества чечинской карбонатной рифогенной формации периферии Патомского нагорья	84
Жарков М. А., Бахтурсов С. Ф. Палеозойские битуминозные карбонатно-сланцевые формации Восточной Сибири	103
Параев В. В. Особенности строения мезокайнозойских бокситоносных красноцветных формаций восточного склона Урала и южного обрамления Западно-Сибирской низменности	115
Парасына А. С. Особенности состава фосфоритов Селетинского месторождения	134
Бузулукова Е. С. Терригенно-минералогические ассоциации и комплексы верхнедокембрийских отложений Пачелмского прогиба	137

ОСОБЕННОСТИ СТРОЕНИЯ ОСАДОЧНЫХ ФОРМАЦИЙ

Ответственный редактор
Александр Леонидович Яншин

Утверждено к печати Институтом геологии
и геофизики СО АН СССР

Редактор издательства А. М. Самсоненко
Художественный редактор М. Ф. Глазирина
Художник С. М. Кириличук
Технический редактор Г. Я. Герасимчук
Корректоры З. Ф. Бухалова, Р. Я. Катникова

ИБ № 23093

Сдано в набор 12.11.81. Подписано к печати 24.08.82. МН-05873. Формат 70×108^{1/16}. Бумага типографская № 1. Обыкновенная гарнитура. Высокая печать. Усл. печ. л. 14 +1 вкладка. Усл. кр.-отт. 14,6 Уч.-изд. л. 17,5. Тираж 1000 экз. Заказ № 787. Цена 2 р. 60 к.

Издательство «Наука», Сибирское отделение, 630099, Новосибирск, 99, Советская, 18.
4-я типография издательства «Наука». 630077, Новосибирск, 77, Станиславского, 25.

УДК 552.53+551.762.3

К вопросу о строении позднеюрских соленосных отложений Средней Азии. Жарков М. А., Благовидов В. В., Жаркова Т. А., Мерзляков Г. А. Особенности строения осадочных формаций.— Новосибирск: Наука, 1982.

Предлагается новый вариант расчленения и корреляции позднеюрских соленосных отложений западной части Средне-Азиатского солеродного бассейна, согласно которому в разрезе выделяются три соленосные свиты: полотанская, марыйская и байрамалийская. Канцеля из этих свит распространена в различных участках эвапоритового бассейна. Выясняется, что калиевосодержащей является лишь верхняя соленосная свита, которая увязывается с галитовой толщей гаурданской свиты Юго-Западного Гиссара. Ил. 4. Библиогр. 97.

УДК 552.53+551.762.3

Верхнеюрская галогенная формация юго-востока Средней Азии. Лучиников В. С. Особенности строения осадочных формаций.— Новосибирск: Наука, 1982.

Рассматриваются особенности строения галогенной формации поздней юры Афгано-Таджикской впадины. Выделяются несколько типов разрезов формации. Приводится характеристика соляно-купольных структур Кулябской и Вахш-Кафирнганско-ой зон. Ил. 10. Библиогр. 20.

УДК 551.762.3:552.5(575.4)

Особенности строения позднеюрской соленосной формации Восточного Туркменистана. Гарильчева Л. Г. Особенности строения осадочных формаций.— Новосибирск: Наука, 1982.

В пределах Восточно-Туркменского солеродного суббассейна обособлены различные зоны, отличающиеся по условиям осадконакопления. Это принято на основе выделения типовых (эталонных) разрезов соленосной формации, расчлененных на литологические свиты. Выделяются полный и сокращенный разрезы формаций. К полным относятся разрезы, содержащие все элементы сводного разреза формации: сульфатно-хлоридный, уверенно расчленяющийся на свиты и максимально обогащенный каменной солью (1), хлоридно-сульфатный, не поддающийся посвятному расчленению, но имеющий в своем разрезе эквиваленты всех свит, среди обогащенный каменной солью (2), карбонатно-сульфатный, не содержащий каменной соли, но обогащенный карбонатными породами морского генезиса (3). Среди сокращенных выделены соленосно-сульфатно-карбонатный (4), соленосно-карбонатно-сульфатный (5), сульфатно-карбонатный (6), карбонатно-сульфатный (7), сульфатный (8). Ил. 1. Библиогр. 7.

УДК 552.53.762(470.62+63)

Особенности строения юрской галогенной толщи Восточно-Кубанской впадины. Сапурова В. И., Черепанова А. М. Особенности строения осадочных формаций.— Новосибирск: Наука, 1982.

Приведено геологическое строение Восточно-Кубанской впадины на основе новых материалов глубокого бурения. Особенность подробно рассмотрено строение галогенных отложений кимеридж-титона, которые занимают почти всю территорию впадины. Все эвапоритовые отложения, соответствующие нижней части верхнего кимеридж-титона, выделены в кузнецкую свиту. Пестроцветная толща верхней части отложений верхнего кимеридж-титона выделяется в лабинскую свиту.

К галогенной толще приурочены рапоносные горизонты, с которыми связаны аномально-высокие пластовые давления. Ил. 8.

УДК 551.552.53.762.3(470.64+63)

Особенности строения галогенной формации поздней юры Кабардино-Балкарии и юга Ставрополья. Косарев В. С. Особенности строения осадочных формаций.— Новосибирск: Наука, 1982.

Рассмотрено геологическое и тектоническое строение Кабардино-Балкарии и Южного Ставрополья на материалах глубокого бурения. Данна подробная характеристика верхне-юрских галогенных отложений, показано их соотношение с подстилающими и перекрывающими толщами, а также фациальное выклинивание и замещение к бортам прогибов и к своду Минераловодского выступа.

Приведен анализ перспектив нефтегазоносности отложений и структур верхней юры. Ил. 2. Библиогр. 15.

УДК 552.53+551.762.3(470.6)

Юрские соленосные отложения Северо-Восточного Кавказа. Сахаров А. С., Лозагачева Е. В. Особенности строения осадочных формаций.— Новосибирск: Наука, 1982.

Рассмотрены особенности строения и состава кимеридж-титона галогенных образований центральной части Северного Предкавказья, а также инженерных отложений оксфордского яруса и вышележащих толщ берриаса. Выявляются особенности фациальных изменений отложений и показывается, что солеродный бассейн позднеюрского времени располагается в окраинной части Синайской платформы и отделяется от открытого моря, расположенного в центральной части Кавказа, протяженным рифогенным карбонатным барьером. Ил. 3. Библиогр. 6.

УДК 552.53.762.3(470.67)

Галогенные отложения поздней юры Дагестана. Закиев Ш. Д. Особенности строения осадочных формаций.— Новосибирск: Наука, 1982.

Приведена подробная характеристика верхнеюрских соленосных отложений, развитых из территории Дагестана. Возраст этих отложений кимеридж-титона. В настоящее время не представляется возможным провести надежную корреляцию галогенной толщи между районами Предгорного Дагестана и Прикумской зоны. Предполагается, что соленосный бассейн не ограничивается Терско-Сунженским прогибом, а протягивается на восток в виде узкого залива. Ил. 4. Табл. 1. Библиогр. 8.

УДК 553.632.682

Стратиграфическое положение биофитовых пород в разрезе Кунгурских отложений юго-западной части Приволжской моноклинали. Аксенов Л. Л. Особенности строения осадочных формаций.— Новосибирск: Наука, 1982.

Изучение керна скважин 3 и 4 Приволжской площади позволило выделить в их разрезе пять ритмопачек, характеризующих определенным зональным строением. Показано возможное возрастание стратиграфического интервала распространения биофитовых пород в юго-западной части Приволжской моноклинали. Ил. 1. Библиогр. 9.

УДК 552.58+551.72

Наборы пород и сообщества чечинской карбонатной рифогенной формации периферии Патомского нагорья. Хабаров Е. М. Особенности строения осадочных формаций.— Новосибирск: Наука, 1982.

Верхнерифейская чечинская карбонатная рифогенная формация периферии Патомского нагорья сложена в основном строматолитовыми, зернистыми и кристаллическими известниками. Значительное жеие встречаются известковые мергели, строматолитовые и зернистые доломиты, песчаники, алевролиты и аргиллиты. Установлено, что породы в формации размещены не хаотически, а между ними существуют определенные взаимосвязи, которые выражаются в виде закономерных часто повторяющихся наборов пород (парагенезов). Некоторые типы наборов, многократно повторяясь, образуют сообщества однотипных наборов. Приведена характеристика наборов и сообществ. Ил. 5. Библиогр. 23.

УДК 552.54+553.983:551.73(571.5)

Палеозойские битуминозные карбонатно-сланцевые формации Восточной Сибири. Жарков М. А., Бахтуров С. Ф. Особенности строения осадочных формаций.— Новосибирск: Наука, 1982.

На территории Восточной Сибири выделено четыре палеозойских битуминозных карбонатно-сланцевых формации: тикинская, куонамская, чамбинская и таймырская. Для всех формаций характерно распространение тонкозернистых тонкослоистых темноцветных пород, содержащих повышенные количества органического вещества. Наиболее широко развиты аргиллиты, глинистые сланцы, а также разнообразные карбонатные породы. Приводятся данные о площадях распространения формаций, палеогеографических и палеотектонических условиях их образования. Ил. 4. Библиогр. 74.

УДК 551.051+553.492

Особенности строения мезокайнозойских бокситопосных красноцветных формаций восточного склона Урала и южного обрамления Западно-Сибирской низменности. Парашев В. В. Особенности строения осадочных формаций.— Новосибирск: Наука, 1982.

Рассмотрены особенности строения, состава и формирования бокситопосных красноцветных отложений. Выявлено, что в сложении бокситопосных красноцветных комплексов участвуют в основном два типа отложений: образования коры выветривания и продукты ее перемыва в виде осадочных накоплений. Наиболее значительные рудопроявления бокситов связаны с дельвиально-пролювиальными образованиеами и тяготеют к верхней половине комплекса. Формированию бокситопосных красноцветных комплексов предшествовали первые в осадконакоплении, выравнивание рельефа и достаточно длительный тектонический цикл. Ил. 5. Библиогр. 27.

УДК 553.64+551.763.781

Особенности состава фосфоритов Селетинского месторождения. Парашев А. С. Особенности строения осадочных формаций.— Новосибирск: Наука, 1982.

Среди желваковых фосфоритов Селетинского месторождения выделено три типа на основе фосфатной и три типа на основе нефосфатной составляющих. Костные фосфориты составляют отдельную группу. Выявлено, что фосфориты приурочены к кварц-глауконитовой славгородской свите сантон-кампанийского возраста. Табл. 1. Библиогр. 6.

УДК 551.72+552.12f

Терригенно-минералогические ассоциации и комплексы верхнедокембрийских отложений Пачелмского прогиба. Бузулукова Е. С. Особенности строения осадочных формаций.— Новосибирск: Наука, 1982.

Приведена подробная литолого-минералогическая характеристика отложений верхнедокембрия в Пачелмском прогибе, пройденных Мосоловской, Сомовской, Каверинской, Морсовской, Зубово-Полинской, Пачелмской (Воронская скв. 10) и Сердобской скважинами. Верхнедокембринские разрезы расчленены на восемь пачек, каждая из которых отличается характерными терригенно-минералогическими ассоциациями. В отложениях позднего докембрия Пачелмского прогиба выделено четыре литологических комплекса, которые прослеживаются на значительные части территории Русской платформы. Ил. 1. Библиогр. 31.